

А К А Д Е М И Я   Н А У К   С С С Р

ЖУРНАЛ  
ФИЗИЧЕСКОЙ  
ХИМИИ

ТОМ  
XXXIII

ВЫПУСК 8

АВГУСТ

---

ИЗДАТЕЛЬСТВО АКАДЕМИИ НАУК СССР  
МОСКВА · 1959

# ЖУРНАЛ ФИЗИЧЕСКОЙ ХИМИИ

*Редакционная коллегия:*

В. Я. АНОСОВ, К. В. АСТАХОВ, А. И. БРОДСКИЙ, Г. К. БОРЕСКОВ,  
Я. И. ГЕРАСИМОВ, С. В. ГОРБАЧЕВ, Г. С. ЖДАНОВ,  
Л. А. НИКОЛАЕВ, Н. Н. СЕМЕНОВ, А. Н. ТЕРЕНИН, А. Н. ФРУМКИН,  
К. В. ЧМУТОВ

*Главный редактор* Я. И. ГЕРАСИМОВ

*Заместители главного редактора:* С. В. ГОРБАЧЕВ, К. В. ЧМУТОВ

*Отв. секретарь* Л. А. НИКОЛАЕВ

---

Адрес редакции: Москва, Подсосенский пер., 21

# ТОРМОЖЕНИЕ ДВИЖЕНИЯ ГАЗОВЫХ ПУЗЫРЬКОВ ПОВЕРХНОСТНО-АКТИВНЫМИ ВЕЩЕСТВАМИ ПРИ УМЕРЕННЫХ ЧИСЛАХ РЕЙНОЛЬДСА

А. И. Федосов

Вопрос о движении пузырька в чистой жидкости при умеренных  $Re$  был рассмотрен В. Г. Левичем [1]. До этого в гидродинамической литературе не было работ, посвященных построению теории пограничного слоя, возникающего на границе раздела: жидкость — газ. Считая скорость движения жидкости в пограничном слое мало отличающейся от скорости в идеальной жидкости и полагая  $v_\theta = v_{\theta 0} + v'_\theta$ , где  $v_\theta$  — скорость в пограничном слое,  $v_{\theta 0}$  — скорость идеальной жидкости,  $v'_\theta$  — поправка к скорости в пограничном слое ( $|v'_\theta| \ll |v_{\theta 0}|$ ), В. Г. Левич находит

$$v'_\theta = \frac{3}{4} \sqrt{\frac{3\nu u}{2\pi a}} \frac{1}{\sin \theta} \int_0^{1-\cos \theta} \frac{[1 - (z-1)^2]^{1/2}}{[1 - \cos \theta - z]^{1/2}} \exp \left\{ -\frac{(r-a)^2 \sin^2 \theta}{4k(1-z-\cos \theta)} \right\} dz$$

ли

$$v'_\theta = \frac{3}{4} \sqrt{\frac{3\nu u}{2\pi a}} \frac{1}{\sin \theta} \int_0^\theta \frac{\sin^2 \varphi}{\sqrt{\cos \varphi - \cos \theta}} \exp \left\{ -\frac{(r-a)^2 \sin^2 \theta}{4k(\cos \varphi - \cos \theta)} \right\} d\varphi, \quad (1)$$

где положено  $1 - z = \cos \varphi$ .

Здесь и везде ниже в качестве координатной системы выбрана полярная, неподвижно связанная с пузырьком и с полярной осью, направленной противоположно скорости жидкости на бесконечности;  $u$  — скорость жидкости на бесконечности;  $a$  — радиус пузырька;  $\nu$  — кинематическая вязкость жидкости;  $k = \frac{2}{3} \frac{\nu a}{u}$ .

Рассматриваемое в [1] движение пузырька имеет место только в чистых жидкостях. Примеси поверхностно-активных веществ, которые практически всегда имеются, адсорбируются поверхностью пузырька, сносятся на кормовую часть и образуют там пленку, значительно затормаживающую тангенциальное движение на корме. Площадь, покрытая турбулентным хвостом, резко возрастает, что приводит к столь же резкому возрастанию силы сопротивления и уменьшению скорости движения пузырька. Ниже мы оценим величину заторможенной поверхности и концентрации поверхностно-активного вещества, при которых становится существенным учет загрязнения жидкости.

При определении влияния поверхностно-активных веществ на движение пузырька следует различать два случая: случай растворимого поверхностно-активного вещества (наиболее важный) и случай нерастворимого поверхностно-активного вещества. В первом случае следует учитывать две возможности: или скорость подачи вещества на поверхность пузырька определяется скоростью диффузии, или скорость подачи вещества определяется скоростью адсорбции. В настоящей работе рассматривается только первая возможность.

При решении поставленной задачи мы будем исходить из следующих допущений:

а) На заторможенных участках сила, вызванная градиентом поверхностного натяжения, — одного порядка с диссипативной силой, действующей



щей на твердую поверхность, и превосходит диссипативную силу, действующую на незаторможенную жидкую поверхность.

Таким образом границу заторможенного участка можно приближенно определить из соотношения

$$\left| \frac{d\sigma}{d\theta} \right| = \frac{3}{2} \rho \nu u \sin \theta_0. \quad (2)$$

б) При наличии поверхностно-активных веществ скорость движения жидкости до границы заторможенного участка мало отличается от скорости чистой жидкости, так что в первом приближении их можно считать равными.

Случай растворимого поверхностно-активного вещества (скорость подачи вещества определяется диффузией). В случае растворимого поверхностно-активного вещества распределение адсорбированного вещества на поверхности пузырька может быть найдено из решения уравнения конвективной диффузии с граничным условием:

$$\text{При } r = a \quad D \frac{\partial c}{\partial r} = \text{div}_s (\Gamma v_\theta), \quad (3)$$

где  $v_\theta$  — тангенциальная составляющая скорости на поверхности пузырька, движущегося в чистой жидкости;  $D$  — коэффициент диффузии,  $c$  — объемная концентрация поверхностно-активного вещества,  $\Gamma$  — поверхностная концентрация. При малых изменениях поверхностной концентрации можно приближенно найти распределение вещества по поверхности пузырька из следующих соображений [2].

Поток вещества на пузырек приближенно равен  $-D\Delta c/\delta$ , где  $\delta$  — толщина диффузионного слоя, а  $\Delta c$  — разность концентраций у поверхности пузырька и вдали от него. Приближенно

$$\Delta c = c - c_0 \approx \left( \frac{\partial c}{\partial \Gamma} \right)_{\Gamma_0} (\Gamma - \Gamma_0) = \left( \frac{\partial c}{\partial \Gamma} \right)_{\Gamma_0} \Delta \Gamma.$$

Кроме того, при малых изменениях поверхностной концентрации с точностью до членов второго порядка малости

$$\text{div}_s (\Gamma v_\theta) \approx \Gamma_0 \text{div}_s v_\theta.$$

Подставляя полученные выражения в уравнение (3), найдем

$$\Delta \Gamma = \frac{3\Gamma_0 \delta}{4aD \left( \frac{\partial c}{\partial \Gamma} \right)_{\Gamma_0}} \left( \sqrt{\frac{3\nu u}{\pi a}} I - 4u \cos \theta \right), \quad (4)$$

где (см. [3]):

$$I = -\frac{1}{\sqrt{2}} \int_0^\theta \frac{\cos \varphi d\varphi}{\sqrt{\cos \varphi - \cos \theta}} = \int_0^{\pi/2} \frac{d\psi}{\sqrt{1 - n^2 \sin^2 \frac{\psi}{2}}} - 2 \int_0^{\pi/2} \sqrt{1 - n^2 \sin^2 \frac{\psi}{2}} d\psi, \\ n = \sin \frac{\theta}{2}.$$

Величину  $\delta$  можно приближенно считать равной [2]  $\delta = \sqrt{Da/u}$ . В таком случае получим

$$\Delta \Gamma = \frac{3\Gamma_0}{a \left( \frac{\partial c}{\partial \Gamma} \right)_{\Gamma_0}} \sqrt{\frac{a}{uD}} \left( \frac{1}{4} \sqrt{\frac{3\nu u}{\pi a}} I - u \cos \theta \right). \quad (5)$$



Используя адсорбционное уравнение Гиббса

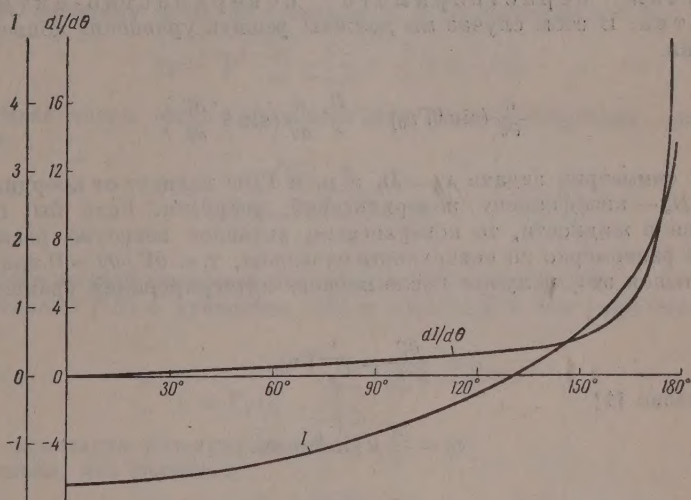
$$\frac{\partial \sigma}{\partial c} = - \frac{RT\Gamma}{c},$$

для границы заторможенной части получим уравнение:

$$\frac{dI}{d\theta} = 4 \sqrt{\frac{\pi a u}{3v}} \left( \frac{\rho v c_0}{2RT\alpha^2} \sqrt{aDu} - 1 \right) \sin \theta_0 \quad (6)$$

ли, если воспользоваться уравнением изотермы Лэнгмюра, получим

$$\frac{dI}{d\theta} = 4 \sqrt{\frac{\pi a u}{3v}} \left[ \frac{\rho v \left( 1 + \frac{\alpha c_0}{\Gamma_\infty} \right)^2}{2RT\alpha^2 c_0} \sqrt{aDu} - 1 \right] \sin \theta_0. \quad (7)$$



При малых заполнениях

$$\frac{dI}{d\theta} = 4 \sqrt{\frac{\pi a u}{3v}} \left( \frac{\rho v \sqrt{aDu}}{2RT\alpha^2 c_0} - 1 \right) \sin \theta_0. \quad (8)$$

Оценим величину концентрации поверхностно-активного вещества при которой пузырек двигался бы как твердый шарик. Поскольку для движения твердого шарика при умеренных числах Рейнольдса основная часть сопротивления движения происходит от турбулентного хвоста, то, очевидно, пузырек будет двигаться как шарик, если заторможенной будет поверхность приблизительно при  $\theta > 135^\circ$ .

Используя рисунок, найдем, что при малых заполнениях пузырек будет двигаться, как твердый шарик, если концентрация поверхностно-активного вещества будет превышать величину

$$c_{01} = \frac{\rho v \sqrt{aDu}}{2RT\alpha^2}.$$

Если положить  $a = 0,1$  см;  $v = 0,01$  см<sup>2</sup>/сек.;  $\rho = 1$  г/см<sup>3</sup>;  $D = 8,45 \cdot 10^{-6}$  см<sup>2</sup>/сек.;  $\alpha = 3,6 \cdot 10^{-5}$  см;  $T = 300^\circ$ ;  $u = 20$  см/сек., то получим

$$c_{01} \approx 6,6 \cdot 10^{-4} \text{ моль / л.}$$

Аналогично можно найти концентрации, при которых величина заторможенной части настолько мала, что торможением пузырька можно пре-

небредь. В работе В. Г. Левича [1] показано, что площадь, покрытая турбулентным следом, в случае движения пузырька в чистой жидкости, при  $Re = 300$ , равна площади, вырезаемой окружностью  $\theta = 177^\circ$ . Естественно считать поверхность пузырька очищенной от адсорбированного вещества, если  $\theta_0 \geq 177^\circ$ . Произведя необходимые вычисления, найдем, что торможением можно пренебречь при концентрациях меньше

$$(6) \quad c_{02} = \frac{\rho \nu V a Du}{2RT\alpha^2 \left(1 + 500 \sqrt{\frac{3\nu}{\pi a u}}\right)}.$$

Для вышеприведенных значений величин

$$(7) \quad c_{02} \approx 8 \cdot 10^{-5} \text{ моль/л.}$$

Случай нерастворимого поверхностно-активного вещества. В этом случае мы должны решить уравнение конвективной диффузии

$$(8) \quad \frac{\partial}{\partial \theta} (\sin \theta \Gamma v_\theta) = \frac{D_s}{a} \frac{\partial}{\partial \theta} \left( \sin \theta \frac{\partial \Gamma}{\partial \theta} \right)$$

(в силу симметрии задачи  $v_\varphi = 0$ , а  $v_\theta$  и  $\Gamma$  не зависят от координаты  $\varphi$ ). Здесь  $D_s$  — коэффициент поверхностной диффузии. Если бы пузырек покоился в жидкости, то поверхностно активное вещество распределялось бы равномерно по поверхности пузырька, т. е.  $\partial \Gamma / \partial \theta = 0$  при  $v_\theta = 0$ .

Учитывая это, получим после первого интегрирования уравнения (9):

$$(10) \quad \frac{\partial \Gamma}{\partial \theta} = \frac{a}{D_s} \Gamma v_\theta.$$

Согласно [1]

$$(11) \quad v_\theta = \frac{3}{2} u \sin \theta + v'_\theta.$$

Рассмотрим случай, когда заторможенной будет почти вся поверхность пузырька. В этом случае выражение для  $v_\theta$  можно разложить в ряд по степеням  $\theta$  и ограничиться первым не равным нулю членом:

$$(12) \quad v_\theta \approx \frac{3}{2} \left( u + 0,4 \sqrt{\frac{\nu u}{a}} \right) \theta,$$

Интегрирование (10) дает

$$(13) \quad \Gamma = \Gamma_1 e^{\beta \theta^2},$$

где

$$(14) \quad \beta = \frac{3}{4} \frac{a}{D_s} \left( u + 0,4 \sqrt{\frac{\nu u}{a}} \right),$$

а  $\Gamma_1$  — поверхностная концентрация адсорбированного вещества на носу пузырька:

$$(15) \quad \frac{d\sigma}{d\theta} = -2RT\Gamma_1 \beta \theta e^{\beta \theta^2}.$$

Используя выражения (2) и (15), находим для заторможенной части поверхности пузырька:

$$(16) \quad \theta > \theta_0 = \sqrt{\frac{4}{\beta} \ln \frac{3}{4} \frac{\rho \nu u}{RT\beta \Gamma_1}}.$$



Так как свободная от поверхностно-активного вещества часть поверхности пузырька мала, то заторможенной будет почти вся поверхность пузырька в случае, если

$$\Gamma_{01} > \frac{3\pi u}{4RT\theta}. \quad (17)$$

например, для  $D_s \sim 10^{-5} \text{ см}^2 \text{ сек}^{-1}$  и вышеприведенных значениях других величин

$$\Gamma_{01} > 6 \cdot 10^{-17} \text{ моль/см}^2.$$

Таким образом при концентрациях, удовлетворяющих условию (17) азовый пузырек движется как твердый шарик.

Чтобы оценить величину поверхностной концентрации адсорбированного вещества, при которой поверхность движущегося пузырька можно считать вполне очищенной от поверхностно-активного вещества, следует азлагать величину  $v_0$  не по степеням  $\theta$ , а по степеням  $\pi - \theta$ :

$$v_0 = \sqrt{\frac{3\pi u}{\pi a}} \frac{1}{\pi - \theta} + \frac{3}{2} u (\pi - \theta). \quad (18)$$

Оценивая члены этого выражения для вышеприведенных значений, получим

$$\frac{\sqrt{\frac{3\pi u}{\pi a}} \frac{1}{\pi - \theta}}{\frac{3}{2} u (\pi - \theta)} \sim 20. \quad (19)$$

Поэтому вторым членом в выражении (18) пренебрежем.

Подставляя (18) в уравнение (10) и произведя в нем интегрирование, получим

$$\Gamma = \Gamma_2 \left(1 - \frac{\theta}{\pi}\right)^{-\frac{1}{D_s}} \sqrt{\frac{3\pi u a}{\pi}}, \quad (20)$$

где  $\Gamma_2$  — константа интегрирования.

Учитывая, что величина

$$\frac{1}{D_s} \sqrt{\frac{3\pi u a}{\pi}} \gg 1,$$

для границы заторможенной части найдем

$$\theta > \theta_0 = \pi \left[ 1 - \left( \frac{RT\Gamma_2}{\rho D_s} \sqrt{\frac{a}{3\pi u}} \right)^{D_s} \sqrt{\frac{a}{3\pi u}} \right]. \quad (21)$$

Величину  $\Gamma_2$  приближенно можно оценить, приравнявая количество поверхностно-активного вещества, адсорбированного поверхностью пузырька при  $u = 0$ , таковому же при  $u \neq 0$  и учитывая при этом только вещество адсорбированное, заторможенной частью поверхности. Учитывая, кроме того, что величина  $(\pi - \theta_0)$  мала, получим

$$4\Gamma_0 = (\pi - \theta_0)^2 \Gamma(\theta_0).$$

Используя (20) и (21), получим

$$\Gamma_2 = \frac{4\Gamma_0}{\pi^2} \left( \frac{4\Gamma_0 RT}{\pi^2 \rho D_s} \sqrt{\frac{a}{3\pi u}} \right)^{1/2}.$$

Для границы заторможенной части теперь получим выражение

$$\theta_0 = \pi - \left( \frac{4\Gamma_0 RT}{\rho D_s} \sqrt{\frac{a}{3\pi u}} \right)^{1/2}.$$

Найдем, при каких концентрациях поверхностно-активного вещества поверхность пузырька можно считать полностью очищенной. Используя соображения, изложенные при рассмотрении первого случая, найдем, что это будет при

$$\Gamma_{02} < 2 \cdot 10^{-3} \frac{\rho D_s}{RT} \sqrt{\frac{\nu u}{a}}.$$

Для вышеприведенных значений величин получим

$$\Gamma_{02} < 1,5 \cdot 10^{-18} \text{ моль/см}^2.$$

Формулы (13) и (20) не отражают, конечно, действительного распределения поверхностной концентрации около заторможенной части и на ее самой, поскольку распределение скоростей (12) и (18) для таких углов уже не годится, так как для этих углов нельзя пренебрегать торможением тангенциального движения. Тем не менее (13) и (20) дают правильный порядок величины заторможенной части поверхности и концентрацию на границе этой области.

### Выводы

1. Рассмотрено движение пузырька в присутствии поверхностно-активных веществ при умеренных числах Рейнольдса.
2. С некоторым приближением рассчитана величина поверхности пузырька, на которой тангенциальное движение можно считать в значительной степени заторможенным.
3. Произведена оценка концентраций поверхностно-активных веществ при которых а) поверхность пузырька можно считать полностью очищенной от поверхностно-активных веществ и б) пузырек движется как твердый шарик.

Поступила  
8.II.1957

### ЛИТЕРАТУРА

1. В. Г. Левич, Физико-химическая гидродинамика, Изд-во АН СССР, М., 1952 стр. 309—322.
2. А. Фрумкин и В. Левич, Ж. физ. химии, 21, 1183, 1947.
3. Смирнов, Курс высшей математики, т. III, ч. 2, стр. 587, 1951.

### RETARDATION OF GAS BUBBLE MOTION BY SURFACE ACTIVE SUBSTANCES AT MODERATE REYNOLDS NUMBERS

A. I. Fedosov (Kuibishev)

#### Summary

The motion of a bubble at moderate Reynolds numbers in the presence of surface active substances has been considered.

The part of the bubble surface has been estimated at which tangential motion may be assumed retarded to a considerable degree (such are believed to be the sites at which the surface pressure of the surface active compounds is equal to the dissipative force acting on the solid regions and exceeds the dissipative force acting on the liquid regions).

The concentrations of the surface active substances have been estimated at which  
a) the bubble surface may be assumed to be completely freed of surface active compounds and

b) the bubble moves as a solid sphere.



## ТЕРМОДИНАМИЧЕСКИЕ ХАРАКТЕРИСТИКИ КРИСТАЛЛИЧЕСКИХ СОЕДИНЕНИЙ, СОДЕРЖАЩИХ ЛИТИЙ. III

П. Г. Маслов и Ю. П. Маслов

Ранее [1, 2] были предложены общие приближенные формулы для выяснения ряда физико-химических характеристик семейств соединений, содержащих Na, Th, Np и другие элементы. В работах [1, 2] расчет выполнен методом П. Г. Маслова [3] и авторов этой статьи [4, 5].

В настоящей работе по данным из [6] теми же методами [3—5] получены общие приближенные соотношения для расчета термодинамических свойств кристаллических соединений, содержащих литий, при 25° С. Исходные данные из [6] в таблицах ниже отмечены одной звездочкой.

Расчетные соотношения, основанные на принципе аддитивности, приведены в табл. 1 и 2. При этом, как и в [1, 2], множители  $n$ ,  $m$ ,  $t$  и  $q$  и т. д. в формулах могут иметь и целые и дробные значения.

Таблица 1

Общие приближенные формулы для определения термодинамических свойств кристаллических соединений, содержащих литий, при 25° С

Соединение	$-\Delta H_f^\circ$ ккал/моль	$-\Delta F_f^\circ$ ккал/моль	$\lg K_f$	$S^\circ$ , в. ед.	$C_p^\circ$ кал/моль·град
$\text{LiF} \cdot n\text{H}_2\text{O}$	$146+71\ n$	$139,6+$ $+56,89\ n$	$102,32+$ $+41,702\ n$	$8,6+9,866\ n$	$10+10,88\ n$
$\text{LiCl} \cdot n\text{H}_2\text{O}$	$100,9+71\ n$	$94,3+$ $+56,89\ n$	$69,128+$ $+41,702\ n$	$14,93+$ $+9,866\ n$	$12,44+10,99\ n$
$\text{LiBr} \cdot n\text{H}_2\text{O}$	$88,9+71\ n$	—	—	—	$11,6+10,99\ n$
$\text{LiI} \cdot n\text{H}_2\text{O}$	$72+71\ n$	—	—	—	$10,2+10,99\ n$
$\text{Li}_2\text{SO}_4 \cdot n\text{H}_2\text{O}$	$343,2+71\ n$	—	—	—	—
$\text{Li}_2\text{Se} \cdot n\text{H}_2\text{O}$	$90+71\ n$	—	—	—	—
$\text{LiI} \cdot t\text{SO}_2$	$62,5+81,7\ n$	—	—	—	—
$\text{Li}_3\text{N} \cdot n\text{H}_2\text{O}$	$47,2+71\ n$	—	—	—	$18+10,99\ n$
$\text{LiNO}_2 \cdot n\text{H}_2\text{O}$	$96,6+71\ n$	—	—	—	—
$\text{LiNO}_3 \cdot n\text{H}_2\text{O}$	$115,6+71\ n$	—	—	—	—
$\text{LiNH}_2 \cdot n\text{H}_2\text{O}$	$43,5+71\ n$	—	—	—	—
$\text{Li}_2\text{NH} \cdot n\text{H}_2\text{O}$	$52,9+71\ n$	—	—	—	—
$\text{LiCl} \cdot m\text{NH}_3$	$106,6+19\ m$	—	—	—	—
$\text{LiBr} \cdot m\text{NH}_3$	$96,6+19\ m$	—	—	—	—
$\text{LiI} \cdot m\text{NH}_3$	$83,9+19\ m$	—	—	—	—
$\text{Li}_3\text{Sb}_2 \cdot n\text{H}_2\text{O}$	$43,5+71\ n$	—	—	—	—
$\text{Li}_3\text{Bi} \cdot n\text{H}_2\text{O}$	$55,2+71\ n$	—	—	—	—
$\text{Li}_2\text{Cl} \cdot n\text{H}_2\text{O}$	$14,2+71\ n$	—	—	—	—
$\text{Li}_2\text{CO}_3 \cdot n\text{H}_2\text{O}$	$290,5+71\ n$	$270,66+$ $+56,89\ n$	$198,39+$ $+41,702\ n$	$21,6+$ $+9,866\ n$	$23,3+10,99\ n$
$\text{LiCl} \cdot m\text{CH}_3\text{NH}_2$	$105+15,8\ m$	—	—	—	—
$\text{LiCl} \cdot t(\text{CH}_3)_2\text{NH}$	$103,2+12,8\ t$	—	—	—	—
$\text{LiCl} \cdot q\text{C}_5\text{H}_5\text{NH}_2$	$101,4+22,1\ q$	—	—	—	—
$\text{LiOH} \cdot n\text{H}_2\text{O}$	$117,77+71\ n$	$107,91+$ $+56,89\ n$	$79,098+$ $+41,702\ n$	$12,03+$ $+9,866\ n$	—

В табл. 3 и 4 представлены теплоты образования  $-\Delta H_f^\circ$  и, частично, другие термодинамические свойства: свободная энергия  $-\Delta F_f^\circ$ , логарифмы констант химического равновесия  $\lg K_f$ , энтропии  $S^\circ$  и молярные теп-

Таблица 2  
Общие приближенные формулы для нахождения теплот образования кристаллических соединений, содержащих литий, при 25° С

Соединение	$-\Delta H_f^\circ$ , ккал/моль	Соединение	$-\Delta H_f^\circ$ , ккал/моль	Соединение	$-\Delta H_f^\circ$ , ккал/моль
LiBr · t(CH <sub>3</sub> ) <sub>2</sub> NH	96,5+12,8 t	LiSn · nH <sub>2</sub> O	16,8+71 n	LiTl · nH <sub>2</sub> O	12,8+71 n
LiBr · tCH <sub>3</sub> NH <sub>2</sub>	97,8+15,8 t	LiSn <sub>2</sub> · nH <sub>2</sub> O	17,1+71 n	LiHg · nH <sub>2</sub> O	20,8+71 n
LiBr · qC <sub>2</sub> H <sub>5</sub> NH <sub>2</sub>	≈(96+22,1 q)	Li <sub>2</sub> Sn · nH <sub>2</sub> O	27+71 n	LiHg <sub>2</sub> · nH <sub>2</sub> O	24,2+71 n
LiJ · t(CH <sub>3</sub> ) <sub>2</sub> NH	74,6+42,8 t	Li <sub>3</sub> Sn · nH <sub>2</sub> O	47+71 n	LiHg <sub>3</sub> · nH <sub>2</sub> O	26,8+71 n
LiJ · tCH <sub>3</sub> NH <sub>2</sub>	78,4+45,8 t	Li <sub>2</sub> Sn <sub>2</sub> · nH <sub>2</sub> O	66+71 n		
LiJ · qC <sub>2</sub> H <sub>5</sub> NH <sub>2</sub>	≈(75+22,1 q)	Li <sub>3</sub> Sn <sub>2</sub> · nH <sub>2</sub> O	86+71 n	LiBr · Hg(CN) <sub>2</sub> · nH <sub>2</sub> O	29,2+71 n
Li <sub>2</sub> S <sub>2</sub> (O <sub>3</sub> ) <sub>2</sub> · nH <sub>2</sub> O*	376,7+71 n	LiPb <sub>2</sub> · nH <sub>2</sub> O	14,6+71 n	LiJ · Hg(CN) <sub>2</sub> · nH <sub>2</sub> O	17,1+71 n
Li <sub>2</sub> SiF <sub>6</sub> · nH <sub>2</sub> O	688,9+71 n	Li <sub>3</sub> Pb · nH <sub>2</sub> O	33+71 n	Li <sub>2</sub> TeO <sub>4</sub> · nH <sub>2</sub> O	253,1+71 n
2LiI · PbI <sub>2</sub> · nH <sub>2</sub> O	204,65+71 n	Li <sub>4</sub> Pb · nH <sub>2</sub> O	42+71 n	tLiCl · ThCl <sub>4</sub> · nH <sub>2</sub> O	318+83,8 t+71 n
mLiBr · HgBr <sub>2</sub> **	37,2+96,5 m	Li <sub>5</sub> Pb <sub>2</sub> · nH <sub>2</sub> O	57+71 n		76+71 n

\* Для стеклообразного состояния.

\*\* Для водных растворов в 4500—6000 (H<sub>2</sub>O) и, по-видимому, до 10000 H<sub>2</sub>O.

лоемкости  $C_p^0$  для некоторых членов ряда семейств кристаллогидратов аммиаков литиевых соединений, также других групп соединений твердой фазе при 25° С. Для сравнения там же приведены имеющиеся литературные данные из [6]; для единообразия и более правильной суждения о точности наших расчетов мы пользовались исходными значениями только из [6]; в табл. 3, 4 они отмечены одной звездочкой.

Как видно из таблиц, результаты наших расчетов теплот образования для первых двух представителей аммиаков хлористого, бромистого и йодистого лития отличаются от приведенных в [6] не более чем на 2—12%. Для остальных членов это различие, как видно из таблиц, составляет в среднем величину порядка 0,2—1%.

Для первых двух представителей кристаллических соединений типа LiCl · t(CH<sub>3</sub>)<sub>2</sub>NH, LiBr · t(CH<sub>3</sub>)<sub>2</sub>NH, LiJ · t(CH<sub>3</sub>)<sub>2</sub>NH, LiCl · tCH<sub>3</sub>NH<sub>2</sub>, LiBr · tCH<sub>3</sub>NH<sub>2</sub>, LiJ · tCH<sub>3</sub>NH<sub>2</sub> теплоты образования по нашим расчетам и формулам отличаются от соответствующих величин в [6] не более чем на 5—9%. Интересно обратить внимание на то, что это различие уменьшается от 5—9% до 2—3% при переходе от соединений, содержащих йод, к соединениям, содержащим хлор (табл. 3, 4). Можно предполагать, что примерно такого же порядка будет точность результатов для первых членов, вычисленных по формулам табл. 1, 2. Существенно подчеркнуть, что в целом точность предложенных формул порядка 0,5—1% в отдельных случаях 2—4%. Она значительно выше для кристаллогидратов, чем для аммиаков.

По нашим расчетам (табл. 4) теплота образования  $-\Delta H_f^\circ$ , 2LiJ · PbJ<sub>2</sub> равна 204,65 ккал/моль, в то время как по [6] она составляет 140,27 ккал/моль. Видимо, это объясняется либо ошибкой, либо опечаткой в [6].

### Выводы

Методами П. Г. Маслова [3], а также авторов [4, 5] получены общие приближенные формулы для оценки теплот образования и некоторых



Таблица 3

Сравнение теплот образования кристаллических соединений, содержащих литий, которые найдены авторами, с опытными данными из [6] при 25° С

Соединение	$-\Delta H_f^\circ$ , ккал/моль		Соединение	$-\Delta H_f^\circ$ , ккал/моль	
	Наш расчет	Данные [6]		Наш расчет	Данные [6]
LiCl·NH <sub>3</sub>	125,6	120,5	LiBr·5(CH <sub>3</sub> ) <sub>2</sub> NH	154,1	154,1*
LiCl·2NH <sub>3</sub>	144,6	142,2	LiJ· $\frac{1}{2}$ (CH <sub>3</sub> ) <sub>2</sub> NH	81,0	74,7
LiCl·3NH <sub>3</sub>	163,6	163,6	LiJ·(CH <sub>3</sub> ) <sub>2</sub> NH	87,4	83,8
LiCl·4NH <sub>3</sub>	182,6	182,6	LiJ· $1\frac{1}{2}$ (CH <sub>3</sub> ) <sub>2</sub> NH	93,8	92,1
LiCl·5NH <sub>3</sub>	201,6	201,6*	LiJ·2(CH <sub>3</sub> ) <sub>2</sub> NH	100,2	99,8
LiBr·NH <sub>3</sub>	115,6	107,6	LiJ·3(CH <sub>3</sub> ) <sub>2</sub> NH	113,0	113
LiBr·2NH <sub>3</sub>	134,6	130,3	LiCl·(CH <sub>3</sub> ) <sub>2</sub> NH <sub>2</sub>	120,8	117,5
LiBr·3NH <sub>3</sub>	153,6	152,4	LiCl·2(CH <sub>3</sub> )NH <sub>2</sub>	136,6	135,2
LiBr·4NH <sub>3</sub>	172,6	173,5	LiCl·3(CH <sub>3</sub> )NH <sub>2</sub>	152,4	152,0
LiBr·5NH <sub>3</sub>	191,6	192,6	LiCl·4(CH <sub>3</sub> )NH <sub>2</sub>	168,2*	168,2*
LiBr·6 $\frac{1}{2}$ NH <sub>3</sub>	220,1	220,1*	LiBr·CH <sub>3</sub> NH <sub>2</sub>	113,6	104,9
LiJ·NH <sub>3</sub>	102,9	91,8	LiBr·2CH <sub>3</sub> NH <sub>2</sub>	129,6	124,8
LiJ·2NH <sub>3</sub>	121,9	116,1	LiBr·3CH <sub>3</sub> NH <sub>2</sub>	145,2	144,4
LiJ·3NH <sub>3</sub>	140,9	138,9	LiBr·4CH <sub>3</sub> NH <sub>2</sub>	161,0	161,2
LiJ·4NH <sub>3</sub>	159,9	161,3	LiBr·5CH <sub>3</sub> NH <sub>2</sub>	176,8	176,8*
LiJ·5NH <sub>3</sub>	178,9	180,6	LiNO <sub>3</sub>	115,6	115,279
LiJ·5 $\frac{1}{2}$ NH <sub>3</sub>	188,4	189,7	LiNO <sub>3</sub> ·3H <sub>2</sub> O	328,6	328,6*
LiJ·7NH <sub>3</sub>	216,9	216,9*	LiSO <sub>4</sub>	343,2	342,83
LiCl·(CH <sub>3</sub> ) <sub>2</sub> NH	116,0	113,0	LiSO <sub>4</sub> ·H <sub>2</sub> O	414,2	414,2*
LiCl·2(CH <sub>3</sub> ) <sub>2</sub> NH	128,0	127,4	LiReO <sub>4</sub>	253,1	253,4
LiCl·3(CH <sub>3</sub> ) <sub>2</sub> NH	141,6	141,6*	LiReO <sub>4</sub> ·H <sub>2</sub> O	324,1	324,9
LiBr· $\frac{1}{2}$ (CH <sub>3</sub> ) <sub>2</sub> NH	93,5	92,1	LiReO <sub>4</sub> ·2H <sub>2</sub> O	395,1	395,1*
LiBr·(CH <sub>3</sub> ) <sub>2</sub> NH	102,9	100,3			
LiBr·2(CH <sub>3</sub> ) <sub>2</sub> NH	115,7	113,7			
LiBr·3(CH <sub>3</sub> ) <sub>2</sub> NH	128,5	127,9			
LiBr·4(CH <sub>3</sub> ) <sub>2</sub> NH	141,3	141,3			

Таблица 4

Сравнение термодинамических свойств литиевых кристаллических соединений при 25° С, вычисленных по предложенным формулам, с данными из [6]

Соединение	$-\Delta H_f^\circ$ , ккал/моль		$-\Delta F_f^\circ$ , ккал/моль		$\lg K_f$		$S^\circ$ , э. ед.		$C_p^\circ$ , кал/моль·град	
	Наш расчет	Данные [6]	Наш расчет	Данные [6]	Наш расчет	Данные [6]	Наш расчет	Данные [6]	Наш расчет	Данные [6]
LiOH	117,77	116,45	107,9	106,1	79,40	77,77	12,13	12,0	—	—
LiOH·H <sub>2</sub> O	188,77	188,77*	164,8	164,8*	120,8	120,8*	22,0	22,0*	—	—
LiCl	100,9	97,7	94,3	—	63,13	—	14,93	—	12,44	12,2*
LiCl·H <sub>2</sub> O	171,5	170,31*	151,2	—	110,83	—	24,80	—	23,4	23,4*
LiCl·2H <sub>2</sub> O	242,5	242,1	208,1	—	152,53	—	44,53	—	34,4	—
LiCl·3H <sub>2</sub> O	313,5	313,5	265,0	—	194,23	—	34,67	—	45,4	—
LiJ	72,0	64,8	—	—	—	—	—	—	10,2	13,0
		103,8	—	—	—	—	—	—	21,2	23,6
LiJ· $\frac{1}{2}$ H <sub>2</sub> O	107,5	—	—	—	—	—	—	—	32,2	32,9
LiJ·H <sub>2</sub> O	143,0	141,16	—	—	—	—	—	—	43,2	43,2
LiJ·2H <sub>2</sub> O	214,0	213,03	—	—	—	—	—	—	11,6	12,4
LiBr	88,9	83,72	—	—	—	—	—	—	22,6	22,6*
LiBr·H <sub>2</sub> O	159,9	158,34	—	—	—	—	—	—	—	—

других свойств группы семейств кристаллических соединений, содержащих литий, при 25° С.

Для группы соединений некоторые из термодинамических свойств вычисленные по предложенным формулам, сравнены с данными из [6] итоги расчета находятся в весьма хорошем соответствии с опытом [6].

Точность формул в среднем порядка 0,2—1%, в отдельных случаях 1—10%.

#### ЛИТЕРАТУРА

1. П. Г. Маслов, Ю. П. Маслов, Химия и технол. топлив и масел, Гос. научн. техн. комитет Совета Министр. и АН СССР, 10, 50, 1958.
2. П. Г. Маслов, Ж. физ. химии, 33, 1461, 1959.
3. П. Г. Маслов, Диссертация, МГПИ им. Ленина, 1953; Успехи химии, 25, 106, 1956.
4. Ю. П. Маслов, П. Г. Маслов, Оптика и спектроскопия, 3, 38, 1957.
5. Ю. П. Маслов, П. Г. Маслов, Ж. физ. химии, 32, 1715, 1958.
6. F. D. Rossini, D. D. Wagman, W. H. Evans, S. Levine and I. J. O'fe, Selected values of chemical thermodynamic properties Nat. Bur. Standard Circular No 500, Washington, 1952, E. J. Prosen, F. D. Rossini, J. Res. Nat. Bur. Standards, 34, No 3, 263; 36, No 3, 269, 1946.

#### THERMODYNAMIC CHARACTERISTICS OF CRYSTALLINE COMPOUNDS CONTAINING LITHIUM

*P. G. Maslov and Yu. P. Maslov (Leningrad)*

#### Summary

In the report approximate general formulas for calculating the heats of formation and some other thermodynamic functions at 25°C of a large group of families of crystalline compounds containing lithium have been derived by P. G. Maslov's method. As initial values for the corresponding thermodynamic functions the data in the Rossini, Wagman et al. handbook published in 1952 have been taken.

The accuracy of the calculations is sufficient for preliminary technological estimations. In many cases it is of the order of 0.2 — 1%, more seldom 1—10%.



## ИССЛЕДОВАНИЕ СМЕШАННЫХ АДСОРБЦИОННЫХ КАТАЛИЗАТОРОВ ГИДРИРОВАНИЯ

### II. АКТИВНОСТЬ СМЕШАННЫХ АДСОРБИРОВАННЫХ НА $\text{SiO}_2$ , Pd — Ag КАТАЛИЗАТОРОВ В ЗАВИСИМОСТИ ОТ ПОСЛЕДОВАТЕЛЬНОСТИ АДСОРБЦИИ Pd И Ag

*А. А. Алчуджан и М. А. Мантукян*

В предыдущей статье [1] были изложены результаты изучения адсорбционных Pd—Ag катализаторов на поверхности  $\text{SiO}_2$ . В этом случае Pd Ag наносились на поверхность  $\text{SiO}_2$  совместной адсорбцией.

При совместной адсорбции навеска силикагеля смачивалась избытком воды, после чего при интенсивном перемешивании к ней приливался раствор аммиаков палладия серебра, приготовлявшийся смешением растворов  $[\text{Pd}(\text{NH}_3)_4](\text{NO}_3)_2$  и  $[\text{Ag}(\text{NH}_3)_2]\text{NO}_3$  нужных соотношениях. После того как адсорбция практически заканчивалась (при этом обычно адсорбировалось  $\sim 98\%$  соли), раствор медленно и возможно полнее выпаривался, при непрерывном размешивании, на водяной бане. Таким образом высушенный препарат досушивался в сушильном шкафу, при температуре не выше  $110^\circ \text{C}$ . Затем препарат помещался в змеевиковый реактор и подвергался восстановлению в токе одорода при  $250^\circ \text{C}$  в течение 3 час. при скорости струи водорода 2,58 л/час.

Количество палладия на  $\text{SiO}_2$  сохранялось постоянным, а серебра — не менялось. Активность катализаторов изучалась на примере гидрирования бензола. При этом следует иметь в виду, что Pd каталитически активен в отношении гидрирования бензола, а Ag — нет.

Полученные при этом основные результаты сводились к следующему:  
1) В общем случае, при постоянстве количества Pd на поверхности  $\text{SiO}_2$ , по мере увеличения содержания Ag активность катализатора возрастает, достигает максимума и затем снижается.

2) Степень активации и дезактивации Pd— $\text{SiO}_2$  катализатора серебром зависит от степени заполнения поверхности  $\text{SiO}_2$  палладием. Так происходит при совместной адсорбции Pd и Ag на  $\text{SiO}_2$ .

Из изучения кинетики реакции было установлено, что при переходе от Pd— $\text{SiO}_2$  катализаторов к Pd + Ag —  $\text{SiO}_2$  катализаторам сохраняется одна и та же зависимость скорости реакции от концентраций водорода и бензола (нулевой порядок как по водороду, так и по бензолу) и одна и та же кажущаяся энергия активации. Отсюда был сделан вывод, что серебро способствует изменению величины активной поверхности катализатора, без изменения ее энергетического состояния [1].

Интересно было выяснить влияние серебра на активность Pd на  $\text{SiO}_2$  при изменении способа приготовления Pd + Ag —  $\text{SiO}_2$  катализаторов, а именно, при последовательном введении Pd и Ag на  $\text{SiO}_2$ , при этом в одном случае — сначала Pd, затем Ag, в другом — наоборот.

### Экспериментальная часть

В данной работе катализаторы готовились аналогично описанному [1]. При этом сначала адсорбировался один компонент (Pd или Ag). Затем на этот катализатор адсорбировался другой компонент, который, так же как и первый, восстанавливался. Этим путем получали Pd + Ag —  $\text{SiO}_2$  катализаторы.

Активность катализаторов изучалась также на примере гидрирования бензола при условиях, описанных в работе [1].

Изучение активности катализаторов, полученных путем последовательной адсорбции Pd и Ag на  $\text{SiO}_2$ , показало, что:

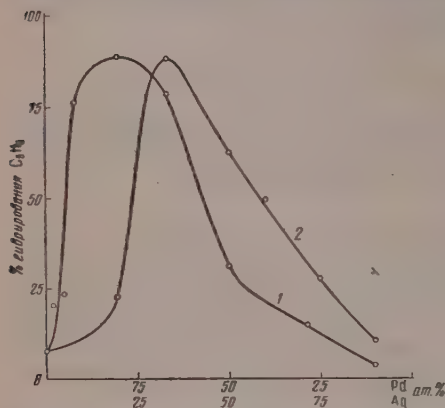
1) Катализаторы, полученные при последовательной адсорбции и восстановлении сначала соли палладия, затем серебра, оказались совершенно неактивными\*. При этом были изучены катализаторы, содержащие 1,0% Pd от веса  $\text{SiO}_2$  и соотношении Pd : Ag = 4 : 1; 0,2% Pd от веса  $\text{SiO}_2$  и соотношения Pd : Ag = 32 : 1; 4 : 1 и 2 : 1.

2) Катализаторы, полученные при адсорбции и восстановлении сначала соли серебра, а затем палладия, обнаруживают активность, аналогично совместно адсорбированным Pd + Ag —  $\text{SiO}_2$  катализаторам.

При этом, как и в случае совместно адсорбированных Pd + Ag —  $\text{SiO}_2$  катализаторов, при постоянстве содержания Pd на поверхности  $\text{SiO}_2$  по мере увеличения содержания Ag активность катализаторов возрастает, достигает максимума, затем уменьшается.

Эти данные приведены в таблице и на рисунке.

На рисунке (кривая 1) приведены результаты изучения зависимости активности совместно осаждаемых Pd—Ag на  $\text{SiO}_2$  катализаторов от количества серебра (при постоянстве количества палладия). Кривая 2 представляет аналогичную зависимость для случая последовательной адсорбции и восстановления сначала серебра, затем палладия. Как видно из



Зависимость каталитической активности от состава Pd — Ag катализаторов. Условия гидрирования:  $\dot{V}_{\text{H}_2} = 0,72$  л/час,  $175^\circ \text{C}$ ,  $\text{H}_2 : \text{C}_6\text{H}_6 = 4 : 1$ . Навеска катализатора 10 г в расчете на  $\text{SiO}_2$ . 1 — 0,2 вес. % Pd; адсорбция совместная; 2 — 0,2 вес. % Pd; последовательная адсорбция сначала серебра, затем палладия

этих кривых, при последовательной адсорбции и восстановлении сначала Ag, а затем Pd получается аналогичный результат, как и при совместной адсорбции их, только максимум активности и вся кривая активности сдвигаются правее.

Активность адсорбционных Pd + Ag —  $\text{SiO}_2$  катализаторов зависит от того, в какой последовательности адсорбированы Pd и Ag на  $\text{SiO}_2$ . При совместной адсорбции Pd и Ag или при последовательной адсорбции сначала серебра, а затем палладия, активность катализаторов по мере увеличения содержания серебра (при постоянстве количества палладия) сначала резко возрастает, достигает максимума, а затем уменьшается. В случае же адсорбции сначала палладия, затем серебра, катализаторы при всех изученных соотношениях Pd : Ag = 32 : 1; 4 : 1 и 2 : 1 (при 0,2% Pd от веса  $\text{SiO}_2$ ) оказались совершенно неактивными. Величина заполнения поверхности палладием в этих случаях равна 0,00174, а наибольшее заполнение при отношении Pd : Ag = 2 : 1 = 0,00357.

Могло показаться, что для активности катализатора при таких запол-

\* При этом, обычно, после нанесения палладия и его восстановления предварительно изучалась активность данного Pd —  $\text{SiO}_2$  катализатора, и только после этого наносилось серебро. При таком изучении выяснено, что Pd —  $\text{SiO}_2$  катализаторы обладают нормальной для них активностью. В одном случае, после нанесения и восстановления Pd без изучения его активности, на катализатор было нанесено серебро. Никакой разницы в активности в этих случаях не было observed.

Изменение активности Pd + Ag — SiO<sub>2</sub> катализаторов при изменении последовательности адсорбции Pd и Ag на SiO<sub>2</sub>

Порядок адсорбции Pd и Ag	% Pd от веса SiO <sub>2</sub>	Pd : Ag	Активность, * % гидрирования
Только палладий	1,0	Только Pd	63,3
Pd и Ag совместно	1,0	4 : 1	51,2
Сначала Pd, затем Ag	1,0	4 : 1	4,1
Только палладий	0,2	Только Pd	7,67
Pd и Ag совместно	0,2	32 : 1	23*
Сначала Pd, затем Ag	0,2	32 : 1	0
Только палладий	0,2	Только Pd	7,67
Pd и Ag совместно	0,2	4 : 1	88,8
Сначала Ag, затем Pd	0,2	4 : 1	22,66
Сначала Pd, затем Ag	0,2	4 : 1	0
Только палладий	0,2	Только Pd	7,67
Pd и Ag совместно	0,2	2 : 1	78,37
Сначала Ag, затем Pd	0,2	2 : 1	88,3
Сначала Pd, затем Ag	0,2	2 : 1	0

\* Активность определена по кривой.

ениях последовательность адсорбции Pd и Ag на поверхность SiO<sub>2</sub> не должна быть столь существенной. В обоих случаях должно иметь место активирование Pd — SiO<sub>2</sub> катализатора серебром. Между тем введение небольших количеств серебра при совместном осаждении Pd и Ag активирует катализатор за счет увеличения активной поверхности палладия. При больших количествах серебра активная поверхность палладия уменьшается за счет увеличения концентрации серебра на поверхности палладия и электронного взаимодействия серебра с палладием [1, 2]. При адсорбции сначала серебра, затем палладия поверхность палладия не может содержать значительных количеств серебра (при небольших заполнениях Ag), и в этом случае катализатор ведет себя аналогично тому, как и при совместной адсорбции Pd и Ag. При предварительной адсорбции (и восстановлении) палладия, а затем серебра даже одного атома Ag на 32 атома Pd достаточно, чтобы уничтожить активность палладия. Приведем пример: при заполнении поверхности SiO<sub>2</sub> 0,2% Pd от веса SiO<sub>2</sub> степень заполнения 0,00174) активность катализатора, выраженная в процентах гидрирования, равна 7,67. При совместной адсорбции Pd и Ag в отношении Pd : Ag = 2 : 1 активность равна 78,37% гидрирования. Если сначала нанести на SiO<sub>2</sub> серебро, затем Pd, активность оказывается равной 88,3% гидрирования, если же сначала нанести палладий, а затем серебро, активность становится равной нулю.

## Выводы

1. Показано, что активность Pd + Ag — SiO<sub>2</sub> адсорбционных катализаторов зависит от порядка нанесения (путем адсорбции) на поверхность SiO<sub>2</sub> Pd и Ag.
2. Установлено, что при нанесении на SiO<sub>2</sub> сначала Ag, затем Pd, активность катализаторов (при постоянстве количества палладия) по мере увеличения количества серебра, как и в случае совместной адсорбции Pd и Ag, возрастает, достигает максимума и затем уменьшается.
3. Обнаружено, что при нанесении на SiO<sub>2</sub> сначала палладия, затем серебра, катализатор совершенно не обнаруживает активности.
4. Отсутствие активности катализаторов, приготовленных последовательной адсорбцией палладия, затем серебра, вероятно, связано с большими концентрациями серебра на палладии, которые создаются при такой последовательности адсорбции их.



## ЛИТЕРАТУРА

1. А. А. Алчуджан и М. А. Мантикян, Ж. физ. химии, 33, 780, 1959.
2. А. А. Алчуджан и Е. Т. Кристостурян, Сб. научн. тр. Ереванского политехн. ин-та, Сер. хим.-технол., вып. 16, 37, 1957.

---

STUDIES OF MIXED HYDROGENATING ADSORPTION CATALYSTS.  
II. INVESTIGATION INTO THE ACTIVITY OF MIXED Pd — Ag CATALYSTS  
ADSORBED ON  $\text{SiO}_2$  WITH RESPECT TO THE ORDER  
CONSECUTIVE OF ADSORPTION OF Pd AND Ag

*A. A. Alchudzhyan and M. A. Mantikyan (Yerevan)*

## Summary

A study has been made of the activity of Pd + Ag —  $\text{SiO}_2$  catalysts in relation to the order of adsorption (and reduction) of Pd and Ag (in the form of salts) on  $\text{SiO}_2$ . It has been found that when silver is adsorbed first and then palladium the catalyst activity increases with increasing silver (and constant palladium) content, attains a maximum and then decreases, as in the case of the simultaneous adsorption of Pd and Ag. When palladium is adsorbed first, followed by silver, the activity of the catalyst is found to be zero. The opinion has been advanced that in this case the concentration of silver on the palladium surface is always high and that moreover the electronic interaction between silver and palladium increases, as a result of which the catalyst becomes inactive.

---

## ИССЛЕДОВАНИЕ РЕАКЦИИ ОКИСЛЕНИЯ И РАСПАДА ФОРМАЛЬДЕГИДА ПРИ ВЫСОКИХ ТЕМПЕРАТУРАХ

*А. А. Анисонян, С. Я. Бейдер, А. М. Маркевич  
и А. Б. Налбандян*

Одной из задач, возникших при разработке технологической схемы окисления метана в формальдегид [1—2], явилось изучение стабильности самого формальдегида в реакционном газе. Эта задача, в связи с высокой реакционной способностью формальдегида, приобретает большое значение. Формальдегид образуется в реакции окисления метана при 600—700° С является промежуточным продуктом. В то же время окисление самого формальдегида, даже при значительно более низких температурах, протекает с большой скоростью. Поэтому было необходимо исследовать кинетические закономерности реакции окисления формальдегида применительно к разрабатываемой технологической схеме и, в частности, выяснить такие вопросы, как роль закалки продуктов окисления метана на выходе из реактора, влияние насадки и обработки поверхности, а также действие окислов азота, применяемых нами в качестве гомогенного катализатора окисления метана в формальдегид, которые всегда присутствуют в реакционном газе.

Имеющиеся литературные данные по окислению формальдегида при сравнительно низких температурах и больших временах контакта для наших целей не могли быть использованы, и оказалось необходимым поставить специальное исследование.

### Экспериментальная часть

В настоящей работе все опыты проводились в условиях струи при атмосферном давлении. Концентрация формальдегида в газе составляла во всех случаях 1 объем. %. Поддержание постоянства концентрации формальдегида в газе, поступающем в установку через реометр 1 (рис. 1), осуществлялось в дозаторе — 0,5 л колбе, содержащей

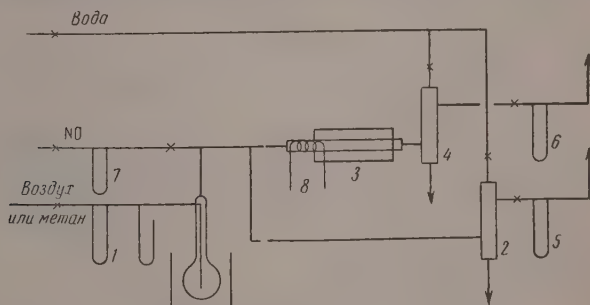


Рис. 1. Принципиальная схема установки

13—16%-ный формалин, через который барботировался газ. Дозатор помещался в водяной бане при температуре около 70° С. Такой метод подачи формальдегида в реактор оказался достаточно надежным и стабильным в течение многих часов. Единственный недостаток заключался в том, что отходящий газ, кроме формальдегида, содержал также значительное количество (6—7%) водяных паров.



При выходе из дозатора газовый поток разделялся на две равные части: одна часть поступала непосредственно в орошаемый водой абсорбер 2, вторая — в реактор, помещенный в электрическую печь 3 и далее в абсорбер 4. Для устранения возможной полимеризации формальдегида все коммуникации от дозатора до абсорберов обогревались вихровой спиралью до  $\sim 100^\circ \text{C}$ .

Расход сбрасываемого газа контролировался реометрами 5 и 6. Анализ конденсата из 2 и 4 позволял определить содержание формальдегида в исходном газе и на выходе из реакционного сосуда. Эти анализы проводились гидроксиметрическим методом. Установка позволяла исследовать также влияние окислителя азота, подача которых измерялась реометром 7.

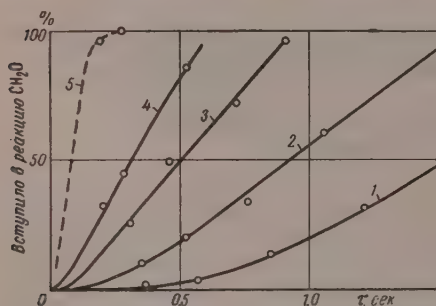


Рис. 2. Кинетические кривые окисления формальдегида. Состав смеси — воздух:  $\text{CH}_2\text{O} = 99 : 1$ ; 1 — 510; 2 — 576; 3 — 609; 4 — 620 и 5 — 660° C

В работе исследовалось поведение формальдегида как в пустом сосуде, так и в сосуде с насадкой. В последнем случае этот же реакционный сосуд был заполнен насадкой, изготовленной из кварцевых тонкостенных капилляров диаметром 1,5—2 мм. Длина отдельных элементов насадки составляла 2—2,5 мм. Для реакционного сосуда, заполненного насадкой, свободный объем сократился на 30%. Отношение  $S/V$  возросло примерно в 10 раз.

**Реакция окисления.** Применительно к поставленной задаче нас в первую очередь интересовала реакция окисления формальдегида. Эта часть работы проведена со смесью постоянного состава — воздух :  $\text{CH}_2\text{O} = 99 : 1$ .

1. Пустой реакционный сосуд. В этой серии опытов изучалась кинетика окисления формальдегида в зависимости от времени пребывания  $\tau$  для 510, 576, 609, 620 и частично для 660° C. Время пребывания изменялось от 0,2 до 1,2 сек. Результаты представлены на рис. 2, где по оси абсцисс нанесено время пребывания, и по оси ординат — процент вступившего в реакцию формальдегида. Каждая экспериментальная точка на этом рисунке получена при установленном режиме и представляет среднюю величину из целого ряда определений, проведенных в течение 2—3 час. работы установки при стабильных условиях. Пользуясь этими данными, было нетрудно путем пересчета получить зависимость между количеством вступившего в реакцию формальдегида и температурой для различных времен пребывания. Такая зависимость представлена на рис. 3.

Все последующие опыты проведены при постоянном времени пребывания, равном 0,3 сек. Рис. 4 показывает влияние 0,1% добавки окиси а-

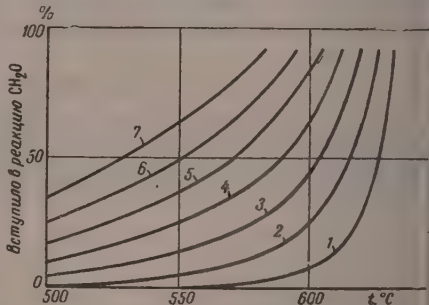


Рис. 3. Количество вступившего в реакцию формальдегида при различных температурах и временах пребывания  $\tau$ . Пустой реакционный сосуд. Состав смеси — воздух:  $\text{CH}_2\text{O} = 99 : 1$ ; 1 —  $\tau = 0,2$ ; 2 —  $\tau = 0,3$ ; 3 —  $\tau = 0,6$ ; 4 —  $\tau = 0,8$ ; 5 —  $\tau = 1,0$ ; 6 —  $\tau = 1,2$ ; 7 —  $\tau = 1,4$  сек.

на скорость окисления формальдегида. Кривая 1, проведенная по зарпненным экспериментальным точкам для опытов без NO, хорошо согласуется с кривыми рис. 3. Примесь 0,1% NO значительно увеличивает скорость окисления формальдегида, и соответственно кривая сдвигается в область более низких температур.

2. Реакционный сосуд заполнен насадкой. Заполнение реакционного сосуда насадкой значительно снизило скорость окисления по сравнению с пустым сосудом. Следует отметить, что в этих опытах очень ярко обнаружилось влияние природы поверхности. Так, например, первые опыты, проведенные после заполнения реактора насадкой, не дали воспроизводимых результатов. С течением времени процент превращения формальдегида все увеличивался, и только после нескольких дней работы была достигнута воспроизводимость. В

последующих опытах с пустым сосудом подобной картины не наблюдалось. Экспериментальные данные представлены на рис. 5 (кривая 1). Крестиками помечены данные, полученные при первых опытах, которые при повторении не показали воспроизводимости. Более поздние опыты, которые мы принимаем как стабильные и которые

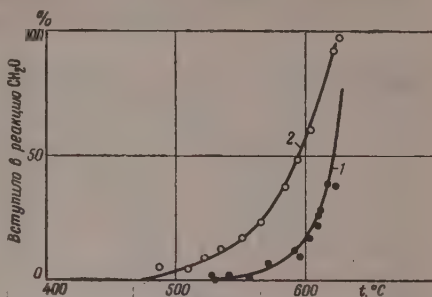


Рис. 4. Каталитическое действие окиси азота на реакцию окисления формальдегида. Пустой реакционный сосуд. Состав смеси — воздух :  $\text{CH}_2\text{O} = 99 : 1$ ,  $\tau = 0,3$  сек: 1 — без NO; 2 — 0,1% примеси NO

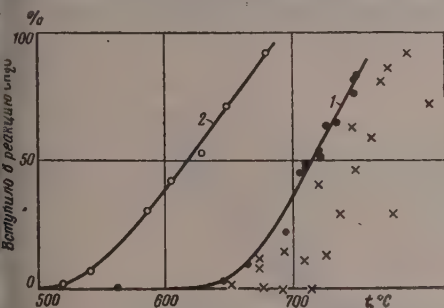


Рис. 5. Стабилизация поверхности реакционного сосуда, заполненного кварцевой насадкой. Каталитическое действие окиси азота на реакцию окисления формальдегида. Состав смеси — воздух :  $\text{CH}_2\text{O} = 99 : 1$ ,  $\tau = 0,3$  сек: 1 — без NO; крестиками отмечены экспериментальные данные для нестабильной поверхности; черными кружочками указаны данные, полученные при стабилизированной поверхности реакционного сосуда; 2 — то же с примесью 0,1% NO

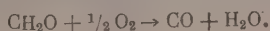
показали хорошую воспроизводимость в течение нескольких дней работы, отмечены черными точками. Сопоставляя кривые рис. 4 и 5, нетрудно видеть, что заполнение реактора насадкой позволило значительно снизить скорость окисления формальдегида.

Влияние окислов азота исследовалось на стабилизированной поверхности. Как и в случае пустого сосуда, добавка NO составляла 0,1%. Опыты показали, что примесь NO значительно ускоряет окисление формальдегида и сдвигает кривую в сторону низких температур на 80—100° (рис. 5).

3. Реакционный сосуд заполнен насадкой и промыт тетраборатом калия. Промывка реакционного сосуда и находящейся в нем насадки 2%-ным раствором

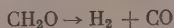
$\text{K}_2\text{B}_4\text{O}_7$  существенно снизила скорость реакции окисления. Данные этой серии опытов, отличающиеся хорошей воспроизводимостью, представлены на рис. 6 (кривая 1).

Анализ продуктов реакции показал, что количество образовавшейся окиси углерода всегда соответствует вступившему в реакцию формальдегиду, так что главным направлением реакции является





Во всем исследованном интервале температур водород в продуктах реакции не обнаруживается. Поэтому в наших опытах реакция распада



не имела места. Добавка водорода в исходную смесь в количестве 0,8% показала, что водород в этих условиях в реакцию не вступает.

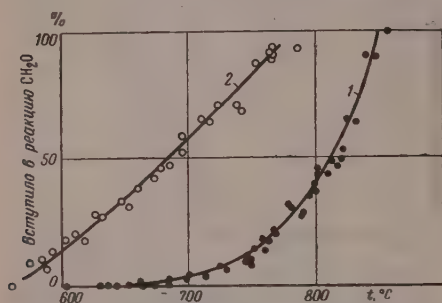


Рис. 6. Каталитическое действие окиси азота на реакции окисления формальдегида. Реакционный сосуд заполнен кварцевой насадкой и обработан  $\text{K}_2\text{V}_4\text{O}_7$ . Состав смеси — воздух:  $\text{CH}_2\text{O} = 99 : 1$ ,  $\tau = 0,3$  сек.: 1 — без  $\text{NO}$ ; 2 — с примесью 1,0%  $\text{NO}$

Как и в предыдущих сериях опытов, окись азота катализировала реакцию. Содержание  $\text{NO} = 0,1\%$  сдвигает кривую в область низких температур более чем на  $100^\circ$  (кривая 2).

Реакция распада. Опыты с воздушными смесями показали, что заполнение реакционного сосуда насадкой, промывка тетраборатом калия настолько снижают скорость реакции, что при времени пребывания 0,3 сек. реакция окисления становится заметной только при  $t^\circ > 650-700^\circ \text{C}$  (рис. 6), т. е. именно в той области температур, где скорость реакции распада становится вполне измеримой.

Это побудило нас исследовать реакцию распада формальдегида. В качестве инертного разбавителя был выбран природный газ — метан, не содержащий кислорода. Вся эта группа опытов в бескислородной среде

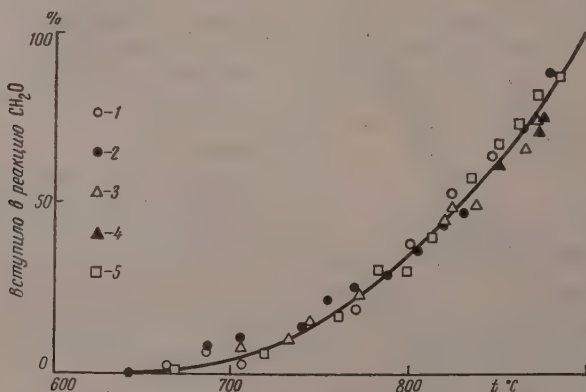


Рис. 7. Разложение формальдегида в бескислородной среде — в метане в присутствии и без окиси азота. Получено при различных реакционных сосудах: 1 — пустом без добавок  $\text{NO}$ ; 2 — то же с добавкой 0,1%  $\text{NO}$ ; 3 — заполненном насадкой без  $\text{NO}$ ; 4 — то же с добавкой 0,1%  $\text{NO}$ ; 5 — заполненном насадкой, промытой  $\text{K}_2\text{B}_4\text{O}_7$ , без  $\text{NO}$ . Состав смеси —  $\text{CH}_4 : \text{CH}_2\text{O} = 99 : 1$ ,  $\tau = 0,3$  сек.

де проведена при тех же условиях, что и опыты с воздушными смесями. Реакция исследовалась в пустом кварцевом сосуде и в сосуде с насадкой (как чистой, так и обработанной  $\text{K}_2\text{B}_4\text{O}_7$ ) в чистом метане и с добавкой 0,1% окиси азота. В отдельных опытах содержание  $\text{NO}$  было повышено до 0,8%.

Все эти эксперименты, проведенные при столь различных условиях, казали полную воспроизводимость. На рис. 7 различными значками азаны условия опыта. Хорошее совпадение всех опытных данных позволяет уложить их на единую экспериментальную зависимость.

### Обсуждение результатов

Результаты настоящей работы, в частности данные по окислению формальдегида при различных временах пребывания и температурах, были использованы при разработке технологической схемы окисления метана формальдегид. Кроме такого непосредственного применения, экспериментальные данные позволяют сделать также другие, имеющие более широкое значение выводы.

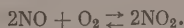
В литературе имеются разрозненные сведения о влиянии поверхности на реакцию окисления формальдегида. Например, в работе Шири [3] обращается внимание на различный вид кинетических кривых, который определяется способом обработки или числом опытов, проведенных в данном реакционном сосуде. В настоящей работе получены достаточно убедительные данные о влиянии природы поверхности и величины  $S/V$  на скорость реакции, что говорит о наличии гетерогенных процессов в этой реакции. Следует указать также на большую аналогию рассматриваемой реакции реакции окисления метана в отношении чувствительности к состоянию поверхности [4].

При рассмотрении данных, полученных для реакции распада формальдегида в бескислородной среде, обращает внимание тот факт, что добавка кислорода не оказывает никакого каталитического действия. Даже в тех случаях, когда содержание  $\text{NO}$  было увеличено против обычной дозировки 8 раз и составляло 0,8%, не было замечено никакого ускорения реакции. Только резкая разница влияния добавок  $\text{NO}$  на реакции окисления и распада формальдегида, т. е. сильное каталитическое действие в первом случае и полная инертность во втором, должна быть связана, по-видимому, присутствием кислорода.

В то же время широко известно представление о роли  $\text{NO}$ , как о соединении, имеющем свойства слабого радикала и способном при повышенных температурах инициировать реакцию. В случае ацетальдегида Н. Н. Семенов предполагает следующую реакцию:



считая, что такой процесс протекает легче, чем непосредственный разрыв связей  $\text{C}-\text{C}$  или  $\text{C}-\text{H}$  в молекуле альдегида [5]. В соответствии с нашими данными, которые охватывают температурный интервал от 650 до 870° С, мы считаем, что, по-видимому, нет оснований предполагать возможность прямой реакции между  $\text{NO}$  и  $\text{CH}_2\text{O}$ . Каталитическое действие  $\text{NO}$ , как это следует из данных настоящей работы, вызывается присутствием кислорода в системе и, вероятно, связано прежде всего с реакцией:



Последняя в свою очередь может положить начало самостоятельной серии реакций, приводящих, например, к образованию нитросоединений, как это недавно было показано в работе Н. С. Ениколопьяна и Г. П. Коноровой [6] при окислении метана, инициированном окисью азота.

Хорошая воспроизводимость экспериментальных данных для реакции распада и полная независимость кинетики от состояния поверхности указывают на то, что все элементарные стадии этой реакции являются гомогенными.



## Выводы

1. Исследовалась реакция окисления и распада формальдегида в температурном интервале от 500 до 870° С при временах пребывания 0,3 сек. Опыты проводились при атмосферном давлении на струевой установке. Концентрация  $\text{CH}_2\text{O}$  в исходной смеси поддерживалась равной 1 объемн. %.

2. Показано, что при работе со смесями — воздух :  $\text{CH}_2\text{O}$  = 99 : 1 скорость реакции окисления сильно зависит от состояния поверхности реакционного сосуда и величины  $S/V$ . Заполнение сосуда насадкой, а также промывка сосуда раствором тетрабората калия резко тормозят реакцию. Добавка к исходной смеси окиси азота (0,1 %) сильно ускоряет реакцию.

3. Реакция распада изучалась в отсутствие кислорода в смесях с метаном ( $\text{CH}_4$  :  $\text{CH}_2\text{O}$  = 99 : 1). Показано, что скорость реакции не зависит ни от природы поверхности реакционного сосуда, ни от величины  $S/V$ . Добавка окиси азота (до 0,8 %) не оказывает заметного влияния на скорость реакции распада.

Поступила  
1.VIII. 1957

## ЛИТЕРАТУРА

1. А. А. Анисонян, С. Ф. Гудков, Н. С. Ениколопан, Н. А. Клейменов, А. М. Маркевич, А. Б. Налбандян и А. П. Сидоров. Газ. пром-сть, № 6, 32, 1957.
2. Н. С. Ениколопан, Н. А. Клейменов, Л. В. Кармилов, А. М. Маркевич и А. Б. Налбандян, Ж. прикладной химии, 32, 91, 1959; 32, 1132, 1959.
3. M. D. Scheer, Fifth Symposium (International) on Combustion, New York, 1955, стр. 435.
4. D. E. Hoare and A. D. Walsh, Fifth Symposium (International) on Combustion, New York, 1955.
5. Н. Н. Семенов, О некоторых проблемах химической кинетики и реакционной способности, Изд-во АН СССР, 1954, стр. 164.
6. Н. С. Ениколопан и Г. П. Конорева, Изв. АН, ОХН — в печати.

## A STUDY OF THE HIGH TEMPERATURE OXIDATION AND DECOMPOSITION OF FORMALDEHYDE

*A. A. Anisonyan, S. Ya. Beider, A. M. Markevich and  
A. B. Nalbandyan (Moscow)*

## Summary

The oxidation and decomposition of formaldehyde have been studied over the temperature range 500 to 670° C at exposures of 0.3 sec. Runs were made in a flow system at atmospheric pressure. The concentration of  $\text{CH}_2\text{O}$  in the initial mixture was maintained constant at 1% per volume.

It has been shown that with mixtures of air :  $\text{CH}_2\text{O}$  of 99 : 1 the rate of the oxidation reaction greatly depends upon the condition of the reaction vessel surface and upon the value of  $S/V$ . Filling of the vessel with packing as well as washing it with a potassium tetraborate solution drastically retards the reaction. [The addition of nitrogen oxide (0.1%) to the initial mixture greatly increases the reaction rate.

The decomposition reaction was studied in the absence of oxygen — on mixtures with methane ( $\text{CH}_4$  :  $\text{CH}_2\text{O}$  — 99 : 1).

It has been shown that the rate is independent of the nature of the reaction vessel walls and of the value of  $S/V$ . The addition of nitrogen oxide (up to 0.8%) exerts a marked effect on the rate of the decomposition reaction.

## ФИЗИКО-ХИМИЯ КОНЦЕНТРИРОВАННОГО ОЗОНА

VII. КОНЦЕНТРАЦИОННЫЕ ГРАНИЦЫ РАСПРОСТРАНЕНИЯ  
ПЛАМЕНИ В ГАЗОВЫХ СМЕСЯХ ОЗОНА \*

В. В. Ястрбов и Н. И. Кобозев

Влияние индифферентного разбавителя на распространение взрыва газообразном озоне до настоящего времени изучалось только на примере озono-кислородных смесей. Предельные концентрации озона, при которых еще возможно распространение взрыва, были определены различными исследователями. Для комнатной температуры и общего давления газа в 1 атм были получены следующие значения: 12 мол. % [2]; 2 мол. % [3]; 9,1—9,5 мол. % [4]; 11 мол. % [5].

По данным Шумахера [3] предельная концентрация озона в смесях кислородом снижается с повышением общего давления газа, с повышением температуры, а также с увеличением диаметра сосудов, в которых проводились взрывы. Шумахер наблюдал также, что при содержании озона в смеси менее 25 мол. % он разлагается при взрыве не полностью, а на 75—80 %.

В настоящей работе была исследована взрываемость газовых смесей озона с кислородом, а также азотом, углекислым газом, аргоном, хлором и парами четыреххлористого углерода при общих давлениях газа до атм.

## Экспериментальная часть

**Методика.** Взрывы газовых смесей проводились в цилиндрических стеклянных сосудах следующих размеров: сосуд № 1 — диаметр 25 мм, высота 100 мм; сосуд № 2 — диаметр 50 мм, высота 200 мм.

Поджигание газа осуществлялось при помощи стандартной искры, пропускавшей между концами двух платиновых проволочек, впаянных в стенки сосуда на середине его высоты и образующих искровой промежуток в 2—3 мм.

Схема установки показана на рис. 1. Чистый кислород, проозонированный в тиом электрическом разряде, через кран 1 подавался в колбу 6, охлаждаемую жидким азотом. Полученный раствор озона в кислороде концентрировался продолжительным (2—3 часа) вакуумированием через краны 2 и 3, затем по мере надобности подавался во взрывной сосуд 7. Для этого взрывной сосуд предварительно эвакуировался до давления ниже 0,1 мм рт. ст. При открытом кране 2 дьюаровский сосуд 8 осторожно опускался, жидкий озон в колбе 6 частично испарялся и поступал во взрывной сосуд. Когда давление в нем достигало нужной величины, кран 2 перекрывался, и озон в колбе 6 снова переводился путем охлаждения в жидкое состояние.

Необходимое количество газа-разбавителя добавлялось к озону, находящемуся во взрывном сосуде, через кран 4. При разбавлении газами менее плотными, чем озон, взрывной сосуд для улучшения перемешивания припаивался так, чтобы газы входили в него снизу.

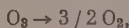
Давление во взрывном сосуде отсчитывалось при помощи ртутного манометра 9, который отделялся от установки сернокислотным манометром 10, служившим в качестве нуль-инструмента. Сернокислотный манометр использовался и для непосредственного отсчета давлений в тех случаях, когда они имели малую величину (до 20—30 мм рт. ст.). С целью уменьшения балластных объемов, ухудшающих точность отсчета, сернокислотный манометр и трубки, соединяющие взрывной сосуд с кранами, были сделаны по возможности короткими — из капилляров диаметром 1—2 мм.

Через 2—3 мин. после заполнения газами взрывного сосуда через полученную смесь пропусклась искра и регистрировалось наличие или отсутствие взрыва; отмечалась также величина повышения давления в сосуде, если вспышка имела место.

\* Экспериментальный материал приведен в [1].

Поджигающая искра получалась от вторичной обмотки автомобильной bobины при разрядке конденсатора емкостью 4  $\mu\text{F}$  на ее первичную обмотку. Конденсатор в одной и той же серии опытов заряжался до одинакового напряжения. Следует отметить факт затрудненной пробиваемости искрового промежутка в атмосфере озона в случае платиновых электродов; это заставило отказаться от использования проволоочек с шариками на концах и от получения искры при помощи постоянного высокого напряжения и остановиться на вышеописанном способе воспламенения.

Чистота озона, поступающего во взрывной сосуд из колбы 6, контролировалась по приросту давления при взрыве неразбавленного озона в контрольных опытах. При разложении 100%-ного озона, согласно стехиометрическому уравнению реакции:



давление должно возрастать в полтора раза. Даже после длительного вакуумирования озона первые его порции, поступавшие во взрывной сосуд, обычно содержали, судя по

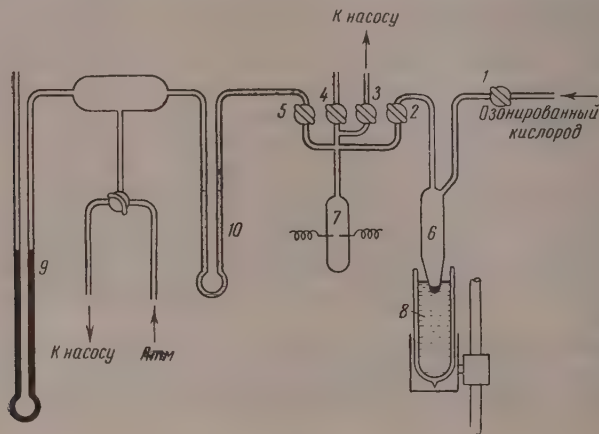


Рис. 1

приросту давления после взрыва, значительные (до 30%) количества кислорода. Однако после ряда контрольных опытов концентрация озона становилась близкой к 100%.

При работе с концентрированным газообразным, как и с жидким озоном, необходимым условием является чистота установки; только при тщательном соблюдении этого условия удалось совершенно исключить непредвиденные взрывы, имевшие место в начале работы.

Взрывы озono-кислородных газовых смесей. Для разбавления озона использовался технический компримированный кислород из баллонов, который пропускался с целью очистки через промывную колбу с серной кислотой, затем через колонки с сухой щелочью и силикагелем.

С озono-кислородными смесями были проведены шесть серий опытов при следующих условиях:

- 1) сосуд № 1; комнатная температура (18—20° С); напряжение зарядки конденсатора 130 В;
- 2) сосуд № 1; комнатная температура; напряжение 200 В;
- 3) сосуд № 1; » » » 270 »;
- 4) сосуд № 2; » » » 200 »;
- 5) сосуд № 1; температура — 70°; » 270 »;
- 6) сосуд № 1; температура менялась; парциальное давление озона 60 мм рт. ст., напряжение зарядки конденсатора 270 В.

Результаты опытов серий 2—4 приведены на рис. 2; темными значками отмечены опыты, в которых имел место взрыв, светлыми — опыты, в которых взрыва не было. Область смесей, в которых взрыв распространяется, и область смесей, не взрывающихся, разделяются для трех ука



нных серий опытов одной и той же четкой границей взрываемости, которая, очевидно, не зависит от условий опыта в тех пределах, в которых они изменялись. При давлениях кислорода выше 200 мм рт. ст. граница взрываемости в указанных координатах представляет собою прямую линию. При атмосферном давлении она проходит при 10,4 мол.%  $O_3$ .

Результаты опытов серии 1) не приводятся, так как они показали плохую воспроизводимость. Разброс объяснялся недостаточной мощностью искры, поэтому дальнейшие опыты проводились при зарядке конденсатора до 200 или 270 В.

При проведении опытов серии 5) взрывной сосуд с подводящей трубкой аходился в дьюаровском сосуде, заполненном смесью сухого льда с метиловым спиртом, имевшей температуру  $-77^\circ C$ . Результаты опытов показаны на рис. 3\*, из которого видно, что граница взрываемости при ох-

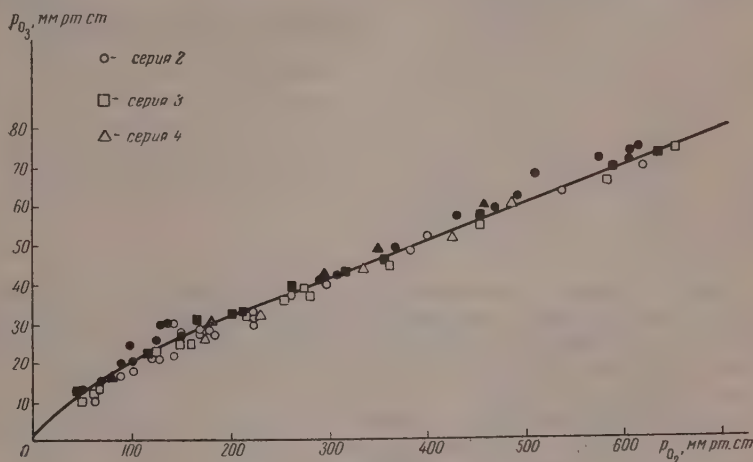


Рис. 2

таждении проходит при более высоких концентрациях озона. Пунктиром показана граница взрываемости при комнатной температуре (по рис. 2).

Опыты серии 6) проводились при парциальном давлении озона 60 мм рт. ст. во всех случаях, в то время как температура взрывного сосуда варьировалась. При каждой температуре определялось минимальное парциальное давление разбавляющего кислорода, при котором взрыв еще может распространяться. Результаты опытов представлены в табл. 1 и графически на рис. 4. Граничное давление кислорода для  $-77^\circ C$  взято из опытов серии 5). Из этих данных видно, что давление кислорода, соответствующее границе взрываемости, возрастает с ростом температуры тем быстрее, чем температура выше.

По приросту давления после вспышки газа может быть вычислена доля разложившегося озона, равная отношению удвоенного прироста давления к начальному парциальному давлению озона ( $2 \Delta p / p_{O_3}$ ). В случаях, когда воспламенение не имело места, прирост давления, вызванный разлагающим действием искры, составлял всего 0,01—0,1 мм рт. ст. В этом случае, очевидно, имеет место локализация процесса разложения в очень небольшой зоне вблизи искры. При воспламенении газа озон все же не разлагался нацело. На рис. 5 и 6 отложены значения  $2 \Delta p$  в зависимости от  $p_{O_3}$  для опытов серий 2) и 5). Из них видно, что степень разложения составляет соответственно 85 и 77%.

\* Крестиками обозначены опыты, в которых наблюдались взрывы.

Измерения процента разложения озона позволили убедиться в том, что во взрывном сосуде всегда имело место достаточно полное перемешивание озона с разбавляющим газом. Для этого проводились опыты, в которых время между окончанием наполнения сосуда и пропусканием искры через смесь менялось от 1 до 30 мин.

Результаты одного из опытов представлены в табл. 2, в которой приведены: время перемешивания газов  $t$ ; их парциальные давления  $p_{O_3}$ ,  $p_{O_2}$ ; давление кислорода  $p_{O_2}$  (гран.), соответствующее границе взрываемости при данном парциальном давлении озона (согласно рис. 2); природное давление  $\Delta p$ ; процент разложения озона. Постоянство процента разложения свидетельствует о том, что перемешивание газов достигается довольно быстро.

Таблица 1

Таблица 2

$t, ^\circ C$	$p_{O_2}$	$p_{O_3}/p_{O_2}$	Вес. % $O_3$ в смеси
+60	638	0,094	12,4
+50	596	0,100	13,1
+26	515	0,116	14,9
-4	456	0,132	16,5
-30	412	0,146	17,9
-77	340	0,176	20,9

$t, \text{ мин.}$	$p_{O_3}$	$p_{O_2}$	$p_{O_3}$ (гран.)	$\Delta p$	% разлож.
1	72	580	620	30	83
5	68	573	580	28	82
10	74	611	640	30	81
30	72	610	620	29,5	82

Опыты с неразбавленным озоном были проведены также при использовании чисто теплового способа подрыва. Для этого во взрывной сосуд вплавлялась платиновая проволока толщиной 0,1 мм. Для поджигания газа проволока нагревалась до красного каления пропусканием через нее электрического тока.

Граница взрываемости для чистого озона при тепловом способе подрыва оказалась равной  $9,0 \pm 0,1$  мм рт. ст.

При искровом способе подрыва она составляла только 1,8 — 2,0 мм рт. ст. Такое различие может объясняться тем, что при низких давлениях газа поджигающая искра горит по всему объему взрывного сосуда, приобретая форму тлеющего разряда; она не только воспламеняет газ, но, по-видимому, и активирует его, облегчая распространение пламени.

Результаты опытов с озono-кислородными смесями в целом согласуются с данными других исследователей [2—5] в тех случаях, когда сравнение может быть проведено. Отличия от данных Шумахера [3] состоят в том, что, во-первых, нами не наблюдалась зависимость границы взрываемости от размеров сосуда и, во-вторых, было получено более резкое изменение границы в зависимости от температуры. Наконец, Кук и соавторы [4], пользовавшиеся искровым способом воспламенения, наблюдали (лишь в некоторых случаях) постепенный рост степени разложения озона при приближении состава смеси к границе взрываемости; впрочем авторы оговаривают, что это могло быть вызвано влиянием загрязнений.

Взрывы смесей озона с другими разбавляющими газами. В следующих опытах были определены границы взрываемости озона при комнатной температуре в смеси с другими разбавляющими газами: азотом, углекислым газом, аргоном, хлором, а также проведено несколько опытов с парами четыреххлористого углерода.

Первые три газа ( $N_2$ ,  $CO_2$ , Ar) брались из баллонов, осушались серной кислотой, пропускались через колонки с силикагелем и подавались во взрывной сосуд через кран 4 (рис. 1). Хлор получался взаимодействием соляной кислоты с перманганатом калия, очищался пропусканием через склянки с водой и серной кислотой и собирался в стеклянном баллоне, который припаивался к крану 4 установки.

мм рт.ст

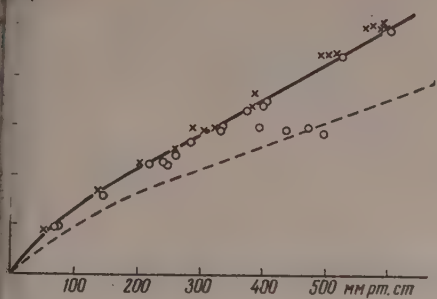


Рис. 3

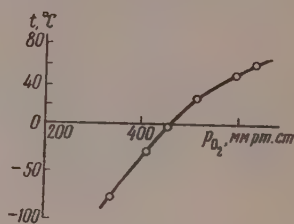


Рис. 4

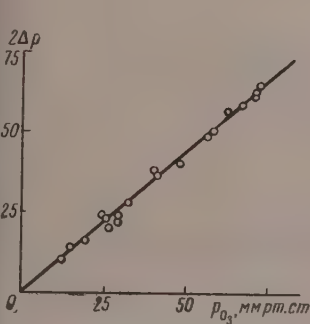


Рис. 5

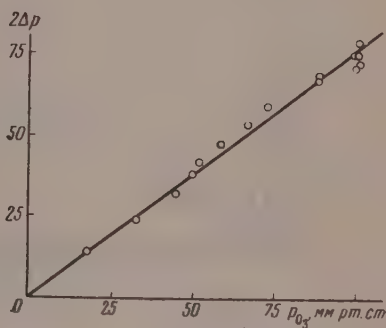


Рис. 6

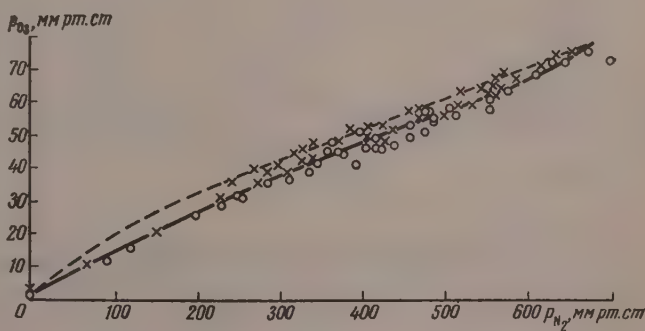


Рис. 7



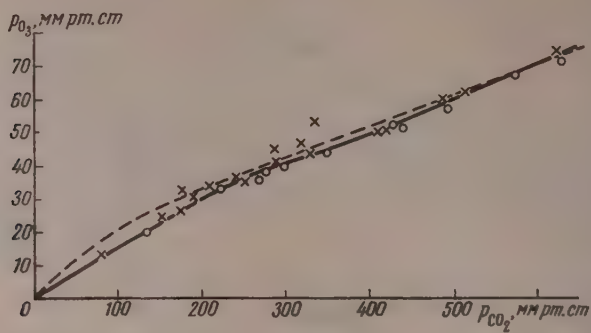


Рис. 8

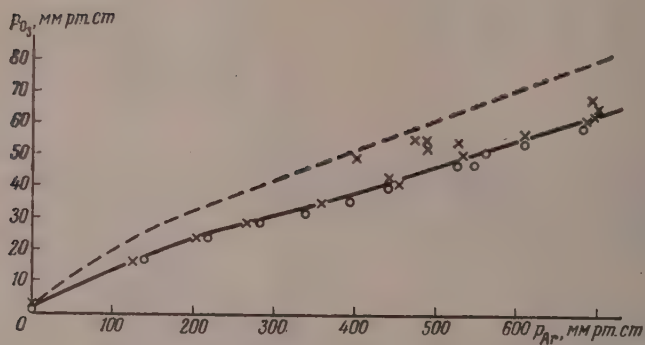


Рис. 9

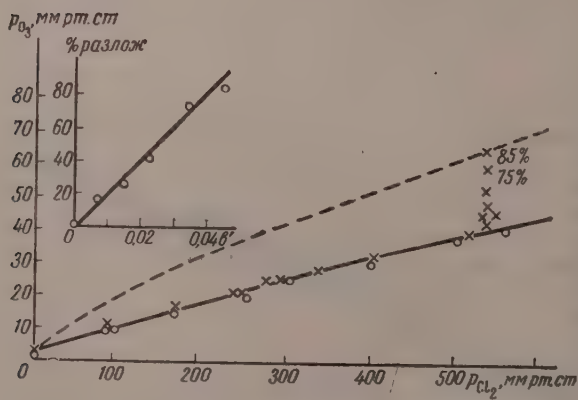


Рис. 10

Четыреххлористый углерод обрабатывался бромом с целью насыщения этиленовых связей в молекулах возможных примесей, поскольку, как известно, озон очень активен по отношению к ненасыщенным органическим соединениям. Затем избыток брома удалялся взбалтыванием  $\text{CCl}_4$  со щелочью, после чего вещество перегонялось и сушилось хлористым кальцием. Жидкий  $\text{CCl}_4$  вводился в трубку, припаянную к манометру 4, предварительно эвакуированную; жидкость частично испарялась, и ее пары наполняли трубку, из которой они по мере надобности вводились во взрывной сосуд. Работы велись при парциальных давлениях  $\text{CCl}_4$  не выше 100 мм рт. ст.; эта величина определялась упругостью его паров при комнатной температуре.

На рис. 7—9 показаны результаты опытов с  $\text{N}_2$ ,  $\text{CO}_2$ ,  $\text{Ar}$ ; пунктиром на этих рисунках обозначена граница взрываемости озono-кислородных смесей при той же температуре (по рис. 2). Из рисунков видно, что  $\text{N}_2$  и  $\text{CO}_2$  в качестве разбавителей мало отличаются от кислорода, граница взрываемости для смесей с аргоном проходит в области значительно меньших концентраций озона (8,8 мол. %  $\text{O}_3$  при атмосферном давлении).

Степень разложения озона после вспышки в смесях с различными разбавителями не отличается от степени разложения в смеси с кислородом.

Для смесей озона с  $\text{Cl}_2$  и  $\text{CCl}_4$  резкие границы взрываемости отсутствуют. При использовании  $\text{Cl}_2$  постепенное изменение процента разложения озона происходит при увеличении концентрации смеси от 7 до 10,5 мол. %  $\text{O}_3$  при атмосферном давлении. Это объясняется,

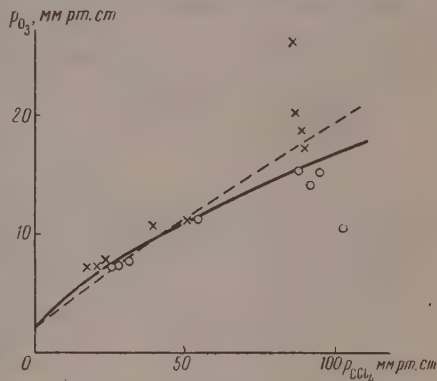


Рис. 11

очевидно, тем, что разложение озона от действия искры распространяется в этом случае на значительные объемы газа.

Граница на рис. 10 проведена таким образом, что ниже ее располагаются смеси, в которых разложение озона после пропускания искры было меньше 1%, т. е. практически отсутствовало. Таким образом кривая, показанная на рисунке, является границей начала заметного разложения.

В области больших давлений эта граница также представляет прямую линию, т. е. описывается уравнением

$$p_{\text{O}_3} = a + bp_{\text{Cl}_2},$$

поэтому мы можем охарактеризовать точку, соответствующую каждому опыту, ее угловым «расстоянием»  $b'$  от границы начала разложения:

$$b' = \frac{p_{\text{O}_3} - a}{p_{\text{Cl}_2}}.$$

Зависимость процента разложения от  $b'$  для нескольких опытов показана на том же рис. 10 (в левом верхнем углу); для смесей озона с хлором она имеет приблизительно линейный вид. При условии 85%-ного разложения озона граница взрываемости смесей  $\text{O}_3 + \text{Cl}_2$  близка к границе взрываемости для озono-кислородных смесей.

Результаты опытов со смесями  $\text{O}_3 + \text{CCl}_4$  показаны на рис. 11, на котором, как и в случае хлора, проведена граница начала заметного разложения. Граница взрываемости при условии 85% разложения озона прошла бы значительно выше, чем для озono-кислородных смесей.

## Выводы

Исследованы условия распространения пламени в газовых смесях озона с  $O_2$ ,  $N_2$ ,  $CO_2$ , Ar,  $Cl_2$  и парами  $CCl_4$  при давлениях до 1 атм. Для смесей с  $O_2$ ,  $N_2$ ,  $CO_2$  и Ar существуют резкие концентрационные границы взрываемости; в координатах  $p_{O_2}$  —  $p_x$  ( $p_x$  — парциальное давление разбавителя) они представляют собою монотонные функции, при повышении давления приближающиеся к прямолинейным. Для смесей с  $Cl_2$  и  $CCl_4$  границы несколько размазаны. Двухатомные разбавители и  $CO_2$  дают практически совпадающие границы взрываемости (10,4 мол. %  $O_3$  при 1 атм и  $20^\circ$ ), для Ar граница проходит ниже (8,8 мол. %  $O_3$ ), для  $CCl_4$  — выше чем для всех других разбавителей.

Граница взрываемости для озono-кислородных смесей не зависит в исследованных пределах от размеров сосуда и от мощности поджигающей искры; при снижении температуры она быстро повышается (до 14,3 мол. %  $O_3$  при  $-77^\circ$  и 1 атм).

Московский государственный  
университет им. М. В. Ломоносова

Поступила  
5.IX.1957

## ЛИТЕРАТУРА

1. В. В. Ястребов, Диссертация, МГУ, 1953.
2. E. H. Riesenfeld, Z. Elektrochem., 29, 121, 1923.
3. H. J. Schumacher, An. Asoc. quim. argent., 41, 230, 1953.
4. G. A. Cook, E. Spadinger, A. D. Kiffer, Ch. V. Klumpp, Industr. and Engng Chem., 48, 736, 1956.
5. G. M. Platz, C. K. Hersh, Industr. and Engng Chem., 48, 742, 1956.

## THE PHYSICAL CHEMISTRY OF CONCENTRATED OZONE.

VII. THE CONCENTRATION BOUNDARIES OF FLAME PROPAGATION  
IN GASEOUS MIXTURES OF OZONE

V. V. Yastrebov, N. I. Kobozev (Moscow)

## Summary

The conditions have been studied for the propagation of flames in gaseous mixtures of ozone with  $O_2$ ,  $N_2$ ,  $CO_2$ , Ar,  $Cl_2$  and vapors of  $CCl_4$  under pressures up to 1 atm. Sharp explosibility limits exist for mixtures with  $O_2$ ,  $N_2$ ,  $CO_2$  and Ar. In  $p_{O_2}$  —  $p_x$  coordinates ( $p_x$  — partial pressure of the diluent) these are monotonous functions becoming nearly linear at higher pressures. The boundaries are somewhat diffuse in the case of mixtures with  $Cl_2$  and  $CCl_4$ . Diatomic diluents and  $CO_2$  yield practically coinciding explosibility limits (10.4 mol. %  $O_3$  at 1 atm. and  $20^\circ$ ), for Ar the boundary is lower (8.8 mol. %) for  $CCl_4$  higher than for all the other diluents.

The explosibility limit for ozone-oxygen mixtures in the range investigated is independent of the size of the vessel and of the energy of the incendiary spark, rising quickly with fall in temperature (up to 14.3 mol. %  $O_3$  at  $-77^\circ$  and 1 atm.)



## О РАСЧЕТЕ ИЗОТЕРМ АДсорбЦИИ В ЭЛЕКТРОННОЙ ТЕОРИИ ХЕМОСОРБЦИИ

В. Б. Сандомирский и Ш. М. Коган

В работе одного из авторов [1] на основании статистического рассмотрения были получены выражения для концентраций нейтральных и заряженных адсорбированных частиц.

В настоящей статье излагается схема получения изотерм адсорбции в рамках электронной теории хемосорбции. В качестве иллюстрации получим конкретный вид некоторых возможных изотерм адсорбции.

Рассмотрим адсорбцию акцепторного газа на поверхности плоскопараллельной пластинки полупроводника. При этом сделаем следующие основные предположения: 1) толщина полупроводника значительно больше дебаевской длины экранирования; 2) на поверхности полупроводника существуют адсорбционные центры различных сортов, т. е. поверхность адсорбционным отношением неоднородна. Вместе с тем предполагается, о других ловушек для электронов (и дырок), кроме связанных с адсорбцией, на поверхности нет; 3) заполнения адсорбционных центров всех сортов малы («узкая» неоднородность).

Прежде всего рассмотрим случай, когда адсорбирующиеся молекулы диссоциируют. Выражение для полного числа адсорбированных частиц при сделанных предположениях имеет вид:

$$N = \sum_i N_i e^{(\mu - f_i^0)/kT} + \sum_i N_i e^{(\mu + F - f_i^-)/kT}, \quad (1)$$

где  $N_i$  — число адсорбционных центров  $i$ -го сорта,  $\mu$  — химический потенциал молекул в газовой фазе,  $F$  — уровень Ферми полупроводника,  $f_i^0$  и  $f_i^-$  — свободные энергии в расчете на одну частицу для нейтральных и заряженных адсорбированных молекул соответственно.

При адсорбции поверхность полупроводников заряжается. Будем считать аналогично тому, как это делают в теории полупроводников, что при зарядке поверхности электронные уровни адсорбированных молекул сдвигаются на величину потенциала поверхности. Таким образом, имеем

$$f_i^- = f_i^0 - q\varphi_s, \quad (2)$$

где  $f_i^0$  — свободная энергия заряженной молекулы на нейтральной поверхности,  $\varphi_s$  — потенциал поверхности относительно объема,  $q$  — абсолютная величина заряда электрона. Выпишем также известное выражение для  $\mu$ :

$$\mu = kT \ln p + \chi(T),$$

где  $p$  — давление в газовой фазе, а  $\chi(T)$  — вообще говоря, известная функция температуры. Равенство (1) принимает вид:

$$N = p(A + Be^{-u_s}), \quad (3)$$



из чего из (7), (9) и (10) находим

$$p(N/p - A) = (\epsilon kT / 2\pi q^2)^{1/2} \{ \dots \}, \quad (11)$$

$\{ \dots \}$  представляет выражение в фигурных скобках, стоящее в правой части (9), в котором  $\exp(-u_s)$  следует заменить по формуле (10). Уравнение (11) есть общий вид изотермы адсорбции в координатах  $p, N/p$ .

Рассмотрим ряд частных случаев, соответствующих различным положениям уровня Ферми в области пространственного заряда. 1) Исследуем случай очень малых  $u_s$  ( $u_s \ll 1$ ), т.е. доля заряженной формы хемосорбции мала.

Из (3) в этом случае получаем изотерму Генри:

$$N = Ap. \quad (12)$$

2) Рассмотрим случай полупроводника  $n$ -типа, расположение уровней в котором соответствует рис. 2.

Предполагается, что

$$\exp(u_s) \gg 1; \exp[(F - E_D) / kT - u_s] \gg 1.$$

тогда

$$\{ \dots \} = n_{10} \exp(u_s)$$

согласно (10) и (11), получаем

$$N = Ap + Cp^{1/2}, \quad (13)$$

$$C = B^{1/2} (\epsilon kT / 4\pi q^2 L)^{1/2}.$$

в области не слишком больших давлений второй член может превалировать над первым. В этом случае должна наблюдаться изотерма адсорбции Фрейндлиха с показателем  $1/3$ . При достаточно больших давлениях первый член может начать превалировать над вторым. Тогда получим изотерму, изгибающуюся к изотерме Генри. Это происходит потому, что при адсорбции действие заряжения поверхности доля заряженных молекул уменьшается. При достаточно сильной зарядке число нейтральных молекул может стать значительно больше числа заряженных.

3) Рассмотрим случай дырочного полупроводника, расположение уровней в котором отвечает рис. 3. При этом предполагается, что

$$\exp[(E_A - F) / kT] \gg 1; \exp(u_s) \gg 1.$$

тогда

$$\{ \dots \} = n_{20} \exp(u_s) = n_{20} B (N/p - A)^{-1}.$$

и (11) находим

$$N = Ap + Cp^{1/2}, \quad (14)$$

т.е. опять получаем изотерму, состоящую, как и в (13), из двух частей — изотермы Генри и изотермы Фрейндлиха.

Заметим, что такой же результат получается и при расположении уровней согласно рис. 4, а также в случае собственного полупроводника.

4) Пусть расположение уровней в полупроводнике  $n$ -типа соответствует случаю, изображенному на рис. 5. Иначе говоря, пусть

$$\exp[(E_D - F) / kT] \ll 1; u_s \gg (F - E_D) / kT.$$

тогда

$$\{ \dots \} = N_D^0 u_s.$$

Подставляя это выражение в (11) и используя (10), находим

$$p(N/p - A) = C [\ln B (N/p - A)^{-1}]^{1/2}, \quad (15)$$

где

$$C = (\epsilon kT N_D^0 / 2\pi q^2)^{1/2}.$$



В случае, когда нейтральных молекул на поверхности нет,  $A = 0$ , отсюда имеем

$$N^2 = C^2 \ln(B/N) + C^2 \ln p,$$

т. е. получаем логарифмическую изотерму с дополнительным членом  $C^2 \ln(B/N)$ , слабо зависящим от заполнения поверхности. Заметим, в случае расположения уровней согласно рис. 6 вид изотермы получается таким же.

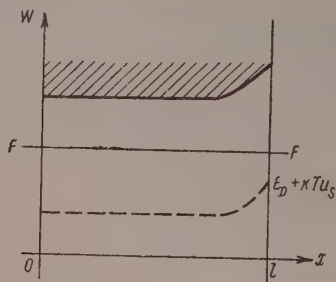


Рис. 2

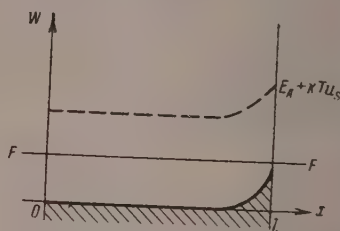


Рис. 3

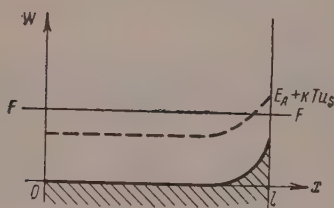


Рис. 4

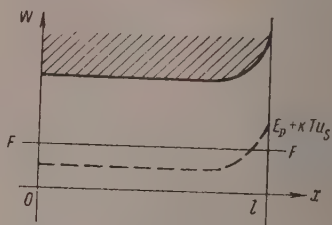


Рис. 5

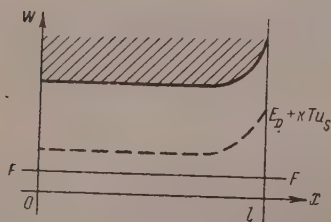


Рис. 6

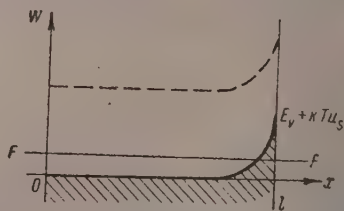


Рис. 7

5) Рассмотрим также очень приближенно случай, когда уровень Ферми пересекает около поверхности валентную зону (рис. 7). Будем считать, что в валентной зоне около поверхности дырочный газ вырожден. Тогда (см., например, [3]):

$$n_2 = (4N_v/3\sqrt{\pi}) [(E_v - F)/kT + u]^{3/2}.$$

В правой части уравнения Пуассона (5) оставим только один член с  $n_2$ . Можем написать:

$$\begin{aligned} \{\dots\} &= \int_{(F-E_v)/kT}^{u_s} (4N_v/3\sqrt{\pi}) [(E_v - F)/kT + u]^{3/2} du = \\ &= (8N_v/15\sqrt{\pi}) [(E_v - F)/kT + u_s]^{5/2} \end{aligned}$$

$$\{\dots\} = (8N_v / 15 \sqrt{\pi}) u_s^{3/2}.$$

ставляя последнее выражение в (11), учитывая (10) и считая, что на поверхности нет нейтральных молекул, получаем

$$N^{4/3} = C \ln(B/N) + C \ln p, \quad (17)$$

$$C = (\epsilon k T N_v / \pi^{3/2} q^2)^{1/2}.$$

Из этого результата следует, что логарифмическая изотерма может быть для адсорбции акцепторного газа не только на полупроводнике  $n$ -типа, но и на полупроводнике  $p$ -типа.

Проанализируем физический смысл полученных здесь результатов. Адсорбированные частицы являются ловушками для электронов и дырок адсорбента. Вследствие этого при адсорбции поверхность полупроводника заряжается, и в его объеме индуцируется пространственный заряд противоположного знака. Заряженная молекула адсорбата находится в поле, созданном пространственным зарядом и всеми остальными заряженными адсорбированными молекулами. Во взаимодействие можно приближенно учесть, если считать (как было сделано выше), что каждая заряженная адсорбированная молекула находится в поле с потенциалом  $\phi_s$ , который отыскивается из уравнения Пуассона с соответствующими граничными условиями. Существенно подчеркнуть, что  $\phi_s$  учитывает не что иное, как взаимодействие заряженных адсорбированных молекул между собой. Потенциал  $\phi_s$ , в котором находится заряженная молекула, можно рассматривать как потенциал диполей с длинным плечом порядка длины экранирования ( $\sim 10^{-4} - 10^{-5}$  см). Отсюда ясно, что это взаимодействие будет, по-видимому, намного сильнее диполь-дипольного взаимодействия между адсорбированными частицами.

Изложенные выше расчеты относятся к простейшей модели поверхности полупроводникового адсорбента. Ее достоинство состоит в том, что на ее основе удастся получить явный вид изотерм хемосорбции и избежать простым образом установить физические причины отступлений от лентмюровских закономерностей. Кроме того, именно такая модель поверхности рассматривалась в теории поверхностного слоя (см. [4]), в которой при выводе изотерм был сделан ряд дополнительных необоснованных допущений и был получен вывод о том, что при адсорбции акцепторного газа для  $n$ -полупроводника характерна логарифмическая изотерма, а для  $p$ -полупроводника — изотерма типа Фрэйндлиха. В действительности же, как показывает наш расчет, такого соответствия нет.

Особенности хемосорбции на реальной поверхности полупроводника будут рассмотрены в отдельной статье.

### Выводы

1. Изложена последовательная схема вычисления изотерм адсорбции на основе электронной теории хемосорбции.
2. Для случая неоднородной поверхности без неадсорбиционных уровней получено общее выражение изотермы в координатах  $p$  и  $N/p$  для невырожденного полупроводника с произвольным расположением энергетических уровней в объеме.
3. Для ряда характерных примеров расположения уровней в полупроводнике из общего вида изотермы получены соответствующие частные случаи. Найденные изотермы относятся к изотермам типа Генри, Фрэйндлиха

и логарифмической. Установлено, что между типом полупроводника и видом изотерм нет однозначного соответствия.

4. Показано, что при расчете изотерм в электронной теории хемосорбции автоматически учитывается дальнедействующее кулоновское взаимодействие между адсорбированными частицами.

Академия наук СССР  
Институт физической химии  
Москва  
Московский государственный  
университет им. М. В. Ломоносова

Поступила  
30. XI. 1957

#### ЛИТЕРАТУРА

1. Ш. М. Коган, Ж. физ. химии, **33**, 156, 1959.
2. А. Г. Самойлович, Доповіді АН УРСР, № 3, 174, 1954.
3. В. Шокли, Теория электронных полупроводников, ИИЛ, М., 1953, стр. 29.
4. K. K a u f f e, Adv. Catalysis, VII, 213, 1955.

#### CALCULATION OF THE ADSORPTION ISOTHERM IN THE ELECTRONIC THEORY OF CHEMISORPTION

*V. B. Sandomirskii and Sh. M. Kogan*

#### S u m m a r y

An outline of the consecutive stages in the calculation of the adsorption isotherm on the basis of the electronic theory of chemisorption is presented. A generalized expression has been obtained for the isotherm in  $p$  and  $N/p$  coordinates for a non-degenerate semiconductor with arbitrary distribution of electronic levels. For particular cases it is reduced to the Henry, Freundlich and logarithmic isotherms.



# СКОРОСТИ ЭЛЕМЕНТАРНЫХ СТАДИЙ И МЕХАНИЗМ КАТОДНОГО ВЫДЕЛЕНИЯ ВОДОРОДА. I

Л. И. Кристаллик

Механизм электролитического выделения водорода определяется соотношением скоростей элементарных процессов превращения ионов водорода в адсорбированный атомарный и молекулярный водород и обратных реакций.

Целью данной работы является оценка различных возможных путей деления водорода, исходя из теоретического расчета стационарных значений указанных скоростей методом активированного комплекса.

Наши расчеты выполнены в предположении простой адсорбции, т. е. сорбции невзаимодействующих атомов на однородной поверхности. Это предположение справедливо только при малых заполнениях поверхности, мы воспользовались им, поскольку оно представляется приемлемым для определения порядка соответствующих величин.

Расчет скорости разряда ионов водорода был проведен нами ранее [1]. Для тока разряда было получено следующее выражение

$$\vec{i}_p = e \frac{kT}{h} \times \frac{\gamma_{H_2O}^\beta}{\gamma^\#} \cdot 10^{15} \cdot 56^{-\beta} c_{H_2O}^\beta \cdot p_{H_2}^{\alpha/2} a_{H_2O}^\alpha \times \exp \left\{ -\frac{1}{RT} [\alpha H_{aH_2O} + \beta \Delta H_{aH_2O} + \alpha \Delta H_{aH} + \Delta H_{OO}^\# + \alpha T (S_{H_2O}^0 + \frac{1}{2} S_{H_2}^0)] \right\} \times (1 - \theta) \exp \frac{\alpha \eta F - \beta \psi_1 F}{RT} \quad (1)$$

здесь  $e$  — заряд электрона,  $\kappa$  — трансмиссионный коэффициент,  $\gamma$  — коэффициенты активности,  $a$  — активность,  $\Delta H_a$  — энергия адсорбции,  $H_{OO}^\#$  — универсальная энергия активации разряда, не зависящая от плотности разряда и определяемая через энергию активации при равновесном потенциале  $\Delta H_{Oe}^\#$ , энергии адсорбции и энтропии реагирующих веществ уравнением

$$\Delta H_{OO}^\# = \Delta H_{Oe}^\# - \alpha [\Delta H_{aH} + \Delta H_{aH_2O} - \Delta H_{aH_2O} + T (S_{H_2O}^0 + \frac{1}{2} S_{H_2}^0 - S_{H_2O}^0 - S_e)] \quad (2)$$

$\Delta H_{OO}^\#$  может быть найдена путем построения диаграммы потенциальной энергии, причем потенциальные кривые связей  $O-H$  и  $M-H$  располагаются таким образом, чтобы их уровни нулевой энергии находились на одинаковой высоте. Степень заполнения обозначена  $\theta$ , перенапряжение —  $\eta$ , остальные обозначения — обычные.

Вывод уравнения для тока электрохимической десорбции в основных чертах повторяет вывод уравнения (1) и поэтому здесь не приводится

$$\vec{i}_{od} = e \frac{kT}{h} \times \frac{\gamma_{H_2O}^{\beta'}}{\gamma^{\#'}} \cdot 10^{15} \cdot 56^{-\beta'} c_{H_2O}^{\beta'} \cdot p_{H_2}^{\alpha'/2} a_{H_2O}^{\alpha'} \times \exp \left\{ -\frac{1}{RT} [\alpha' \Delta H_{aH_2O} + \beta' \Delta H_{aH_2O} + \alpha' \Delta H_{aH_2} - \alpha' \Delta H_{aH} + \Delta H_{OO}^{\#'} + \alpha' T (S_{H_2O}^0 + \frac{1}{2} S_{H_2}^0)] \right\} \exp \frac{\alpha' \eta F - \beta' \psi_1 F}{RT} \theta \quad (3)$$

Универсальная энергия активации электрохимической десорбции  $\Delta H_{\text{OO}}^{\ddagger'}$  аналогично  $\Delta H_{\text{OO}}^{\ddagger}$  определяется следующим уравнением

$$\Delta H_{\text{OO}}^{\ddagger'} = \Delta H_{\text{OO}}^{\ddagger} - \alpha' [\Delta H_{\text{aH}_2} + \Delta H_{\text{aH}_2\text{O}} - \Delta H_{\text{aH}_2\text{O}\cdot} - \Delta H_{\text{aH}} + + T (S_{\text{H}_2\text{O}}^0 + S_{\text{H}_2}^0 - S_{\text{H}_2\text{O}\cdot}^0 - S_{\text{H}}^0 - S_e)], \quad (5)$$

$S_{\text{H}_2}^0$  — стандартная энтропия адсорбированного водорода, при данном выборе стандартных состояний равная нулю. Как и при выводе (1) принято, что энтропия активированного комплекса составляет долю

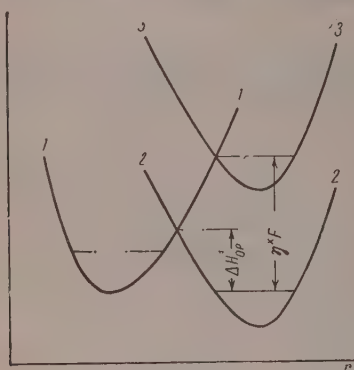


Рис. 1. Схема потенциальных кривых: 1 — адсорбированный водород; 2 — ион  $\text{H}_3\text{O}^+$  при равновесном потенциале; 3 — то же при перенапряжении  $\eta^*$ , начиная с которого энергия активации обращается в нуль

от энтропии иона  $\text{H}_3\text{O}^+$  [2] (концентрации выражены в мольных долях). Энтропия электрона в металле  $S_e \approx 0$ .

В уравнениях (3) и (4), с одной стороны, и в (1) и (2), с другой — величина  $\Delta H_{\text{aH}}$  входит с разным знаком, ибо в акте разряда адсорбированный водород является конечным, а при электрохимической десорбции — начальным состоянием.

Из обычной схемы потенциальных кривых с необходимостью вытекает, что при повышении потенциала до определенного значения должен существенно измениться характер как процесса разряда, так и процесса электрохимической десорбции. Как видно из схемы, приведенной на рис. 1, начиная с некоторого перенапряжения, при котором уровень нулевой энергии связи  $\text{O} - \text{H}$  поднимается до пересечения потенциальной кривой адсорбированного водорода, энергия активации обращается в нуль, и скорость электродной реакции становится не зависящей от потенциала\*. Выражения для скоростей такого безактивационного разряда и электрохимической десорбции могут быть получены из уравнений (1) и (3), если положить в них, соответственно,

$$\Delta H_{\text{OO}}^{\ddagger} = 0, \quad \Delta H_{\text{OO}}^{\ddagger'} = 0, \quad \alpha = \alpha' = 0, \quad \beta = \beta' = 1;$$

$$\vec{i}_p^* = \varepsilon \frac{kT}{h} \times \frac{\gamma_{\text{H}_3\text{O}^+}}{\gamma^{\ddagger}} \cdot 10^{15} \cdot 56^{-1} c_{\text{H}_2\text{O}} \cdot \exp \left( - \frac{\Delta H_{\text{aH}_2\text{O}\cdot} + \psi_1 F}{RT} \right) (1 - \theta); \quad (6)$$

$$\vec{i}_{\text{д}}^* = \varepsilon \frac{kT}{h} \times \frac{\gamma_{\text{H}_3\text{O}^+}}{\gamma^{\ddagger'}} \cdot 10^{15} \cdot 56^{-1} c_{\text{H}_2\text{O}} \cdot \exp \left( - \frac{\Delta H_{\text{aH}_2\text{O}\cdot} + \psi_1 F}{RT} \right) \theta. \quad (7)$$

Уравнения (5) и (6) отличаются только характером зависимости от  $\theta$ . Этого и следовало ожидать, поскольку здесь отсутствует различие энергий активации. В (5) и (6) сохранился член с  $\Delta H_{\text{aH}_2\text{O}\cdot}$  и  $\psi_1$ , учитывающий их влияние на поверхностную концентрацию ионов водорода, но не на энергию активации. Концентрации конечных продуктов электролиза ( $\text{H}_2$ ,  $\text{H}_2\text{O}$ ) входили в (1) и (3) лишь благодаря их влиянию на равновесный скачок потенциала и поэтому в (5) и (6) отсутствуют

\* Скорость реакции непосредственно не зависит от потенциала, но может косвенно зависеть от него, если изменение потенциала ведет к изменению степени заполнения (см. ниже).

ропийный член также исключается, поскольку, с одной стороны, падает влияние скрытой теплоты электродной реакции на энергию активации и, с другой стороны,  $\Delta S^\ddagger = 0$ , ибо при безактивационном процессе активированный комплекс совпадает с исходным состоянием. Скорость каталитической рекомбинации атомов водорода, выраженная в электрических единицах, равна

$$\vec{i}_{\text{кат}} = \varepsilon \frac{kT}{h} \times 6 \cdot 10^{15} g e^{-\Delta H_{\text{кат}}^\ddagger / RT} \theta^2. \quad (7)$$

здесь  $g$  — координационное число центров адсорбции (в дальнейшем принято  $g = 4$ ),  $6 \cdot 10^{15}$  — наибольшее число атомов H, способных адсорбироваться на  $1 \text{ см}^2$  поверхности. Уравнение (7) вытекает из уравнения, данного М. И. Темкиным [3] для скорости реакции на поверхности, при этом учтено, что колебательные функции распределения адсорбированных частиц практически равны единице, что фактор симметрии для активированного комплекса равен двум и что в каждом элементарном акте реакции с поверхности удаляются 2 атома водорода.

Запишем приведенные выше уравнения следующим образом:

$$\begin{aligned} \vec{i}_p &= \vec{K}_p (1 - \theta) \cdot 10^{\eta'}, & \vec{i}_p^* &= \vec{K}_p^* (1 - \theta), \\ \vec{i}_{\text{кат}} &= \vec{K}_{\text{кат}} \theta^2, & \vec{i}_{\text{кат}}^* &= \vec{K}_{\text{кат}}^* \theta^2, \\ \vec{i}_{\text{ад}} &= \vec{K}_{\text{ад}} \theta \cdot 10^{\eta'}, & \vec{i}_{\text{ад}}^* &= \vec{K}_p^* \theta. \end{aligned} \quad (8)$$

здесь

$$\eta' = \frac{\alpha \eta F}{2,3 RT} = \frac{\eta}{0,118}, \quad \alpha = \alpha' = \frac{1}{2}.$$

Для обратных реакций можно записать \*

$$\begin{aligned} \overleftarrow{i}_p &= \overleftarrow{K}_p \theta \cdot 10^{-\eta'}, & \overleftarrow{i}_p^* &= \overleftarrow{K}_p^* \theta \cdot 10^{-2\eta'}, \\ \overleftarrow{i}_{\text{кат}} &= \overleftarrow{K}_{\text{кат}} (1 - \theta)^2, & \overleftarrow{i}_{\text{кат}}^* &= \overleftarrow{K}_{\text{кат}}^* (1 - \theta)^2, \\ \overleftarrow{i}_{\text{ад}} &= \overleftarrow{K}_{\text{ад}} (1 - \theta) \cdot 10^{-\eta'}, & \overleftarrow{i}_{\text{ад}}^* &= \overleftarrow{K}_{\text{ад}}^* (1 - \theta) \cdot 10^{-2\eta'}. \end{aligned} \quad (9)$$

Из условий равновесия находим

$$\begin{aligned} \overleftarrow{K}_p &= \vec{K}_p / q, & \overleftarrow{K}_p^* &= \vec{K}_p^* / q, \\ \overleftarrow{K}_{\text{кат}} &= \vec{K}_{\text{кат}} q^2, & q &= \frac{\theta_0}{1 - \theta_0}, \\ \overleftarrow{K}_{\text{ад}} &= \vec{K}_{\text{ад}} q, & \overleftarrow{K}_{\text{ад}}^* &= \vec{K}_p^* q. \end{aligned} \quad (10)$$

здесь  $\theta_0$  — равновесная степень заполнения.

В общем случае условие стационарности покрытия поверхности водородом запишется в виде

$$\vec{i}_p - \overleftarrow{i}_p - \vec{i}_{\text{ад}} + \overleftarrow{i}_{\text{ад}} - \vec{i}_{\text{кат}} + \overleftarrow{i}_{\text{кат}} = 0. \quad (11)$$

\* Удвоение показателя степени в уравнениях для  $\overleftarrow{i}_p^*$  и  $\overleftarrow{i}_{\text{ад}}^*$  связано с тем, что для этих процессов  $\beta = 1$ , а в  $\eta'$  входит величина  $\alpha = 1/2$ .



Уравнения (8) — (11) достаточны для определения стационарного значения  $\theta$ , всех элементарных токов \* и суммарного тока  $\vec{I} = \vec{i}_p - \vec{i}_p + \vec{i}_{ад} - \vec{i}_{д}$ .

Оценка величин, необходимых для расчета  $\vec{K}_p$ , дана ранее [1]. Сложная конфигурация активированного комплекса при процессе электрохимической десорбции затрудняет приближенную оценку  $\Delta H_{00}^{*}$  путем замены поверхности потенциальной энергии потенциальными кривыми связей. Несомненно, однако, что расстояние между минимумами потенциальной энергии, соответствующими начальному и конечному положениям атома водорода, для электрохимической десорбции существенно меньше, чем для разряда \*\*. Поэтому  $\Delta U_{00}^{*}$  должен быть значительно меньше  $\Delta U_{00}^{*} \approx 10$  ккал. В дальнейшем принято  $\Delta U_{00}^{*} \approx 1,5$  ккал, т. е.

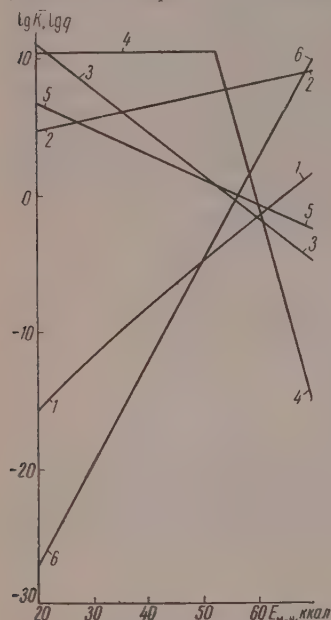


Рис. 2. Рассчитанные значения констант скоростей и  $q$ : 1 —  $\vec{K}_p$ ;

2 —  $\vec{K}_p^*$ ; 3 —  $\vec{K}_{ад}$ ;

4 —  $\vec{K}_{кат}$ ; 5 —  $\vec{K}_{кат}'$ ; 6 —  $q$

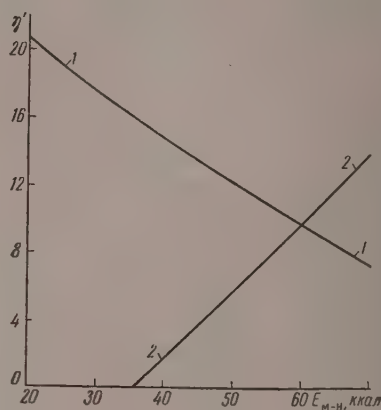


Рис. 3. Перенапряжения, соответствующие: 1 — началу безактивационных процессов разряда и 2 — электрохимической десорбции

$\Delta H_{00}^{*} \approx 1$  ккал.  $\Delta H_{aH_2}$  складывается из энергии адсорбции в отсутствие растворителя (для физической адсорбции ее можно оценить в 1—2 ккал) и энергии отталкивания молекул  $H_2$  и  $H_2O$ , вряд ли превышающей 10 ккал. Приведенная оценка величин, относящихся к процессу электрохимической десорбции, весьма приближена, однако можно считать, что ошибки не превышают нескольких килокалорий, причем рассчитанное значение  $\vec{K}_{ад}$ , по всей вероятности, несколько занижено.

\* Мы не учитываем предложенный Н. П. Кобозевым [4] эмиссионный механизм удаления водорода, поскольку расчет методом активированного комплекса приводит в согласии с выводами А. Н. Фрумкина и сотрудников [5], к заключению о том, что этот механизм не может обеспечить отвода сколько-нибудь существенной доли тока. Вместе с тем для металлов с высоким перенапряжением эмиссионный ток может достигать величины, доступной экспериментальному обнаружению. Мы предлагаем впоследствии более подробно рассмотреть этот вопрос.

\*\* Это обстоятельство не учитывается в расчетах Гершера [6].

Энергию активации каталитической рекомбинации принимаем равной для экзотермического и равной  $\Delta H$  реакции для эндотермического процессов. В последнем случае

$$\Delta H_{\text{кат}}^{\#} = -104,2 - 2R_{\text{H-H}_2\text{O}} + 2E_{\text{M-H}} + \Delta H'_{\text{aH}_2},$$

104,2 —  $\Delta H$  диссоциации  $\text{H}_2$ ,  $E_{\text{M-H}}$  — энергия связи адсорбированного атома водорода с металлом (в отсутствие растворителя),  $R_{\text{H-H}_2\text{O}}$  =

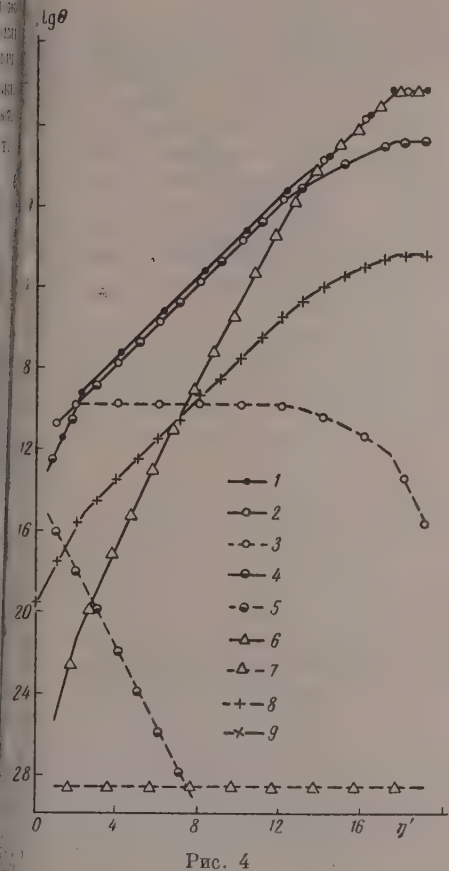


Рис. 4

рис. 4. Плотности тока и степени заполнения при  $E_{\text{M-H}} = 30$  ккал: 1 —  $\vec{i}$ ; 2 —  $\vec{i}_p$ ; 3 —  $\vec{i}_p$ ; 4 —  $\vec{i}_{\text{ад}}$ ; 5 —  $\vec{i}_{\text{ад}}$ ; 6 —  $\vec{i}_{\text{кат}}$ ; 7 —  $\vec{i}_{\text{кат}}$ ; 8 —  $\theta$ ; 9 —  $(1 - \theta)$  (только для рис. 7 и 8)

рис. 5. Плотности тока и степени заполнения при  $E_{\text{M-H}} = 52,5$  ккал. Обозначения см. рис. 4

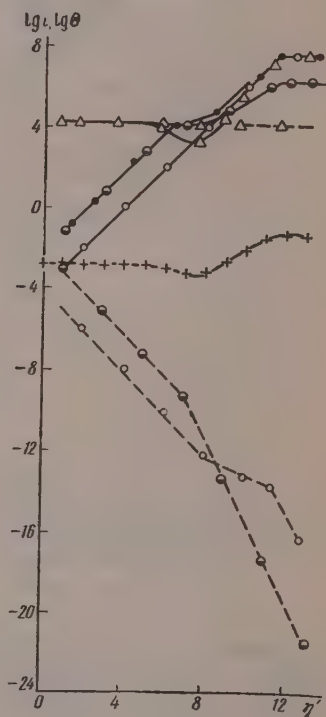


Рис. 5

= 2,1 ккал — энергия отталкивания его от ближайшей молекулы воды [1].  $\Delta H'_{\text{aH}_2}$  отличается от оцененной выше, так как благодаря плоскому расположению молекул  $\text{H}_2$  на поверхности электрода энергия ван-дер-Ваальсова притяжения увеличивается (примерно в два раза), а энергия отталкивания, в связи с увеличением межмолекулярных расстояний, уменьшается (принята равной 7 ккал).

Расчет  $\theta_0$  проведен по уравнению М. И. Темкина [3], причем энергия связи  $\text{M-H}$  уменьшена на величину  $R_{\text{H-H}_2\text{O}}$ .

Рассчитанные значения констант уравнений (8) и  $q$  представлены рис. 2\*. На рис. 3 нанесены значения  $\eta'$ , при которых процесс разряда или электрохимической десорбции становится безактивационным. Интересно отметить, что для металлов с низкой  $E_{M-H}$  электрохимическая десорбция оказывается безактивационной при любых катодных поляризациях (аналогичное предположение высказывалось А. Н. Фрумкин и сотрудниками [5]).

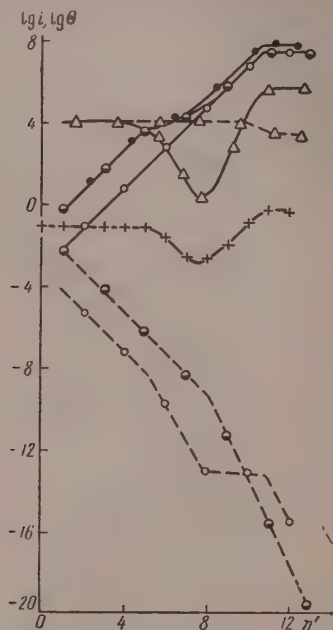


Рис. 6. Плотности тока и степени заполнения при  $E_{M-H} = 55$  ккал. Обозначения см. рис. 4

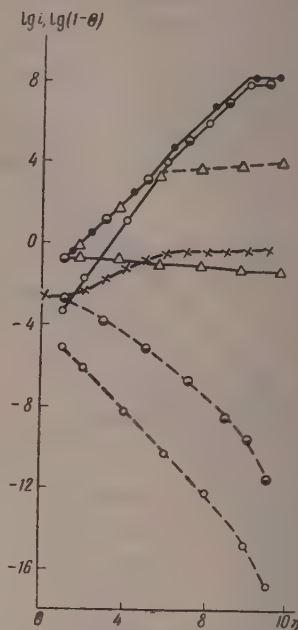


Рис. 7. Плотности тока и степени заполнения при  $E_{M-H} = 60$  ккал. Обозначения см. рис. 4

Наиболее типичные кривые  $\lg i - \eta'$  приведены на рис. 4—8. На рис. 9 и 10 в координатах  $\eta' - E_{M-H}$  и  $\lg \vec{I} - E_{M-H}$  представлены границы областей с различным механизмом электролитического выделения водорода\*\*.

Для металлов с низкой энергией связи (рис. 4,  $E_{M-H} = 30$  ккал) при малых поляризациях  $\vec{i}_p = \overleftarrow{i}_p$  и суммарный ток равен току безактивационной электрохимической десорбции (рис. 9, 10, область I). Зависимость тока от потенциала определяется зависимостью от него  $\theta$ , которая в этих условиях имеет вид  $\theta = q \cdot 10^{27\eta'}$ . Поэтому константа Тафеля в области I равна 0,059V,  $\partial \eta' / \partial \text{pH} = 0,059\text{V}$ . Область I относится к весьма низким плотностям тока, так что ее количественное экспериментальное исследование сопряжено с большими трудностями.

\* Расчет выполнен для  $\phi_1 = 0$ ,  $c_{H_2O} = 1$  моль/л,  $p_{H_2} = 1$  атм и  $a_{H_2O} = 1$ .

\*\*Указанные границы носят несколько условный характер. В действительности переход от одного механизма к другому происходит постепенно. То же относится и к режиму переломов кривых на рис. 4—8. В частности, более вероятен непрерывный переход от  $\alpha = 1/2$  к  $\alpha = 0$  (безактивационные процессы).



При дальнейшем повышении поляризации (рис. 4) плотность тока определяется стадией разряда, отвод атомов водорода с поверхности — электрохимической десорбцией (область II) или, при более высоком перенапряжении, каталитической рекомбинацией (область III). Соотношения здесь полностью описываются обычными уравнениями теории замедленного разряда. Некоторое увеличение константы  $b$  возможно при переходе от одного пути удаления водорода к другому.

В конце концов, повышение поляризации приводит к наступлению предельного тока разряда, т. е. безактивационному процессу разряда при постоянной степени заполнения поверхности. Предельный ток разряда есть необходимое следствие того обстоятельства, что энергия активации разряда конечна и уменьшается с ростом потенциала. Наш расчет делает понятным, почему это явление до сих пор не было обнаружено — речь идет о громадных плотностях тока — порядка  $10^5$  А/см<sup>2</sup> выше (до  $10^9$  А/см<sup>2</sup>), исследование которых связано с исключительными экспериментальными трудностями\*.

На рис. 5 представлена кривая для  $E_{M-H} = 52,5$  ккал. Здесь вплоть до весьма высоких плотностей тока скорость электрохимической десорбции намного превышает скорость разряда. Возобновление адсорбированного водорода достигается не за счет разряда ионов водорода, а за счет адсорбции из газовой фазы. Такие же соотношения наблюдаются и в других случаях (рис. 6, 7).

Таким образом, для катодов с довольно широким интервалом значений  $E_{M-H}$  вплоть до определенных поляризаций и плотностей тока (область IV на рис. 9 и 10) вероятен механизм выделения водорода, сводящийся к замедленной электрохимической десорбции атомарного водорода, предварительно адсорбированного из газовой фазы. Этот механизм, который мы будем для краткости именовать адсорбционно-электрохимическим, насколько нам известно, ранее подробно не обсуждался, что, вероятно, связано с распространенным мнением о малой скорости адсорбции из газовой фазы при больших катодных поляризациях [7]. Как видно из вышеизложенного, эта скорость достаточно велика и, кроме того, может существенно возрастать с ростом поляризации благодаря уменьшению степени заполнения (рис. 7).

Особенностью рассматриваемого механизма является то обстоятельство, что, в отличие от обычной схемы — разряд и затем удаление адсорбированного водорода, — здесь процесс разряда существенной роли не играет.

\* К аналогичному заключению можно подойти и другим путем. Реальная энергия активации разряда при  $\eta = 0$  на ртутном катоде составляет 21,7 ккал [2]. При  $\alpha = 1/2$  она обращается в нуль при  $\eta = 1,88$  В, что соответствует плотности тока  $10^4$  А/см<sup>2</sup>.

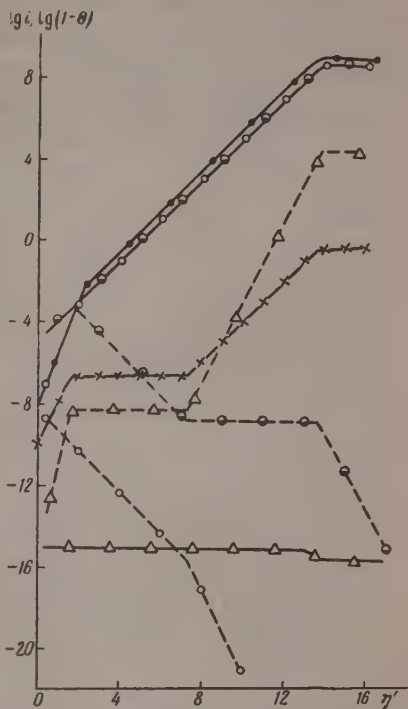


Рис. 8. Плотности тока и степени заполнения при  $E_{M-H} = 70$  ккал. Обозначения см. рис. 4

Зависимость силы тока при адсорбционно-электрохимическом выделении водорода от поляризации, концентрации ионов водорода и других факторов описывается уравнением (3) и совершенно аналогична таковой для механизма замедленного разряда. Аналогично замедленному разряду каждый акт наиболее медленной стадии адсорбционно-электрохимического механизма связан с переносом в электрической цепи одного электрона ( $\vec{I} = \vec{i}_{ад}$ ), тогда как при замедленной электрохимической десорбции, следующей за разрядом, переносятся 2 электрона ( $\vec{I} = \vec{i}_{ад} + \vec{i}_р = = 2\vec{i}_{ад}$ ). Различие адсорбционно-электрохимического механизма и механиз-

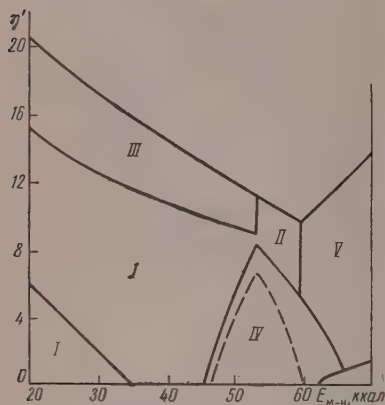


Рис. 9. Области с различным механизмом выделения водорода. Обозначения см. в тексте

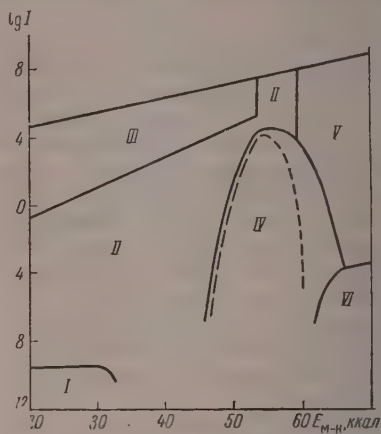


Рис. 10. Области с различным механизмом выделения водорода. Обозначения см. в тексте

ма замедленного разряда должно проявляться в опытах с мечеными атомами, приводя к разному изотопному составу выделяющегося водорода.

Область адсорбционно-электрохимического механизма охватывает электроды с различной степенью заполнения поверхности — от очень низкой ( $\theta \approx 10^{-8}$ ) до очень высокой ( $1 - \theta \approx 10^{-6}$ ). Поэтому сделанные при расчете допущения не могут быть справедливыми во всей этой области, и ее границы и соответствующие ей кинетические закономерности должны быть уточнены впоследствии с учетом взаимодействия адсорбированных атомов.

Возвращаясь к рис. 5, отметим, что область IV заканчивается предельным током. При этом максимальная величина адсорбционного тока  $\vec{i}_{нат}$  в данном случае совпадает с током, при котором наблюдается переход к безактивационной электрохимической десорбции. При других значениях это совпадение не имеет места, и вместо резких площадок появляются перегибы кривых (рис. 6). Значения  $\eta'$  и  $\lg \vec{I}$ , отвечающие этим перегибам, нанесены на рис. 9 и 10 пунктирными кривыми. Области под ними характеризуются степенями заполнения, весьма близкими к равновесным.

При большей  $E_{M-H}$  (очень высокие  $\theta_0$ )  $\vec{i}_{нат}$  при равновесии меньше своего максимального возможного значения, и в этом случае предельный адсорбционный ток отсутствует (рис. 7).

Дальнейшее повышение потенциала приводит к новому росту тока, величина которого определяется замедленным разрядом с электрохимическим (и, частично, каталитическим, см. рис. 5) удалением водорода, далее наступает предельный ток разряда (рис. 5) или ток разряда

электрохимической десорбции ( $\theta = 1/2$ ,  $\vec{i}_p^* = \vec{i}_{ад}^*$ , см. рис. 6, 7\*). При  $E_{M-H} = 60$  ккал (рис. 7) вслед за адсорбционно-электрохимическим механизмом доминирующей становится замедленная электрохимическая десорбция атомов водорода, появляющихся в результате разряда ионов водорода (область V).

Для наиболее сильно адсорбирующих водород металлов механизм медленной электрохимической десорбции преобладает (рис. 9, 10). Однако при малых поляризациях сила тока определяется скоростью разряда, а электрохимическая десорбция и обратная ей реакция идут практически равными скоростями, определяя степень заполнения поверхности (рис. 8). Как видно из уравнений (8) — (10), в этих условиях  $1 - \theta = 10^{2\eta'} / q$  и  $\vec{i}_p = K_p 10^{3\eta'} / q$ . Таким образом, мы имеем для медленного разряда на почти полностью заполненной поверхности (область VI) константу  $b$ , равную 0,04 V и  $\partial \eta / \partial pH = 0,02$  V, хотя связь  $\eta$   $\phi_1$ -потенциала носит нормальный для замедленного разряда характер\*\*.

Интересно отметить, что в рамках нашего расчета нам не удалось обнаружить области, в которой механизм выделения водорода сводился бы к замедленной каталитической рекомбинации. На слабо адсорбирующих металлах  $\Delta H_{кат}^* = 0$  и  $\vec{i}_{кат}$  может обеспечивать, при соответствующих  $\theta$ , отвод громадных плотностей тока (свыше  $10^{10}$  A/cm<sup>2</sup>), на металлах же с большой  $E_{M-H}$  большая энергия активации сводит на нет действие рекомбинации в токоотводе. Для промежуточной группы металлов рекомбинационный ток имеет среднюю величину, однако здесь создаются благоприятные условия для адсорбционных токов (область IV).

На рис. 11 нанесены вычисленные значения константы  $a$  уравнения Тамма. Характерно, что для различных вариантов как замедленного разряда (II, III, VI), так и замедленной электрохимической десорбции (IV), уменьшение  $a$  с ростом  $E_{M-H}$ , в конце концов, сменяется подъемом. Скорость разряда возрастает при увеличении  $E_{M-H}$  благодаря снижению энергии активации, но при больших  $E_{M-H}$  снижается из-за резкого снижения доли свободной поверхности металла. Энергия активации электрохимической десорбции возрастает при увеличении энергии связи, однако для слишком больших энергий связи (при  $\theta$  порядка  $10^{-1}$  и ниже), большее влияние на скорость процесса оказывает одновременный рост степени заполнения поверхности водородом\*\*\*.

Приведенные выше расчеты носили ориентировочный характер ввиду приближенной оценки ряда входящих в уравнения (1) — (7) величин. Однако многие из этих приближений сильнее сказываются на абсолютных значениях плотностей токов, чем на их отношении. Более подробное рассмотрение показывает, что изменение в разумных пределах значений каждого из использованных в расчете тепловых эффектов в основном не меняет нарисованной выше качественной картины.

Мы проводили расчет скорости каталитической рекомбинации по уравнению (7), справедливому при условии совершенно беспорядочного распределения адсорбированных атомов на поверхности металла. Это распределение устанавливается в результате поверхностной миграции атомов или реакции с раствором.

\* Момент появления предельного тока определяется началом безактивационного разряда (рис. 6) или безактивационной электрохимической десорбции (рис. 7). Начало другого безактивационного процесса проявляется иногда в изменении характера зависимости  $\theta - \eta'$  (рис. 8).

\*\* Близкие к указанным значениям  $b$  и  $\partial \eta / \partial pH$  наблюдались экспериментально на некоторых катодах [8, 9]. Наш расчет не учитывал зависимости  $E_{M-H}$  от степени заполнения. Однако можно думать, что при столь больших заполнениях ( $1 - \theta \leq 10^{-6}$ ) такой зависимостью можно пренебречь. Мы здесь не рассматриваем возможных изменений  $b$ , связанных с изменением  $\phi_1$ -потенциала (см., например, [10]).

\*\*\* В ряде работ [6, 11 и другие] учитывались только эффекты, связанные с энергиями активации, и не рассматривалось влияние степени заполнения.



Ток рекомбинации, определяемый скоростью поверхностной миграции выражается следующим уравнением:

$$\vec{i}_{\text{кат}} = \xi \frac{kT}{h} \times 6 \cdot 10^{15} g e^{-\lambda E_{\text{М-Н}}/RT} \theta^2. \quad (12)$$

На рис. 2 нанесены значения  $\vec{K}_{\text{кат}}$  — константы скорости рекомбинации, рассчитанной по уравнению (12) (принято  $\lambda \approx 1$  [5]). При  $E_{\text{М-Н}} > 60$  ккал,  $\vec{K}_{\text{кат}} > \vec{K}_{\text{кат}}$ , т. е. поверхностная миграция происходит быстрее реакции рекомбинации, и уравнение (7) полностью применимо (области V, VI частично IV). Оно применимо вполне строго и при меньших значениях  $E_{\text{М-Н}}$ , когда  $\vec{i}_{\text{р}}$  и  $\vec{i}_{\text{ад}}$  больше  $\vec{i}_{\text{кат}}$  (области II).

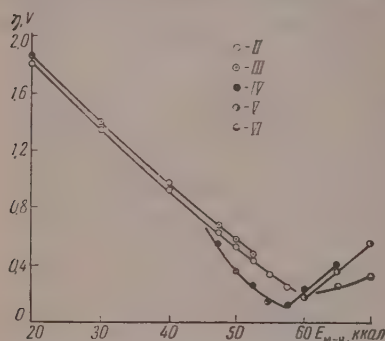


Рис. 11. Значения постоянной  $a$  для различных механизмов выделения водорода. Обозначения см. в тексте

Рис. 11. Значения постоянной  $a$  для различных механизмов выделения водорода. Обозначения см. в тексте

Как отмечалось ранее, используемая в данной работе модель, так называемой простой адсорбции является приближенной и для ряда катодных процессов очевидно, не оправдывается. Поэтому сопоставление результатов расчета с экспериментальными данными нам кажется целесообразным дать в следующем сообщении, в котором будет принята более реальная модель адсорбированного слоя \*\*\*. Предполагается также более подробное обсуждение особенностей процессов разряда и электрохимической десорбции при не очень высоких катодных (или же анодных) потенциалах.

## Выводы

В предположении простой адсорбции методом активированного комплекса рассчитаны в функции потенциала стационарные значения степеней заполнения поверхности и плотностей поляризующего тока и токов прямых и обратных реакций разряда, электрохимической десорбции и каталитической рекомбинации. Результаты расчета, проведенного для металлов с различной энергией адсорбции, указывают на вероятность осуществления, в рамках принятой модели, следующих шести механизмов электролитического выделения водорода: замедленной безактивационной электрохимической десорбции (I), замедленного разряда с электрохимической десорбцией (II) или каталитическим (III) удалением атомов водорода с поверхности.

\* Вывод уравнения (12) аналогичен данному А. Н. Фрумкиным, В. С. Багодзиным и З. А. Иофа [5].

\*\* Если рассчитанный по уравнению (12)  $\vec{i}_{\text{кат}}$  (или  $\vec{i}_{\text{кат}}$ ) оказывается меньше  $\vec{i}_{\text{р}}$  и  $\vec{i}_{\text{ад}}$ , то тем самым не выполняется условие применимости этого уравнения.  $\vec{i}_{\text{кат}}$  в этом случае должен, очевидно, иметь значение, промежуточное между рассчитанными по (7) и (12) (область III, частично IV).

\*\*\* Сравнение, расчета с экспериментом для металлов с высоким перенапряжением выделения водорода было дано ранее [1].

галла, замедленной электрохимической десорбции атомов водорода, предварительного адсорбированных из газовой фазы (адсорбционно-электрохимический механизм IV), замедленной электрохимической десорбции, идущей за разрядом (V), и замедленного разряда при очень малой доле свободной поверхности, определяемой электрохимической десорбцией I). Для некоторых катодов вероятно наличие двух ветвей поляризационной кривой, параллельных друг другу (механизмы IV и III) или пересекающихся (I и II, VI и V).

Зависимость перенапряжения от энергии связи M—H имеет минимум, обусловленный одновременным влиянием  $E_{M-H}$  как на энергии активации, так и на степень заполнения поверхности.

Вероятно существование предельных токов разряда (и электрохимической десорбции), весьма больших по абсолютной величине (порядка  $10^5$  А/см<sup>2</sup> и выше).

Поступила  
27.XI.1957

### ЛИТЕРАТУРА

1. Л. И. Кристаллик, Ж. физ. химии, **31**, 2403, 1957.
2. М. И. Темкин, Тр. Совещания по электрохимии 1950 г., М., 1953, стр. 181.
3. М. И. Темкин, Ж. физ. химии, **11**, 167, 1938.
4. Н. И. Кобозев, Н. И. Некрасов, Z. Elektrochem., **36**, 529, 1930; Н. И. Кобозев, Ж. физ. химии, **26**, 112, 438, 1952.
5. А. Н. Фрумкин, З. А. Иофа, В. С. Багодский, Ж. физ. химии, **25**, 1117, 1951; **26**, 1854, 1952.
6. H. Gerischer, Z. phys. Chem., N. F., **8**, 137, 1956.
7. П. Д. Луковцев, Ж. физ. химии, **21**, 589, 1947.
8. S. Schuldiner, J. Hoare, J. Electrochem. Soc., **102**, 485, 1955; J. Phys. Chem., **61**, 705, 1957.
9. H. Khalifa, I. M. Issa, J. Indian Chem. Soc., **34**, 87, 1957.
10. J. O' M. Bockris, I. A. Ammar, A. K. M. S. Huq, J. Phys. Chem., **61**, 879, 1957.
11. B. E. Conway, J. O' M. Bockris, Naturwissenschaften, **43**, 446, 1956, J. Chem. Phys., **26**, 532, 1957.

### THE RATE OF THE ELEMENTARY STAGES AND THE MECHANISM OF THE CATHODIC EVOLUTION OF HYDROGEN

L. Krishtalik (Moscow)

#### Summary

The steady state values for the degree of surface coverage, for the polarizing current and forward and reverse reaction current densities, for the discharge, for the electrochemical desorption and for the catalytic recombination have been calculated as a function of potential by the method of the activated complex, assuming simple adsorption. The results of the calculation carried out for metals of differing adsorption energies point out to the probability of the following six mechanisms of electrochemical evolution of hydrogen taking place within the framework of the assumed model: slow unactivated electrochemical desorption (I), slow discharge with electrochemical (II) or catalytic (III) removal of the hydrogen atoms from the metal surface, slow electrochemical desorption of hydrogen atoms previously adsorbed from the gaseous phase (electrochemical-adsorption mechanism IV), slow electrochemical desorption following discharge (V), and slow discharge with a very small fraction of free surface determined by electrochemical desorption (VI). For some cathodes the presence of two branches of the polarization curve, parallel to each other (mechanism IV and III) or intersecting (I and II, VI and V), is possible.

The dependence of the overvoltage on the energy of the M—H bond exhibits a minimum due to the simultaneous influence of  $E_{M-H}$  both on the activation energy and on the degree of surface coverage.

The existence of limiting discharge (and electrochemical desorption) currents of very high absolute values (of the order of  $10^5$  А/см<sup>2</sup> and higher) is probable.

ИЗМЕНЕНИЕ ЭЛЕКТРОПРОВОДНОСТИ СТЕКОЛ  
ПРИ КРИСТАЛЛИЗАЦИИ

А. Я. Кузнецов

Изучение характера изменений свойств при переходе вещества из стеклообразной фазы в твердую может дать ряд ценных сведений о соотношении структур этих фаз. Между тем число работ в данной области ничтожно мало на фоне огромного экспериментального материала, посвященного стеклообразному состоянию. При этом наибольший интерес представляли свойства, наиболее резко меняющиеся при фазовых превращениях. Одним из таких свойств является электропроводность. Опыт показывает, что в процессе кристаллизации стекла электропроводность может меняться на несколько порядков [1—5]. Однако причины подобных изменений пока окончательно не выяснены. Исследователи в большинстве случаев имели дело с многокомпонентными стеклами, перевести которые полностью в твердую фазу не удавалось, и таким образом измерялась фактически электропроводность гетерогенной среды.

Очевидно, изменения электропроводности при кристаллизации в принципе могут быть обусловлены двумя факторами: структурной перестройкой вещества при фазовом превращении и изменением монолитности и степени диспергирования вещества, определяющими величину переходных сопротивлений на границе между зернами.

Для выяснения роли этих факторов были проведены измерения электропроводности стекол, отвечающих по составу соединениям  $\text{Na}_2\text{O} \cdot \text{SiO}_2$ ,  $\text{Na}_2\text{O} \cdot 2\text{SiO}_2$ ,  $\text{PbO} \cdot \text{SiO}_2$ , и продуктов полной кристаллизации их. Поскольку первый фактор оставался в основном неизменным, была сделана попытка изменить характер кристаллизации и величину кристаллообразования. Для этих целей стекла подвергались политермической кристаллизации с одновременными кристаллооптическими определениями твердых фаз. В результате длительной экспозиции при каждой данной температуре была достигнута полная кристаллизация каждого состава. В каждом случае наблюдалось выделение лишь одной твердой фазы — соответствующего силиката (табл. 1). Политермическая кристаллизация позволила при этом заметно менять размеры выделяющихся из стекла кристаллов, а следовательно, и величину переходных сопротивлений на границе между кристаллами.

Процесс кристаллизации стекла сопровождается значительным понижением электропроводности: при температурах порядка  $100^\circ$  у натриевых стекол на 2—3 порядка, у свинцовых — на 3—5 порядков (рисунки). Замечательно при этом, что характер кристаллизации мало сказывается на величине электропроводности; несмотря на значительные расхождения в размерах кристаллов, выделяющихся при различных температурах, величина электропроводности для каждого состава в первом приближении остается постоянной. Следовательно, основное изменение электропроводности обусловлено переходом стекла в твердую фазу. Поскольку кристаллизация сопровождается выделением тепла, очевидно, при переходе в твердую фазу повышается прочность химических связей и соответственно энергия диссоциации катиона. В этом случае следует ожидать некоторого соответствия между энергией диссоциации и теплотой кристаллизации.



Таблица 1

Состав стекла	Температура кристаллизации V, °C	Твердая фаза	Линейные размеры * преобладающего числа кристаллов, мм
Na <sub>2</sub> O·SiO <sub>2</sub>	1050	Na <sub>2</sub> O·SiO <sub>2</sub>	0,8 —1
Na <sub>2</sub> O·SiO <sub>2</sub>	1000	Na <sub>2</sub> O·SiO <sub>2</sub>	0,2 —0,1
Na <sub>2</sub> O·SiO <sub>2</sub>	940	Na <sub>2</sub> O·SiO <sub>2</sub>	0,07—0,04
Na <sub>2</sub> O·2SiO <sub>2</sub>	850	Na <sub>2</sub> O·2SiO <sub>2</sub>	0,5 —0,2
Na <sub>2</sub> O·2SiO <sub>2</sub>	800	Na <sub>2</sub> O·2SiO <sub>2</sub>	0,1 —0,08
Na <sub>2</sub> O·2SiO <sub>2</sub>	760	Na <sub>2</sub> O·2SiO <sub>2</sub>	0,01—0,005
PbO·SiO <sub>2</sub>	740	PbO·SiO <sub>2</sub>	0,6 —1
PbO·SiO <sub>2</sub>	690	PbO·SiO <sub>2</sub>	0,07—0,1
PbO·SiO <sub>2</sub>	640	PbO·SiO <sub>2</sub>	0,01—0,005

\* Измерения проводились на частично закристаллизованных образцах.

использовавшись данными К. С. Евстропьева и М. М. Скормякова о теплотах кристаллизации силикатов натрия и свинца [6] и определив энергию диссоциации катионов в стекловидной и кристаллической фазах, найдим, что прирост энергии диссоциации  $\Delta E = E_{\text{крист}} - E_{\text{стекл}}$  и теплота кристаллизации меняются симбатно (табл. 2).

Слабое влияние характера кристаллизации на величину электропроводности, по-видимому, обусловлено сравнительно большим размером кристаллов. Поэтому поверхность раздела между ними невелика, и переходные сопротивления на границе между кристаллами играют существенной роли. Как известно, влияние их становится значительным, когда размеры зерен не превышают микрона. Однако получить такого рода поликристаллические образования из стекла весьма трудно, так как образование кристаллов подобных размеров наблюдается лишь при низких температурах, где достигнуть полной кристаллизации практически невозможно.

Таким образом, уменьшение электропроводности при полной кристаллизации стекла обусловлено упрочнением структурных связей и повышением энергии диссоциации катиона. Рассмотренные простейшие стекла представляют лишь лабораторный интерес; все промышленные сорта являются многокомпонентными. В процессе кристаллизации их, как правило, выделяются лишь первые твердые фазы, последующие фазы или вовсе не выделяются или выпадают в небольших количествах. Поэтому решающее влияние должна оказывать первая фаза. Для выяснения роли этой фазы был изучен эффект кристаллизации у стекол системы Na<sub>2</sub>O—SiO<sub>2</sub>. Ряд стекол данной системы, расположенных в полях различных соединений, подвергался кристаллизации в зоне температур, где выделялась лишь первая фаза. Таким образом производилась частичная кристаллизация, и образец представлял собой гетерогенную среду.

Опыты показали, что при выделении кристаллов мета- или дисиликата происходит значительное уменьшение проводимости, наоборот, выпадение

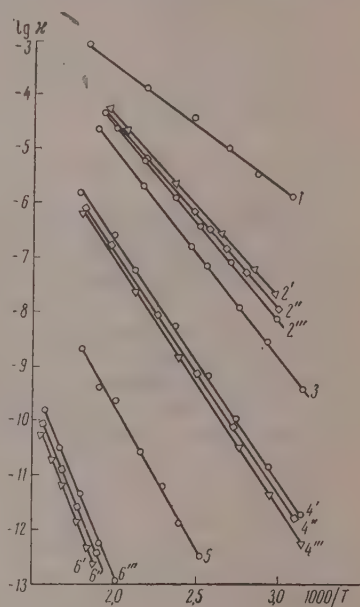


Таблица 2

Стекло	Теплота кристаллизации, ккал/г-атм	Энергия активации, ккал/г-ион		$\frac{F_{\text{стекл}}}{E_{\text{крист}}}$
		стекло	кристалл	
$\text{Na}_2\text{O} \cdot \text{SiO}_2$	3	10	12	2
$\text{Na}_2\text{O} \cdot 2\text{SiO}_2$	4,5	16	19	3
$\text{PbO} \cdot \text{SiO}_2$	6	25	30	5

Таблица 3

№ стекла	$\text{SiO}_2$ , мол. %	Режим кристаллизации		Первая фаза	$\kappa$ , $\Omega^{-1} \text{ см}^{-1}$ при 100°		$\frac{\kappa_{\text{крист}}}{\kappa_{\text{стекл}}}$
		t, °C	часы		до кристаллизации	после кристаллизации	
1	53	900	24	$\text{Na}_2\text{O} \cdot \text{SiO}_2$	$10^{-6}$	$5 \cdot 10^{-8}$	$5 \cdot 10^{-2}$
2	67,1	830	24	$\text{Na}_2\text{O} \cdot 2\text{SiO}_2$	$5 \cdot 10^{-7}$	$2 \cdot 10^{-8}$	$4 \cdot 10^{-2}$
3	68,2	840	24	$\text{Na}_2\text{O} \cdot 2\text{SiO}_2$	$3 \cdot 10^{-7}$	$2 \cdot 10^{-8}$	$7 \cdot 10^{-2}$
4	70,3	830	30	$\text{Na}_2\text{O} \cdot 2\text{SiO}_2$	$2 \cdot 10^{-7}$	$2 \cdot 10^{-8}$	$10^{-1}$
5	77,2	850	26	$\text{SiO}_2$	$2 \cdot 10^{-6}$	$4 \cdot 10^{-8}$	20
6	80,8	900	30	$\text{SiO}_2$	$5 \cdot 10^{-9}$	$6 \cdot 10^{-8}$	12
7	84,6	960	32	$\text{SiO}_2$	$2 \cdot 10^{-9}$	$5 \cdot 10^{-9}$	25

кристаллов кремнезема сопровождается увеличением проводимости (табл. 3).

Очевидно, электропроводность частично кристаллизованного образца  $\kappa = \kappa_{\text{стекл}} + \kappa_{\text{крист}}$ . Нетрудно убедиться, что, несмотря на уход из стекловидной фазы металлических ионов, всегда остается справедливым неравенство  $\kappa_{\text{стекл}} \gg \kappa_{\text{крист}}$ . В самом деле, исследованные стекла расположены в полях трех соединений. В поле метасиликата кристаллическая фаза имеет при 100°,  $\kappa = 710^{-8} \Omega^{-1} \text{ см}^{-1}$  (рисунок). Состав стекловидной фазы по мере кристаллизации смещается в сторону дисиликата и в предельном случае достигает состава эвтектической точки (61 мол. %  $\text{SiO}_2$ ), с наименьшей величиной электропроводности  $\kappa = 10^{-6} \Omega^{-1} \text{ см}^{-1}$  [7]. Отсюда  $\kappa_{\text{стекл}} : \kappa_{\text{крист}} = 1000$ . Фактически это отношение должно быть более высоким вследствие наличия переходных сопротивлений на границе стекло — кристалл. В поле дисиликата  $\kappa_{\text{крист}} = 10^{-10} \Omega^{-1} \text{ см}^{-1}$ , а минимальная электропроводность стекла, отвечающего эвтектике (72 мол. %  $\text{SiO}_2$ )  $\kappa = 10^{-7} \Omega^{-1} \text{ см}^{-1}$ , отсюда  $\kappa_{\text{стекл}} : \kappa_{\text{крист}} = 1000$ . В поле кремнезема имеем  $\kappa_{\text{крист}} \approx 10^{-13} \Omega^{-1} \text{ см}^{-1}$ , электропроводность стекла колеблется в пределах  $10^{-7} - 10^{-9} \Omega^{-1} \text{ см}^{-1}$ , соответственно  $\kappa_{\text{стекл}} : \kappa_{\text{крист}} \approx 10^4$ .

Таким образом, в частично закристаллизованном веществе переход электричества практически осуществляется стекловидной фазой. При делении кристаллов силикатов натрия молярная концентрация катионов Na в стекле и электропроводность уменьшаются. Переход в твердую фазу кремнезема приводит к повышению полярной концентрации катионов металла и электропроводности. Правда, в последнем случае одновременно имеет место и снижение проводимости вследствие уменьшения объема стекловидной фазы, однако концентрационный фактор являетсяминирующим, так как электропроводность экспоненциально меняется с концентрацией.

Рассмотренные закономерности наблюдаются и для системы  $\text{PbO} \cdot \text{SiO}_2$ , где для всех кристаллизующихся стекол  $\kappa_{\text{стекл}} : \kappa_{\text{крист}} > 100$ . Поэтому, эти закономерности справедливы и для стекол других систем.

## Выводы

1. Переход стекла в твердую фазу сопровождается значительным уменьшением электропроводности, что обусловлено упрочнением химических связей и повышением энергии диссоциации катиона. Следовательно, при кристаллизации стекла происходит обычный переход жидкой фазы в твердую.
2. Перенос электричества в частично закристаллизованном веществе осуществляется стекловидной фазой; характер изменения электропроводности в процессе кристаллизации обусловлен химическим составом выделяющихся твердых фаз.

## ЛИТЕРАТУРА

- Schönborn, Z. Phys., 22, 305, 1924.  
Schwarz, Z. anorgan. Chem., 33, 199, 1932.  
Sowa, J. Soc. Chem. Ind. Japan, 41, 1938.  
А. М. Вендорович, В. И. Черных, ЖПФ, 18, вып. 3, 1948.  
Е. А. Антонова, Канд. диссерт. ЛТИ, Ленинград, 1954.  
К. С. Евстропьев, М. М. Скряков, Монограф. физ.-хим. свойства системы окиси натрия — окись свинца — кремнезем, Изд-во АН СССР, 1949, стр. 182.  
Seddon, J. Soc. Glass Technol., 16, 450, 1932.

## CHANGE IN ELECTROCONDUCTIVITY OF GLASSES ON CRYSTALLIZATION

*A. Ya. Kuznetsov (Leningrad)*

## Summary

The transition of glass to the solid phase is accompanied by considerable loss in electroconductivity owing to the strengthening of the chemical bonds and increase in dissociation energy of the cation. Hence on crystallization glass passes through the ordinary transition from the liquid to the solid phase.

The transfer of electricity in the partially crystallized substance is accomplished by the vitreous phase. The nature of the change in electroconductivity in the process of crystallization is determined by the chemical composition of the solid phases separating out.

From a knowledge of the electroconductivity during phase transition one may determine the nature of the crystalline phases.

## РЕНТГЕНОГРАФИЧЕСКОЕ ИССЛЕДОВАНИЕ СТРУКТУРЫ НЕКОТОРЫХ ЖИДКИХ МЕТАЛЛИЧЕСКИХ СИСТЕМ

*А. С. Лашко*

Среди рентгенографических методов исследования структуры жидкостей в последнее время наиболее широкое распространение получил метод интегрального анализа кривых интенсивности рассеянных рентгеновских лучей. При помощи этого метода оказалось возможным получить для простых жидкостей радиальные функции атомного распределения, вычислить координационные числа и радиусы координационных сфер. Расшифровка рентгенограмм сложных жидкостей, состоящих из атомов разного сорта, является более трудной задачей из-за необходимости учета взаимодействия атомов, обладающих различной рассеивающей способностью. Тем не менее и в последнем случае, особенно в бинарных системах, часто оказывается возможным получить количественные характеристики структуры жидкости. Для бинарных систем, так же как и для простых одноатомных жидкостей, особое значение имеют радиальные функции распределения атомов. Знание функции атомного распределения и потенциальной функции позволяет вычислять термодинамические характеристики жидкости.

В большинстве опубликованных до настоящего времени работ по рентгенографическому исследованию структуры сложных жидкостей расчеты атомного распределения проводились по методу, изложенному в статье [1]. Этот метод, разработанный первоначально для стекол, был впервые применен С. Я. Красицким [2] при вычислении кривых атомного распределения в расплавленных солях  $KNO_3$  и  $NaNO_3$ . Под названием интегрального анализа метод нашел вскоре широкое применение в рентгенографических исследованиях сложных жидкостей.

В соответствии с основной идеей этого метода для нахождения трансформации Фурье функции интенсивности рентгеновских лучей вводится так называемая средняя функция рассеяния на один электрон, по формуле:

$$f_e = \frac{\sum f_m}{\sum z_m}, \quad (1)$$

где  $f_m$  и  $z_m$  — соответственно атомный фактор и число электронов в  $m$ -ом атоме. Затем полагают, что атомный фактор любого атома данной жидкости прямо пропорционален среднему атомному фактору на электрон. Благодаря этим предположениям оказывается возможным применить к сложным жидкостям схему расчета, подобную той, которая используется при расчете кривой интенсивности простой одноатомной жидкости. Нормировка экспериментальной кривой интенсивности осуществляется по кривой квадрата средней функции рассеяния на электрон. В результате расчета получаются атомные электронные функции распределения, из которых затем путем подбора находят атомное распределение.

В работе [3] этот метод был несколько видоизменен с целью уточнения расчета атомных функций распределения. В расчетах данной работы вместо среднего атомного фактора на электрон была введена функция

$$F = \sqrt{n_1 f_1^2 + n_2 f_2^2 + \dots + n_s f_s^2},$$

где  $n_i$  — доля атомов  $i$ -го сорта. Нормировка экспериментальной кривой интенсивности производилась по кривой

$$F^2 = n_1 f_1^2 + n_2 f_2^2 + \dots + n_s f_s^2.$$



кции распределения атомов входили в явном виде в интерференционное уравнение, ему не было необходимости в дополнительных расчетах в процессе анализа. Теоретическое исследование интерференционного уравнения жидкости недавно было проведено В. Н. Филиповичем [4], который получил более точные формулы для анализа этих интенсивности.

Для системы, состоящей из атомов двух сортов, необходимо рассмотреть  $\rho_j(i)$  — радиальную функцию распределения атомов сорта  $j$  относительно находящегося в начале координат атома  $i$ -го сорта. Таким образом в данном случае возможны следующие распределения атомов, характеризующиеся функциями:  $\rho_1(1)$  — распределение атомов первого сорта относительно атомов первого сорта,  $\rho_2(1)$  — распределение атомов второго сорта относительно атомов первого сорта,  $\rho_2(2)$  — распределение атомов второго сорта относительно атомов второго сорта и  $\rho_1(2)$  — распределение атомов первого сорта относительно атомов второго сорта. Функции распределения  $\rho_1(2)$  и  $\rho_2(1)$  не являются независимыми. Для бинарной системы интенсивность когерентного рассеяния рентгеновских лучей радиальные функции атомного распределения связаны между собой следующим соотношением:

$$\frac{I - (n_1 f_1^2 + n_2 f_2^2)}{n_1 f_1^2 + n_2 f_2^2} = n_1 k_1 \int 4\pi r^2 [k_1 \rho_1(1) + k_2 \rho_2(1) - k_1 \rho_1^0 - k_2 \rho_2^0] \frac{\sin sr}{sr} dr + \\ + n_2 k_2 \int 4\pi r^2 [k_2 \rho_2(2) + k_1 \rho_1(2) - k_2 \rho_2^0 - k_1 \rho_1^0] \frac{\sin sr}{sr} dr, \quad (2)$$

где  $I$  — интенсивность когерентного рассеяния;  $n_i = N_i/V$ ;  $N_i$  — количество атомов  $i$ -го сорта,  $V$  — объем рассеивающего образца;  $f_1$  и  $f_2$  — атомные факторы атомов первого и второго сорта;  $\rho_1^0$  и  $\rho_2^0$  — средние плотности атомов первого и второго сорта соответственно:

$$k_i^2 = (f_i^2 / n_i f_i^2 + n_2 f_2^2)_{\text{ср}}; \\ s = \frac{4\pi}{\lambda} \sin \vartheta,$$

— длина волны рентгеновского излучения,  $2\vartheta$  — угол рассеяния.

Производя преобразование Фурье в уравнении (2), получим

$$4\pi r^2 \{n_1 k_1 [k_1 \rho_1(1) + k_2 \rho_2(1)] + n_2 k_2 [k_2 \rho_2(2) + k_1 \rho_1(2)]\} = \\ = 4\pi r^2 (n_1 k_1 + n_2 k_2)^2 \rho_0 + \frac{2r}{\pi} \int \frac{I - (n_1 f_1^2 + n_2 f_2^2)}{n_1 f_1^2 + n_2 f_2^2} s \sin sr ds, \quad (3)$$

где  $\rho_0 = \rho_1^0 + \rho_2^0$  — средняя плотность атомов в образце.

На практике при применении формулы (3) возникают известные трудности, связанные с тем, что, во-первых, кривая интенсивности не может быть определена экспериментально для  $s = \infty$ , и, во-вторых, необходимо знание кривой интенсивности при малых углах рассеяния. В ряде работ [5—6] было исследовано влияние на кривую атомного распределения ошибок, связанных с экстраполяцией кривой интенсивности, и предложены методы для уменьшения этих ошибок.

Формулы расчета радиальных функций распределения атомов могут быть специализированы для каждого конкретного случая межатомного взаимодействия, определяющего данную структуру жидкого сплава. Например, при рассеянии рентгеновских лучей бинарным раствором, в котором отсутствует правильное чередование атомов разного сорта, формула интенсивности может быть переписана в следующем виде

$$I - (n_1 f_1^2 + n_2 f_2^2) = (n_1 f_1 + n_2 f_2)^2 \int 4\pi r^2 (\rho - \rho_0) \frac{\sin sr}{sr} dr$$

или

$$\frac{I - (n_1 f_1^2 + n_2 f_2^2)}{(n_1 f_1 + n_2 f_2)^2} = \int 4\pi r^2 (\rho - \rho_0) \frac{\sin sr}{sr} dr,$$

где  $\rho$  — искомая функция распределения атомов, определяющая общее число атомов в единице объема,  $\rho_0$  — средняя атомная плотность.

Для случая, когда в растворе атомы одного сорта образуют отдельную группу так, что каждый атом данного сорта окружен атомами того же сорта, формула для радиальных функций приобретает следующий вид:

$$4\pi r^2 \{n_1 k_1^2 \rho_1(1) + n_2 k_2^2 \rho_2(2)\} = 4\pi r^2 (n_1 k_1 + n_2 k_2)^2 \rho_0 + \\ + \frac{2r}{\pi} \int \frac{I - (n_1 f_1^2 + n_2 f_2^2)}{n_1 f_1^2 + n_2 f_2^2} s \sin sr ds,$$

где  $\rho_1(1)$  и  $\rho_2(2)$  — искомые функции атомного распределения.

Полученные выше формулы были применены для исследования статистики ближнего порядка жидких бинарных систем с различным характером взаимодействия между атомами.

Из исследованных жидких эвтектик представляют интерес системы олово — висмут и олово — цинк [7, 8]. Рентгенограммы этих сплавов

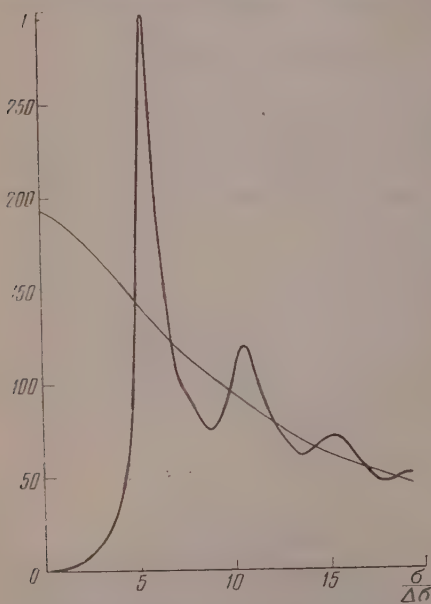


Рис. 1. Кривая интенсивности для жидкого сплава олово — висмут при 150° С

фильтрованным излучением вблизи точки кристаллизации были получены В. И. Даниловым и И. В. Радченко [9]. Из сопоставления кривых почернения сплава и его компонентов В. И. Данилов и И. В. Радченко сделали вывод о квазиэвтектическом строении жидких сплавов. Количественные характеристики структуры могут быть получены из анализа монхроматических кривых интенсивности рассеянных рентгеновских лучей.

### Экспериментальная часть

Рентгенограммы сплава олово — висмут были получены в ме-ном монохроматическом излучении от свободной поверхности образца, находящегося в вакуумной высокотемпературной камере. На рис. 1 представлена кривая интенсивности рассеяния для сплава олово — висмут при 150°. Положение первого максимума интен-

сивности определяется значением величины

$$\sin \vartheta / \lambda = 0,172 \text{ при } 150^\circ \text{ и } \sin \vartheta / \lambda = 0,162 \\ \text{при } 400^\circ \text{ С.}$$

Периоды идентичности  $d$ , рассчитанные по формуле Вульфа—Брегга для сплава в жидком состоянии, равны  $d = 2,91 \text{ \AA}$  (150°) и  $d = 3,08 \text{ \AA}$  (400°); для чистого олова  $d = 2,83 \text{ \AA}$  (280°) и для чистого висмута  $d = 3,01 \text{ \AA}$  (340°).

Из расчета кривых атомного распределения (рис. 2) по формулам (4) и (5) следует, что в жидком сплаве каждый атом окружен преимуще-

своими (одноименными) атомами. Таким образом ближний порядок, мысле положения ближайших атомов, в жидком сплаве такой же, как в твердом. При  $150^\circ$  каждый атом олова окружен в среднем 10 атомами цинка, в то время как каждый атом висмута имеет ближайшими соседями 7 атомов висмута. С повышением температуры координационные числа уменьшаются, и уже при  $400^\circ$  координационное число олова становится равным 9, а висмута 7.

Исследования сплава олово — цинк были проведены при  $300$  и  $500^\circ$  в одном монохроматическом излучении. Кривая интенсивности для  $300^\circ$  представлена на рис. 3. При повышении температуры сплава от  $300$  до  $500^\circ$  С наблюдается заметное увеличение ширины и уменьшение высоты максимума на кривой интенсивности рассеянных рентгеновских лучей; положение максимумов при этом практически не изменяется.

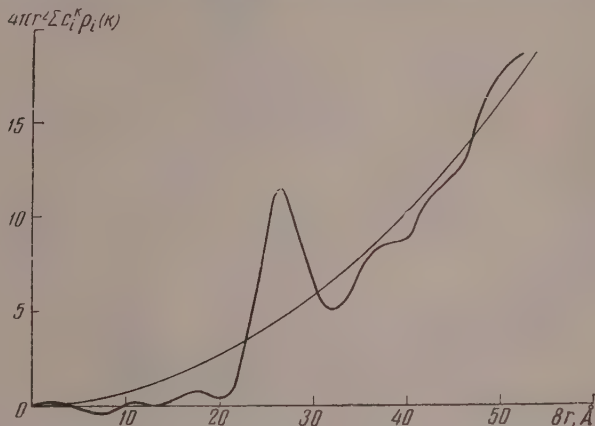


Рис. 2. Кривая радиального распределения атомов в жидком сплаве олово — висмут при  $150^\circ$  С

Кривая атомного распределения для  $300^\circ$  представлена на рис. 4. С повышением температуры происходит размытие структуры.

Предположение об эвтектической структуре жидкого сплава находится в согласии с экспериментальными данными при следующих значениях координационных чисел:

при  $300^\circ$  С для олова 9,5, для цинка 10; при  $500^\circ$  С для олова 7,0, для цинка 8.

Как уже указывалось выше, для бинарных систем интерференционное равенство содержит две искомые функции распределения: атомного распределения относительно атома олова  $q(1)$  и распределения относительно атома цинка  $q(2)$ . В связи с этим, наряду с предположением об эвтектической структуре жидкого сплава, было проверено предположение о статистическом (беспорядочном) распределении в чередовании атомов разного сорта.

В случае сплава олово — цинк предположение о статистическом распределении также не противоречит экспериментальным данным, между тем как для эвтектического сплава олово — висмут предположение о статистическом распределении атомов не согласуется с опытными данными (в этом случае получается координационное число 13). Неоднозначность результата для сплава олово — цинк связана с тем, что величина  $1 - n_1 n_2 (k_1 - k_2)^2$  мало отличается от единицы. Координационное число для беспорядочного распределения определяется посредством формулы:

$$Z = \frac{A}{1 - n_1 n_2 (k_1 - k_2)^2}$$

где  $A$  — площадь первого максимума на кривой распределения. Координационные сферы для исследованных систем в жидкой фазе заполнены преимущественно одноименными атомами с одним из них, находящимся в центре сферы. Координационные числа несколько уменьшаются по сравнению с координационными числами чистых компонентов.

С повышением температуры сплавов увеличивается ширина максимумов на кривых атомного распределения, что, по-видимому, указывает на увеличение дисперсии в расположении атомов. Координационные числа при этом уменьшаются.

Из систем неэвтектического типа рассмотрим результаты исследования сплавов золото — олово и алюминий — серебро. Бинарная система золото — олово рентгенографически исследовалась Гендусом [10], который

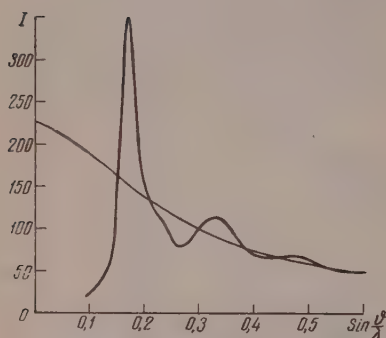


Рис. 3. Кривая интенсивности жидкого сплава олово — цинк при 300°C

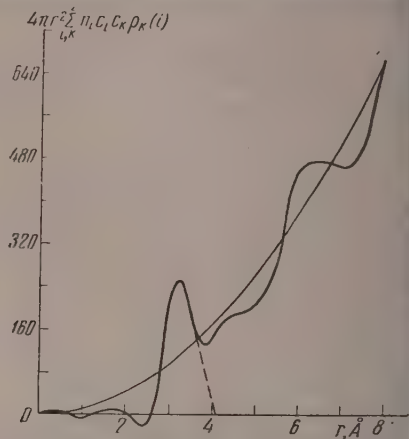


Рис. 4. Кривая радиального распределения атомов в жидком сплаве олово — цинк при 300°C

получил кривые интенсивности для трех составов сплава: 16,3; 29,4 и 50 ат. % олова. Качественные выводы о структуре жидкого сплава были сделаны из сопоставления периодов идентичности, вычисленных из положений максимумов интенсивности по формуле Вульфа-Брегга. Функции атомного распределения не определялись.

Полученное автором [10] значение  $d$  для сплава с 16,3 ат. % Sn такое же, как для чистого золота, а для сплава с 29,4 ат. % Sn (эвтектика) даже меньше, тогда как в обоих случаях, благодаря присутствию атомов олова, следовало бы ожидать больших значений периодов идентичности. В случае жидкого сплава Au—Sn  $d = 2,62 \text{ Å}$  и находится между значениями для чистого золота и чистого олова. Предполагая статистическое распределение атомов, можно вычислить среднее значение  $d$ , пользуясь правилом Вегарда:

$$d = 0,5 \cdot 2,38 + 0,5 \cdot 2,83 = 2,61 \text{ Å}.$$

что хорошо согласуется с наблюдаемым значением  $d = 2,62 \text{ Å}$ .

Второе значение  $d$  двойного максимума (рис. 5) с  $d = 2,25 \text{ Å}$  оказывается меньшим, чем для чистого золота и хорошо согласуется с  $d = 2,20 \text{ Å}$  для плоскости (012) сплава Au—Sn, обладающего никель-арсенидной кристаллической структурой. Наличие двойного первого максимума Гендус [10] объясняет существованием в сплаве двух типов атомных распределений. Одна часть атомов золота и олова распределена статистически, а вторая часть имеет упорядоченное распределение атомов, близ-



к тому, которое существует в кристаллическом сплаве Au—Sn. С понижением температуры сплава до  $540^\circ\text{C}$  интенсивность пика с  $d = 2,25\text{ \AA}$  уменьшается, уменьшается также и ширина всего максимума. При достаточно высокой температуре распределение атомов должно отвечать статистическому распределению в чередовании атомов разного сорта.

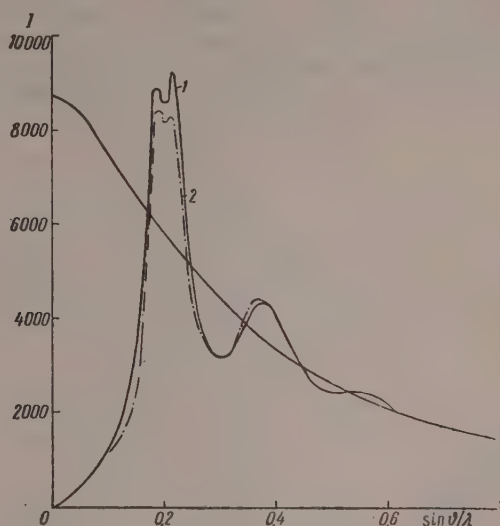


Рис. 5. Кривая интенсивности жидкого сплава золото — олово: 1 —  $440^\circ\text{C}$ ; 2 —  $540^\circ\text{C}$

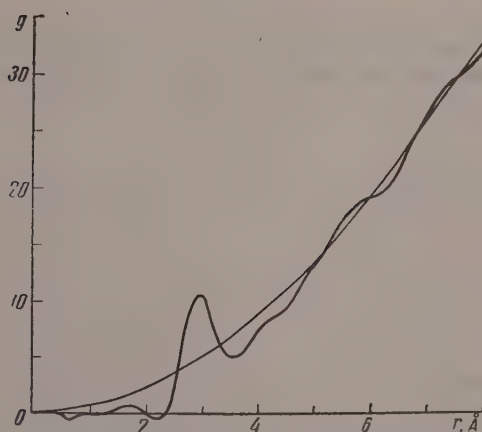


Рис. 6. Кривая радиального распределения атомов в жидком сплаве золото — олово (50 ат.%)

В случае сплава эвтектического состава значение  $d$  меньше, чем для чистого золота, и больше, чем для соединения Au—Sn. В твердом состоянии эвтектика состоит из смеси  $\beta$ -кристаллов гексагональной плотноупакованной структуры и кристаллов соединения Au—Sn.

Предположение о статистическом распределении атомов в жидком состоянии Гендус отвергает на том основании, что в этом случае должна бы-

ла бы наблюдаться интерференция с  $d = 2,51 \text{ \AA}$ , тогда как в действительности наблюдается  $d = 2,30 \text{ \AA}$ . Объяснение этого факта можно найти, предположив, что в жидком эвтектическом сплаве существуют области с двумя типами ближнего упорядочения, а именно: распределение, отвечающее соединению  $\text{Au-Sn}$ , и распределение, сходное со структурой сплава, содержащего 16,3 ат. %  $\text{Sn}$ . В таком случае следовало бы ожидать, что  $d$  будет меньше, чем для чистого золота, и больше, чем для соединения  $\text{Au-Sn}$ . Отметим, что из-за отсутствия достаточно достоверных данных на диаграмме состояния в этой области концентраций создаются известные трудности при выявлении особенностей структуры при помощи рентгеновских лучей.

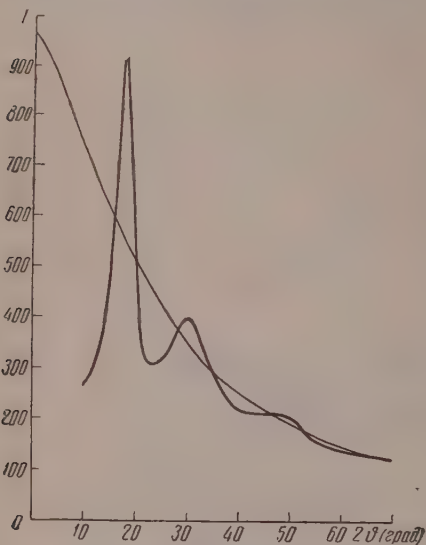


Рис. 7. Кривая интенсивности жидкого сплава алюминий — серебро эвтектического состава

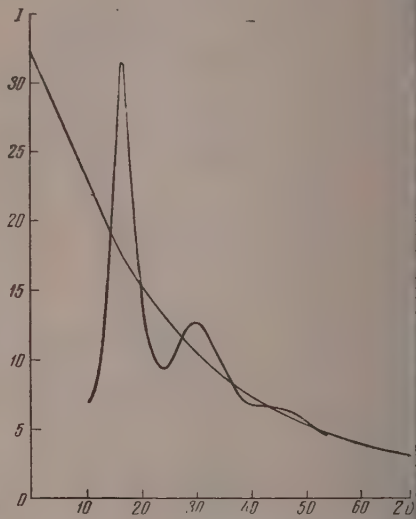


Рис. 8. Кривая интенсивности жидкого сплава алюминий — серебро с 7 ат. % серебра

Из кривых интенсивности, полученных Гендусом для сплава, отвечающего химическому соединению  $\text{Au-Sn}$  (рис. 9), нами была рассчитана по методу, изложенному выше, кривая атомного распределения (рис. 6). Сопоставление положения первого максимума кривой распределения с его площадью с координационными числами и радиусами первых двух координационных сфер кристаллического сплава  $\text{Au-Sn}$  указывает на сходство атомного распределения сплава в жидком и твердом состоянии.

Первый пик на кривой радиального распределения лежит в той области расстояний ( $r = 2,88 \text{ \AA}$ ), где в кристаллическом  $\text{Au-Sn}$  проходят первая ( $r = 2,70 \text{ \AA}$ ) и вторая ( $r = 2,84 \text{ \AA}$ ) координационные сферы. Таким образом положение первого максимума кривой распределения отвечает положению первых двух координационных сфер кристаллического  $\text{Au-Sn}$ . Если бы координационное число жидкого сплава было равно сумме координационных чисел первых двух координаций твердого сплава  $\text{Au-Sn}$ , то площадь под максимумом на кривой распределения была бы равна 6,8. На самом деле площадь под первым максимумом на экспериментальной кривой радиального распределения равна 8,1. При статистическом распределении атомов она была бы равна 9,3, а при эвтектическом распределении 10,7. Таким образом данные интегрального анализа указывают на сходство статистики ближнего порядка жидкого и кристаллического сплавов. Тот факт, что площадь под максимумом превышает значение площа-

ожидаемое для случая ближнего порядка кристаллического сплава, может быть объяснен существованием в жидком сплаве наряду с распределением, отвечающим твердому состоянию, также статистического распределения.

С повышением температуры распределение, отвечающее ближнему порядку в твердом состоянии, нарушается и становится все более беспорядочным. Совместно с А. В. Романовой нами проведено рентгенографическое исследование жидкой бинарной системы алюминий — серебро в широком интервале концентраций. Методом интегрального анализа были рассчитаны кривые радиального распределения. Не останавливаясь подробно на результатах исследования, отметим лишь некоторые выводы, которые можно сделать из рассмотрения кривых радиального распределения для различных концентраций сплава.

В сплаве, концентрация которого отвечает твердому раствору, не происходит равномерного перемешивания атомов. Для сплава с концентрацией 7 ат. % серебра в жидком состоянии можно предположить существование двух типов упаковок: с распределением, отвечающим статистике ближнего порядка в  $\gamma$ -фазе, и с распределением, подобным с распределением атомов в жидком алюминии. На рис. 7 и 8 приведены кривые интенсивности для сплава алюминий — серебро эвтектического состава и 7 ат. % серебра, соответственно. Кривая радиального распределения для сплава с 7 ат. % Ag представлена на рис. 9. Анализ кривой распределения сплава с 7 % ат. % серебра показывает, что атомное распределение характеризуется наличием атомов серебра, количество которых отлично от среднестатистического в первой координационной сфере алюминия.

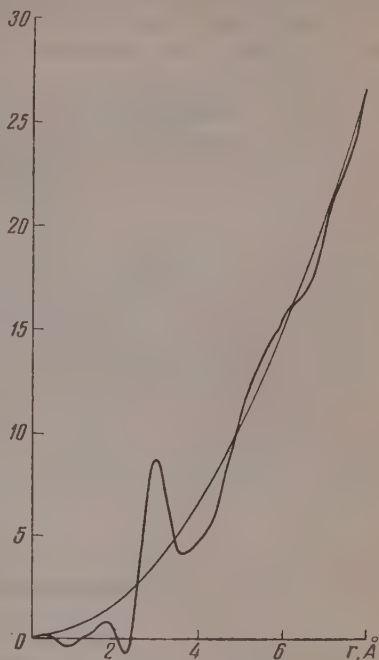


Рис. 9. Кривая радиального распределения атомов в жидком сплаве алюминий — серебро с 7 ат. % серебра

### Выводы

1. Получены формулы для расчета по рентгенографическим данным функций атомного распределения бинарных жидких систем.
2. Методом интегрального анализа кривых интенсивности определены функции атомного распределения жидких сплавов: олово — висмут, олово — цинк, алюминий — серебро и золото — олово.
3. Анализ кривых атомного распределения жидких сплавов эвтектического состава указывает на существование небольших областей, у которых статистика ближнего порядка такая же, как и у чистых компонентов. Эта «квазиэвтектическая» структура существует не только вблизи точки кристаллизации, но и выше ее.
4. Анализ кривой распределения атомов жидкого сплава золото — олово (50 ат. % Au), рассчитанной из рентгенографических данных работы [10], показывает, что при температуре, близкой к точке кристаллизации, статистика ближнего порядка отвечает распределению атомов в твердом состоянии. Однако, наряду с этим распределением, которое является до-

минирующим, в жидком сплаве обнаруживаются области со статистическим распределением атомов А и В.

5. В сплаве алюминий — серебро (13,7 ат. % Ag) в жидком состоянии можно предположить существование двух типов упаковок: а) распределение, отвечающее статистике ближнего порядка в  $\gamma$ -фазе, и б) распределение, сходное с распределением атомов в жидком алюминии.

Академия наук УССР  
Институт металлофизики

Поступила  
4.1.1958

#### ЛИТЕРАТУРА

1. B. Warren, H. Krutter, O. Morningstar, J. Amer. Ceram. Soc. 19, 202, 1936.
2. С. Н. Красицкий, Докл. АН СССР, 101, 661, 1955.
3. А. С. Лашко, Сб. «Вопросы физики металлов и металловедения», Изд-во АН УССР, Киев, № 6, 66, 1955.
4. В. Н. Филипович, Ж. техн. физ., 25, 1604, 1955.
5. А. С. Лашко, Сб. «Строение и физические свойства вещества в жидком состоянии», Изд-во КГУ, Киев, 39, 1954.
6. J. Waser, V. Schomaker, Rev. Mod. Phys., 25, 671, 1953.
7. А. С. Лашко, Докл. АН УССР, № 1, 30, 1957.
8. А. С. Лашко, Сб. «Вопросы физики металлов и металловедения», Изд-во АН УССР, Киев, № 8, 1957.
9. В. И. Данилов, И. В. Радченко, Ж. эксперим. теор. физ., 7, 1158, 1937.
10. H. Hendus, Z. Naturforsch., a, 2, 505, 1947.

#### X-RAY ANALYSIS OF SOME LIQUID METALLIC SYSTEMS

A. S. Lashko (Kiev)

#### Summary

Formulas have been derived for calculating the atomic distribution functions of binary liquid systems from x-ray data. Employing the method of integral analysis of the intensity curves the atomic distribution functions have been determined for the liquid alloys: tin — bismuth, tin — zinc, aluminum — silver and gold — tin.

Analysis of the atomic distribution curves for liquid alloys of eutectic composition shows the existence of small areas where the near order statistics are the same as for the pure components. This «quasi-eutectic» structure is present not only near the crystallization point but also above it.

Analysis of the atomic distribution curves for the liquid gold — tin alloy (50%) calculated from the x-ray data of the paper (10) shows that at temperatures near the crystallization point the near order statistics correspond to distribution of atoms in the solid state. However, besides this distribution which is predominant, regions are revealed in the liquid alloy with the A and B statistical distribution.

In the aluminum—silver alloy (13.7% at. Ag) two types of packing may be assumed to exist in the liquid state, namely, 1) distribution corresponding to near order statistics in the  $\gamma$ -phase and 2) distribution similar to atomic distribution in liquid aluminum.



## ОБ АССОЦИИ ИОНОВ В РАСТВОРАХ

## III. ПОТЕНЦИОМЕТРИЧЕСКОЕ ОПРЕДЕЛЕНИЕ КОЭФФИЦИЕНТОВ АКТИВНОСТИ ИОНОВ В РАСТВОРАХ С НИЗКОЙ ДИЭЛЕКТРИЧЕСКОЙ ПРОНИЦАЕМОСТЬЮ

А. М. Сухотин и З. Н. Тимофеева

Почти все достаточно точные исследования э.д.с. гальванических цепей, включающих неводные растворы, проведены с растворителями, имеющими высокую диэлектрическую проницаемость. Изучались главным образом растворы в спиртах. Гальванические элементы, содержащие растворы солей в средах с низкими диэлектрическими постоянными, вообще не изучались.

Харнед, Уокер и Кальмон [1] измерили э.д.с. цепи  $(\text{Pt})\text{H}_2|\text{HCl}|\text{AgCl}-\text{Ag}$  в концентрациях  $\text{HCl}$  от 0,001 до 0,01 моль/кг в смеси <sup>раствор</sup> 82% диоксана и 18% воды, имеющей диэлектрическую постоянную 9,53. Полученные данные авторы попытались использовать для расчета коэффициентов активности  $\text{HCl}$ . Результаты этой работы, о которых ниже будет сказано подробнее, показали, что в настоящее время не имеется удовлетворительных путей расчета ионных коэффициентов активности из потенциометрических данных для ассоциированных электролитов.

В предыдущей работе [2] было показано, что можно подобрать такие мешанные растворители, в которых щелочногалоидные соли обладают значительной растворимостью при весьма низкой диэлектрической проницаемости среды. Свойства таких растворов можно изучать потенциометрическим методом, применение которого невозможно в случае систем с замещенными аммониевыми солями.

В настоящей работе была изучена э.д.с. цепи без переноса



содержавшей растворы йодистого натрия в смеси 9,6 вес.%  $\text{C}_2\text{H}_5\text{OH}$  и 0,4 вес.%  $\text{CCl}_4$ . Электропроводность этих растворов, а также диэлектрическая проницаемость, вязкость и плотность растворителя были изучены ранее [2]; диэлектрическая проницаемость равна 3,4, вязкость — 0,89 сантимуа, плотность — 1,4419 г/см<sup>3</sup>.

Измерения производились при помощи потенциометра, перед входом которого включался ламповый усилитель типа ЛУ-2, обладавший чувствительностью  $10^{-11}$  А. Точность определения э. д. с. была  $\pm 2$  мВ. Йодо-серебряный электрод готовился термическим способом [3]. Стандартный потенциал его в водном растворе  $\text{HJ}$  при 25° оказался равным — 0,152 В (по литературным данным он равен — 0,151 В [4]). Амальгама содержала 0,15% натрия. Приготовление ее, а также выполнение опытов производилось по методике, описанной Б. П. Никольским, М. С. Захарьевским, В. И. Иовшицем и М. Шулцом [5]. Измерительная ячейка находилась в воздушном термостате при температуре 25,0°. Кислород из растворов вытеснялся пропусканием сухого азота, предварительно насыщенного парами растворителя.

Измеренные значения э.д.с. приведены в табл. 1.

Электродвижущая сила  $E$  изучаемого элемента равна

$$E = E^0 - 2 \frac{2,3RT}{F} \lg \alpha f_{\pm}, \quad (1)$$

Таблица 1

Электродвижущая сила элемента  $\text{Na (Hg)} \mid \text{NaJ}_{\text{раствор}} \mid \text{AgJ} - \text{Ag}$ ,  
содержащего растворы  $\text{NaJ}$  в смеси 9,6 вес.%  $\text{C}_2\text{H}_5\text{OH}$  и 90,4 вес.%  
 $\text{CCl}_4$  при  $25^\circ \text{C}$

$C_{\text{NaJ}} \cdot 10^3$ , моль/л	Э. д. с., В	$C_{\text{NaJ}} \cdot 10^3$ , моль/л	Э. д. с., В	$C_{\text{NaJ}} \cdot 10^3$ , моль/л	Э. д. с., В
84,8	1,490	24,3	1,524	6,46	1,557
60,4	1,502	20,4	1,530	4,89	1,564
44,0	1,508	12,1	1,537	2,69	1,568
29,0	1,520			1,92	1,582

где  $E^0$  — разность стандартных потенциалов электродов,  $\alpha$  — степень диссоциации,  $f_{\pm}$  — средний ионный коэффициент активности.

Для расчета значений  $f_{\pm}$  необходимо определить величины  $\alpha$  и  $E^0$ .

Способы оценки  $E^0$  для полностью диссоциированных электролитов в водных растворах хорошо известны [6, 7]. Все они основаны на допущении применимости известных вариантов теории Дебая-Хюккеля для вычисления коэффициентов активности. Использование этих методов для растворов с невысокой диэлектрической проницаемостью встречает большие трудности, связанные с неполной диссоциацией электролита и с неприменимостью приближенных уравнений теории Дебая-Хюккеля.

Харнед с сотрудниками [7] изучили э.д.с. элемента  $(\text{Pt})\text{H}_2 \mid \text{HCl} \mid \text{AgCl} - \text{Ag}$  при различных концентрациях  $\text{HCl}$  в водно-диоксановых смесях содержавших 20, 45 и 75% диоксана (диэлектрические проницаемости соответственно были равны 60,79; 38,48; и 17,09). Разность стандартных потенциалов  $E_m^0$  авторы определяли, рассчитывая коэффициент активности по уравнению Гронвела, Ла Мера и Сэндведа и подбирая значения «среднего ионного диаметра» таким образом, чтобы получить постоянное значение  $E_m^0$  по уравнению

$$E_m^0 = E + 2 \frac{RT}{F} \ln m + 2 \frac{RT}{F} \ln f_{\pm}.$$

Для растворов  $\text{HCl}$  в смеси, содержащей 82% диоксана\*, таким путем определить величину  $E^0$  не удалось, так как входящие в уравнение Гронвела, Ла Мера и Сэндведа ряды в этом случае расходятся [1].

Последнее обстоятельство показывает, что даже наиболее совершенное из приближенных решений уравнения Дебая-Хюккеля в данном случае не применимо. Тем более представляется неоправданным предпринятые авторами расчет коэффициентов активности по уравнению второго приближения теории Дебая-Хюккеля, в которое авторы к тому же подставляли «средний ионный диаметр», вычисленный из значения константы диссоциации по известной формуле Бьеррума. Найденная таким образом Харнедом, Уокером и Кальмоном величина  $E^0$  едва ли может быть признана правильной.

Рассмотрим другие возможные пути определения разности стандартных потенциалов элементов, содержащих растворы с малой диэлектрической проницаемостью.

Термодинамическая константа диссоциации ионных пар равна

$$K = \frac{a^2 c_{\pm}^2}{1 - \alpha}. \quad (2)$$

\* Величина  $E^0$  зависит от способа выражения концентрации. Значения  $E^0$ , соответствующие концентрации, выраженной в моль/л, и  $E_m^0$ , отвечающие концентрации в моль/1000 г растворителя, связаны соотношением  $E_m^0 = E^0 - 0,1183 \lg d_0$ , где  $d_0$  — плотность растворителя.

Заменим в уравнении (1) произведение  $\alpha f_{\pm}$  его выражением из уравнения (2)

$$E = E^0 - \underbrace{\frac{2,3RT}{F} \lg K}_{\text{const}} - \frac{2,3RT}{F} \lg c (1 - \alpha). \quad (3)$$

В случае, когда  $\alpha \ll 1$  уравнение (3) упрощается

$$E = E^0 - \underbrace{\frac{2,3RT}{F} \lg K}_{\text{const}} - \frac{2,3RT}{F} \lg c. \quad (4)$$

Построив график зависимости  $E$  от  $\lg c$ , можно найти отрезок на оси ординат, равный  $E^0 = \frac{2,3RT}{F} \lg K$ , и, зная  $K$ , определить  $E^0$ . Значение  $K$  может быть найдено из данных по электропроводности очень разбавленных растворов [2].

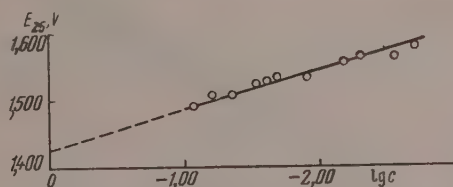


Рис. 1. Зависимость  $E$  от  $\lg c$  для растворов NaJ в смеси 9,6%  $C_2H_5OH$  и 90,4%  $CCl_4$

На рис. 1 изображена зависимость  $E$  от  $\lg c$  для изученных растворов NaJ. Точки лежат на прямой, наклон которой очень близок к теоретическому (0,0598 вместо 0,0591). Отметим, что сравнение опытного и теоретического наклона в подобных случаях может служить удобным методом контроля достоверности экспериментальных данных. Отрезок на оси ординат равен 1,424, константа диссоциации  $K = 2,3 \cdot 10^{-9}$  [2], и, следовательно,  $E^0 = 0,914$  В.

При помощи значений  $\alpha$  [2] и найденной величины  $E^0$  можно рассчитать средние ионные коэффициенты активности по уравнению (1). Результаты такого расчета представлены в табл. 2.

Таблица 2

Степень диссоциации  $\alpha$  и средние ионные коэффициенты активности  $f_{\pm}$  NaJ в смеси 9,6%  $C_2H_5OH$  и 90,6%  $CCl_4$  при 25° С

$c \cdot 10^3$ , моль/л	$\alpha = \frac{\lambda}{\lambda_0}$ [2]	$f_{\pm}$	$c \cdot 10^3$ , моль/л	$\alpha = \frac{\lambda}{\lambda_0}$ [2]	$f_{\pm}$
29,0	$1,75 \cdot 10^{-3}$	0,143	6,44	$1,03 \cdot 10^{-3}$	0,547
24,3	$1,50 \cdot 10^{-3}$	0,191	4,89	$1,10 \cdot 10^{-3}$	0,592
20,4	$1,31 \cdot 10^{-3}$	0,232	2,69	$1,24 \cdot 10^{-3}$	(0,926)
12,1	$1,015 \cdot 10^{-3}$	0,442	1,92	$1,32 \cdot 10^{-3}$	0,89

Аналогичным путем можно подойти к вычислению значений  $E^0$  и  $f_{\pm}$  в упоминавшихся выше данных Харнеда, Уокера и Кальмона [1]. Отличие заключается лишь в том, что ими изучены растворы в растворителе, имеющем сравнительно высокую диэлектрическую проницаемость.

Условие  $\alpha \ll 1$  в этом случае не выполняется, и для экстраполяции следует пользоваться уравнением (3). Соответствующий график представлен

на рис. 2. Необходимые для экстраполяции значения  $\alpha$  определялись как отношение электропроводностей  $\alpha = \lambda/\lambda_0$ . Данные по электропроводности были взяты из работы Оуэна и Уотерса [8].

Такой способ определения степени диссоциации пригоден только в первом приближении, так как в данном случае влияние степени диссоциации на электропроводность сравнимо с изменением  $\lambda$  за счет уменьшения подвижностей ионов.

Определив таким образом  $E^0$  и коэффициенты активности по уравнению (1), можно приступить к выполнению второго приближения, вычисляя  $\alpha$  по уравнению (2) и проводя весь расчет сначала. Прямые 2 и 3 на рис. 2 отвечают второму и третьему приближениям. Наклон прямой 3 близок к теоретическому (0,060 вместо 0,0591).

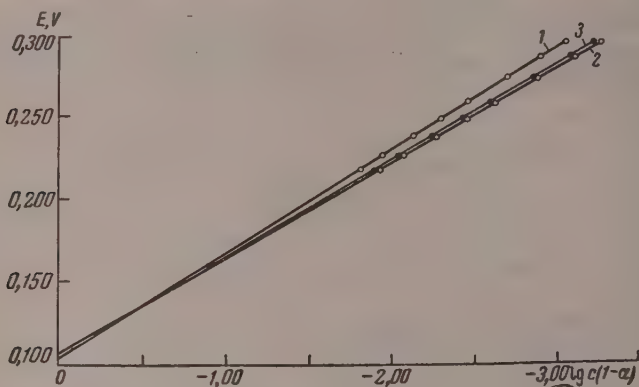


Рис. 2. Зависимость  $E$  от  $\lg c (1 - \alpha)$  для растворов HCl в смеси 18% воды и 82% диоксана [1]

Величина отрезка на оси ординат равна 0,156 V (2 и 3 приближение) и  $E^0 = -0,062$  V. Значение константы диссоциации HCl в этом растворителе взято из работы Оуэна и Уотерса [8]. Хариедом, Уокером и Кальмоном получено значение  $E_m^0 = -0,0413$  V.

Таким путем можно не только получить средние ионные коэффициенты активности, но и уточнить значения степени диссоциации электролита. Результаты расчета приведены в табл. 3.

Таблица 3

Степень диссоциации  $\alpha$  и средние ионные коэффициенты активности  $f_{\pm}$  HCl в смеси 18% воды и 82% диоксана

$c \cdot 10^3$ , моль/л	$\alpha$	$f_{\pm}$	$c \cdot 10^3$ , моль/л	$\alpha$	$f_{\pm}$
20,7	0,601	0,379	5,17	0,465	0,263
15,5	0,578	0,352	3,10	0,438	0,239
10,34	0,535	0,325	2,07	0,385	0,232
7,24	0,498	0,281	1,55	0,377	0,207

Теоретический анализ концентрационной зависимости коэффициентов активности будет приведен позднее.



## Выводы

1. Измерены при 25° э.д.с. элемента  $\text{Na(Hg)} | \text{NaI} | \text{AgI} - \text{Ag}$ , содержащего растворы NaI в смеси 9,6 вес. %  $\text{C}_2\text{H}_5\text{OH}$  и 90,4 вес. %  $\text{CCl}_4$ .
2. Предложен метод определения разности стандартных потенциалов электродов, пригодный в случае неполностью диссоциированных электролитов. Для сравнительно сильно диссоциированных электролитов наряду с вычислением  $E^0$  и ионных коэффициентов активности представляется возможность уточнения значений степени диссоциации.
3. Рассчитаны средние ионные коэффициенты активности NaI в изученных растворах и HCl в водно-диоксановой смеси, содержащей 18% [1].

Поступила  
9.I. 1958

## ЛИТЕРАТУРА

- H. S. Harned, F. Walker, C. Calmon, J. Amer. Chem. Soc., **61**, 44, 1939.  
 А. М. Сухотин, З. Н. Тимофеева, Ж. физ. химии, **33**, 1959.  
 J. Janz, H. Taniguchi, Chem. Rev., **53**, 397, 1953.  
 В. Латимер, Окислительные состояния элементов и их потенциалы в водных растворах, ИЛ, 1954.  
 Б. П. Пикольский, М. С. Захарьевский, В. И. Иовшиц, М. М. Шульц, Сборник практических работ по физической химии, Изд-во ЛГУ, 1951.  
 С. Глестон, Введение в электрохимию, ИИЛ, 1951.  
 Г. Харнед, Б. Оуэн, Физическая химия растворов электролитов, ИИЛ, 1952.  
 В. В. Оуэн, G. W. Waters, J. Amer. Chem. Soc., **60**, 2371, 1938.

# ON IONIC ASSOCIATION IN SOLUTIONS. III. POTENTIOMETRIC DETERMINATION OF THE ACTIVITY COEFFICIENTS IN SOLUTIONS WITH LOW DIELECTRIC CONSTANTS

*A. M. Sukhotin, Z. N. Timofeeva (Leningrad)*

## Summary

The emf of the cell  $\text{Na(Hg)} | \text{NaI} | \text{AgI} - \text{Ag}$  containing NaI dissolved in a mixture of 9.6% by weight [1]  $\text{C}_2\text{H}_5\text{OH}$  and 90.4% by weight  $\text{CCl}_4$ , (D. C. 3.4) has been measured at 25°.

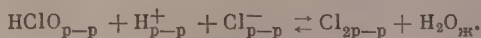
A method has been proposed for determining the standard potential differences of electrodes, applicable to the case of partially dissociated electrolytes. For relatively strongly dissociated electrolytes more accurate values may be obtained for the degree of association, besides calculation of  $E^0$  and the ionic activity coefficients.

The mean ionic activity coefficients of NaI in the above solutions and of HCl in water-dioxane mixtures containing 18%  $\text{H}_2\text{O}$  [1] have been calculated.

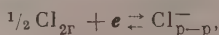
## ПОТЕНЦИАЛЫ ХЛОРНОГО ЭЛЕКТРОДА ПРИ РАЗЛИЧНЫХ ТЕМПЕРАТУРАХ

И. Е. Флис, К. П. Мищенко и Н. В. Троицкая

А. А. Яковкин установил, что в кислом растворе гипохлорита имеет место равновесие \*:



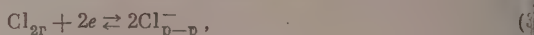
Судя по константам гидролиза хлора [1, 2], можно прийти к выводу, что при  $\text{pH} < 3$  это равновесие сильно сдвинуто вправо. Было показано [2], что потенциал платинового электрода, погруженного в такой раствор, определяется равновесием:



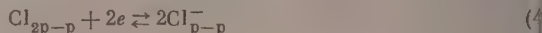
т. е. электрод в данном случае ведет себя подобно хлорному.

Исследование равновесия (2) при различных температурах дает возможность получить для него основные термодинамические величины: изменения изобарного потенциала, энтальпии и энтропии системы ( $\Delta Z$ ,  $\Delta H$  и  $\Delta S$ ). В свою очередь комбинирование равновесия (2) с другими, для которых известны термодинамические функции, позволяет дать термодинамическую характеристику многим другим процессам в гипохлоритных системах. Наконец, знание окислительной способности хлора при разных температурах важно для изучения технологии хлорирования и беличения целлюлозы тканей [4], ибо оно даст материал для их количественной характеристики.

В литературе описан ряд исследований, посвященных изучению свойств растворов хлора и, в частности, определению потенциалов хлорного электрода. Так Акунов [5] измерил э. д. с. цепи:  $\text{Pt} | \text{H}_2 (1 \text{ атм}), 3N \text{ HCl}$  в концентрированном  $\text{KCl}$ ,  $\text{Cl}_2 (1 \text{ атм}) | \text{Pt}^+_{\text{глад}}$  при 0 и  $36^\circ$  и получил значения нормальных окислительных потенциалов хлора, равные соответственно  $\varphi^0_0 = 1,3712 \text{ V}$  и  $\varphi^0_{36} = 1,3422 \text{ V}$ . Нормальный потенциал для равновесия



полученный в работе [6], равен  $1,35 \text{ V}$ , а для случая равновесия



он равен  $1,39 \text{ V}$ . Льюис и Руперт [7] измерили э. д. с. цепи:  $\text{Hg} | \text{HgCl}, \text{HCl } 0,1 \text{ M}, \text{Cl}_{2\text{г}} | \text{Pt}$  и нашли, что нормальный потенциал хлора при  $25^\circ$  равен  $1,3594 \text{ V}$ . Рендалл и Юнг [8] провели определение э. д. с. цепи  $\text{Cl}^-, \text{Cl}_2 | \text{AgCl}, \text{Ag}$  и вычислили нормальный потенциал системы  $2\text{Cl}^-_{\text{p-p}} - \text{Cl}_{2\text{г}}$ , который по их данным равен  $1,3595 \text{ V}$ . Значение нормального потенциала хлора, равное  $1,36 \text{ V}$ , получено и в результате теоретических расчетов [9]. Исходя из величины изобарного потенциала, принято Бюро стандартов [10], В. М. Латимер [11] дает  $\varphi^0_{\text{Cl}_2/2\text{Cl}^-} = 1,3595 \text{ V}$ .

Таким образом все вышеупомянутые авторы приводят близкие по величине значения нормального потенциала хлора. Однако при таких расчетах исследователи обычно пользовались значениями концентраций, а не активностей компонентов раствора хлора, и измерения э. д. с. проводились ими при одной или двух различных температурах.

Приступая к изучению потенциала равновесия (2) при различных температурах важно выбрать для этого систему, состояние которой близко к обратимому. Така

\* Большая скорость гидролиза хлора подтверждена кинетическими данными Е. А. Шиловой и С. Н. Солодушенкова [3].

ма, как уже указывалось, образуется при погружении платинового электрода в раствор, содержащий хлор. В пользу этого говорят результаты ряда исследований. Так, например, Мюллер [12], работавший с цинью,  $Pt|H_{2g}, HCl_{p-p}|Pt|Cl_2$ , нашел, э. д. с. ее была постоянной при данных условиях и воспроизводимой. Риус и Ар- [13] показали, что поведение платинового электрода в водном растворе хлора не всего отражает равновесие (3). Обратимость э. д. с. на электроде типа платино-идевого в кислых растворах хлора подтверждают в своих монографиях как Льюис [14], так и Латимер [11].

Б. П. Никольский и И. Е. Флис [2] показали, что в кислых растворах гипохлорид-платиновый электрод начинает вести себя, как хлорный. Его потенциал в этих рас-вах устанавливается быстро, он воспроизводим и хорошо подчиняется основному гиндинамическому уравнению, вытекающему из равновесия (3). Те же выводы следу-из работ Хисея и Куна [15], а также Гойе [16]. Позднее К. П. Мищенко и И. Е. Флис нашли, что перенапряжение на платиновом электроде в кислых растворах хлорита незначительно; это позволяет считать такого рода электрод фактически тымым по отношению к хлору.

Основываясь на вышеизложенных данных, мы провели изучение енциала платинового электрода в кислых растворах гипохлорита, ержащих в растворенном состоянии значительные количества хлора, я в виду, что полученные при этом величины практически обусловле-равновесием (2) на электроде.

Потенциометрические опыты выполнены нами при 10, 25, 35 и 50° С, е. в том интервале температур, в котором изучаемые системы наиболее то применяются на практике.

### Экспериментальная часть

Все измерения значений потенциала и рН исследуемых растворов проводились ипенсационным методом при помощи потенциометра Рапса, в схему которого была ичена электрометрическая лампа типа 1ЭО1. Вторым полуэлементом служил на-пленный каломельный электрод. Нужный температурный режим поддерживался ермостатах, куда помещались: бюретка, рабочий сосуд с припаянной крышкой крпленными в ней стеклянным и платиновым электродами и каломельный электрод. одный раствор гипохлорита натрия приготавлился насыщением раствора едкого гра хлором, полученным взаимодействием бихромата калия с концентрированной яной кислотой. Перед началом опыта раствор гипохлорита анализировался на со-ржание в нем ионов:  $ClO^-$ ,  $Cl^-$ ,  $ClO_2^-$ ,  $CO_3^{2-}$ ,  $HCO_3^-$ ,  $OH^-$  [18]. Остальные необхо-мые для анализов растворы были приготовлены из фиксаналов; кроме того, концен-ция их проверялась дополнительно. Дистиллированная вода, применяемая для при-товления растворов, перегонялась дважды с добавкой перманганата калия.

Была выполнена серия потенциометрических титрований со стеклянным и плати-новым электродами 0,02—0,04 N раствора  $NaClO$  0,1 N серной кислотой, в процессе торых измерялись значения рН и окислительного потенциала раствора. Особенно ательно измерения проведены в области  $pH < 3,5$ . Стеклянный электрод калибровал-до и после каждого опыта по буферным растворам. При этом рН буферных раство-ов определялся заранее (с водородным электродом на той же установке).

Расчет нормального потенциала хлора,  $\varphi_{Cl_2/2Cl}^0$  производился по известной фор-уле:

$$\varphi_{Cl_2/2Cl} = \varphi_{Cl_2/2Cl}^0 + 2,303 \frac{RT}{2F} \lg \frac{a_{Cl_2}}{a_{Cl}^2}. \quad (5)$$

В табл. 1 приводятся значения  $\varphi_{Cl_2/2Cl}^0$  для раствора с такой концент-ацией хлора, которая соответствует равновесному давлению хлора, авному 1 атм. Поэтому его можно выразить формулой:

$$\varphi_{Cl_2/2Cl} = \varphi_{Cl_2/2Cl}^0 + 2,303 \frac{RT}{2F} \lg \frac{P_{Cl_2}}{a_{Cl}^2},$$

де  $P_{Cl_2}$  — равновесное давление хлора, отвечающее данной концентра-ии его в растворе.

Так как растворимость газа пропорциональна его давлению\*, имеем

$$\frac{P_{Cl_2}}{a_{Cl_2}} = \frac{1}{B} \text{ и } P_{Cl_2} = \frac{a_{Cl_2}}{B},$$

\* Для наших систем такое допущение не вносит существенных погрешностей в асчет потенциала [19, 20].

где  $B$  — растворимость хлора при давлении газа в 1 атм, выраженная в моль/л; следовательно:

$$\varphi_{\text{Cl}_2/2\text{Cl}^-}^0 = \varphi_{\text{Cl}_2/2\text{Cl}^-} + 2,303 \frac{RT}{2F} \left( \lg B - \lg \frac{a_{\text{Cl}_2}}{a_{\text{Cl}^-}^2} \right). \quad (6)$$

Значения  $\varphi_{\text{Cl}_2/2\text{Cl}^-}$  получались нами непосредственно путем измерения потенциала исследуемого раствора. Величины же растворимости хлора брались из таблиц [21].

Концентрация хлора и хлорида в растворе определялась расчетным путем [2] следующим образом. Применяя закон действия масс к равновесию гидролиза хлора, получим

$$C_{\text{Cl}_2} - K'_r \cdot a_{\text{H}^+} f_{a_{\text{Cl}^-}} f_{a_{\text{HClO}}} C_{\text{HClO}}, \quad (7)$$

где  $K'_r = 1/K_r$ , а  $K_r$  — константа гидролиза хлора. Обозначим начальную концентрацию хлорноватистой кислоты и хлоридов соответственно:

$$C_{\text{HClO}}^0 = C_{\text{HClO}} + C_{\text{Cl}_2} \quad (8)$$

и

$$C_{\text{Cl}^-}^0 = C_{\text{Cl}^-} + C_{\text{Cl}_2}. \quad (9)$$

Из формул (7), (8), (9) следует, что

$$a_{\text{Cl}_2} = K'_r a_{\text{H}^+} f_{a_{\text{Cl}^-}} C_{\text{Cl}^-} (C_{\text{HClO}}^0 - C_{\text{Cl}^-}^0 + C_{\text{Cl}^-}) f_{a_{\text{HClO}}}. \quad (10)$$

Решив совместно уравнения (9) и (10), получим следующее выражение для  $C_{\text{Cl}^-}$ :

$$C_{\text{Cl}^-} = \frac{-[K'_r a_{\text{H}^+} f_{a_{\text{Cl}^-}} (C_{\text{HClO}}^0 - C_{\text{Cl}^-}^0 + 1) \pm \sqrt{[K'_r a_{\text{H}^+} f_{a_{\text{Cl}^-}} (C_{\text{HClO}}^0 - C_{\text{Cl}^-}^0 + 1)]^2 + 4K'_r a_{\text{H}^+} C_{\text{Cl}^-}^0 f_{a_{\text{Cl}^-}}}}{2K'_r a_{\text{H}^+} f_{a_{\text{Cl}^-}}}.$$

Концентрация хлора определялась по формуле (9). Для расчета  $a_{\text{Cl}^-}$  вычислялась ионная сила раствора  $\mu$  (содержащего ионы  $\text{SO}_4^{2-}$ ,  $\text{Na}^+$ ,  $\text{Cl}^-$ ,  $\text{H}^+$ ), а по уравнению Дебая и Гюккеля [22] находился коэффициент активности  $f_{a_{\text{Cl}^-}}$ . Коэффициент активности хлора принимался равным единице, так как концентрация хлора в растворе невелика.

Результаты наших измерений и расчетов представлены в табл. 1.

Нами получены следующие средние значения нормальных окислительных потенциалов при указанных выше температурах (табл. 2).

Обработкой экспериментального материала с применением метода наименьших квадратов были получены следующие зависимости  $\varphi_{\text{Cl}_2/2\text{Cl}^-}^0$  и  $\Delta Z^0$  от температуры:

$$\begin{aligned} \varphi_{\text{Cl}_2/2\text{Cl}^-}^0 &= -10,124 + 0,111 T - 0,0351 T^2 + 0,0365 T^3 \text{ В}; \\ \Delta Z^0 &= 233,5 + 0,028 T^2 - 0,058 T^3 - 2,6 T \text{ ккал/э-ион}. \end{aligned}$$

Основные термодинамические величины для равновесия (2), вычисленные известным образом из экспериментальных величин  $\varphi_{\text{Cl}_2/2\text{Cl}^-}^0$  при различных температурах, приведены в табл. 2.

Затем была сделана попытка, комбинируя равновесие (2) с другими равновесиями в растворе гипохлорита (гидролиза хлора и диссоциации



Таблица 1

Сводка данных по определению  $\varphi^0_{\text{Cl}_2/2\text{Cl}^-}$  при 10, 25, 35 и 50° С

pH	$c_{\text{Cl}^-} \cdot 10^4$	$a_{\text{Cl}^-} \cdot 10^3$	$\mu \cdot 10^3$	$f_{\text{Cl}^-}$	$\varphi$ , В (н.к.э.)	$\varphi^0_{\text{Cl}_2/2\text{Cl}^-}$ , В (в.э.)
$T = 283^\circ \text{K}$						
2,53	10	8,2	3,859	0,7977	1,160	1,364
2,27	15	7,7	4,445	0,7845	1,165	1,361
2,22	16	7,6	4,634	0,7805	1,167	1,362
2,94	4	8,8	3,471	0,8071	1,148	1,363
2,77	6	8,6	3,606	0,8037	1,152	1,362
2,59	8	8,4	3,692	0,8017	1,156	1,362
2,51	10	8,2	3,859	0,7977	1,160	1,364
2,40	12	8,0	4,100	0,7921	1,162	1,362
$T = 298^\circ \text{K}$						
2,49	7	8,4	2,681	0,8283	1,168	1,354
2,21	12	7,8	2,189	0,8143	1,177	1,354
2,07	15	7,5	3,642	0,8028	1,182	1,356
1,87	21	6,8	4,566	0,7820	1,186	1,353
1,97	18	7,2	3,954	0,7954	1,183	1,353
3,04	2	8,9	2,312	0,8395	1,150	1,354
2,36	11	8,0	2,786	0,8252	1,172	1,352
2,05	16	7,4	3,485	0,8067	1,179	1,352
$T = 308^\circ \text{K}$						
2,40	7	8,4	2,651	0,8290	1,160	1,333
2,06	13	7,7	3,249	0,8127	1,170	1,333
2,69	4	8,7	2,430	0,8358	1,152	1,333
2,41	6	8,5	2,652	0,8290	1,158	1,332
2,27	8	8,2	2,851	0,8233	1,163	1,334
2,05	13	7,7	3,259	0,8125	1,170	1,333
1,89	17	7,3	3,850	0,7979	1,173	1,331
2,67	24	6,5	5,036	0,7725	1,181	1,331
$T = 323^\circ \text{K}$						
2,81	2	8,9	2,344	0,8385	1,128	1,301
2,68	3	8,8	2,444	0,8354	1,136	1,303
2,41	5	8,6	2,657	0,8299	1,143	1,302
2,81	2	8,9	2,344	0,8385	1,135	1,308
2,61	3	8,8	2,455	0,8351	1,140	1,307
2,49	4	8,7	2,559	0,8320	1,145	1,307
2,33	6	8,4	2,758	0,8260	1,149	1,305
2,05	10	8,0	3,274	0,8121	1,158	1,306

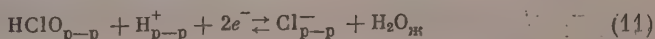
Таблица 2

Средние значения нормальных потенциалов равновесия (2)

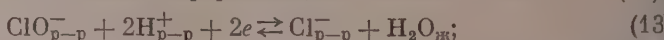
$T$ , °К	283	298	308	323
$\varphi^0_{\text{Cl}_2/2\text{Cl}^-}$ , В	$1,363 \pm 0,0033$	$1,354 \pm 0,003$	$1,333 \pm 0,003$	$1,304 \pm 0,004$
$Z^0$ , ккал/г-ион	-31,4	-31,2	-30,7	-30,1
$\varphi^0/dT$	-0,000441	-0,001446	-0,0018403	-0,002027
$H$ , ккал/г-ион	-34,3	-41,2	-43,8	-45,2
$S$ , э.ед.	-10,3	-33,4	-42,5	-46,7

лорноватистой кислоты), вычислить значения  $\varphi^0$  и  $\Delta Z^0$  некоторых процессов, имеющих место в этом растворе, а также установить температурную зависимость их окислительных потенциалов.

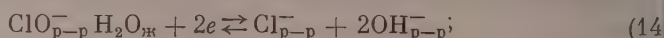
Таким образом, были охарактеризованы следующие электрохимические равновесия (при 10, 25, 35, 50°)



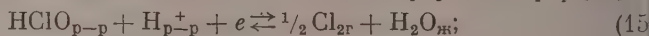
комбинированием равновесий (3) и (12):



комбинированием равновесий (11) и  $\text{H}_{\text{p-p}}^+ + \text{ClO}_{\text{p-p}}^- \rightleftharpoons \text{HClO}_{\text{p-p}}$  [23]



комбинированием равновесий (13) и  $2\text{H}_2\text{O}_{\text{ж}} \rightleftharpoons 2\text{H}_{\text{p-p}}^+ + 2\text{OH}_{\text{p-p}}^-$  [22]



комбинированием равновесий (2), (12) и (1).

Полученные значения  $\varphi^0$ ,  $d\varphi^0/dT$  и  $\Delta Z^0$  для вышеуказанных процессов даны в табл. 3.

Таблица 3

Нормальные потенциалы и изменения изобарного потенциала системы для некоторых равновесий в растворах гипохлоритов при различных температурах

Равновесия в водном растворе											
283° К			298° К			308° К			323° К		
$\varphi^0, \text{В}$	$\Delta Z^0, \text{ккал/моль}$	$\frac{d\varphi^0}{dT}$	$\varphi^0, \text{В}$	$\Delta Z^0, \text{ккал/моль}$	$\frac{d\varphi^0}{dT}$	$\varphi^0, \text{В}$	$\Delta Z^0, \text{ккал/моль}$	$\frac{d\varphi^0}{dT}$	$\varphi^0, \text{В}$	$\Delta Z^0, \text{ккал/моль}$	$\frac{d\varphi^0}{dT}$
1,487	-68,6	-0,00004	1,482	-68,4	-0,00109	1,465	-67,6	-0,00148	1,443	-66,6	-0,0016
1,699	-78,4	-0,00005	1,698	-78,4	-0,00080	1,684	-77,7	-0,00109	1,667	-76,9	-0,0012
0,855	-39,4	-0,00004	0,841	-39,8	-0,00175	0,818	-37,7	-0,00227	0,785	-36,2	-0,0020
1,612	-37,2	-0,00005	1,611	-37,2	-0,00080	1,597	-36,8	-0,00109	1,581	-36,5	-0,0012

Математическая обработка цифрового материала дала следующие зависимости  $\varphi^0$  от температуры для приведенных выше равновесий:

для (11):  $\varphi^0 = -11,882 + 0,129 T - 0,03409 T^2 + 0,06428 T^3$ ;

для (13):  $\varphi^0 = -7,278 + 0,0864 T - 0,03274 T^2 + 0,06285 T^3$ ;

для (14):  $\varphi^0 = -24,748 + 0,249 T - 0,03805 T^2 + 0,06857 T^3$ ;

для (15):  $\varphi^0 = -7,364 + 0,0864 T - 0,03274 T^2 + 0,06286 T^3$ .

### Выводы

1. Проведены потенциометрические измерения потенциалов стеклянного и платинового электродов в кислых растворах гипохлоритов.

2. На основании полученных экспериментальных данных вычислены нормальные окислительные потенциалы системы  $\text{Cl}_{2\text{г}} - 2\text{Cl}_{\text{p-p}}^-$  при 10, 25, 35 и 50° С, которые для 25° хорошо согласуются с литературными данными [5, 11, 17]. Это дает основание считать вполне достоверными величины потенциалов, впервые полученные с тем же электродом в тех же растворах при других температурах.

3. Получены уравнения зависимости  $\varphi_{\text{Cl}_2/2\text{Cl}^-}^0$  от температуры  $\Delta Z_{\text{Cl}_2/2\text{Cl}^-}^0$  от температуры и рассчитаны величины  $\Delta Z^0$ ,  $d\varphi^0/dT$ ,  $\Delta H$ ,  $\Delta G$  равновесия (2) для тех же температур.

4. Вычислены при 10, 25, 35 и 50° значения  $\varphi^0$  и  $\Delta Z^0$  равновесий (11), (13), (14) и (15). Зависимость нормальных потенциалов этих равновесий от температуры выражена соответствующими уравнениями.

Ленинградский технологический институт

Поступила  
10.1.1958

\*  $\Delta Z^0$  этого процесса рассчитаны, исходя из данных растворимости хлора в воде при 10, 25, 35 и 50° [21].

## ЛИТЕРАТУРА

- А. А. Яковкин, ЖРФХО, **32**, 673, 1900.
- Б. П. Никольский, И. Е. Флис, Ж. общ. химии, **22**, 1298, 1952.
- Отбелка целлюлозы, ТАИПИ, Монография № 10, Гослесбумиздат, М.—Л., 1957, стр. 22—37.
- Е. А. Шилов, С. Н. Солодушенков, Ж. физ. химии, **21**, 1159, 1947.
- Akunoff, Z. Electrochem., **7**, 355, 1900.
- Abhandl. Dtsch. Bunsenges. angew. phys. Chem., Halle a. S., No. 5, 200, 1911.
- G. Lewis, F. Rupert, J. Amer. Chem. Soc., **33**, 299, 1911.
- M. Randall, L. Young, J. Amer. Chem. Soc., **50**, 989, 1928.
- Ituro Uihara, J. Phys. Chem., **41**, 1117, 1937.
- Nat. Bur. Standards, Circular No. 500, N. Y., 1952.
- В. М. Латимер, Окислительные состояния элементов и их потенциалы в водных растворах, ИЛ, 1954, стр. 56.
- E. Müller, Z. phys. Chem., **40**, 158, 1902.
- A. Rius, V. Arnal, An. Real. soc. esp. fis. quim. **31**, 325, 1933.
- Г. Льюис, М. Рендалл, Химическая термодинамика, ОНТИ, Химтеорет, Л. 1936, стр. 353.
- W. Hisey, а С. Коон, Paper Trade J., **36**, 6, 1936.
- I. Нфье, Kgl. Norske vid. selskabs Torn., **16**, 8, 1943.
- К. П. Мищенко, И. Е. Флис, Ж. прикл. химии, **30**, 665, 1957.
- И. Е. Флис, М. К. Быняева, Тр. Ленингр. технол. ин-та, вып. 3, 179, 1955.
- R. Whitney, J. Vivian, Industr. and Eng. Chem., ind., Edit., **33**, 741, 1941.
- D. Davis, Industr. and Eng. Chem., ind. Edit., **33**, 1202, 1941.
- Краткий справочник химика, Госхимиздат, Москва, 1955.
- С. Глестон, Введение в электрохимию, ИЛ, 1951.
- Н. В. Пахомова, Диссертация ЛТИ им. Ленсовета, Ленинград, 1956.

## THE CHLORINE ELECTRODE POTENTIAL AT VARIOUS TEMPERATURES

I. E. Flis, K. P. Mitschenko and N. V. Troitskaya (Leningrad)

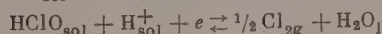
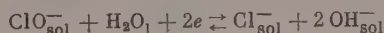
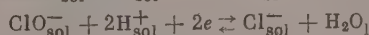
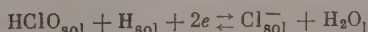
## Summary

Potentiometric measurements have been made of the glass and platinum electrode in acid hypochlorite solutions.

Based on the experimental data obtained the normal oxidizing potentials of the system  $\text{Cl}_{2g} - 2\text{Cl}_{sol}^-$  have been calculated for 10, 25, 35 and 50°. The calculations for 25° are in good agreement with reported data. Equations have been obtained for the temperature dependencies of  $\varphi_{\text{Cl}_2/2\text{Cl}^-}$  and  $\Delta Z^\circ_{(1/2\text{Cl}_2)}$  and the values of  $\Delta Z^\circ$ ,  $\frac{d\varphi^\circ}{dT}$ ,  $\Delta H\Delta S$

for the equilibrium  $1/2\text{Cl}_{2g} + e \rightleftharpoons \text{Cl}_{sol}^-$  for the same temperatures have been calculated.

The values of  $\varphi^\circ$  and  $\Delta Z^\circ$  have been calculated for the equilibria:



The temperature dependence of the normal potentials of these equilibria has been expressed by corresponding equations.

## СОВМЕСТНЫЙ РАЗРЯД СВИНЦА И ОЛОВА ПРИ ЭЛЕКТРОЛИТИЧЕСКОМ РАФИНИРОВАНИИ СВИНЦА

В. И. Черненко и М. А. Лошкарев

Вопросы совместного разряда ионов при электролитическом рафинировании металлов представляют не только большой теоретический, но и практический интерес, поскольку качество катодных отложений в конечном итоге определяется степенью их чистоты.

В качестве объекта исследования нами выбран случай совместного осаждения свинца и олова в условиях, близких к промышленному электролизу вторичного свинца, т. е. при относительно небольших концентрациях  $\text{Sn}^{2+}$  в электролите.

Закономерности совместного разряда ионов, с точки зрения теории замедленного разряда, впервые были рассмотрены в ряде работ О. А. Есина и сотрудников [1—6]. Однако выведенные ими зависимости в основном относятся к тем случаям, когда токи, идущие на разряд отдельных сортов ионов, соизмеримы между собой. Другой, более интересный, с точки зрения рафинирования, случай был рассмотрен на примере электролиза никеля в работах А. А. Ротиняна и В. Л. Хейфеца [7—10].

Согласно авторам [7—10], содержание примеси в катодном металле при выходе по току

$$q = \frac{D_m + D_i}{D}, \quad (1)$$

будет равно:

$$A_i = \frac{D_i}{qD} \cdot 100, \quad (2)$$

если  $A_i$  выражать в атомных процентах, а плотности тока в  $\text{г-ам/сек} \cdot \text{см}^2$ . В последнее уравнение входит суммарная плотность катодного тока  $D$ , а также величина  $D_i$ , которую можно найти, зная закономерности разряда ионов примеси и воспользовавшись тем обстоятельством, что как ионы примеси, так и ионы основного металла разряжаются при одном и том же катодном потенциале. Отсюда, в зависимости от того, какой стадией определяется скорость разряда каждого из обоих сортов ионов, можно представить три различных случая.

1. Величина  $D_i$  определяется скоростью диффузии. Тогда совершенно безразлично, от какой стадии разряда ионов основного металла будет зависеть скорость процесса, поскольку примесь будет осаждаться на предельном токе и

$$A_i = \frac{k_{\Delta} c_i \cdot 100}{qD}, \quad (3)$$

где  $k_{\Delta}$  — константа скорости конвективной диффузии, а  $c_i$  — концентрация примеси в электролите.

2. Скорость обоих процессов определяется стадией замедленного разряда. Тогда,

$$A_i = \frac{c_i (qD - D_i)^{\alpha_i n_i / \alpha_m n_m}}{qD c_m^{\alpha_i n_i / \alpha_m n_m}} B \cdot 100, \quad (4)$$

где  $\alpha_i$  и  $\alpha_m$  — коэффициенты в уравнении замедленного разряда;  $n_i$  и  $n_m$  — валентности разряжающихся ионов примесей и основного металла,  $B$  — константа, учиты-



ция токи обмена ( $D_M^0$  и  $D_i^0$ ) и равновесные потенциалы основного металла и смеси ( $\Phi_M^0$  и  $\Phi_i^0$ ).

Отсюда следует, что при малых концентрациях примеси, когда  $qD \gg D_i$ , зависимость  $A_i$  от  $c_i$  линейна. При больших значениях  $c_i$ , когда вторым членом в числителе пренебречь нельзя, эта зависимость будет отличаться от линейной тем сильнее, больше показатель степени.

3. Скорость разряда основного металла определяется скоростью диффузии, а скорость разряда примеси лимитируется самим процессом разряда; тогда

$$A_i = \frac{100c_i L}{qDc_M^{\alpha_i} n_i / n_M}, \quad L = D_{oi}^{1/\alpha_i} z_i \exp \left[ \frac{F}{RT} (\Phi_i^0 - \Phi_M^0) \right], \quad (5)$$

$A_i = f(c_i)$  линейна и  $(\partial A_i / \partial c_i)_{D; c_M} > 0$ , а  $(\partial A / \partial D)_{c_i; c_M} < 0$  при любых концентрациях ионов примеси и основного металла.

Вопросы, связанные с совместным разрядом свинца и олова из борфторводородных электролитов в случае образования сплавов, изучались Н. Кочегаровым [11], которым было показано, что при соизмеримых концентрациях обоих компонентов скорость осаждения олова определяется в основном стадией замедленного разряда. Участки парциальных гравиметрических кривых, соответствующие процессу диффузии ионов олова, наблюдаются только при низких концентрациях свинцовой соли. При больших концентрациях  $\text{Sn}^{2+}$ . Последнее, по мнению автора, указывает на специфическое влияние ионов свинца на процесс разряда  $\text{Sn}^{2+}$ .

Нами изучался совместный разряд ионов свинца и олова, при малых концентрациях  $\text{Sn}^{2+}$ , из сульфаминового электролита в присутствии поверхностно-активных веществ. В частности, изучались закономерности, связывающие связь между содержанием олова в катодном свинце, с одной стороны, и концентрацией  $\text{Sn}(\text{SO}_3\text{NH}_2)_2$ , плотностью тока и концентрацией  $\text{Sn}^{2+}$  — с другой.

### Экспериментальная часть

Электролиз проводился без перемешивания электролита в стеклянной ванне прямоугольной формы, в которую погружались два свинцовых анода и один катод из ржавеющей стали. Расстояние между электродами 5 см, поверхность катода  $56 \text{ см}^2$ , площадь поверхности анодов несколько меньше. Объем электролита составлял 300 мл, что было достаточно для того, чтобы даже в случае большого содержания олова в катодном осадке, вносимая за счет изменения концентраций  $\text{Sn}^{2+}$ , в электролите была мала. Температура электролита  $25^\circ \text{C}$ . Время электролиза 1,36 часа. Выход по току 99,4 — 99,6%.

Анализ катодного свинца на содержание в нем олова проводился обычным способом с предварительным отделением олова в виде метаоловянной кислоты. Метод меченых атомов в данном случае не применим.

Электролит заданного состава готовился растворением глета в сульфаминовой кислоте, куда для создания нужной концентрации  $\text{Sn}^{2+}$  прибавлялся приготовленный по известной методике раствор металлического олова в растворе сульфаминовоей кислоты.

Поляризационные измерения, проведенные с целью нахождения зависимости, связывающей потенциал электрода с плотностью тока при осаждении свинца в присутствии поверхностно-активных веществ, проводились обычным компенсационным методом.

Результаты опытов представлены на рис. 1—6.

Как видно из рисунков, вид зависимости содержания олова в катодном свинце от концентраций  $\text{Sn}^{2+}$  в электролите сильно зависит от применяющихся при электролизе добавок поверхностно-активных веществ. Так, если добавкой служит 3 г/л резорцина и 1 г/л желатины, то  $A_i = f(c_i)$  в широком интервале концентраций линейна. В то же время при электролизе растворов, содержащих 0,1 г/л  $\beta$ -нафтола и 2,5 г/л сульфитспиртовой барды, линейная зависимость между  $A_i$  и  $c_i$  нарушается уже при концентрации  $\text{Sn}^{2+}$   $(5-7) \cdot 10^{-3} \text{ г-экв/л}$  (рис. 1). Кроме того,

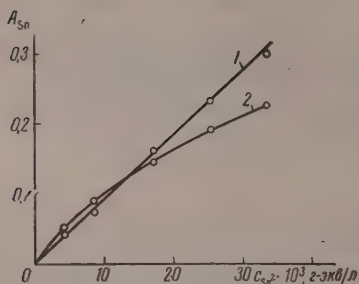


Рис. 1

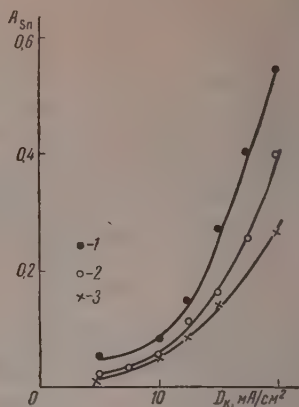


Рис. 2

Рис. 1. Зависимость содержания олова в катодном свинце от концентрации  $\text{Sn}^{2+}$  в электролите,  $D_K = 10 \text{ mA/cm}^2$ . Электролит:  $\text{Pb}^{2+}$  — 1 г-ион/л;  $\text{HSO}_3\text{NH}_2$  — 0,25 г-эке/л; добавки: 1 — 3 г/л резорцина; 1 г/л желатины; 2 — 2,5 г/л сульфитспиртовой барды; 0,1 г/л  $\beta$ -нафтола

Рис. 2. Зависимость содержания олова в катодном свинце от плотности тока. Электролит:  $\text{Pb}^{2+}$  — 1 г-эке/л;  $\text{HSO}_3\text{NH}_2$  — 0,25 г-эке/л с добавкой: 1 — 2,5 г/л сульфитспиртовой барды; 0,1 г/л  $\beta$ -нафтола;  $c_{\text{Sn}^{2+}} = 8,48 \cdot 10^{-3}$  г-эке/л; 2 — 3 г/л резорцина, 1 г/л желатины;  $c_{\text{Sn}^{2+}} = 8,48 \cdot 10^{-3}$  г-эке/л; 3 — 2,5 г/л сульфитспиртовой барды, 0,1 г/л  $\beta$ -нафтола;  $c_{\text{Sn}^{2+}} = 4,24 \cdot 10^{-3}$  г-эке/л

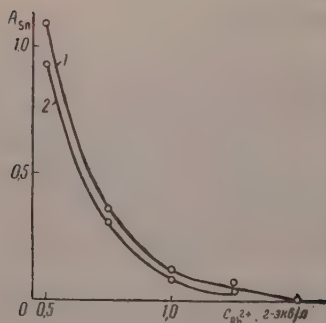


Рис. 3

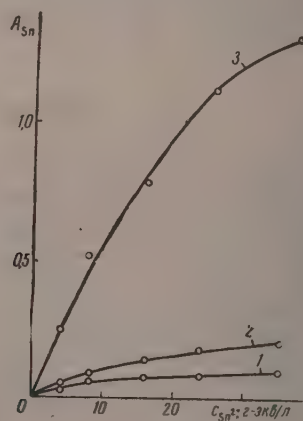


Рис. 4

Рис. 3. Содержание олова в катодном свинце при различных концентрациях  $\text{Pb}^{2+}$ . Электролит:  $\text{HSO}_3\text{NH}_2$  — 0,25 г-эке/л;  $c_{\text{Sn}^{2+}} = 8,48 \cdot 10^{-3}$  г-эке/л. Добавки: 1 — 3 г/л резорцина и 1 г/л желатины;  $D_K = 12,5 \text{ mA/cm}^2$ ; 2 — 2,5 г/л сульфитспиртовой барды и 0,1 г/л  $\beta$ -нафтола;  $D_K = 10 \text{ mA/cm}^2$

Рис. 4. Зависимость содержания олова в катодном осадке от концентрации  $\text{Sn}^{2+}$  в электролите при различных плотностях тока. Электролит:  $\text{Pb}^{2+}$  — 1 г-эке/л;  $\text{HSO}_3\text{NH}_2$  — 0,25 г-эке/л; сульфитспиртовая барда — 2,5 г/л;  $\beta$ -нафтол 0,1 г/л; 1 — 5,0  $\text{mA/cm}^2$ ; 2 — 10,0  $\text{mA/cm}^2$ ; 3 — 20  $\text{mA/cm}^2$

увеличением плотности тока протяженность линейного участка несколько растет с одновременным увеличением угла наклона кривой к оси абсисс (рис. 2). Что касается зависимостей  $A_i = f(D)$  и  $A_i = f(c_m)$ , то следует отметить, что первая из них является возрастающей, а вторая — убывающей, причем в зависимости от применяемых поверхностноактивных веществ каждая из кривых сдвинута относительно себе подобной на большую или меньшую величину (рис. 3—4).

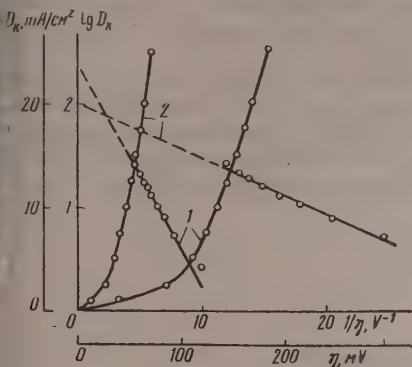


Рис. 5

Рис. 5. Поляризация свинцового электрода. Электролит  $Pb^{2+}$  — 1 г-эке/л;  $HSO_3NH_2$  — 0,25 г-эке/л. Добавки: 1 — 3 г/л резорцина, 1 г/л желатины; 2 — 2,5 г/л сульфитспиртовой барды, 1 г/л β-нафтола

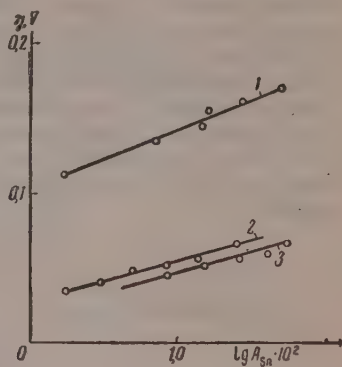


Рис. 6

Рис. 6. Зависимость содержания олова в катодном свинце от поляризации свинцового электрода (полулогарифмические координаты); 1 — в присутствии 3 г/л резорцина и 1 г/л желатины;  $c_{Sn^{2+}} = 8,48 \cdot 10^{-3}$  г-эке/л; 2 — в присутствии 2,5 г/л сульфитспиртовой барды и 0,1 г/л β-нафтола;  $c_{Sn^{2+}} = 8,48 \cdot 10^{-3}$  г-эке/л; 3 — с теми же добавками и  $c_{Sn^{2+}} = 4,24 \cdot 10^{-3}$  г-эке/л

### Обсуждение результатов

Анализ полученных зависимостей показывает, что ни одна из них не укладывается в те три случая, которые были разобраны выше при обсуждении работ А. Л. Ротиняна и Б. А. Хейфеда. Действительно, линейная зависимость между  $A_i$  и  $c_i$  и убывание функций  $A_i = f(c_m)$  (рис. 1—3) должны свидетельствовать о том, что выделение олова лимитируется процессом разряда, а осаждение свинца — диффузией. Однако рост  $A_i = f(D)$  с ростом плотности тока противоречит этому выводу. Если же считать, что и в случае осаждения свинца и в случае осаждения олова лимитирующей стадией является разряд, а отклонение функций  $A_i = f(c_i)$  от линейной при различных значениях  $c_i$  отнести за счет изменения показателя  $\alpha_i/\alpha_m$  [формула (4)] под действием добавок, то придется допустить, что  $\alpha$  изменяется в зависимости от применяющихся поверхностноактивных веществ в 5—10 раз, так как при тех малых токах, которые расходуются на разряд  $Sn^{2+}$ , изменение члена  $qD - D_i$  с концентрацией крайне незначительно. Кроме того, подобное изменение дало бы гораздо более ощутимую разницу в углах наклона функций  $A_i = f(D)$  и  $A_i = f(c_m)$  в зависимости от применяемых добавок.

Наиболее решительным возражением против принятия механизма замедленного разряда для обоих сортов ионов является то, что экспериментальные данные по поляризационным измерениям при выделении свинца, не укладываясь на кривую, описываемую уравнением Тафеля, по крайней мере в исследуемом интервале плотностей тока хорошо ложатся на прямую  $\lg D - 1/\eta$  (рис. 5).

Что касается осаждения олова, то согласно данным М. А. Лошкарёва и сотрудииков [12—13] поляризационная кривая при осаждении олова имеет участки, соответствующие как диффузионному механизму, так механизму замедленного разряда. Естественно ожидать, что при низких концентрациях олова в электролите разряд  $\text{Sn}^{2+}$  будет подчиняться уравнению Тафеля, несмотря на то, что ток, идущий на выделение примеси, крайне мал, тем более что при уменьшении величины  $c_{\text{Sn}^{2+}}/c_{\text{Pb}^{2+}}$ , тем же при больших концентрациях олова в электролите, величина участка парциальной поляризационной кривой, соответствующей диффузионному механизму разряда, уменьшается [13].

Не конкретизируя механизма разряда тех и других ионов, для получения уравнения, описывающего опытные данные по совместному разряду ионов олова и свинца, можно воспользоваться эмпирическими зависимостями между напряжением и плотностью токов для каждого сорта ионов. Таким образом, связь между  $\eta$  и  $D$  в случае выделения свинца дается уравнением

$$D_M = a_M e^{-b/\eta}, \quad (8)$$

а для выделения олова

$$\eta_i = a_i + b_i \lg D_i \quad (9)$$

или

$$\eta_i = a_i + \frac{RT}{\alpha n F} \ln D_i.$$

Поэтому потенциал выделения олова

$$\varphi_i = -\varphi_i^0 + \frac{RT}{\alpha n F} \ln c_i - a_i - \frac{RT}{\alpha n F} \ln D_i,$$

а потенциал выделения свинца

$$\varphi_M = -\varphi_M^0 + \frac{RT}{nF} \ln c_M - \frac{b}{\ln a_M - \ln D_M}.$$

Поскольку

$$\varphi_i = \varphi_M,$$

то

$$-\varphi_i^0 + \frac{RT}{\alpha n F} \ln c_i - a_i - \frac{RT}{\alpha n F} \ln D_i = \varphi_M^0 + \frac{RT}{nF} \ln c_M - \frac{b}{\ln a_M - \ln D_M}.$$

Отсюда

$$\ln D_i = \frac{\varphi_M^0 - \varphi_i^0}{RT} \alpha n F - \frac{a_i \alpha n F}{RT} + \ln c_i - \alpha \ln c_M + \frac{b}{\ln a_M - \ln D_M} \frac{\alpha n F}{RT}, \quad (10)$$

считая, что

$$\exp \left\{ \frac{(\varphi_M^0 - \varphi_i^0) \alpha n F}{RT} - \frac{a_i \alpha n F}{RT} \right\} = \exp \{ \alpha (c_1 - c_2 a_i) \} = K, \quad (11)$$

а

$$\frac{\alpha n F}{RT} = B. \quad (12)$$



отенцируя выражение (8), получим

$$D_i = \frac{Kc_i e^{Bb/(\ln a_M - \ln D_M)}}{c_M^\alpha} \quad (11)$$

, учитывая (2)

$$A_i = \frac{100Kc_i e^{Bb/(\ln a_M - \ln D_M)}}{c_M^\alpha qD} \quad (12)$$

Показатель степени  $e$  можно преобразовать. Действительно,

$$D_M = qD - D_i$$

$$\ln D_M = \ln qD + \ln \left( 1 - \frac{D_i}{qD} \right),$$

как

$$\frac{D_i}{qD} \ll 1,$$

$$\ln \left( 1 - \frac{D_i}{qD} \right) = - \frac{D_i}{qD}$$

$$e^{Bb/(\ln a_M - \ln D_M)} = e^{BbqD/(qD \ln \frac{a}{D} + D_i)}; \quad (13)$$

значительно

$$A_i = \frac{100Kc_i e^y}{c_M^\alpha qD},$$

$$y = \frac{BbqD}{qD \ln \frac{a}{D} + D_i} \quad (15)$$

Исследуем это уравнение, применив его для объяснения экспериментальных данных. Пусть один штрих относится к растворам, содержащим в качестве поверхностноактивных веществ  $\beta$ -нафтол и барду, а другой штрих — к растворам, содержащим резордин и желатину. Поскольку выход по току практически равен 100%, при дальнейших рассуждениях множитель  $p$  не учитывается; кроме того, отметим (рис. 5), что  $b' < b''$  и  $a' < a''$ .

1. Если  $D_i \ll D$ , то

$$\left( \frac{\partial A}{\partial D} \right)_{c_M, c_i} = 100K \frac{e^{Bb/\ln \frac{a}{D}} \left( \frac{Bb}{D \ln^2 \frac{a}{D}} - 1 \right)}{c_M^\alpha D^2},$$

е. функция  $A_i = f(D)$  будет возрастающей при условии, что  $Bb > D \ln^2 \frac{a}{D}$ .

Можно показать, что максимум исследуемой функции будет определяться условием

$$\frac{a}{D} = 1,$$

т. е. во всем интервале плотностей тока, при которых разряд свинца подчиняется уравнению (6):

$$\left(\frac{\partial A}{\partial D}\right)_{c_M; c_i} > 1.$$

Кроме того, так как  $a' < a''$ , то

$$\left(\frac{\partial A_i}{\partial D}\right)'_{c_M; c_i} > \left(\frac{\partial A_i}{\partial D}\right)''_{c_M; c_i}.$$

Если же считать, что  $\alpha \approx \text{const}$  не зависит от вида применяемых бавок, последнее предположение, как будет показано ниже, ведливо, то

$$(A_i)'_{c_M; c_i} - (A_i)''_{c_M; c_i} \approx K' \exp(a'' - a').$$

Действительно, как видно из рис. 2, кривая зависимости содержания примеси в катодном металле от плотности тока в случае электро растворов, содержащих резорцин, идет ниже той же кривой, относя ся к растворам, содержащим  $\beta$ -нафтол и барду. Последнее особенно рошо видно из рис. 6:

2.

$$\left(\frac{\partial A_i}{\partial c_M}\right)_{c_i; D} = - \frac{a K c_i e^{BbD/(D \ln \frac{a}{D} + D_i)}}{c_M^{a+1} D} \cdot 100;$$

следовательно, с увеличением концентрации  $Pb^{2+}$  содержание оло свинце будет падать тем быстрее, чем больше  $\alpha$ . Однако, как видно из рис. 3, кривые  $(A_i)_{c_i; D} = f(c_M)$  и  $(A_i)'_{c_i; D} = f(c_M)$  идут почти параллельно друг другу, что свидетельствует о равенстве коэффициентов. Отсюда следует, что

$$(A_i)'_{D; c_i} - (A_i)''_{D; c_i} \approx K \exp(a'' - a'),$$

т. е. кривая, относящаяся к раствору с резорцином, пойдет ниже той же кривой с  $\beta$ -нафтолом.

3. Когда  $c_i$  мало, т. е. когда  $D \gg D_i$ ,

$$\left(\frac{\partial A_i}{\partial c_i}\right)_{c_M; D} = \text{const.}$$

при любых значениях  $a_M$  и  $b$ .

При дальнейшем увеличении концентрации примеси  $D_i$  становится соизмеримым с  $D \ln \frac{a}{D}$  в формуле (14) и скорость роста функции  $A_i = f(c_i)$  будет падать тем быстрее, чем меньше  $a_M$  и  $b$ .

Действительно, если при электролизе растворов, содержащих резорцин, зависимость содержания примеси в катодном осадке от содержания ее в электролите практически во всем интервале исследования концентраций линейна, изгиб кривой в случае  $\beta$ -нафтола наблюдается уже при  $c_i \approx 5 \cdot 10^{-3}$  г-экв/л за счет меньших значений  $\ln \frac{a}{D}$ . С ростом

плотности тока  $(\partial A_i / \partial c_i)_{c_M; c_i}$  растет, а протяженность линейного участка увеличивается. В то же время на линейном участке  $(\partial A_i / \partial c_i)_{c_M; D}$  несколько больше,  $(\partial A_i / \partial c_i)''_{c_M; D}$ , очевидно, по тем же причинам, что и для кривых  $A_i = f(c_M)$  и  $A_i = f(D)$ .

Таким образом, скорость осаждения примеси зависит от скоростей основных процессов. При этом изменение скорости осаждения основного металла под действием поверхностноактивных веществ сказывается значительно сильнее, чем изменение скорости разряда примеси. Действие добавок

яд последних заключается в основном в изменении предэкспоненциального множителя  $a_i$ , что указывает на изменение числа возможных мест яда ионов олова и энергии активации этого процесса.

### Выводы

1. Исследован совместный разряд свинца и олова при малых концентрациях ионов последнего в электролите.
2. Показано, что в исследованном интервале плотностей тока разряда описывается уравнением  $D = a e^{-b/\eta}$ , что согласуется с литературными данными по осаждению свинца из других электролитов.
3. Исходя из анализа литературных данных, сделано предположение о том, что в присутствии поверхностноактивных веществ разряд олова в свинце при низких концентрациях  $\text{Sn}^{2+}$  в электролите подчиняется уравнению замедленного разряда.
4. Последнее подтверждено анализом выведенного нами уравнения, которое дает связь между содержанием олова в катодном свинце и такими параметрами электролиза, как плотность тока, концентрация  $\text{Pb}^{2+}$  и концентрация примеси.
5. Показано, что применение добавок поверхностноактивных веществ, изменяя соотношение между скоростями осаждения свинца и олова, меняет характер зависимости  $A_i = f(c_i; D_m; c_m)$ , так что с ростом эффективности действия добавки содержание примеси в катодном осадке в основном снижается.

Поступила  
16.I.1958

### ЛИТЕРАТУРА

- О. А. Есин, Z. phys. Chem., **87**, 164, 1933.  
 О. А. Есин, А. Балабай, Ж. физ. химии, **5**, 802, 1934.  
 О. А. Есин, Ж. физ. химии, **6**, 795, 1935.  
 О. А. Есин, А. Балабай и А. Машанцев, Ж. физ. химии, **6**, 1071, 1935.  
 О. А. Есин, А. Машанцев, Ж. физ. химии, **8**, 326, 1936.  
 О. А. Есин и Т. Беклемишева, Ж. общ. химии, **6**, 1602, 1936.  
 Б. А. Хейфец, А. Л. Ротинян, Докл. АН СССР, **82**, 423, 1952.  
 А. Л. Ротинян, В. Л. Хейфец, Е. С. Козич и О. П. Калганова, Докл. АН СССР, **88**, 301, 1953.  
 А. Л. Ротинян, В. Л. Хейфец, Цветные металлы, № 2, 24, 1954.  
 А. Л. Ротинян, В. Л. Хейфец, А. М. Яковлев, Ж. прикл. химии, **30**, 1087, 1957.  
 В. Н. Кочегаров, Тр. ЛТИ, Вопросы неорганической и органической химии, вып. **11**, 124.  
 М. А. Лошкарёв, В. Сотникова, А. А. Крюкова, Ж. физ. химии, **21**, 219, 1947.  
 М. А. Лошкарёв, О. А. Есин, В. Сотникова, Ж. общ. химии, **9**, 1412, 1939.

### CONCURRENT DISCHARGE OF LEAD AND TIN DURING ELECTROLYTIC REFINING OF LEAD

V. I. Chernenko and M. A. Loshkarev (Dnepropetrovsk)

#### Summary

In this paper the results have been examined of a study on the concurrent discharge of lead and tin ions in the presence of surface active substances. An expression has been obtained correlating the tin content in the cathodic deposit of lead with the current density and the concentration of lead and tin ions in the electrolyte. The difference in the effect of the surface active additions on the degree of contamination of the cathodic metal with tin has been explained as due to the unequal degree of their retardation of lead electrodeposition. The rate of deposition of small quantities of tin during joint deposition with lead has been shown to be determined by the discharge process.

ИССЛЕДОВАНИЕ ЯВЛЕНИЯ ДИФФУЗИИ В ОЖИЖЕННЫХ  
ГАЗАХ

В. Г. Манжелый и Б. И. Веркин

Исследование диффузии в жидкостях представляет интерес в связи с ее структурочувствительностью. Поскольку существующие теоретические построения претендуют на описание только простых жидкостей, было целесообразным для их проверки изучать диффузию в жидких металлах и ожиженных газах.

Целью данной работы являлось создание простой и надежной методики для изучения явлений диффузии в ожиженных газах. Нами была использована идея метода газовой фазы, впервые предложенного Г. Я. Рыным и С. Е. Журковым [1] и развитого применительно к жидкостям и металлам в работах [2—4]. Преимущество метода по сравнению с капиллярным, которым была проделана единственная известная нам работа по изучению диффузии в ожиженных газах [5], заключается в том, что метод газовой фазы позволяет контролировать возникновение конвекции и непрерывно регистрировать зависимость коэффициента диффузии от концентрации.

В качестве первого объекта исследования избрана система металл-пропилен. Выбор системы обусловлен, прежде всего, большой разницей в упругостях паров взаимно диффундирующих компонентов, что облегчает проведение эксперимента и увеличивает точность измерений при использовании метода газовой фазы. Значительная растворимость металла в пропилене позволяет на этой системе разработать методику нахождения концентрационной зависимости коэффициента диффузии. Изучение системы представляет также самостоятельный интерес из-за сравнительно простой молекулы.

## Экспериментальная часть

Чистота используемых газов проверялась по тройным точкам и углекислотам паров.

Проверка диаграммы равновесия системы  $\text{C}_3\text{H}_8 - \text{C}_3\text{H}_6$  показала, что для всех изучавшихся составов в интервалах концентраций в 2—3 моля изменение давления паров метана над раствором можно считать пропорциональным изменению концентрации метана в растворе; возникающая при этом ошибка не превышает 3%.

Принципиальная схема установки представлена на рис. 1. Рабочий объем 1 (250 см<sup>3</sup>) представляет собой медную бомбу, оканчивающуюся цилиндрической ампулой с внутренним диаметром 20 мм. Три металлических стержнями бомба крепится к цилиндру. При помощи установочных винтов цилиндр связан с массивной стальной плитой, жестко закрепленной к стене. Установочными винтами дно ампулы устанавливается горизонтально. Рабочий объем через тонкую нейзильберовую трубку диаметром 1,5 мм и тройник соединен с манометром 2, по которому с помощью катетометра измеряется давление газа в бомбе. Описанная установка через кран 6 соединяется с объемом 4 (780 см<sup>3</sup>) и манометром 3.



рез кран, 8 с объемом 5 (6000 см<sup>3</sup>), кран 7 связывает установку с газ-  
дером, кран 9 с форвакуумным насосом.

Рабочий объем термостатируется жидким кислородом при температу-  
кипения. Для выравнивания температуры по высоте в сосуде Дьюара  
ользуется медный цилиндр. Часть рабочего объема (подводящие тру-  
ки и манометр), находящаяся при комнатной температуре, равнялась  
от общего рабочего объема и учитывалась при расчетах.

После откачки системы форвакуумным насосом объемы 4 и 5 при за-  
том кране 6 заполнялись газом, служащим растворителем в избран-  
й системе (C<sub>3</sub>H<sub>6</sub>). При помощи манометра 3 определялось количество  
а до конденсации. Далее открывался кран 6, и газ конденсировался в

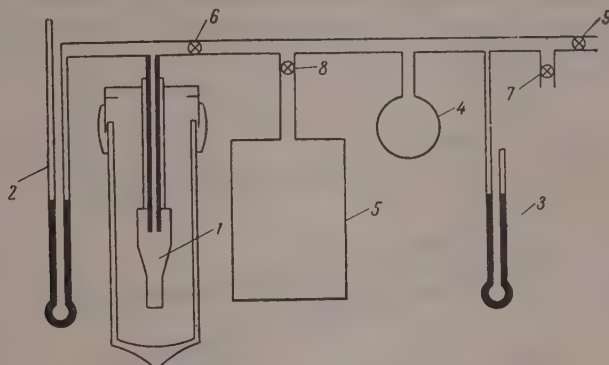


Рис. 1. Схема установки

ду медной бомбы. Зная количество сконденсировавшегося газа, диа-  
р ампулы и плотность пропилена при температуре опыта, можно было  
еделить высоту жидкости в ампуле.

Кран 6 снова закрывался, объем 4 откачивался и заполнялся при за-  
том кране 8 диффундирующим газом (CH<sub>4</sub>). В течение 10—20 сек. че-  
кран 6 диффундирующий газ напускался в медную бомбу, после че-  
кран 6 снова перекрывался. Количество напущенного в бомбу ме-  
а определялось при помощи манометра 3. Далее по манометру 2 при  
и катетометра определялось изменение давления диффундирую-  
го пара от времени.

Кривая 1 на рис. 2 представляет собой характерную кривую зависимо-  
давления пара от корня из времени (крестиками обозначены экспери-  
ментальные точки).

В предположении мгновенного установления равновесия на границе  
дкость — пар изменение давления со временем описывается форму-  
й [2]

$$P(t) = \frac{P_1}{1+A} + 2AP_1 \sum_{k=1}^{\infty} \frac{\exp\left(-\lambda_k^2 \frac{Dt}{l^2}\right)}{A + A^2 + \lambda_k^2}, \quad (1)$$

$P_1$  — начальное давление пара,  $A$  — величина, обратно пропорцио-  
ная постоянной Генри и определяемая по конечному давлению  $P_K$ .  
ответствующему установлению равновесия между объемом жидкости  
газовой фазой:

$$A = \frac{P_1 - P_K}{P_K}$$

$l$  — высота столбика жидкости;  $\lambda_K$  определяется из

$$\lambda_K + A \operatorname{tg} \lambda_K = 0.$$

Значение коэффициента диффузии  $D$ , дающее совпадение зависимости (1) с экспериментальной кривой, является искомым (ромбиками кривой обозначены теоретические точки).

Для определения зависимости коэффициента диффузии от концентрации после наступления равновесия между жидкостью и паром в медную бомбу вводилась новая порция паров метана и снова наблюдалось изменение давления в газовой фазе во времени (кривая 2, рис. 2).

Для исследования диффузии при определенной начальной концентрации  $c_0$  в растворе к медной бомбе подсоединяется объем 5 с давл.

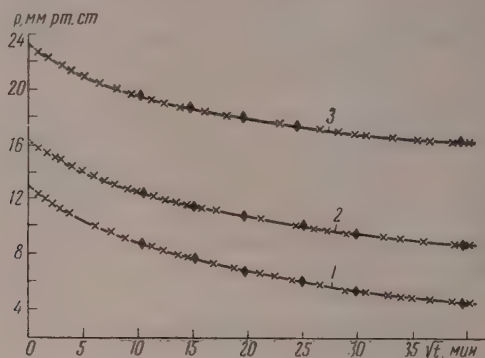


Рис. 2. Зависимость давления пара от  $\sqrt{t}$

пара метана в нем, соответствующим равновесной концентрации в жидкой фазе  $c_0$ . Поскольку объем 5 гораздо больше объема бомбы, диффузия происходит практически при постоянном давлении. Выдержав систему некоторое время, необходимое для установления равновесия, в медную бомбу вводим новую порцию пара и, закрыв кран 6, снимаем кривую  $P(t)$  (кривая 3 на рис. 2).

Из кривой определяем значение коэффициента диффузии при концентрации, близкой к  $c_0$ .

В работе исследована концентрационная зависимость коэффициента диффузии метана в пропилене в диапазоне 0—26 мол. % при 90,2°K.

$c$ , мол. %	0—3	4—6	12—14	16—19	24,5—27,5
$D \cdot 10^{-7}$ , см <sup>2</sup> /сек.	9,5	8,5	7,4	6,8	6,3

Результаты сведены в таблицу. Каждое значение  $D$  является средним по интервалу концентраций в 2—3%.

Для определения высоты жидкости предполагалась аддитивность объемов раствора. Плотность метана бралась при 91°K, поскольку нам известны данные о плотности твердого метана. Но если даже предположить, что в точке плавления удельный объем его меняется на 10% и в соответствии с этим определить высоту жидкости, то новые коэффициенты диффузии будут отличаться от полученных нами при максимальных значениях концентрации не более чем на 2,5%. Общая погрешность в определении коэффициента диффузии не превышает 6%.

Авторы признательны В. А. Пиковцу, Е. А. Сенько и Г. Л. Шадрину за участие в измерениях.

## Выводы

1. Сконструирована установка и разработана методика, позволяющая наблюдать явления взаимной диффузии в ожиженных газах при низких температурах.
2. Исследована концентрационная зависимость коэффициента диффузии метана в пропилен при  $90,2^{\circ}\text{K}$  в интервале концентраций  $0 - 27,5$  ат. % метана

Харьковский государственный  
университет им. А. М. Горького

Поступила в редакцию  
17.I.1958

## ЛИТЕРАТУРА

- Г. Я. Рыскин и С. Н. Журков, Ж. техн. физ., 24, 797, 1954.  
Н. Н. Багров, Б. И. Веркин, Д. Г. Долгополов, Ж. физ. химии, 30, 476, 1956.  
Н. Н. Багров, В. Г. Долгополов, В. Г. Манжелий, ПТЭ, 3, 80, 1956.  
Д. Г. Долгополов, В. Г. Манжелий, Уч. зап. Харьковск. ун-та, 7, 365, 1958.  
W. Corbett, J. H. Wang, J. Chem. Phys., 25, 422, 1956.

## INVESTIGATION INTO THE PHENOMENON OF DIFFUSION IN LIQUIFIED GASES

*V. G. Manzheliĭ and V. I. Verkin (Kharkov)*

## Summary

In this investigation a method has been developed for studying the phenomenon of diffusion in liquified gases in which precaution has been taken against the appearance of convection. The method has been tested on the system methane—propylene at  $90^{\circ}\text{K}$ .

КОСВЕННЫЙ МЕТОД ОЦЕНКИ ШИРИНЫ ЗОНЫ РЕАКЦИИ  
В ДЕТОНАЦИОННОЙ ВОЛНЕ

Л. Н. Стесик и Л. Н. Акимова

Определение ширины зоны реакции имеет существенное значение теории детонации. Оценка ширины зоны химической реакции в детонационной волне производилась различными методами.

После того как Ю. Б. Харитоном [1] было развито представление о соотношении между временем химической реакции и величиной критического диаметра, оценку ширины зоны и времени химической реакции производили по величине критического диаметра. Позднее Эйринг [2] и Джонс [3], независимо друг от друга, предложили проводить определение ширины зоны по зависимости скорости детонации от радиуса заряда. В работе [4] был разработан метод прямого измерения ширины зоны реакции. Этот метод основывается на измерении скорости движения металлических пластин под действием взрыва взрывчатых веществ. Авторы [4] измеряли ширину зоны химической реакции литого состава ТГ 37/63 с плотностью  $1,67 \text{ г/см}^3$  и получили величину  $0,13 \text{ мм}$ .

В настоящей работе производится оценка ширины зоны некоторых взрывчатых веществ на основе зависимости скорости детонации от радиуса заряда. Влияние радиуса заряда на скорость детонации обуславливается разбросом вещества из зоны реакции, поэтому ширина зоны должна иметь определяющее значение для зависимости скорости детонации от радиуса заряда. Решая обратную задачу, можно по экспериментальной зависимости скорости детонации от радиуса заряда найти величину ширины зоны химической реакции в детонационной волне. Ширина зоны определяется как расстояние от переднего фронта детонационной волны до точки Ж.

Как указывалось, Эйринг и Джонс теоретически рассчитывали зависимость скорости детонации от величины радиуса заряда и зоны реакции. Оба автора нашли, что кривые, описывающие зависимость  $D/D_{\text{и}} = f(R)$  ( $D_{\text{и}}$  — идеальная скорость детонации,  $D$  — скорость детонации заряда с радиусом  $R$ ) для различных взрывчатых веществ подобны друг другу и в координатах  $a/R$  и  $D/D_{\text{и}}$  ( $a$  — ширина зоны реакции) все зависимости описываются одной функцией  $D/D_{\text{и}} = \varphi(a/R)$ . При этом оба автора предполагали, что ширина зоны не меняется с изменением радиуса заряда.

Функции  $D/D_{\text{и}} = \varphi(a/R)$ , полученные Эйрингом и Джонсом для рядов без оболочки, существенно отличаются друг от друга. Обе неудовлетворительно описывают эксперимент. Вследствие этого решили найти экспериментальную зависимость  $D/D_{\text{и}} = \varphi(a/R)$ . Мы исходили из предположения, что кривые  $D/D_{\text{и}} = f(R)$  подобны. Чтобы построить кривую  $D/D_{\text{и}} = \varphi(a/R)$  или  $D/D_{\text{и}} = \Phi(R/a)$ , необходимо разделить, хотя бы для одного какого-либо взрывчатого вещества, независимым образом  $D = f(R)$ ,  $D_{\text{и}}$  и ширину зоны химической реакции. Однако для получения относительной величины зоны реакции (при этом ширина зоны какого-либо вещества принимается за единицу) нет необходимости в измерении абсолютной величины зоны реакции какого-либо взрывчатого вещества. В этом случае достаточно построить кривую  $D/D_{\text{и}} = F(R/na)$ , взяв для произведения  $na$  произвольное значение.



Действительно, если эксперимент описывается функцией  $D/D_{II} = \Phi(R/a)$ , он будет описываться и функцией  $D/D_{II} = F(R/na)$ , где  $n$  — поправочный коэффициент. Так как коэффициент  $n$  может принимать любые положительные значения, произведение  $na$  тоже может иметь любую величину. Построив кривую  $D/D_{II} = F(R/na)$  для какого-либо взрывчатого вещества, мы можем определить из нее величину  $na$  для других взрывчатых веществ, зная для них зависимость  $D = f(R)$  и  $D_{II}$ . Отсюда можно вычислить относительно величину зоны реакции различных взрывчатых веществ. Ниже мы напомним условия, при которых различные взрывчатые вещества могут описываться одной функцией  $D/D_{II} = F(R/na)$ .

Первая часть работы была проделана на тротиле. Тротил размалывался в шаровой мельнице и просеивался через сито с 26 отверстиями на линейный сантиметр. Из полученного порошка изготавливались заряды различной плотности, которые патронировались в оболочку из целлофана толщиной 5 мм. Была определена зависимость скорости детонации от радиуса заряда при плотностях зарядов 0,80; 1,00; 1,46; 1,55 и 2 г/см<sup>3</sup>. Скорости детонации измерялись с помощью фоторегистратора с зеркальной разверткой — СФР. При каждом диаметре производилось от 3 до 6 измерений. Заряды диаметром менее 30 мм инициировались дополнительным детонатором из 40/60 той же плотности, что и исследуемый заряд. При диаметре заряда 30 мм и более применялся линзовый заряд [5], обеспечивающий плоский фронт детонационной волны. Средняя ошибка отдельного измерения не превышала  $\pm 1\%$  для прессованных зарядов и  $\pm 3\%$  для насыпных. Полученные результаты представлены в табл. 1. Для измерения идеальных скоростей детонации при плотностях 0,80 и 1,0 г/см<sup>3</sup> были использованы заряды в прочных оболочках.

Для построения кривой  $D/D_{II} = F(R/na)$  были использованы зависимости  $D/D_{II} = f(R)$ , полученные при плотностях 0,80 и 1,46 г/см<sup>3</sup>. Величина произведения  $na$  при плотности 0,80 г/см<sup>3</sup> была принята равной 1 мм. Как видно из табл. 1, зависимость  $D/D_{II} = f(R)$  при плотности 0,80 г/см<sup>3</sup> определена нами в интервале значений  $D/D_{II}$  0,43—0,96. Следовательно, и кривую  $D/D_{II} = F(R/na)$  на основе этих данных мы могли

Таблица 1

Зависимость скорости детонации тротила от диаметра заряда

$\rho = 0,80 \text{ г/см}^3$				$\rho = 1,00 \text{ г/см}^3$				$\rho = 1,46 \text{ г/см}^3$				$\rho = 1,55 \text{ г/см}^3$				$\rho = 1,62 \text{ г/см}^3$			
$R, \text{ мм}$	$D, \text{ м/сек}$	$D/D_{II}$		$R, \text{ мм}$	$D, \text{ м/сек}$	$D/D_{II}$		$R, \text{ мм}$	$D, \text{ м/сек}$	$D/D_{II}$		$R, \text{ мм}$	$D, \text{ м/сек}$	$D/D_{II}$		$R, \text{ мм}$	$D, \text{ м/сек}$	$D/D_{II}$	
3,5	—	—		4,0	—	—		2,08	—	—		1,58	—	—		1,03	—	—	
4,0	1870	0,43		4,5	3440	0,69		2,34	5770	0,88		1,94	6340	0,926		1,59	6630	0,947	
4,5	2200	0,51		5,0	3940	0,79		2,58	5960	0,91		2,58	6500	0,948		2,08	6750	0,964	
5,0	2820	0,65		5,5	4180	0,836		3,08	6120	0,93		4,12	6600	0,964		3,40	6860	0,980	
7,0	3390	0,78		7,5	4530	0,905		4,09	6330	0,966		5,0	6720	0,980		4,12	6940	0,991	
10,0	3840	0,88		10,0	4710	0,942		5,10	6390	0,976		7,5	6740	0,984		5,40	6980	0,997	
12,5	3980	0,92		15,0	—	—		7,45	6450	0,985		10,0	6790	0,992		7,55	6980	0,997	
15,0	4170	0,96						10,0	6530	0,997		10,0	6850	1,000		10,35	7000	1,000	
$D_{II} = 4350 \text{ м/сек}$				$D_{II} = 5000 \text{ м/сек}$				$D_{II} = 6500 \text{ м/сек}$				$D_{II} = 7000 \text{ м/сек}$				$D_{II} = 7000 \text{ м/сек}$			

построить только в том же интервале значений  $D/D_{и}$ . Чтобы достроить кривую до значения  $D/D_{и} = 1,00$ , была использована зависимость  $D/D_{и} = f(R)$  при плотности  $1,46 \text{ г/см}^3$ . По построенному участку кривой  $D/D_{и} = F(R/na)$  была определена величина  $na$  для этой плотности, которая оказалась равной  $0,92 \text{ мм}$ . Используя эту величину, мы достроили кривую  $D/D_{и} = F(R/na)$  до значения  $D/D_{и} = 1,00$ . После этого были определены величины  $na$  для плотностей  $1,0$ ;  $1,55$  и  $1,62 \text{ г/см}^3$ , которые оказались равными соответственно  $3,26$ ;  $0,58$  и  $0,40 \text{ мм}$ . Полученная нами кривая показана на рис. 1. Точками отмечены дан-

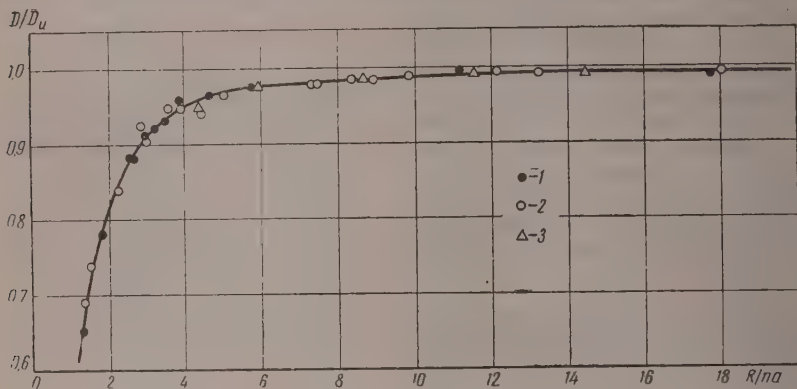


Рис. 1. Зависимость  $D/D_{и}$  от  $R/na$  для тротила: 1 — плотности  $0,80$  и  $1,46 \text{ г/см}^3$ ; 2 — плотности  $1,00$ ;  $1,55$  и  $1,62 \text{ г/см}^3$ ; 3 — литой тротил с плотностью  $1,62 \text{ г/см}^3$

при плотностях  $0,80$  и  $1,46 \text{ г/см}^3$  (по этим точкам построена кривая кружочками обозначены данные, полученные при плотностях  $1,1,55$  и  $1,62 \text{ г/см}^3$ . Отклонения точек от кривой не превышают  $3\%$ . Следует заметить, что ход кривой определен нами надежно в интервале значений  $D/D_{и}$   $0,70$ — $1,00$ .

На этом же рисунке треугольниками отмечены данные, полученные с зарядами литого тротила с плотностью  $1,62 \text{ г/см}^3$ . В нашей работе обнаружено принципиального различия между детонацией литых и прессованных зарядов. Идеальные и критические скорости детонации оказались одинаковыми. Большая разница в величине критических радиусов определяется, по-видимому, в основном соответствующим различием в размерах кристалликов тротила в литых и прессованных зарядах. Это предположение подтверждается общеизвестным фактом, что величина критического радиуса литого тротила зависит от длительности кристаллизации отливок: чем медленнее кристаллизовался тротил, тем больше размеры кристаллов, тем больше величина критического радиуса. В нашей работе литые заряды готовились из шимозированного расплава тротила в латунных формах, которые охлаждались водой.

Теперь мы имеем возможность определить относительное изменение ширины зоны при изменении плотности заряда. Если принять ширину зоны при плотности  $0,80 \text{ г/см}^3$  равной единице, то для остальных плотностей зарядов получим следующие значения:

$$\rho, \text{ г/см}^3 \quad 1,0 \quad 1,46 \quad 1,55 \quad 1,62$$

$$a/a_{0,8} \quad 0,82 \quad 0,3 \quad 0,14 \quad 0,10$$

С изменением плотности заряда от  $0,80$  до  $1,62 \text{ г/см}^3$  ширина зоны уменьшается в десять раз. Уменьшение зоны происходит главным

зом за счет увеличения скорости реакции и отчасти за счет дробления частиц тротила при прессовании заряда. (Мы считаем, что химическая реакция в детонационной волне представляет собой горение частиц взрывчатых веществ с поверхности [6].)

Абсолютные значения величины зоны химической реакции можно было бы вычислить, используя данные, полученные в работе [4] для того состава ТГ 37/63. Однако прежде чем сделать это, нужно доказать, что полученная нами для тротила кривая  $D/D_n = F(R/na)$  будет описывать и другие взрывчатые вещества. Вообще говоря, предположить это ранее нельзя. Дело в том, что ширина зоны реакции, по-видимому, остается постоянной при изменении радиуса заряда.

Ширина зоны определяется формулой:

$$a = (D - \bar{w})\tau, \quad (1)$$

где  $\bar{w}$  — средняя скорость потока в зоне реакции,  $\tau$  — время протекания реакции. Величина  $\bar{w}$  пропорциональна скорости детонации. Время реакции определяется как время полного сгорания частиц взрывчатых веществ в детонационной волне  $\tau = r_0/\bar{u}$ , где  $\bar{u}$  — средняя линейная скорость горения частиц при давлении детонации,  $r_0$  — первоначальный радиус частиц взрывчатых веществ.

Мы предполагаем при этом, что при всех диаметрах заряда химическая реакция заканчивается в том же сечении заряда, в котором осуществляется условие Жуге. Линейная скорость горения частиц является функцией давления и температуры. Однако температура в детонационной волне зависит от давления, поэтому мы можем считать, что скорость горения частиц является функцией только давления. Будем считать, что эта зависимость имеет вид

$$\bar{u} = bp^\nu. \quad (2)$$

Отсюда получаем, что время реакции  $\tau \sim r_0/bp^\nu$ , а ширина зоны  $\sim Dr_0/bp^\nu$ . Поскольку давление пропорционально квадрату скорости детонации, мы можем записать

$$a \sim \frac{1}{D^{2\nu-1}}. \quad (3)$$

Мы видим, что ширина зоны не зависит от скорости детонации (следовательно, и радиуса заряда) только в случае, когда  $\nu = 1/2$ . Для однородных взрывчатых веществ, по-видимому,  $\nu > 1/2$  [7]. Следовательно, для таких веществ ширина зоны уменьшается с увеличением диаметра заряда и достигает наименьшего значения при скорости детонации, равной  $D_n$ . Степень изменения ширины зоны определяется величиной показателя  $\nu$ . Для различных взрывчатых веществ показатели  $\nu$  могут сильно отличаться друг от друга, поэтому ход кривой  $D/D_n = F(R/na)$  будет для них различен.

Полученная нами для тротила функция  $D/D_n = F(R/na)$  будет описывать только те взрывчатые вещества, у которых показатель  $\nu$  в формуле  $\bar{u} = bp^\nu$  — тот же, что и у тротила.

В ходе дальнейшей работы нами были определены зависимости  $D/D_n = f(R)$  для гексогена\* с плотностью  $1,10 \text{ г/см}^3$  состава ТГ 50/50 при плотностях  $1,40$  и  $1,0 \text{ г/см}^3$  и литого состава ТГ 37/63 с плотностью  $1 \text{ г/см}^3$ . Результаты этих измерений приводятся в табл. 2.

\* Эти опыты были проделаны дипломником Л. А. Владимировым. Средний размер частиц гексогена составлял  $0,10 \text{ мм}$ .

Таблица 2

Гексоген $\rho = 1,10 \text{ г/см}^3$			Состав ТГ 50/50 $\rho = 1,40 \text{ г/см}^3$			Состав ТГ 50/50 $\rho = 1,0 \text{ г/см}^3$			Состав ТГ 37/63 $\rho = 1,71 \text{ г/см}^3$		
$R, \text{ мм}$	$D, \text{ м/сек}$	$D/D_H$	$R, \text{ мм}$	$D, \text{ м/сек}$	$D/D_H$	$R, \text{ мм}$	$D, \text{ м/сек}$	$D/D_H$	$R, \text{ мм}$	$D, \text{ м/сек}$	$D/D_H$
1,5	5510	0,854	2,08	6410	0,943	2,5	4200	0,750	2,5	7750	0,978
2,0	6060	0,940	3,10	6630	0,975	4,0	5100	0,910	4,0	7880	0,995
2,5	6050	0,937	4,0	6650	0,978	5,0	5260	0,940	5,0	7840	0,990
3,0	6240	0,967	5,0	6630	0,983	7,5	5300	0,946	7,5	7920	1,000
5,5	6300	0,976	7,5	6750	0,993	10,0	5430	0,970	10,0	7920	1,000
7,0	6440	0,998	10,0	6800	1,000	15,0	5500	0,983			
9,5	6450	1,000									

На рис. 2 показано, насколько эти результаты совпадают с нашей кривой. Совпадение вполне удовлетворительное. Следовательно, построенная нами кривая описывает результаты по тротилу, гексогену и различным смесям тротила с гексогеном. Этот вывод позволяет нам применить

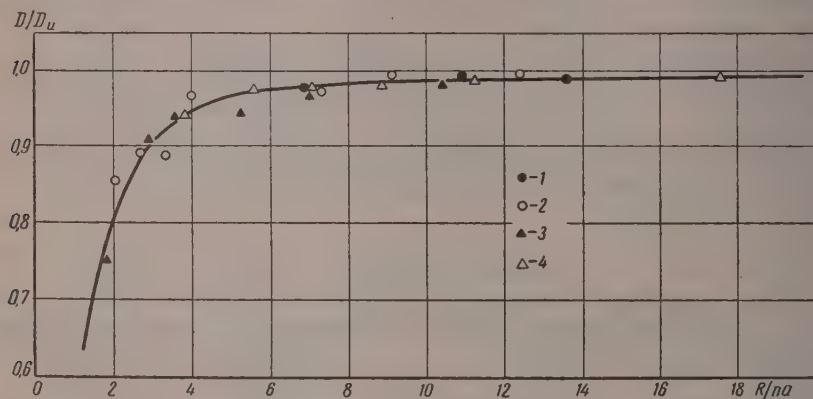


Рис. 2. 1 — ТГ 63/37; 2 — гексоген; 3 — ТГ 50/50,  $\rho = 1,0 \text{ г/см}^3$ ; 4 — ТГ 50/50,  $\rho = 1,40 \text{ г/см}^3$

результаты, полученные Даффом и Хаустоном [4] для определения абсолютных величин зоны реакции тротила, гексогена и составов ТГ 50/50. Величина произведения  $\rho a$  для литого ТГ 37/63 оказалась равной 0,37 мм. Отсюда была найдена величина коэффициента  $n$ , который оказался равным 2,85. Вычисление абсолютных значений величины зоны реакции для тротила дало следующие результаты:

$$\rho, \text{ г/см}^3 \quad 0,80 \quad 1,00 \quad 1,46 \quad 1,55 \quad 1,62$$

$$a, \text{ мм} \quad 1,40 \quad 1,15 \quad 0,32 \quad 0,20 \quad 0,14$$

Дафф и Хаустон подчеркивают в своей статье, что их метод дает заниженные значения ширины зоны реакции. Определение ширины зоны основывается на измерении скорости движения металлической пластинки под действием детонационной волны. Однако при этом на пластинке происходит отражение детонационной волны, давление возрастает, и химическая реакция ускоряется. Ширина зоны реакции в отраженной волне будет меньше, чем в невозмущенной. Соотношение давлений в падающей и отраженной волнах определяется соотношением произведений  $\rho D$  для



взрывчатого вещества и металла (где  $\rho$  — плотность взрывчатого вещества металла). В том случае, когда эти произведения равны, отражение не изойдет. В работе [4] применялись алюминиевые и дюралевые пластины. Произведения  $\rho D$  составляли соответственно для взрывчатого вещества и металла  $13,1 \cdot 10^6 \text{ г/см}^2 \text{ сек}$  и  $20 \cdot 10^6 \text{ г/см}^2 \text{ сек}$ . Измерения ширины зоны реакции тротила с плотностью  $1,55 \text{ г/см}^3$ , проведенные аналогичным методом с использованием алюминиевых пластинок, дали результат, равный  $0,22 \text{ мм}$ . В этих случаях произведения  $\rho D$  для взрывчатого вещества и для металла были приблизительно равны. Используя эти данные, мы вычислили величину коэффициента  $n$ , который оказался равным  $2,63$ , и абсолютные величины зон реакции для взрывчатых веществ, применявшихся в нашей работе. Эти результаты приводятся в табл. 3. В таблице приводятся также времена реакции в детонационной волне, вычисленные по формуле (1). Величина  $w$  принята равной  $1,5 w_0$ , где  $w_0 = D(k+1)$  — скорость потока в точке Жуге. Величина показателя  $k$  в уравнении состояния продуктов детонации принята равной трем.

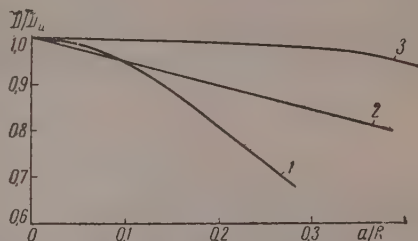


Рис. 3. Зависимость  $D/D_{и}$  от  $a/R$ : 1 — по [3]; 2 — по [2]; 3 — экспериментальная кривая

Таблица 3

Вещество	Плотность, $\text{г/см}^3$	Ширина зоны, мм	Время реакц. и сек.	Вещество	Плотность, $\text{г/см}^3$	Ширина зоны, мм	Время реакц. и сек.
Тротил	0,80	1,52	0,56	Гексоген	1,10	0,23	0,06
То же	1,0	1,24	0,40	ТГ 50/50	1,00	0,64	0,19
» «	1,46	0,35	0,095	То же	1,40	0,23	0,05
» «	1,55	0,22	0,051	ТГ 37/63	1,71	0,14	0,03
» «	1,62	0,15	0,034				
» литой	1,62	0,64	0,15				

В табл. 4 приводятся числовые данные для построения кривой  $D/D_{и} = f(a/R)$ . Вид кривой показан также на рис. 3 (кривая 1). Здесь же для сравнения построены кривые, полученные Эйрингом (кривая 2) и Джонсом (кривая 3).

Выше было указано, что ширина зоны меняется с изменением радиуса заряда. Нам нужно теперь выяснить, какому радиусу заряда соответствуют полученные нами величины зоны реакции. Если мы определяем относительное изменение зоны реакции различных взрывчатых веществ кривой  $D/D_{и} = F(R/na)$ , то оно соответствует одинаковым значениям  $D/D_{и}$ . Абсолютные значения зоны реакции вычислены на основе измерений Н. Дремина. Ширина зоны тротила с плотностью  $1,55 \text{ г/см}^3$  была измерена им при значениях  $D/D_{и} = 1,0$ . Следовательно, все вычисленные нами значения величины зоны реакции для различных взрывчатых веществ соответствуют тем радиусам зарядов, при которых скорость детонации достигает идеального значения.

\* Эти измерения проведены А. Н. Дреминым в Институте химической физики СССР.

Зависимость  $D/D_{II}$  от  $a/R$ 

$a/R$	$D/D_{II}$	$a/R$	$D/D_{II}$	$a/R$	$D/D_{II}$	$a/R$	$D/D_{II}$
0,00	1,000	0,04	0,989	0,08	0,996	0,16	0,867
0,01	0,998	0,05	0,985	0,10	0,947	0,20	0,807
0,02	0,996	0,06	0,979	0,12	0,923	0,24	0,744
0,03	0,993	0,07	0,973	0,14	0,896	0,28	0,683

## Выводы

1. Построена экспериментальная кривая для определения ширины зоны химической реакции в детонационной волне по зависимости скорости детонации от радиуса заряда.

2. Определена ширина зоны и время химической реакции в детонационной волне в зарядах тротила различной плотности, гексогена и различных смесей тротила с гексогеном.

Академия наук СССР  
Институт химической физики  
Москва

Поступила  
17.I.1958

## ЛИТЕРАТУРА

1. Ю. Б. Харитон, Сборник «Вопросы теории взрывчатых веществ». Изд-во АН СССР, 1947.
2. H. Eyring, R. Powell et al. Chem. Rev., 45, 69, 1949.
3. H. Jones, Proc. Roy. Soc. A189, 415, 1947.
4. R. Duff, E. Houston, J. Chem. Phys., 23, 1263, 1955.
5. J. H. Cook, Research, 1, 474, 1948.
6. А. Я. Апин, Докл. АН СССР, 24, 922, 1939.
7. J. Basset, J. Basset, C. R., 14, 649, 1950.

INDIRECT METHOD OF EVALUATING THE WIDTH OF THE REACTION ZONE  
IN A DETONATION WAVE

*L. N. Stesik, L. N. Akimova (Moscow)*

## Summary

An experimental curve has been plotted for determining the width of the reaction zone in a detonation wave from the relation between the detonation rate and the radius of the blasting charge. The width of the zone and the duration of the chemical reaction has been determined in trotyl charges of various densities in hexogen and in various mixtures of trotyl and hexogen.

МЕХАНИЗМЕ ЭЛЕКТРООКИСЛЕНИЯ СПИРТОВ И АЛЬДЕГИДОВ  
НА ПЛАТИНЕ

## II. О МЕХАНИЗМЕ ЭЛЕКТРООКИСЛЕНИЯ АЦЕТАЛЬДЕГИДА

*Г. А. Богдановский и А. И. Шлыгин*

Одной из характерных особенностей электрохимии органических соединений является образование в процессе электролиза различных промежуточных продуктов, появление которых может оказывать существенное влияние на дальнейший ход реакции. Детальное исследование этих продуктов, помимо того что представляет и самостоятельный интерес, имеет большое значение для установления истинного механизма сложного процесса электроокисления или электровосстановления.

В настоящей статье приводятся некоторые данные по электроокислению ацетальдегида, как известно, являющегося одним из промежуточных продуктов при электролизе этилового спирта.

## Экспериментальная часть

Электроокисление ацетальдегида проводилось в 1*N* H<sub>2</sub>SO<sub>4</sub> при употреблении большого платинированного платинового электрода без переплавки, а также на вращающемся платинированном диске \*. Методика исследования описана в предыдущей статье [1]. На рис. 1 и 2 представлены поляризационные кривые окисления ацетальдегида, где по оси ординат отложено значение силы тока, а по оси абсцисс потенциал электрода о. в. э.

Из рассмотрения приведенных рисунков следует, что с увеличением потенциала сила тока, а следовательно, и скорость электроокисления возрастают, достигая максимального значения при потенциале 1,25 В, после чего имеет место спад силы поляризующего тока до некоторого минимального значения. Дальнейшее увеличение потенциала вновь приводит к возрастанию скорости процесса электроокисления. Такой ход поляризационных кривых может быть удовлетворительно объяснен на основе звываемых нами представлений об электронно-радикальном механизме электроокисления.

Заметное электроокисление ацетальдегида начинается при потенциале 0,6 В, т. е. в условиях, когда на электроде отсутствует адсорбированный кислород. Это обстоятельство позволяет утверждать, что электроокисление ацетальдегида протекает по электронно-радикальному механизму. В пользу такого утверждения говорит и тот факт, что при введении ацетальдегида в ячейку, содержащую дегазированный платиновый электрод, потенциал смещается в катодную сторону (рис. 3). Действительно, из капиллярных кривых известно, что адсорбция молекул альдегида, как и адсорбция спирта, происходит положительным концом диполя поверхности, что должно привести к смещению потенциала в положительную сторону. Кроме того, при адсорбции альдегида уменьшается емкость двойного электрического слоя, что должно сопровождаться сдвигом по-

\* Большой электрод имел видимую поверхность в 20 см<sup>2</sup>, а вращающийся диск -- 1 см<sup>2</sup>.

тенциала также в анодную сторону, так как поверхность заряжена положительно. Поскольку на опыте наблюдается резкое смещение потенциала в сторону отрицательных значений, то это приводит к выводу о наличии прямого перехода электронов от молекул альдегида к электроду.

По нашему мнению, этот переход электронов составляет первую стадию электроокисления ацетальдегида, в результате чего образуются положительно заряженные молекулярные ионы. Являясь неустойчивыми, они вступают во взаимодействие с молекулами воды, отрывающими от них протоны. Такой процесс вполне вероятен, потому что связь протонов

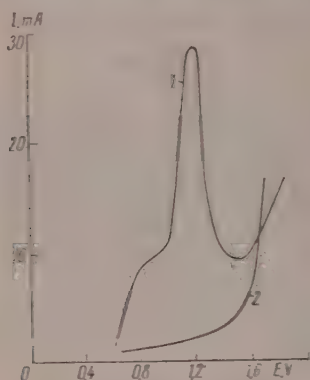


Рис. 1. Поляризационные кривые окисления ацетальдегида в 1 N  $\text{H}_2\text{SO}_4$  при отсутствии перемешивания: 1 — на активном электроде; 2 — на малоактивном электроде

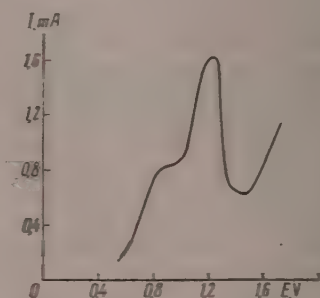
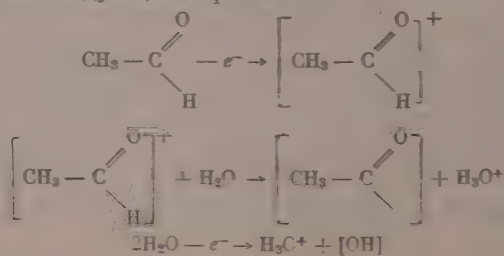


Рис. 2. Поляризационные кривые окисления ацетальдегида в 1 N  $\text{H}_2\text{SO}_4$  на вращающемся платинированном диске

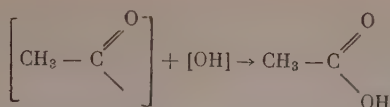
в молекулярном ионе безусловно ослаблена, и энергия гидратации достаточна для их отрыва. Протекание указанных двух стадий приводит к образованию радикалов  $[\text{CH}_3\text{CO}]$ .

Естественно предположить, что в дальнейшем эти радикалы будут взаимодействовать с радикалами  $[\text{OH}]$  (появляющимися в результате разрыва молекул воды), так как в указанных условиях это наиболее прямой путь в образовании уксусной кислоты. Однако разряд молекул воды обычно начинающийся уже при потенциале 0.7 В, в данном случае начинается несколько позже, поскольку в присутствии органического вещества перенапряжение этого процесса повышается. Поэтому радикалы  $[\text{CH}_3\text{CO}]$  накапливаются на поверхности и вызывают замедление скорости, о чем можно судить по некоторой задержке на поляризационной кривой при потенциале 0.8–0.9 В. Лишь только после достижения потенциала 1 В, когда начинается разряд молекул воды, скорость электроокисления возрастает, и кривая поднимается резко вверх.

Схема электроокисления ацетальдегида в уксусную кислоту может быть представлена следующим образом:







необходимо отметить, что в литературе уже высказывалось мнение, согласно которому электролитическое окисление ряда веществ, в том числе ионизированных, протекает с участием радикалов. Однако при этом считается, что образующиеся радикалы обязательно должны распадаться (же димеризоваться, в результате чего наблюдается появление, например, таких газов, как метан, этан и водород, при электроокислении спиртов, а также СО и СО<sub>2</sub> при электроокислении альдегидов. Наряду с этим предполагается, что электролиз начинается с разряда на электроде анионов, образующихся в результате диссоциации:

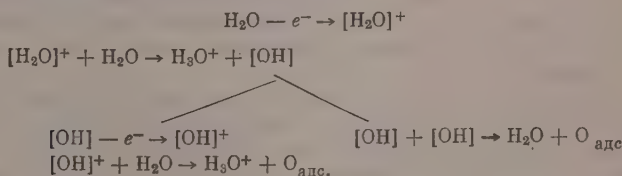


таких взглядов на электроокисление спиртов и альдегидов, в частности, придерживаются Мюллер и Леб [2].

Наши представления о сущности электроокисления неионизированных соединений несколько отличаются от вышеизложенных, так как основываются на предположении, что электролиз начинается с разряда катионов, образовавшихся в результате непосредственного перехода электронов от нейтральных молекул к электроду\*.

Кроме того, по нашему мнению, образующиеся радикалы необязательно должны взаимодействовать между собой, как это обычно происходит в объеме. Образовываясь на поверхности электрода, они могут подвергнуться дальнейшему электролизу с получением устойчивого продукта (ацетальдегида в случае электроокисления этилового спирта) или взаимодействовать с радикалами [ОН], как это, по-видимому, имеет место при электролитическом окислении ацетальдегида. В этом случае выделение газов может не происходить, и мы действительно их не обнаружили ни в случае этилового спирта, ни в случае ацетальдегида.

Интересно будет отметить, что электроокисление ацетальдегида в принципе протекает аналогично разряду молекул воды, механизм которого можно представить следующей схемой:



Как указывалось выше, скорость электроокисления ацетальдегида резко возрастает с того момента, когда на электроде появляются радикалы [ОН]. В то же время, по мере увеличения анодного потенциала, возрастает и скорость разряда молекул воды, что приводит к увеличению концентрации [ОН] на поверхности электрода. При достаточной концентра-

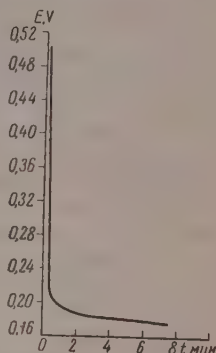


Рис. 3. Кривая изменения потенциала во времени при введении ацетальдегида на дегазированную поверхность платины

\* Диссоциация  $\text{CH}_3\text{CH}_2\text{OH} \rightleftharpoons \text{CH}_3\text{CH}_2\text{O}^- + \text{H}^+$ , по-видимому, не имеет места, так как она будет полностью подавлена в присутствии сильных кислот.

ции  $[\text{OH}]$ , наряду с процессом  $[\text{CH}_3\text{CO}] + [\text{OH}] \rightarrow \text{CH}_3\text{COOH}$  начинается электролиз радикалов  $[\text{OH}]$ , а также непосредственное взаимодействие этих радикалов между собой. Последние два процесса приводят к появлению адсорбированного кислорода, и поскольку при этом наблюдается спад силы поляризующего тока, необходимо принять положение об относительно малой реакционной способности адсорбированного кислорода и его тормозящем действии на обмен электронами между молекулами ацетальдегида и электродом.

Малая реакционная способность кислорода, в частности, для данного случая объясняется и невозможностью получения уксусной кислоты в результате реакции  $[\text{CH}_3\text{CO}] + \text{O}_{\text{адс}}$ .

Наличие на поверхности электрода в момент спада адсорбированного кислорода может быть доказано прямыми опытами.

Так, если на отравленном ртутью электроде проводить электроокисление ацетальдегида, то видимое почернение поверхности, связанное с окислением ртути, в точности соответствует началу спада силы тока. Кроме того, отключение тока в различных частях нисходящей ветви поляризационной кривой показывает, что потенциал электрода при этом сохраняет некоторое время значение, характерное для окисленной платины. Таким образом электроокисление ацетальдегида протекает по электронно-радикальному механизму, и появление на электроде адсорбированного кислорода не только не способствует процессу, но даже приводит к уменьшению его скорости, что на поляризационной кривой отражается в виде спада силы тока.

Однако довольно часто поляризационные кривые окисления ацетальдегида имеют форму, несколько отличную от приведенных выше. Так на рис. 1 отражена поляризационная кривая, полученная в условиях, когда электроокисление ацетальдегида в достаточно большом интервале потенциалов протекает с крайне незначительной скоростью. Как следует из рисунка, в этом случае заметное электроокисление начинается лишь при потенциале 1,5 В, и спада силы тока при этом не наблюдается. Оказывается, форма поляризационных кривых окисления ацетальдегида в значительной степени зависит от активности электрода. Такую чувствительность ацетальдегида к состоянию поверхности электрода мы объясняем исходя из того, что в электроокислении принимают участие радикалы  $[\text{OH}]$ .

На малоактивных электродах перенапряжение разряда молекул воды повышено, вследствие чего образование радикалов  $[\text{OH}]$  происходит при высоком анодном значении потенциала (в нашем случае при 1,4—1,5 В).

На электродах средней активности перенапряжение разряда молекул воды мало, и появление радикалов  $[\text{OH}]$  может иметь место при более высоких катодных потенциалах (при потенциале 1В). В связи с этим уместно будет отметить, что в ряде случаев предварительная анодная и катодная обработка приводит к заметному увеличению скорости электроокисления ацетальдегида\*, вероятно, вследствие значительного снижения перенапряжения.

В свете этих представлений становится понятным, почему анализ продуктов электролиза этилового спирта в одних случаях показывает 100%-ный выход ацетальдегида только до потенциала 1В [3], а в других — вплоть до потенциала 1,4 В [2]. По-видимому, в последнем случае электрод характеризовался высоким значением перенапряжения разряда молекул воды, и вследствие этого дальнейшее окисление образовавшегося ацетальдегида начиналось лишь при потенциале 1,4 В.

Из приведенного материала следует, что ацетальдегид очень чувствителен к состоянию поверхности, и в зависимости от способа приготовления электрода, а также от предварительной его обработки, можно получать

\* Однако такая активация оказывается временной, и последовательное проведение серии опытов приводит к восстановлению первоначальной активности.

поляризационные кривые той или иной формы. В то же время такая чувствительность ацетальдегида к состоянию поверхности электрода, безусловно, будет сказываться на форме поляризационной кривой окисления спиртового спирта, поскольку при электроокислении последнего ацетальдегид образуется как промежуточная форма.

### Выводы

1. Электроокисление ацетальдегида в уксусную кислоту протекает электронно-радикальному механизму.
2. Форма поляризационных кривых окисления ацетальдегида может быть различной в зависимости от состояния и предварительной обработки поверхности.
3. В случае, если поляризационная кривая окисления ацетальдегида проходит через максимум, то наблюдающийся спад тока связан с появлением на электроде адсорбированного кислорода.

Московский государственный  
университет им. М. В. Ломоносова

Поступила  
21.I.1958

### ЛИТЕРАТУРА

Г. А. Богдановский и А. И. Шлыгин, Ж. физ. химия, **31**, 2428, 1957.  
К. Брокман, Электрохимия органических соединений, Химтеоретиздат, 1937.  
Глестон, Введение в электрохимию, 1951.

## MECHANISM OF ELECTROOXIDATION OF ALCOHOLS ON PLATINUM.

### II. ON THE MECHANISM OF ELECTROOXIDATION OF ACETALDEHYDE

*G. A. Bogdanovskii and A. I. Shlygin (Moscow)*

#### S u m m a r y

The electrooxidation of acetaldehyde to acetic acid proceeds in accordance with the electron-radical mechanism. The shape of the polarization curves for the oxidation of acetaldehyde may vary depending upon the state and preliminary treatment of the surface.

Provided the polarization curve for the oxidation of acetaldehyde passes through a maximum, the drop in current observed is connected with the appearance of adsorbed oxygen on the electrode.

РАДИАЦИОННО-ХИМИЧЕСКИЕ ПРЕВРАЩЕНИЯ  
ДИИЗОПРОПИЛОВОГО ЭФИРА В ВОДНОМ РАСТВОРЕ

В. В. Сараева и Н. С. Колосова

В последнее время уделяется много внимания изучению изменений происходящих под действием ионизирующих излучений в водных растворах простых органических соединений. В настоящей статье приводятся результаты исследования радиационно-химических превращений диизопропилового эфира в водном растворе. Полученные данные трактуются с точки зрения взаимодействия растворенного вещества с продуктами радиолиза воды.

## Экспериментальная часть

**Методика.** Насыщенный водный раствор диизопропилового эфира (0,02 М) облучался при комнатной температуре рентгеновскими лучами от установки типа РЭН-1М, работавшей при режиме 80 кВ и 15 мА. Мощность дозы определялась по окислению  $\text{FeSO}_4$  в  $0,8 \text{ N H}_2\text{SO}_4$  и составляла для различных ячеек от  $2 \cdot 10^{16} \text{ eV/cm}^2 \text{ сек}$ . Выход окисления  $\text{Fe}^{2+}$  принимался равным 15,5 молекул/100 eV [1]. Облучение растворов, насыщенных  $\text{O}_2$ ,  $\text{H}_2$  или  $\text{N}_2$ , проводилось в закрытых стеклянных ячейках с тонкой мембраной. Так как употреблявшаяся рентгеновская установка позволяла проводить непрерывное облучение только в течение 30 мин., то в специально поставленных опытах было показано, что перерывы в облучении не оказывают влияния на накопление продуктов.

Проданный диизопропиловый эфир перегонялся в присутствии солей железа для разрушения присутствующих в нем перекисей, затем многократно промывался водой.

Перекись водорода и изопропиловый спирт, вводимые в качестве добавок в облучаемый раствор, очищались двукратной перегонкой. Ацетон кипятился с  $\text{KMnO}_4$  и затем перегонялся.

В облученных растворах проводился анализ на перекиси, кислоты, карбонильные соединения и спирт. Спирты определялись спектрофотометрически в виде алкилнитритов [2]. Эфир в концентрации 0,02 М не мешает определению спирта. Ацетон определялся колориметрически по реакции с салициловым альдегидом [3]. В связи с тем, что методом исследования кинетики выделения йода было установлено в облученном растворе отсутствие других перекисей кроме перекиси водорода, определение проводилось по реакции с сульфатом титана [4]. Альдегиды и кислоты в облученном растворе не обнаружены.

## Обсуждение результатов

В облученном водном растворе диизопропилового эфира состав продуктов и характер их накопления меняются в зависимости от насыщающего раствор газа. В присутствии кислорода обнаружены перекись водорода, спирт и ацетон; в присутствии азота — спирт и ацетон, в водороде обнаружены только ацетон. На рис. 1 и 2 приведены результаты исследования накопления продуктов в присутствии различных газов.

Для изучения взаимного влияния продуктов облучались растворы эфира, в которые вводились  $\text{H}_2\text{O}_2$ , ацетон и изопропиловый спирт. Добавка ацетона в концентрации  $1 \cdot 10^{-3} \text{ M}$  в присутствии  $\text{O}_2$  не приводит к изменениям начальных скоростей накопления спирта и перекиси водорода. Изопропиловый спирт в концентрациях  $1 \cdot 10^{-3}$  и  $3,4 \cdot 10^{-4} \text{ M}$  не оказывает влияния на образование ацетона и перекиси водорода. Начальные выходы продуктов, вычисленные из начальных линейных участков кривых накопления, приведены в табл. 1.



Таблица 1

Начальные выходы продуктов, образующихся при облучении диизопропилового эфира в водном растворе

Условия опыта	Выход, молекул/100 еV		
	G (ацетон)	G. (спирт)	G (H <sub>2</sub> O <sub>2</sub> )
Насыщение N <sub>2</sub>	3,00±0,10	< 0,15	<0,15
То же N <sub>2</sub>	3,00±0,10	1,00±0,15	< 0,15
» » O <sub>2</sub>	1,40±0,10	1,40±0,15	1,45±0,15
Добавка спирта, насыщение O <sub>2</sub>	1,45±0,15	—	1,35±0,15
Добавка ацетона, насыщение O <sub>2</sub>	—	1,40±0,15	1,50±0,15

Добавка H<sub>2</sub>O<sub>2</sub> в концентрации 5 · 10<sup>-4</sup> M оказывает заметное влияние на процесс радиоллиза эфира. На рис. 3 показан рост концентрации этона и спирта и изменение концентрации H<sub>2</sub>O<sub>2</sub> в зависимости от дозы

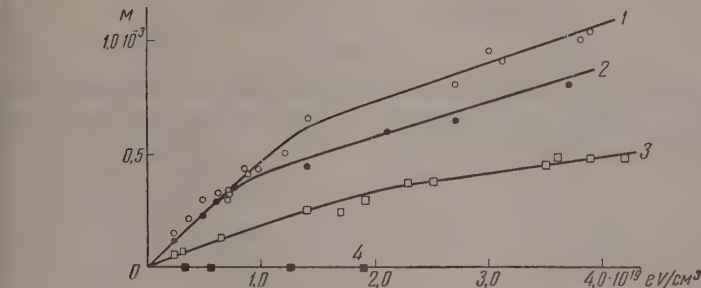


Рис. 1. Накопление ацетона и спирта при облучении водного раствора диизопропилового эфира в присутствии N<sub>2</sub> и N<sub>2</sub>: 1—ацетон в присутствии N<sub>2</sub>, 2 — ацетон в присутствии N<sub>2</sub>, 3 — спирт в присутствии N<sub>2</sub>, 4 — спирт в присутствии N<sub>2</sub>

и насыщении раствора кислородом. На рис. 4 приведены соответствующие данные по накоплению ацетона и спирта и распаду H<sub>2</sub>O<sub>2</sub> в присутствии N<sub>2</sub> или H<sub>2</sub>.

В табл. 2 приведены значения выходов продуктов во время распада перекиси водорода в соответствии с рис. 2, 3 и 4. Выход ацетона выисляется в области резкого подъема его концентрации, выход распада H<sub>2</sub>O<sub>2</sub> — в области значительного снижения.

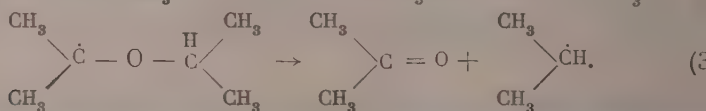
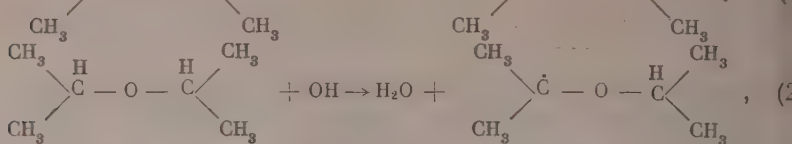
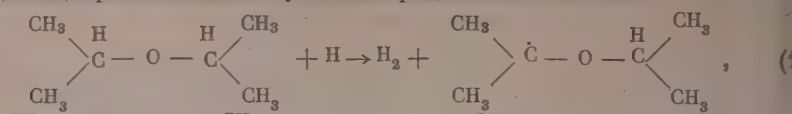
Таблица 2

Выходы продуктов при быстром распаде H<sub>2</sub>O<sub>2</sub>

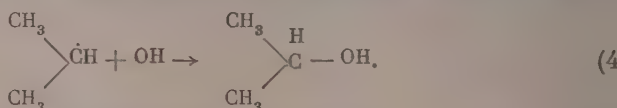
Условия опыта	Выход, молекул/100 еV		
	G (ацетон)	G (спирт)	G (H <sub>2</sub> O <sub>2</sub> )
Без добавки H <sub>2</sub> O <sub>2</sub> , насыщение O <sub>2</sub>	5—6	0	4—5
Добавка H <sub>2</sub> O <sub>2</sub> , насыщение N <sub>2</sub>	7	1,7±0,20	5
Добавка H <sub>2</sub> O <sub>2</sub> , насыщение N <sub>2</sub>	7	1,7±0,20	5
Добавка H <sub>2</sub> O <sub>2</sub> , насыщение O <sub>2</sub>	6—7	1,8±0,20	4—5

В 0,02 M водном растворе диизопропилового эфира первичными продуктами радиоллиза являются Н, ОН и H<sub>2</sub>O<sub>2</sub> и H<sub>2</sub>. Образование продуктов

превращения диизопропилового эфира можно представить следующим реакциями, протекающими с участием радикалов Н и ОН:



Образование спирта можно объяснить реакцией взаимодействия радикалом ОН:



При взаимодействии радикалов  $i\text{-}\dot{\text{C}}_3\text{H}_7$  с атомом Н, возможно, образуется пропан, а из двух радикалов  $i\text{-}\dot{\text{C}}_3\text{H}_7$  — диметилбутан, которые в настоящей работе не определялись.

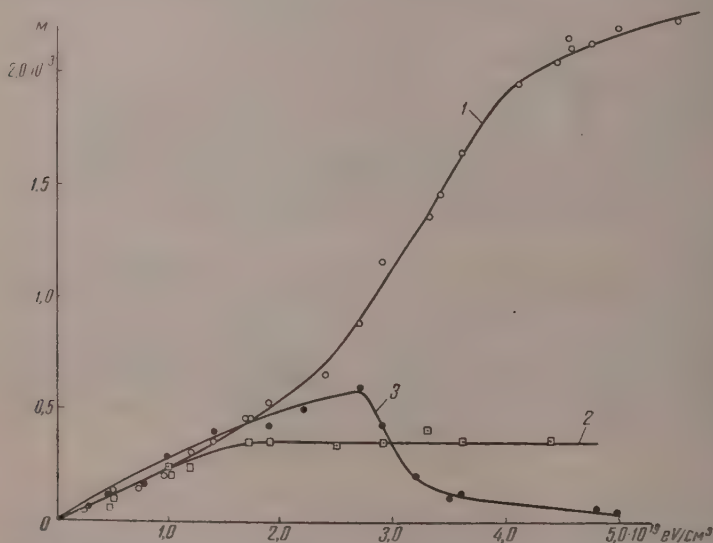


Рис. 2. Накопление: 1 — ацетона, 2 — спирта, и 3 — перекиси водорода при облучении водного раствора диизопропилового эфира в присутствии  $\text{O}_2$

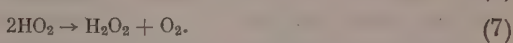
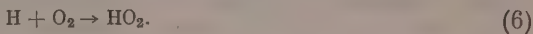
Действительно в присутствии азота в соответствии с приведенной схемой наблюдается образование ацетона и спирта. В присутствии водорода спирт не образуется, что указывает на малое количество радикалов ОН в системе. Исчезновение радикалов ОН можно объяснить протеканием реакции



Из сопоставления значений начальных выходов продуктов радиолитического распада в присутствии водорода, азота или кислорода, приведенных в табл. 1, можно

лючить, что реакция (5) протекает количественно. Равенство выходов ацетона в атмосферах  $H_2$  и  $N_2$  указывает на достаточно высокую скорость реакции диизопропилового эфира с  $H$  и  $OH$  и на равновероятность взаимодействия  $H$  и  $OH$  с молекулой эфира.

В присутствии кислорода кроме реакций (2), (3) и (4) протекают реакции, приводящие к образованию перекиси водорода



Образование ацетона в присутствии  $O_2$  с выходом, в два раза меньшим, чем в отсутствие  $O_2$ , указывает на большую скорость реакции (6) и на низкую эффективность взаимодействия радикала  $HO_2$  с молекулой диизопропилового эфира по сравнению с радикалами  $H$  и  $OH$ .

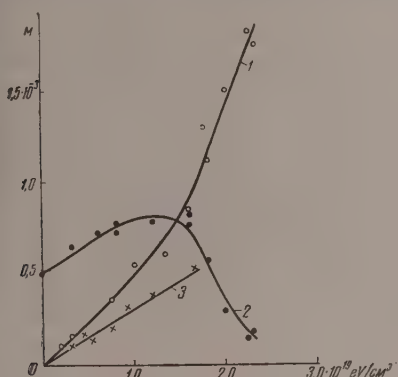


Рис. 3

Рис. 3. Добавка перекиси водорода. Накопление: 1 — ацетона; 2 — спирта и 3 —  $H_2O_2$  в присутствии  $O_2$

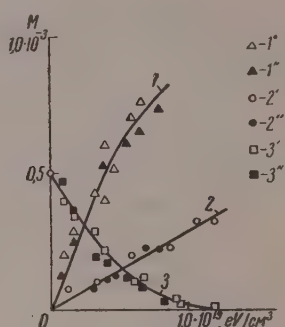
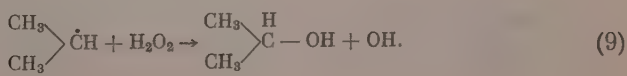


Рис. 4

Рис. 4. Добавка перекиси водорода. Накопление ацетона и спирта и распад перекиси водорода в присутствии  $N_2$  и  $H_2$ : 1 — ацетон, 1' — в присутствии  $N_2$ , 1'' — в присутствии  $H_2$ , 2 — спирт, 2' — в присутствии  $N_2$ , 2'' — в присутствии  $H_2$ , 3 — перекись водорода; 3' — в присутствии  $N_2$ , 3'' — в присутствии  $H_2$

В присутствии кислорода рост концентрации ацетона вначале происходит линейно с дозой, затем скорость образования увеличивается. Одновременное наступление распада  $H_2O_2$  и увеличения скорости накопления ацетона указывает на взаимосвязь этих процессов. Опыты, проведенные с добавкой перекиси водорода до начала облучения, подтверждают это предположение. Данные, приведенные на рис. 2 и 4, показывают, что накопление ацетона с высоким выходом продолжается до тех пор, пока происходит распад перекиси водорода. Когда перекись разрушена, выход образования ацетона падает и приближается к начальным значениям. Высокие значения выходов распада  $H_2O_2$  и образования продуктов указывают на протекание процессов с короткими цепями. Распад  $H_2O_2$  может происходить при участии атомов  $H$  и радикалов  $i-C_3H_7$  по реакциям:



На участке радикалов  $i\text{-}\dot{\text{C}}_3\text{H}_7$  в распаде перекиси указывает образование спирта в атмосфере  $\text{H}_2$  в опытах с добавкой  $\text{H}_2\text{O}_2$ . Отсутствие перекиси водорода в растворах эфира, облученных в присутствии  $\text{H}_2$  или  $\text{N}_2$ , также связано с протеканием реакций (8) и (9), при этом в растворах, насыщенных водородом, преобладает реакция (8).

На основании предложенной схемы реакций можно рассчитать количество первичных радикалов, участвующих в образовании продуктов. В присутствии  $\text{O}_2$  такой расчет возможен, так как трудно ожидать образования углеводородов. Согласно реакциям (2)—(6) и (7)

$$G_{(\text{OH})} + G_{(\text{H})} + G_{(\text{H}_2\text{O}_2)} = G_{(\text{ан})} + G_{(\text{сп})} + 2G_{(\text{H}_2\text{O}_2)} = 5,7 \pm 0,4 \text{ рад./100 eV.}$$

Для суммы тех же первичных продуктов Фанг и Бэртон [5] нашли в случае водного раствора бензола величину 6,9 рад./100 eV, а Харт [6] для раствора муравьинокислого натрия — 6,8 рад./100 eV. Полученное нами более низкое значение, по-видимому, связано с протеканием реакций (8) и (9), а также с наличием неучтенных нами продуктов превращения диизопропилового эфира, кроме ацетона и спирта. Дальнейшие исследования по влиянию концентрации диизопропилового эфира и pH раствора на выходы продуктов радиолиза эфира даст возможность более точно оценить потребление  $\text{H}$ ,  $\text{OH}$ ,  $\text{H}_2\text{O}_2$ .

В процессе облучения водных растворов в присутствии  $\text{O}_2$  создаются условия, при которых рост концентрации  $\text{H}_2\text{O}_2$  прекращается. Присутствие органических веществ, способных взаимодействовать с радикалами, образовавшимися при распаде  $\text{H}_2\text{O}_2$ , приводит к быстрому распаду  $\text{H}_2\text{O}_2$ , а не к установлению стационарной концентрации, как это наблюдается при радиолизе чистой воды [7]. Джойсон, Сколс и Вайс [8] наблюдали одновременный распад перекисей и образование дополнительных количеств ацетальдегида при облучении этилового спирта в водном растворе в присутствии воздуха.

Рассмотренные явления характерны также и для процесса радиационно-химического окисления индивидуальных органических веществ молекулярным кислородом в замкнутой системе. На примере радиационно-химического окисления уксусной кислоты одним из авторов [9] было показано, что накопление перекисных соединений происходит до определенных концентраций, затем происходит их распад, сопровождающийся дополнительным образованием других продуктов ( $\text{CH}_4$  и  $\text{CO}_2$ ). Образование  $\text{CH}_4$  и  $\text{CO}_2$  при этом происходит за счет взаимодействия радикалов перекиси ацетила с молекулами уксусной кислоты.

Авторы выражают искреннюю благодарность проф. Н. А. Б. за обсуждение результатов и интерес к настоящей работе.

### Выводы

1. Исследовано радиационно-химическое превращение диизопропилового эфира в водном растворе. Показано, что состав и выходы продуктов радиолиза эфира зависят от газа, насыщающего раствор.
2. Исследованы вторичные процессы, протекающие в присутствии в облучаемой системе.
3. Предложен механизм протекающих реакций.

Московский государственный  
университет им. М. В. Ломоносова

Поступила  
22.1.1958

### ЛИТЕРАТУРА

1. R. H. Schuler, A. C. Allen, J. Chem. Phys., 24, 56, 1956.
2. С. А. Щукарев, С. П. Андреев, А. А. Островская, Ж. анал. химии, 9, 354, 1954.
3. Р. Блок, Д. Волинг, Аминокислотный состав белков и пищевых продуктов, ИИЛ, М., 1949, стр. 186.



- W. Eggersgluss, *Organische Peroxide*, Weinheim-chemie, Leipzig, 1951.  
 P. V. Phung, M. Burton, *Rad. Res.*, **7**, 199, 1957.  
 E. J. Hart, *J. Amer. Chem. Soc.*, **76**, 4198, 1954.  
 П. И. Долин. Статья в Сборнике работ по радиационной химии, Изд-во АН СССР, М., 1955, стр. 7.  
 G. G. Jayson, G. Scholes, J. Weiss, *J. Chem. Soc.*, 1358, 1957.  
 П. А. Бах, В. В. Сараева, статья в Сборнике работ по радиационной химии, Изд-во АН СССР, М., 1955, стр. 175.

## RADIATION INDUCED REACTIONS OF ISOPROPYL ETHER IN AQUEOUS SOLUTION

*V. V. Saraeva and N. S. Kolosova (Moscow)*

### Summary

The action of x-rays on isopropyl ether in aqueous solution has been studied in the presence of different gases. In a  $N_2$ -saturated solution the products observed were acetone and alcohol; in the presence of  $O_2$  hydrogen peroxide was also formed and in the presence of  $H_2$  only acetone could be revealed, the yield of the latter being the lowest in the presence of oxygen. The results obtained lead to the conclusion that the reactivity of the  $HO_2$  radical towards the isopropyl ether molecule is less than that of  $H$  and  $OH$ . The absence of alcohol in the  $H_2$ -saturated solutions shows that the reaction  $H_2 + OH \rightarrow H_2O + H$  proceeds with relatively high velocity. In the presence of oxygen hydrogen peroxide is first formed and then decomposes with the production of additional acetone. The decomposition is due to reaction with  $H$  and  $i-C_3H_7$  radicals.

## ЭЛЕКТРИЧЕСКАЯ ТЕОРИЯ ОЗОНАТОРОВ

V. К ВОПРОСУ О КОЭФФИЦИЕНТЕ МОЩНОСТИ ОЗОНАТОРОВ

Ю. В. Филиппов и Ю. М. Емельянов

Коэффициент мощности озонаторов, т. е. отношение его активной мощности к вольтамперной, играет большую роль при расчете озонных установок.

О величине коэффициента мощности озонаторов и ее зависимости от различных параметров в литературе имеются весьма противоречивые данные. Эвель [1], исследуя зависимость коэффициента мощности от величины напряжения на зажимах озонатора для озонаторов с различными разрядными промежутками нашел, что коэффициент мощности при увеличении напряжения проходит через максимум. Кроме того, им было найдено, что по мере увеличения величины разрядного промежутка коэффициент мощности растет и достигает значений порядка 0,8—0,9. Варбургом и Лейтхаузером [2] были получены аналогичные результаты. Они нашли, кроме того, что повышение частоты с 50 до 180 *гц* приводит к увеличению коэффициента мощности от 0,32 до 0,54 и при дальнейшем увеличении частоты коэффициент мощности приближается к единице, а затем снова уменьшается. Нернст [3], исследуя разряд в озонаторах осциллографическим методом, нашел, в противоположность ранее упомянутым авторам, что коэффициент мощности не зависит от напряжения, подаваемого на электроды озонатора. Он также показал, что с ростом частоты, при постоянном напряжении, коэффициент мощности увеличивается. Исследуя зависимость коэффициента мощности от величины разрядного промежутка, автор пришел к выводу, что по мере роста величины разрядного промежутка коэффициент мощности увеличивается.

Зусс и Бринне [4], определяя мощность озонатора калориметрическим методом, получили значения коэффициента мощности от 0,11 до 0,37. Они, кроме того, нашли, что коэффициент мощности озонатора сильно зависит от скорости потока и от давления газа в озонаторе.

Причиной такого разнообразия и неопределенности значений коэффициента мощности является сложность зависимости его как от различных электрических параметров, так и от параметров, характеризующих состояние газа в озонаторе (состав, температура, давление, скорость потока газа и т. д.). Кроме того, на точность полученных различными авторами результатов оказывали, безусловно, существенное влияние трудности экспериментального определения активной и вольтамперной мощностей. При экспериментальном осциллографическом определении мощности некоторыми авторами также часто допускались существенные ошибки. Например, Беккер [5] нашел, что при частоте 50 *гц* в стеклянных барьерах теряется до 30% всей энергии, подводимой к озонатору. Такой результат, безусловно, является неправильным и мог быть получен только вследствие ошибки при интерпретации осциллографических кривых. Следует еще отметить, что все перечисленные работы носили чисто экспериментальный характер, без какого-либо теоретического объяснения полученных результатов.

Из теоретического рассмотрения динамических вольтамперных характеристик озонаторов [6] можно видеть, что сдвиг фаз  $\varphi$  между кривыми тока и напряжения всегда практически равен  $\pi/2$ , вследствие же активной мощности в озонаторе обусловлено искажением формы кривой тока. Из этого следует, что коэффициент мощности не определяется сдвигом фаз между током и напряжением и не может быть отождествлен с  $\cos \varphi$ , как это иногда пытались сделать [1]; поэтому для расчета коэффициента мощности необходимо использовать его общее определение как отношения активной мощности озонатора к его вольтамперной мощности.

Приведенные нами ранее расчеты активной мощности [7] и статических вольтамперных характеристик озонаторов [8] позволяют перейти к теоретическому рассмотрению вопроса о коэффициенте мощности и его

зависимости от различных параметров. Существенную роль при этом играет само определение вольтамперной мощности. Обычно под вольтамперной мощностью понимают произведение эффективных значений тока и напряжения. Как можно видеть из дальнейшего, в этом случае для коэффициента мощности озонаторов  $\eta$  получается сложное выражение, практическое использование которого мало удобно. Более простое выражение для определения коэффициента мощности озонаторов  $\eta'$  получается, если считать за вольтамперную мощность произведение амплитудного значения напряжения на среднее значение тока. Кроме того, в этом случае определение самой величины вольтамперной мощности более просто, так как расчет или экспериментальное измерение средних значений тока в озонаторах более удобны, чем расчет или измерение эффективных значений тока [8]. Коэффициенты мощности  $\eta$  и  $\eta'$ , рассчитанные при рассмотренных выше определениях вольтамперной мощности, не родственны друг другу. Поэтому мы рассмотрим оба определения коэффициента мощности. Используя уравнения для определения активной мощности озонаторов [7] и эффективного значения силы тока [8], получим для коэффициента мощности  $\eta$  следующее выражение:

$$\eta = \frac{U}{V_{\text{эфф}} I_{\text{эфф}}} = \frac{4 \sqrt{2} V_r [(V_0 - V_r) C_6 - V_r C_{\Pi}]}{\sqrt{\pi} V_0^2 C_6 \sqrt{2A\omega T + A \sin 2\omega T - \pi(A-2)}}, \quad (1)$$

где  $U$  — активная мощность,  $V_{\text{эфф}}$  — эффективное значение напряжения,  $I_{\text{эфф}}$  — эффективное значение тока,  $V_0$  — амплитудное значение напряжения,  $V_r$  — напряжение горения разряда,  $C_6$  и  $C_{\Pi}$  — емкости диэлектрических барьеров и разрядного промежутка озонатора, соответственно,

$$\omega T = \arcsin \left[ 1 - \frac{2V_r(C_6 + C_{\Pi})}{V_0 C_6} \right],$$

$$A = \frac{C_{\Pi}^2}{(C_6 + C_{\Pi})^2} - 1.$$

Из полученного уравнения видно, что коэффициент мощности не зависит от частоты тока (если принять, что напряжение горения  $V_r$  не зависит от частоты). Кроме того, при напряжении на озонаторе, равном критическому [9], коэффициент мощности обращается в нуль, поскольку при этом становится равной нулю активная мощность озонатора [7]. Общий вид зависимости коэффициента мощности  $\eta$  от напряжения выражается кривой 1 рис. 1, рассчитанной по уравнению (1) при следующих значениях параметров:  $V_r = 4000$  В,  $C_6 = 900$  пФ,  $C_{\Pi} = 100$  пФ. Как видно из рисунка, коэффициент мощности быстро растет при напряжениях выше критического, затем проходит через максимум и асимптотически приближается к нулю при напряжении, стремящемся к бесконечности.

Значение коэффициента мощности  $\eta'$  можно рассчитать, используя уравнение для расчета активной мощности озонатора [7] и среднего значения силы тока [8]. В этом случае получим

$$\eta' = \frac{U}{V_0 I_{\text{ср}}} = \frac{V_r [(V_0 - V_r) C_6 - V_r C_{\Pi}]}{V_0 (V_0 - V_r) C_6}. \quad (2)$$

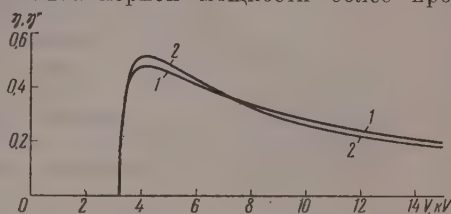


Рис. 1. Зависимость коэффициентов мощности  $\eta$  и  $\eta'$  от напряжения

Упрощая это выражение, будем иметь

$$\eta' = \frac{V_r}{V_0} \left( 1 - \frac{V_r C_{\Pi}}{(V_0 - V_r) C_6} \right). \quad (3)$$

Зависимость  $\eta'$  от напряжения, рассчитанная при тех же значениях параметров, приведена на рис. 1 (кривая 2). Как видно из рисунка, общий вид зависимости  $\eta$  и  $\eta'$  от напряжения имеет аналогичный характер. Различие между ними связано с коэффициентом формы кривых тока и его изменением при изменении напряжения \*. Можно также заметить, что различие между  $\eta$  и  $\eta'$  незначительно, например, для принятых значений параметров, в рабочих пределах изменения напряжения (от 3,3 до 15,0 kV), оно не превышает 10%, чем во многих случаях можно пренебречь при практических расчетах.

Сравнительная простота выражения (3) позволяет легко провести его аналитическое исследование. Прежде всего можно определить значения напряжения, при которых коэффициент мощности  $\eta'$  равен нулю. Из (3) имеем

$$\frac{V_r}{V_0} \left( 1 - \frac{V_r C_{\Pi}}{(V_0 - V_r) C_6} \right) = 0.$$

Этому условию удовлетворяют значения напряжения  $V_0$ , либо равное бесконечности, либо находимое из уравнения:

$$1 - \frac{V_r C_{\Pi}}{(V_0 - V_r) C_6} = 0,$$

т. е.

$$V_0 = V_r \frac{C_6 + C_{\Pi}}{C_6} = V_{\kappa}, \quad (4)$$

где  $V_{\kappa}$  — критическое напряжение зажигания разряда [9]. При напряжениях  $V_0 < V_{\kappa}$  — коэффициент мощности имеет отрицательное значение, что лишено физического смысла. Из уравнения (3) видна также зависимость  $\eta'$  от параметров  $C_6$  и  $C_{\Pi}$ . При увеличении емкости барьеров озонатора, т. е. при уменьшении их толщины или при увеличении диэлектрической постоянной материала барьеров, коэффициент мощности увеличивается. Уменьшение емкости разрядного промежутка приводит к увеличению коэффициента мощности, в соответствии с наблюдениями многих исследователей об увеличении коэффициента мощности с ростом величины разрядного промежутка. Из уравнения (3) можно определить также напряжение, при котором коэффициент мощности достигает максимального значения, а также само максимальное значение коэффициента мощности.

Приравняв первую производную от коэффициента мощности по напряжению нулю и произведя несложные алгебраические преобразования, получим

$$V_{0 \text{ макс}}^2 - 2V_{0 \text{ макс}} V_r \left( 1 + \frac{C_{\Pi}}{C_6} \right) + V_r^2 \left( 1 + \frac{C_{\Pi}}{C_6} \right) = 0, \quad (5)$$

\* Если бы коэффициент формы имел постоянное значение (как, например, для синусоиды  $\kappa = 1,116$ ), т. е. не зависел бы от напряжения, то кривые 1 и 2 рис. 1 отличались бы только масштабом по оси ординат. Переход от  $\eta'$  к  $\eta$  связан с определением коэффициента формы кривой и его зависимости от различных параметров, на чем мы остановимся в одной из следующих статей.



ая это уравнение относительно  $V_{0 \text{ макс}}$ , найдем

$$V_{0 \text{ макс}} = V_{\Gamma} \left( 1 + \frac{C_{\Pi}}{C_{\delta}} \right) \left( 1 \pm \sqrt{\frac{C_{\Pi}}{C_{\delta} + C_{\Pi}}} \right). \quad (6)$$

так как  $V_{\Gamma} \frac{C_{\delta} + C_{\Pi}}{C_{\delta}} = V_{\kappa}$ , следовательно:

$$V_{0 \text{ макс}} = V_{\kappa} \left( 1 \pm \sqrt{\frac{C_{\Pi}}{C_{\delta} + C_{\Pi}}} \right). \quad (7)$$

Решение этого уравнения со знаком минус перед корнем не имеет физического смысла, так как в этом случае получается, что  $V_{0 \text{ макс}} < V_{\kappa}$ , следовательно, разряд не горит. Поэтому в дальнейшем рассматривается только решение со знаком плюс перед знаком корня. Подкоренное выражение этого уравнения не может быть больше единицы; следовательно, значение  $V_{0 \text{ макс}}$  не может быть больше удвоенного критического напряжения, причем оно приближается к этому значению ( $2V_{\kappa}$ ) при уменьшении величины разрядного промежутка или при уменьшении емкости барьеров  $C_{\delta}$ . Этот вывод соответствует экспериментальным данным, которые мы рассматриваем ниже.

Подставив в формулу (3) значение  $V_{0 \text{ макс}}$  из уравнения (6), получим выражение для максимального значения коэффициента мощности

$$\eta'_{\text{макс}} = \frac{C_{\delta}}{(C_{\delta} + C_{\Pi}) \left( 1 + \sqrt{\frac{C_{\Pi}}{C_{\delta} + C_{\Pi}}} \right)^2}. \quad (8)$$

Это выражение интересно тем, что в него входят только величины емкостей разрядного промежутка и диэлектрических барьеров озонатора. Следовательно, максимальное значение коэффициента мощности не зависит от электрических свойств газа, находящегося в озонаторе, поскольку в формулу не входит напряжение горения разряда  $V_{\Gamma}$ , определяемое свойствами газа, а зависит только от конструктивных параметров озонатора (геометрические размеры и диэлектрическая постоянная барьеров). Уравнение (8) можно преобразовать также к виду

$$\eta'_{\text{макс}} = \frac{1}{\left( \sqrt{1 + \frac{C_{\Pi}}{C_{\delta}}} + \sqrt{\frac{C_{\Pi}}{C_{\delta}}} \right)^2}, \quad (9)$$

из которого видно, что максимальный коэффициент мощности не зависит от абсолютных значений  $C_{\delta}$  и  $C_{\Pi}$ , а зависит только от их отношения, причем при увеличении отношения  $C_{\Pi}/C_{\delta}$  коэффициент мощности уменьшается. Отношение  $C_{\Pi}/C_{\delta}$  играет в данном случае роль безразмерного критерия подобия.

На рис. 2 приведен график зависимости максимального коэффициента мощности от  $C_{\Pi}/C_{\delta}$ . Стрелками под рисунком показаны также направления изменения основных конструктивных параметров озонатора (величина разрядного промежутка, толщина и диэлектрическая постоянная барьеров озонатора). Как видно из рисунка, максимальный коэффициент мощности при  $C_{\Pi}/C_{\delta} \rightarrow 0$  достигает значения, равного единице, а при  $C_{\Pi}/C_{\delta} \rightarrow \infty$  асимптотически приближается к нулю. Однако достижение предельных значений максимального коэффициента мощности практически невозможно. Область вероятного изменения отношения  $C_{\Pi}/C_{\delta}$ , с которой приходится встречаться, практически показана на рис. 2 пунктирными прямыми.

Таблица 1

Напряже- ние, кВ	Величина разрядного промежутка, миллиметры																
	4,2																
	2,9																
	2,1																
1,0		Скорость потока кислорода, л/час															
6	30	3	6	10	20	29,5	3	6	10	20	30	3	10	30	80*	340**	
4,0	0,275	0,317	—	—	—	—	—	—	—	—	—	—	—	—	—	—	
4,5	—	—	—	—	—	0,434	—	—	—	—	—	—	—	—	—	—	
5,0	0,330	0,388	—	—	0,295	0,358	0,386	—	—	—	—	—	—	—	—	—	
5,5	0,368	—	0,189	0,277	0,371	0,482	0,480	—	—	—	—	—	—	—	—	—	
6,0	0,344	0,313	0,320	0,378	0,482	0,518	0,511	—	—	—	—	—	—	—	—	—	
6,5	—	—	0,464	0,477	0,515	0,516	0,516	0,448	0,168	0,262	0,393	—	—	—	—	—	
7,0	0,287	0,299	0,488	0,472	0,513	0,495	0,502	0,360	0,315	0,490	—	—	—	—	—	—	
7,5	—	—	0,518	0,482	0,496	0,479	0,483	0,463	0,491	0,520	0,528	—	—	—	—	—	
8,0	0,269	0,264	0,493	0,442	0,463	0,438	0,449	0,556	0,542	0,538	—	0,458	0,342	0,340	0,445	0,531	
8,5	—	—	0,472	0,426	0,449	0,417	0,429	0,527	0,517	0,517	0,494	0,489	0,465	0,405	0,558	0,560	
9,0	0,258	0,258	0,447	0,412	0,421	0,390	0,392	—	—	—	—	—	0,561	0,563	0,532	0,543	
9,5	—	—	0,407	0,385	0,393	0,375	0,377	0,464	0,465	0,465	0,453	0,344	0,510	0,508	0,502	0,520	
10,0	—	0,241	0,383	—	—	—	—	—	—	—	—	—	0,455	0,485	0,473	0,507	
10,5	—	—	—	—	—	—	—	—	—	—	—	—	—	—	0,448	0,486	
11,0	—	—	—	—	—	—	—	—	—	—	—	—	—	—	—	—	
11,5	—	—	—	—	—	—	—	—	—	—	—	—	—	—	—	—	

Примечание: Давление газа в озонаторе 775 мм рт. ст.

Нами было произведено экспериментальное определение зависимости коэффициента мощности  $\eta'$  от напряжения для озонаторов с различной ичиной разрядного промежутка при различных скоростях протока кислорода.

Описание установки, на которой производились измерения, и параметры озонаторов приведены нами ранее [9]. Активная мощность измерялась калориметрическим методом [7]. Вольтамперная мощность вычислялась как произведение амплитудного значения напряжения на среднее значение тока. Амплитудные значения напряжения считывались из эффективных значений, беряемых статическим киловольтметром 15. Среднее значение тока измерялось при помощи миллиамперметра с купроксным вычитателем типа Ц-41. (Подробнее об измерениях напряжения и тока см. в [9].) Коэффициенты мощности определялись для четырех озонаторов с величинами разрядного промежутка 1,0; 2,1; 2,9 и 4,2 мм при изменении напряжения от 4 до 11,5 kV. Скорость протока кислорода изменялась в пределах от 3 до 340 л/с.

Результаты экспериментального определения коэффициентов мощности приведены в табл. 1.

Как видно из таблицы, коэффициент мощности при увеличении напряжения, как это и следует из теории, во всех случаях действительно проходит через максимум. Максимальное значение коэффициента мощности увеличивается с ростом величины разрядного промежутка. Это связано с уменьшением в этом случае отношения  $C_{\Pi}/C_6$ . Экспериментальные значения максимальных коэффициентов мощности хорошо совпадают с теоретически рассчитанным, как это видно из рис. 2, на котором экспериментальные значения максимального коэффициента мощности нанесены в виде точек.

Величины напряжений, при которых достигаются максимальные значения коэффициента мощности  $V_{\max}$ , также зависят от величины разрядного промежутка, увеличиваясь с ростом последнего. Можно также заметить, что значения  $V_{\max}$  не превышают  $2 V_K$ , приближаясь к нему при уменьшении величины разрядного промежутка, как это и следовало ожидать на основании уравнения (7). В табл. 2 приведены соответствующие данные для максимальных коэффициентов мощности при скорости протока кислородом 30 л/час, причем значения  $V_K$  определены по вольтамперным характеристикам (см. рис. в [9]).

Как видно из последнего столбца табл. 2, разность  $2V_K - V_{\max}$  действительно растет при увеличении разрядного промежутка. Экспериментальные данные показывают также, что коэффициенты мощности зависят от скорости протока кислорода, причем при уменьшении скорости общий характер зависимости коэффициентов мощности от напряжения не изменяется, а происходит только смещение ее в сторону более высоких напряжений. В одной из следующих статей будет показано, что это явление связано с изменением состава газа при образовании озона. В связи с этим

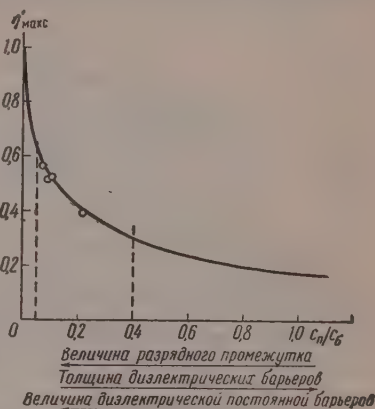


Рис. 2. Зависимость максимального значения коэффициента мощности от величины отношения  $C_{\Pi}/C_6$

Таблица 2

Разрядн. промеж., мм	$2 V_K$	$V_{\max}$	$2 V_K - V_{\max}$
1,0	6 700	5000	1700
2,1	9 800	7000	2800
2,9	13 500	8000	5500
4,2	16 600	9500	7100

интересно отметить, что максимальные значения коэффициентов мощности не изменяются при изменении скорости потока газа, что соответствует выводам, сделанным выше на основании уравнения (8). С этим выводом согласуются также данные по определению коэффициентов мощности в озонаторе с величиной разрядного промежутка 4,2 мм, полученные при различных давлениях (см. Примечание к табл. 1).

Сравнение экспериментальных значений коэффициентов мощности с рассчитанными по уравнению (3) показывает, что хорошее совпадение наблюдается только при сравнительно больших напряжениях, превы-

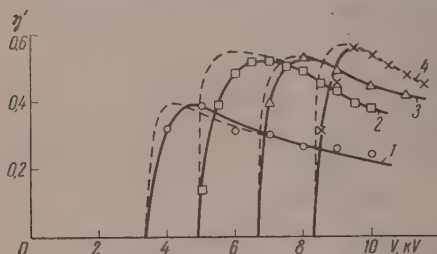


Рис. 3. Зависимость коэффициентов мощности  $\eta'$  от напряжения для озонаторов с различной величиной разрядного промежутка

шающих  $V_{\text{макс}}$ . Это можно видеть из графиков зависимости коэффициентов мощности различных озонаторов при скорости потока кислорода 30 л/час (рис. 3). Экспериментальные значения нанесены на графиках в виде точек. Пунктирные кривые соответствуют значениям коэффициентов мощности, рассчитанным по уравнению (3). При сравнительно низких напряжениях (близких к  $V_K$ ) экспериментальные точки систематически ложатся ниже рассчитанных кривых. Эти отклонения обусловлены причинами, которые вызывали

аналогичное отклонение при расчете вольтамперных характеристик и мощности озонаторов и на которые мы уже указывали ранее [7, 8]. При расчете коэффициентов мощности с учетом этих осложнений (на этом расчете мы остановимся подробнее в одной из следующих статей) получаются кривые, изображенные на графике сплошными линиями. Как видно, в этом случае получается хорошее совпадение с экспериментальными данными во всем интервале изменения напряжения. Общий характер изменения приведенных на графике кривых в зависимости от напряжения и величины разрядного промежутка соответствует рассмотренным выше закономерностям. Следует еще только добавить, что при увеличении разрядного промежутка увеличивается не только максимальное значение коэффициента мощности. Увеличение разрядного промежутка приводит также к повышению коэффициентов мощности при постоянном напряжении, пока это напряжение остается больше  $V_{\text{макс}}$ , увеличивающегося вместе с разрядным промежутком.

## Выводы

1. Выведены уравнения для расчета коэффициента мощности озонаторов, и показана его зависимость от различных параметров.
2. Определены условия получения максимального значения коэффициента мощности. Показано, что максимальное значение коэффициента не зависит от свойств газа, находящегося в озонаторе, а зависит только от отношения емкостей разрядного промежутка и барьеров.
3. Произведено экспериментальное определение коэффициентов мощности для озонаторов с различной величиной разрядного промежутка в широком интервале изменения напряжения и скорости потока кислорода.
4. Показано хорошее согласие экспериментальных результатов с теоретическими расчетами.



## ЛИТЕРАТУРА

- W. Ewell, Amer. J. Sci., 22, 368, 1906.  
Warburg, L. Leithauser, Ann. Physik, 28, 1, 1909.  
ernst, Wied. Ann., 57, 212, 1896.  
Susz, E. Briner, Arch. Jen., 46, 155, 1929.  
Becker, Wiss. Veröff. Siemens Konz., 1, 76, 1920.  
М. Емельянов, Ю. В. Филиппов, Ж. физ. химии, 31, 1628, 1957.  
М. Емельянов, Ю. В. Филиппов, Ж. физ. химии, 33, 1042, 1959.  
В. Филиппов, Ю. М. Емельянов, Ж. физ. химии, 32, 2817, 1958.  
В. Филиппов, Ю. М. Емельянов, Ж. физ. химии, 31, 896, 1957.
- 

ELECTRICAL THEORY OF OZONIZERS. V. CONCERNING THE POWER  
COEFFICIENT OF OZONIZERS*Yu. V. Filippov and Yu. M. Emelyanov (Moscow)*

## Summary

Equations have been derived for calculating the power coefficient of ozonizers and dependence of the coefficient upon different parameters has been shown. Conditions have been determined under which maximum value of the power coefficient is obtained. maximum value of the coefficient has been shown to be independent of the properties of the gas in the ozonizer, depending only on the ratio of the discharge capacities of the electrodes and barriers.

Experimental determination has been made of the power coefficients of ozonizers at different discharge gaps over a wide range of potentials and rates of flow of oxygen. experimental results have been shown to coincide well with the theoretical calculations.

---

# АНОДНОЕ ПОВЕДЕНИЕ АЛЮМИНИЯ В ЭЛЕКТРОПОЛИРОВОЧНОМ ЭЛЕКТРОЛИТЕ ПРИ МАЛЫХ ПЛОТНОСТЯХ ПОЛЯРИЗУЮЩЕГО ТОКА

Г. С. Воздвиженский, В. А. Дмитриев и О. И. Авдеева

Ранее [1, 2] нами были описаны специфические случаи анодного растворения металлов в фосфорнохромовых электролитах при малых плотностях поляризующего тока. В настоящей статье рассматривается случай поведения алюминия в электрополировочном электролите при его анодном растворении.

Специфическая особенность поведения алюминия в интересующих нас условиях заключается прежде всего в высоком выходе металла при анодном растворении при расчете на  $Al^{3+}$ , превышающем 100%. Особенно больших значений выход достигает при плотности тока ниже  $1 \text{ А/дм}^2$ . Кроме того, в последнем случае поверхность растворяющегося образца приобретает особую структуру, образование которой может быть связано с вторичным выделением металла.

Следует ожидать, что рассматриваемый случай анодного растворения металла может быть связан с явлением отрицательного разностного эффекта [3] и имеет в своей основе образование ионов низшей валентности (против обычной) с последующим их превращением под влиянием компонентов электролита или условий электролиза [4].

## Экспериментальная часть

Изучалось анодное поведение образцов из алюминия марки АОО в электрополировочном электролите состава:  $H_3PO_4$  — 65%,  $CrO_3$  — 17,5%,  $H_2O$  — 17,5% [5]. Определялся анодный выход металла по току путем взвешивания образцов до и после электролиза. Образцы готовились из поликристаллического металла (холоднокатаного или отожженного), так же как и из монокристаллов, полученных рекристаллизацией.

Таблица 1

Анодный выход алюминия по току в электрополировочном электролите

Анод	Плотность тока, $\text{А/дм}^2$	Ампер-часы	Выход, %
Холоднокатаный	0,1	0,14	162
	50	0,14	101
	90	0,14	101
Отожженный	0,1	0,14	162
	50	0,14	101
	90	0,14	101
Монокристалл	0,1	0,14	162

Опыты проводились в закрытом электролизере, снабженном обратным холодильником. Анодная и катодная зоны разделялись пористой перегородкой. В анодной зоне находился электрополировочный электролит, в катодной — фосфорная кислота (15,6 N). Катоды были из нержавеющей стали.

Результаты определения анодного выхода металла по току представлены в табл. 1.

В приведенных результатах обращает внимание отсутствие влияния структуры поверхности образца на выход по току. При малых плотностях тока он во всех случаях одинаково высок. При больших плотностях тока выход немного больше 100%.



Рис. 1. Рентгенограммы: *а* — холоднокатаного алюминиевого анода; *б* — порошка, выделившегося на аноде

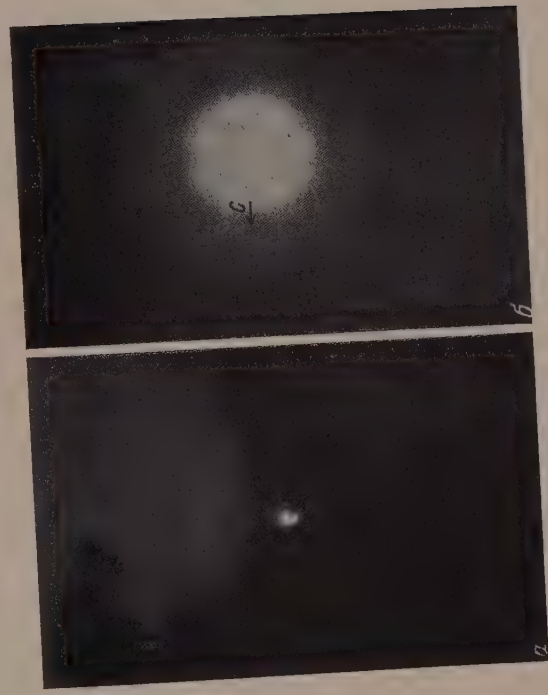


Рис. 2. Электронограммы порошка, выделившегося на аноде: *а* — снято на отражение; *б* — снято на прохождение (*с* — линия, отвечающая окислалюминия)





Исследование электролита анодной зоны показало, что в результате анодирования в нем образуется трехвалентный хром. Количественные данные приведены в табл. 2.

В процессе анодного растворения в электрополировочном электролите малых плотностях поляризующего тока исходная поверхность алюминиевого образца существенно изменяет свою структуру. Внешним образом это проявляется в появлении высокодисперсного порошка темно-серого цвета, который легко стирается с поверхности, представляющей компактный блестящий металл.

Рентгено- и электронографическое исследование порошка\* показало, что он представляет собой кристаллический высокодисперсный алюминий, частицы которого покрыты тонким слоем гидроокиси. На рис. 1 представлены рентгенограммы холоднокатаного алюминиевого анода (а) и выделившегося на аноде порошка (б).

На рис. 2 представлены электронограммы того же порошка, снятые с отражения (а) и на прохождение (б).

Тот факт, что линия, отвечающая гидроокиси алюминия, обнаруживается только при съемке на прохождение, дает основание считать, что мельчайшие частицы алюминия покрыты очень тонким слоем гидроокиси, которая обнаруживается только при значительной толщине осадка.

### Обсуждение результатов

Полученные результаты позволяют считать, что анодное растворение алюминия в электрополировочном электролите (окислительная среда) протекает с частичным образованием ионов низшей валентности. Образовавшиеся одновалентные ионы алюминия восстанавливают шестивалентный хром до трехвалентного, при этом сами окисляются до устойчивого трехвалентного состояния. Окисление ионов одновалентного алюминия возможно также и за счет молекул воды. Кроме того, следует, очевидно, допустить возможность реакции диспропорционирования  $3Al^{+} \rightarrow Al^{3+} + 2Al$ .

Исследование поведения алюминия в окислительных условиях продолжается прежде всего в отношении возможного механизма разностного эффекта на этом металле.

### Выводы

1. Анодное растворение алюминия в электролите, содержащем окислитель, при низких плотностях тока происходит с высоким выходом по току (162%). На поверхности анода образуется дисперсный осадок, состоящий из алюминия и его гидроокиси.
2. Высокий анодный выход алюминия связан с частичным переходом его в раствор в виде одновалентных ионов, которые немедленно частично диспропорционируют, образуя металл и трехвалентный ион, а частично окисляются в околоанодной зоне шестивалентным хромом.

Казанский филиал Академии наук СССР  
Химический институт

Поступила  
27.I.1958

\* Выполнено в лаборатории физико-химических методов исследования Химического института Казанского филиала АН СССР Ю. И. Созиным и В. А. Христофоровым.

## ЛИТЕРАТУРА

1. Г. С. Воздвиженский, А. Ш. Валеев, Г. А. Горбачук, Докл. АН СССР, 108, 299, 1956.
2. О. И. Авдеева, Г. С. Воздвиженский, В. А. Дмитриев, Изв. Казанского фил. АН СССР, сер. хим. н., 3, 119, 1957.
3. Д. В. Кокоулина, П. Н. Кабанов, Докл. АН СССР, 112, 692, 1957.
4. E. Rajola, A. W. Davidson, J. Amer Chem. Soc., 78, 556, 1956.
5. О. И. Авдеева, Г. С. Воздвиженский, Изв. Казанск. фил. АН СССР, сер. хим. н., 3, 95, 1957.

ANODIC BEHAVIOR OF ALUMINUM IN AN ELECTROPOLISHING  
ELECTROLYTE AT SMALL POLARIZING CURRENT DENSITIES

*G. S. Vozdvizhenskii, V. A. Dmitriev and O. A. Avdeeva (Kazan')*

## Summary

The low current density anodic dissolution of aluminum in an electrolyte containing an oxidant takes place with high current efficiency (162%). A disperse deposit consisting of aluminum and its hydroxide is formed on the anodic surface. The high anodic efficiency of aluminum is associated with its partial transition into solution in the form of univalent ions, part of which immediately disproportionates to form the monovalent and trivalent ion, and part is oxidized in the vicinity of the anode by hexavalent chromium.

АМОРФНАЯ ФАЗА В *n*-ПАРАФИНАХ

Ю. В. Мнюх

Известно, что для структуры полимеров характерно присутствие в нем и том же образце областей, обладающих самой различной степенью рядка в расположении молекул. На рентгенограммах полимеров часто можно найти рассеяние как от областей строгого трехмерного порядка, как и от областей с меньшим порядком, вплоть до вполне аморфных.

В частности, на рентгенограммах полиэтилена наблюдается картина «жидкостного типа» — аморфное кольцо, характерное для расплавленного полиэтилена, существующее наряду с рефлексами, образованными его кристаллической решеткой [1]. Вопрос о структуре аморфной части полимеров и сопряжении ее с кристаллической частью в настоящее время остается еще неразрешенным.

Нами выяснено, что картину, аналогичную наблюдаемой в полиэтилене, можно обнаружить и на рентгенограммах *n*-парафинов.

На рисунке приведены кривые, полученные микрофотометрированием порошковой рентгенограммы *n*-парафина  $C_{30}$  (кривая 1) и того же образца, снятого при температуре выше температуры плавления (кривая 2). Рентгенограммы были получены на  $K\alpha$ -излучении Си монохроматизированном отражением от кристалла пентаэритрита. Наличие структуры, в основном кристаллической, небольшого количества аморфной фазы (грубая оценка дает ~5%) не вызывает сомнения.

Очевидно, что подробное исследование этого явления представляет немалый интерес, так как поможет пролить свет на важный вопрос, связанный со строением полимеров. Предварительные исследования показали, что аморфное кольцо «жидкостного» типа проявляется на рентгенограммах как в случае обработки его способом «закалки», когда образец сначала расплавляется, а затем быстро погружается в жидкий азот, так и при кристаллизации его из раствора. Аморфная фаза была нами найдена также в парафине  $C_{32}$ . Оба исследованных парафина были синтетического происхождения и имели чистоту выше 99%.

Автор благодарит проф. А. И. Китайгородского за обсуждение полученного результата.

## Выводы

В *n*-парафинах обнаружена аморфная фаза «жидкостного» типа, которая ранее считалась характерной только для высокополимеров.

Академия наук СССР  
Институт элементоорганических соединений

Поступила  
31.I.1958

## ЛИТЕРАТУРА

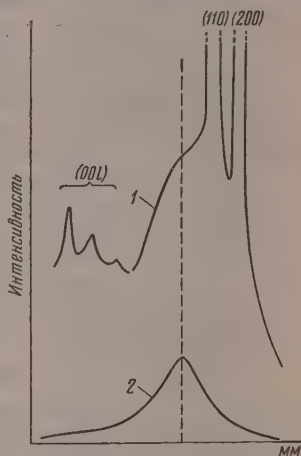
А. И. Китайгородский, Рентгеноструктурный анализ мелкокристаллических и аморфных тел, Гостехиздат, М., 1952, стр. 226.

AMORPHOUS PHASE OF *n*-PARAFFINS

Yu. V. Mnyukh (Moscow)

## Summary

A «liquid» type of amorphous phase has been revealed in *n*-paraffins that had previously been considered as characteristic only of high polymers.



## ИССЛЕДОВАНИЕ ТЕРМОДИНАМИЧЕСКИХ СВОЙСТВ ЖИДКИХ МЕТАЛЛИЧЕСКИХ РАСТВОРОВ

## СИСТЕМА КАЛИЙ — ТАЛЛИЙ

М. Ф. Лантратов и Е. В. Царенко

Целью настоящего исследования явилось изучение термодинамических свойств жидких металлических растворов калий — таллий. При исследовании был использован метод э.д.с.

Диаграмма состояния системы калий — таллий характеризуется наличием в твердом состоянии двух металлических соединений: соединения КТl, плавящегося конгруентно при  $335^{\circ}\text{C}$ , и соединения  $\text{K}_2\text{Tl}$  с температурой инконгруэнтного плавления  $240^{\circ}\text{C}$  [1].

Термодинамические свойства жидких растворов калий — таллий вычислялись из значений э.д.с. концентрационных цепей.

Калий | электролит с ионами калия | калий ( $N_K$ ) — таллий ( $N_{\text{Tl}}$ ), где  $N_K$  и  $N_{\text{Tl}}$  — атомные доли компонентов раствора.

В качестве электролита использовалось стекло, содержащее окис калия. Применение стекла для этих целей описано в ряде работ [2—10] по исследованию других металлических систем.

## Экспериментальная часть

Конструкция измерительной ячейки была в основном такой же, как и в работах [2, 3, 11]. Ячейка состояла из длинной (250—300 мм) широкой пробирки 1 (рис. 1) внутренней узкой пробирки 2 и короткой пробирки 3. Пробирки 1 и 3 изготовлялись из тугоплавкого стекла. Внутренняя пробирка 2, выполнявшая роль электролита, была сделана из стекла 3С-5 К, содержащего 68%  $\text{SiO}_2$ , 29%  $\text{B}_2\text{O}_3$ , 3%  $\text{Al}_2\text{O}_3$ , 4%  $\text{Na}_2\text{O}$ , 5%  $\text{K}_2\text{O}$ . В пробирку 3 помещался чистый калий, а в пробирку 2 — сплав калия определенного состава. Широкая пробирка имела отросток 4, посредством которого пространство ячейки соединялось с вакуумным насосом или с системой питания чистым аргоном. Узкая пробирка имела отверстие 5. В качестве токоотводов 6 служили железные проволоки, пропущенные через резиновые пробки. Измерительная ячейка помещалась в электрическую цепь сопротивления, представляющую собой алюминивый блок 9 с намотанной на нем нихромовой проволокой. Температура измерялась при помощи хромель-алюминивой термопары 10, соединенной с потенциометром ПП. Для измерения э. д. с. служил потенциометр ППТВ-1, в качестве нуля-прибора использовался зеркальный гальванометр с чувствительностью  $1 \cdot 10^{-9}$  А. Воспроизводимость результатов при прямом и обратном ходе по температуре лежала в пределах  $\pm 0,2 \text{ mV}$ .

При выполнении работы были применены металлы высокой чистоты. Металлический таллий освобождался от окислов и механических загрязнений двукратным пропусканием через тонкий капилляр в атмосфере аргона. Металлический калий подвергался фильтрации через стеклянный фильтр № 3 в атмосфере аргона и вводился через капилляр в тонкую стеклянную ампулу [3, 12]. После заполнения калием ампулы запаивались. Все опыты производились в атмосфере тщательно очищенного аргона. Внутреннюю ячейку поддерживалось избыточное давление аргона в 20 мм рт. ст.

Приготовление сплавов калий — таллий производилось в пробирке 2 путем смешения навесок таллия и калия. Так как образование сплава сопровождается выделением большого количества тепла, то необходимо соблюдать предосторожности; в противном случае происходит растрескивание пробирки. По-видимому, поэтому в работе [10] измерения в системе калий — таллий оказались невозможными. Сплав нового состава получался путем добавки к данному сплаву определенного количества таллия или взятием новых навесок. В каждом опыте производилось не более одной-двух доз.

\* Измерения производились в интервале  $475\text{—}550^{\circ}\text{C}$ , исследованием охватывала область концентраций от 12,6 до 95 ат. % таллия. Всего исследовано 30 составов сплавов.



Значения э.д.с. цепей калий | стекло — сплав | калия с таллием приведены в табл. 1; э.д.с. в интервале 475—525° С линейно зависит от температуры. Результаты измерения использованы для вычисления парциальных функций калия и таллия, а также для вычисления соответствующих интегральных значений. В табл. 2 представлены основные термодинамические данные для жидких растворов калий — таллий при 525° С. Приведенные в табл. 2 данные соответствуют целым значениям атомной доли таллия и получены графической интерполяцией плавных кривых, вычерченных по экспериментальным данным.

Для расчета активности калия  $a_K$  было использовано основное термодинамическое соотношение:  $nFE = -RT \ln a_K$ , откуда следует, что  $\lg a_K = -\frac{5040}{T} E$ . За стандартное состояние принималось состояние чистого жидкого калия при той же температуре.

Парциальные молярные свободная энергия  $\Delta \bar{F}_K$  и свободная избыточная энергия  $\bar{F}_K^*$  калия вычислялись по уравнениям:

$$\Delta \bar{F}_K = -23060 E = 4,576 T \lg a_K,$$

$$\Delta \bar{F}_K^* = -4,576 T \lg \gamma_K, \text{ где } \gamma_K = \frac{a_K}{N_K}.$$

Парциальная молярная энтропия смешения ( $\Delta \bar{S}_K$ ) равна

$$\Delta \bar{S}_K = 23060 \, dE / dt,$$

соответствующие значения избыточной парциальной молярной энтропии смешения вычислялись по уравнению:

$$\Delta \bar{S}^* = \Delta \bar{S}_K + 4,576 \lg N_K.$$

Для вычисления парциальной молярной энthalпии смешения использовалось соотношение:

$$\Delta \bar{H}_K = \Delta \bar{F}_K + T \Delta \bar{S}_K.$$

Интегральные значения молярных свободной энергии  $\Delta F$ , свободной избыточной энергии  $\Delta F^*$ , избыточной энтропии смешения  $\Delta S^*$  и теплоты смешения  $\Delta H$  рассчитывались, исходя из уравнения

$$\Delta G = (1 - N_K) \int_0^{N_K} \frac{\Delta \bar{G}_K}{(1 - N_K)^2} dN_K,$$

где  $\Delta \bar{G}_K$  — любая парциальная термодинамическая функция состояния. Термодинамические данные для таллия получены путем графического интегрирования по уравнению Гиббса — Дюгема:

$$\lg \gamma_{Tl} = \int_0^{N_K} \frac{N_K}{N_{Tl}} d \lg \gamma_K.$$

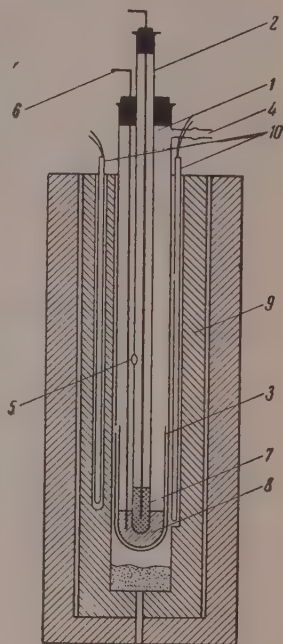


Рис. 1. Измерительная ячейка

Таблица 1

Электродвижущая сила концентрационных цепей: К | стекло | К — Тl при 525—475° С  
различном составе сплава

Состав сплава, $N_K$	э. д. с., mV			Состав сплава $N_K$	э. д. с. mV			Состав сплава, $N_K$	э. д. с., mV		
	525°	500°	475°		525°	500°	475°		525°	500°	475°
0,05	510	—	—	0,30	210,8	—	—	0,50	68,1	68,1	68,1
0,05	515	—	—	0,308	198	199	200,0	0,55	55,3	55,1	55
0,15	360	363	366	0,33	176	174	172	0,60	38	37,9	37,
0,15	347	347	347	0,35	162,5	165	167,5	0,6514	30	—	—
0,20	325	—	—	0,35	167,3	164,9	162,5	0,674	25,5	—	—
0,25	253	254,8	256,6	0,35	170,5	173	175,5	0,75	14,0	12,3	10,
0,25	250,5	251,5	252,5	0,3523	171	—	—	0,75	16,2	14,6	13
0,254	265,0	266,0	267,0	0,40	114,2	114,6	115	0,759	14,2	—	—
0,30	220	228	236	0,40	122,3	121,2	120,2	0,85	10,5	9,7	9,
0,30	200,1	201	201,5	0,43	96	96,2	96,5	0,874	6,0	5,8	5,
0,30	221	228	235	0,45	90,8	90,5	90,2				

Таблица 2

Термодинамические данные системы К — Тl при 525°С

	Атомная доля калия $\Delta_K$									
	0,1	0,2	0,3	0,4	0,5	0,6	0,7	0,8	0,9	
$\Delta \bar{F}_K$	-9801	-7328	-4900	-2736	-1625	-944	-486	-260	-108	
$\Delta \bar{F}_K^*$	-6149	-4776	-2991	-183	-526	-133	+79,6	+93,8	+59,9	
$\alpha_K$	0,00201	0,0098	0,0454	0,178	0,3588	0,5513	0,7360	0,8487	0,9341	
$\gamma_K$	0,0201	0,0491	0,1515	0,445	0,7175	0,9188	1,0514	1,0608	1,037	
$\Delta F^*$	-1179	-1014	-2513	-2682	-2587	-2318	-1908	-1383	-778	
$\Delta F^*$	-709	-1206	-1426	-1511	-1404	-1179	-884	-562	-272	
$\Delta \bar{F}_{Tl}$	-221	-685	-1490	-2643	-3550	-4380	-5226	-5875	-681	
$\Delta \bar{F}^*$	-53	-331	-924	-1832	-2450	-2927	-3320	-3323	-315	
$\alpha_{Tl}$	0,870	0,649	0,39,6	0,1888	0,1065	0,0631	0,0370	0,01457	0,0136	
$\gamma_{Tl}$	0,966	0,811	0,558	0,315	0,213	0,158	0,123	0,123	0,136	
$\Delta S_K$	-4,86	-3,20	-1,62	-0,36	1,05	1,82	1,84	0,72	0,08	
$\Delta S$	-0,594	-0,668	-1,14	-1,10	-0,87	-0,38	0,19	0,53	0,40	
$\Delta \bar{S}_K^*$	-9,43	-6,40	-4,01	-2,18	-0,32	0,81	1,13	0,28	-0,1	
$\Delta S^*$	-1,24	1,96	-2,35	-2,44	-2,24	-1,72	1,02	-0,46	-0,2	
$\Delta H$	-1650	2790	-3420	-3560	-3280	-2620	-1760	-900	-462	

### Обсуждение результатов

На рис. 2 представлены изотермы активности и коэффициенты активности калия и таллия при 525° С. Активность калия сложно зависит от состава. Для растворов, содержащих от 0 до 25 ат. % таллия, наблюдается положительное отклонение от закона Рауля, а для сплавов, содержащих таллия более 25 ат. %, — большое отрицательное отклонение. Соответственно сложный ход имеют и изотермы коэффициента активности калия. Для сплавов, богатых калием ( $N_K > 0,75$ ), коэффициент активности больше единицы, а для сплавов, бедных калием (от  $N_K = 0,75$  и меньше), он значительно меньше единицы. С другой стороны, изотермы активности таллия расположены полностью ниже прямой идеального поведения. С понижением температуры отклонения от закона Рауля увеличиваются.

Такое поведение жидких растворов калий — таллий связано с сильным взаимодействием компонентов между собой, приводящим к образованию в растворе структурных групп металлических соединений.

На рис. 3 приведены кривые интегральных молярных свободной энергии  $\Delta F$ , избыточной свободной энергии  $\Delta F^*$ , избыточной энтропии см

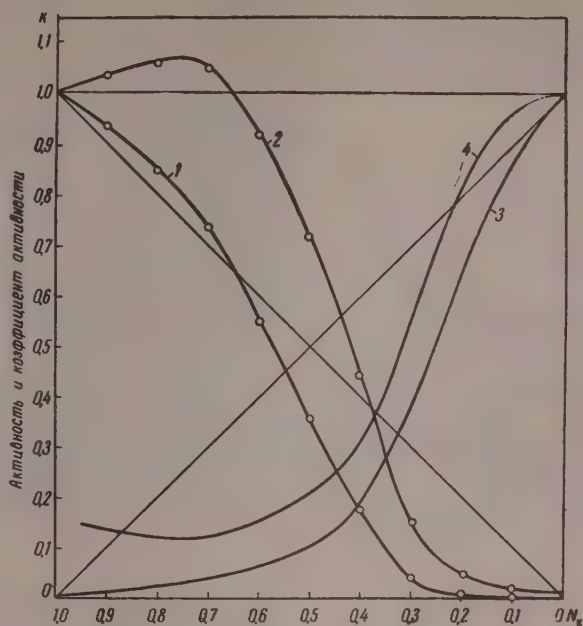


Рис. 2. Изотермы активности и коэффициента активности калия и теллурия при 525° С: 1 — активность калия; 2 — коэффициент активности калия; 3 — активность теллурия; 4 — коэффициент активности теллурия

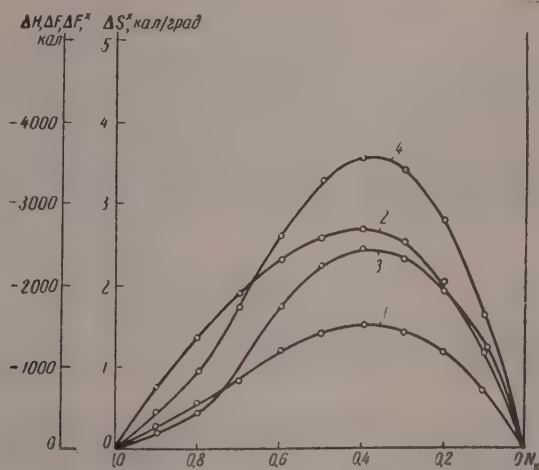
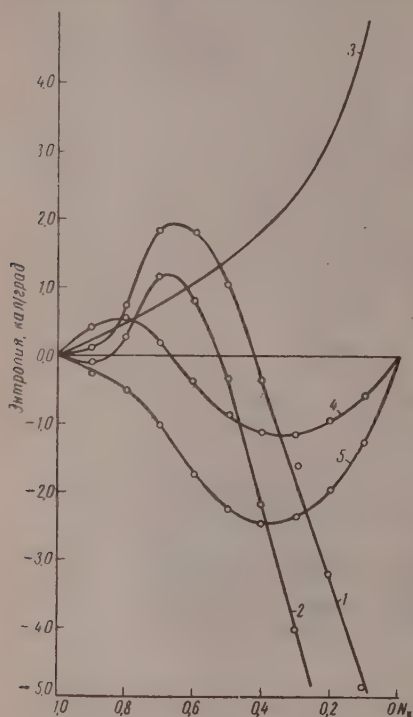


Рис. 3. Интегральные значения системы калий — теллур: 1 — молярная избыточная свободная энергия; 2 — молярная свободная энергия; 3 — молярная избыточная энтропия смешения; 4 — молярная теплота смешения

шения  $\Delta S^*$  и теплоты смешения  $\Delta H$ . Все кривые имеют весьма четкий экстремум при  $N_K = 0,4$ . Максимальные значения термодинамических величин соответственно равны:  $\Delta H - 3560$  кал,  $\Delta F - 2680$  кал,  $\Delta F^\circ - 1510$  кал и  $\Delta S^* - 2,44$  кал/град. Из рис. 3 видно, что величины теплоты смешения для всех составов больше соответствующих значений избыточной свободной энергии. В силу этого растворы калий — таллий не могут быть отнесены к числу так называемых «регулярных» растворов [11] для которых парциальная молярная теплота смешения  $\Delta \bar{H}_K$  принимается равной при всех составах величине парциальной молярной избыточной свободной энергии  $\Delta \bar{F}^*$ , т. е.  $\Delta \bar{H}_K = RT \ln \gamma_K$ .



На рис. 4 представлены кривые парциальных и интегральных значений молярной энтропии смешения в системе калий — таллий. Парциальная молярная энтропия смешения  $\Delta \bar{S}_K$  резко уменьшается, начиная

с состава, содержащего 33 ат. % таллия и более, т. е. с области составов, отвечающих образованию соединения  $K_2Tl$ . Соответственно изменяется и парциальная молярная избыточная энтропия смешения  $\Delta \bar{S}^*$ . Следует отметить, что  $\Delta \bar{S}_K^*$  не равна  $\Delta \bar{S}_{ид.}$  во всей области исследованных составов. Это подтверждает вывод, что растворы К — Тl не могут быть отождествлены с поведением регулярных растворов.

Рис. 4. Парциальные и интегральные энтропии смешения в системе К — Тl: 1 — парциальная молярная энтропия смешения калия; 2 — парциальная молярная энтропия смешения таллия; 3 — интегральная энтропия смешения; 4 — парциальная молярная избыточная энтропия смешения; 5 — интегральная энтропия смешения.

составов, содержащих 33 ат. % таллия и более, т. е. с области составов, отвечающих образованию соединения  $K_2Tl$ . Соответственно изменяется и парциальная молярная избыточная энтропия смешения  $\Delta \bar{S}^*$ . Следует отметить, что  $\Delta \bar{S}_K^*$  не равна  $\Delta \bar{S}_{ид.}$  во всей области исследованных составов. Это подтверждает вывод, что растворы К — Тl не могут быть отождествлены с поведением регулярных растворов.

### Выводы

1. Измерены э.д.с. концентрационных цепей К |стекло| К — Тl для растворов, содержащих от 12,6 до 95 ат. % таллия, и в интервале 475–525° С.

2. Вычислены для исследованных растворов значения активности, коэффициента активности, парциальных молярных свободной энергии, избыточной свободной энергии калия и таллия при 525° С. Рассчитаны интегральные значения молярных свободной энергии, избыточной свободной энергии, энтропии смешения, избыточной энтропии смешения и теплоты смешения.

3. В системе наблюдаются значительные отрицательные отклонения от идеальных законов, увеличивающиеся с понижением температур. Такое поведение связано с сильным взаимодействием компонент раствора.



Экстремальные значения интегральных кривых лежат при  $N_K =$   
 1. Смещение экстремума в этой системе от состава наиболее прочного  
 соединения  $K - Tl$  связано, по-видимому, с существованием в жидком  
 ве наряду с соединением  $K - Tl$  более богатых таллием соединений.

Ленинградский электротехнический институт  
 им. В. И. Ульянова (Ленина)

Поступила  
 31.I.1958

#### ЛИТЕРАТУРА

1. С. Курнаков, Н. А. Пушкин, Z. anorgan. Chem., 30, 86, 1902.
2. М. Скобеев, Н. Н. Кавецкий, Ж. общ. химии, 10, 1858, 1940.
3. К. Наuffe, Z. Elektrochem., 46, 348, 1940.
4. Kubaschewski, O. Nachler, Z. Elektrochem., 52, 170, 1948.
5. Wagner, G. Engelhardt, Z. phys. Chem. (A), 159, 241, 1932.
6. Wachter, J. Amer. Chem. Soc., 54, 4609, 1932.
7. L. Vierk, Z. Elektrochem., 54, 436, 1950.
8. Hildebrandt, J. Sharma, J. Amer. Chem. Soc., 51, 462, 1929.
9. Nauffe, A. L. Vierk, Z. Elektrochem., 53, 151, 1949.
10. L. Vierk, K. Nauffe, Z. Elektrochem., 54, 383, 1950.
11. Г. Морачевский, Ж. прикл. химии, 30, 1239, 1957.
12. Ф. Алабышев, А. Г. Морачевский, Ж. неорган. химии, 2, 669, 1957.
13. Кубашевский, Э. Эванс, Термохимия в металлургии, ИИЛ, Москва, 1954.

## STUDIES ON THE THERMODYNAMIC PROPERTIES OF LIQUID METALLIC SOLUTIONS

### THE SYSTEM POTASSIUM — THALLIUM

*M. F. Lantratov and E. V. Tsarenko (Leningrad)*

#### Summary

The emf of the concentration cells  $K/\text{glass}/K-Tl$  has been measured over the range  $-525^\circ C$  for 12.6 to 95 atomic% thallium solutions.

For these solutions the values at  $525^\circ C$  have been calculated of the activities, activity coefficients, partial molar free energies and the excess free energies of potassium and thallium. The integral molar free energy, excess free energy, entropy of mixing, excess entropy of mixing and the heat of mixing, have also been computed.

The system showed considerable negative deviations from the ideal laws, increasing with decrease in temperature. This behavior is connected with the strong interaction between the solution components.

The extremal values of the integral curves are at  $N_K = 0.4$ . The shift of the extremal values of this system from the composition of the most stable  $K - Tl$  compound is evidently connected with the existence in the melt besides  $K-Tl$  compounds also of  $Tl$  enriched compounds.

ТЕПЛОСОДЕРЖАНИЯ И ТЕПЛОЕМКОСТИ В СИСТЕМЕ  
ТИТАН—КРЕМНИЙ

Ю. М. Голутвин

Термохимическое изучение силицидов титана способствует заполнению пробелов в мало изученной термохимии силицидов и получению данных, необходимых для термодинамических расчетов поведения таких технически важных материалов, какими являются сплавы титана. Жароупорность и химическая стойкость сплавов титана с кремнием используются в ряде областей современной техники [1].

Стандартные теплоты образования силицидов титана  $\text{TiSi}_2$ ,  $\text{TiSi}$  и  $\text{Ti}_5\text{Si}_3$  измерены нами ранее [2]; в настоящей работе приводятся результаты измерений теплосодержания при высоких температурах силицидов титана и металлического титана, для которого в термохимических справочниках [3—5] имеются лишь ограниченные и противоречивые данные.

## Экспериментальная часть

Теплосодержания определялись по методу «смешения» [6] в массивном металлическом калориметре. Блок калориметра, весом около 10 кг, изготовленный из нержавеющей стали [6], был снабжен захлопывающейся крышкой и медным термометром сопротивления (6 м медной эмалированной проволоки сечением 0,05 мм с сопротивлением около 50  $\Omega$ ). Возможность применения медных термометров сопротивления рассмотрена в работе [7]. Проволока навивалась на поверхность блока бифилярно между двумя слоями папиросной бумаги, пропитанной бакелитом. Снаружи блок с термометром обернулся тонкой латунной фольгой. Рабочий ток термометра сопротивления составлял около 0,3 мА. Блок покоился на пластмассовой подставке внутри латунной оболочки, погруженной в ультратермостат, температура воды в котором поддерживалась равной  $25 \pm 0,005^\circ \text{C}$ .

Над оболочкой, снабженной водяной заслонкой, помещалась вертикальная нагревательная печь со вставленной в нее массивной трубкой из жароупорной стали, необходимой для выравнивания температуры по высоте печи. Конструкция оболочки предусматривала герметическое и теплоизолирующее соединение оболочки с печью, позволявшее заполнять систему инертным газом. Печь закрывалась керамической пробкой, к которой на платиновой нити подвешивалась платиновая ампула весом около 1 г (изделие № 400 ГОСТ 6563-53), содержащая исследуемое вещество. Температура ампулы измерялась Pt—Pt—Rh термопарой, помещенной рядом с ампулой.

Измерение сопротивления термометра блока измерялось по потенциометрической схеме с использованием низкоомного потенциометра ППТН-1 с зеркальным гальванометром М-21/4. Для исключения паразитных э. д. с. все измерения с термометром сопротивления производились при переключении направления тока в цепях термометра и потенциометра и усреднении полученных показаний; э. д. с. термопары нагревательной печи измерялась при переключении направления тока в цепи потенциометра.

Был принят следующий порядок проведения эксперимента. За 30—40 мин. до начала опыта в нагревательную печь с установившейся температурой подвешивалась платиновая ампула. Для смягчения удара при падении ампулы в блок в углублении последнего насыпалось 5,0 г прокаленного кварцевого песка.

В качестве функции температуры использовалось относительное сопротивление  $R = I_x / I_{\text{ст}}$ , т. е. отношение падения напряжения на термометре  $I_x$  к падению напряжения на стандартном сопротивлении из манганина  $I_{\text{ст}}$ .

Измерения сопротивления термометра  $R$  производились через 10—15-минутные промежутки времени и продолжались в течение часа до момента сбрасывания ампулы в блок калориметра, после чего стечеты продолжались еще в течение трех часов. Из значений  $R$ , считанных после сбрасывания ампулы, вычиталась величина  $R_{\text{равн}}$  (стационарное сопротивление термометра, отвечающее температуре

нравесия блока и (болочки), и производилась линейная экстраполяция логарифмических разностей  $(R - R_{\text{равн}})$  к моменту сбрасывания ампулы в блок, что давало возможность получить значение сопротивления  $R_{\text{кон}}$ , отвечающее отсутствию теплообмена между блоком и окружающей средой после сбрасывания ампулы. Разность  $R_{\text{кон}} - R_{\text{нач}}$  принималась в качестве меры подъема температуры блока, испытываемого на теплообмен [6].

Калибровка калориметра производилась по теплосодержанию синтетического корунда высокой чистоты, рекомендованному в качестве эталона [8—10].

Проводились две серии опытов — с пустой ампулой и с ампулой, содержащей около 5 г корунда. В каждой серии опытов экстраполированные изменения отношения с сопротивления термометра  $\Delta R$  приводились к конечной температуре ампулы блока, равной точно  $25^\circ \text{C}$ , для чего использовались экстраполированные к  $25^\circ \text{C}$

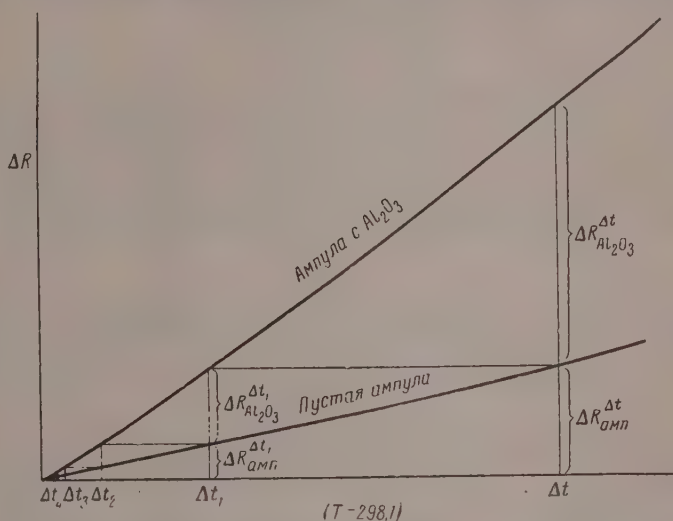


Рис. 1. Графический метод расчета теплосодержания платиновой ампулы

$\Delta t_{\text{амп}} = 0$ ) значения функции  $\Delta R / \Delta t_{\text{амп}}$ , где  $\Delta t_{\text{амп}}$  — изменение температуры ампулы при охлаждении в блоке. Конечная температура блока и ампулы определялась в каждом опыте по величине  $R_{\text{кон}}$  (соответствие значений  $R$  определенной температуре было установлено в предварительных опытах при помощи ртутного термометра).

Для расчета количества тепла, отданного ампулой с  $\text{Al}_2\text{O}_3$  блоку, был разработан графический метод, основанный на методе последовательных приближений. Для двух серий опытов (с пустой ампулой и с ампулой, содержащей  $\text{Al}_2\text{O}_3$ ) строился общий график зависимости  $\Delta R$  от перепада температур для ампулы  $\Delta t = T - 298,1$ , как это показано на рис. 1.

Изменение сопротивления термометра при нагреве блока за счет охлаждения в нем ампулы с  $\text{Al}_2\text{O}_3$  на  $\Delta t$  градусов от температуры печи  $T$  до конечной температуры блока и ампулы  $298,1^\circ \text{K}$  можно представить в виде суммы  $\Delta R^{\Delta t} = \Delta R_{\text{Al}_2\text{O}_3}^{\Delta t} + \Delta R_{\text{амп}}^{\Delta t}$ , где  $\Delta R_{\text{Al}_2\text{O}_3}^{\Delta t}$  — нагрев блока за счет навески  $\text{Al}_2\text{O}_3$ , а  $\Delta R_{\text{амп}}^{\Delta t}$  — нагрев блока за счет самой ампулы. Из рис. 1 далее следует:

$$\begin{aligned} \Delta R_{\text{амп}}^{\Delta t} &= \Delta R_{\text{Al}_2\text{O}_3}^{\Delta t_1} + \Delta R_{\text{амп}}^{\Delta t_1}, \\ \Delta R_{\text{амп}}^{\Delta t_1} &= \Delta R_{\text{Al}_2\text{O}_3}^{\Delta t_2} + \Delta R_{\text{амп}}^{\Delta t_2}, \\ \Delta R_{\text{амп}}^{\Delta t_2} &= \Delta R_{\text{Al}_2\text{O}_3}^{\Delta t_3} + \Delta R_{\text{амп}}^{\Delta t_3}, \\ &\dots \dots \dots \\ \Delta R_{\text{амп}}^{\Delta t_{(n-1)}} &= \Delta R_{\text{Al}_2\text{O}_3}^{\Delta t_n} + \Delta R_{\text{амп}}^{\Delta t_n} \end{aligned}$$

где  $\Delta t_1, \Delta t_2, \dots, \Delta t_n$  — соответствующие перепады температуры ампулы, отсчитанные по графику. Суммируя вышенаписанные уравнения, получаем ряд:

$$\Delta R^{\Delta t} = \Delta R_{Al_2O_3}^{\Delta t_1} + \Delta R_{Al_2O_3}^{\Delta t_2} + \Delta R_{Al_2O_3}^{\Delta t_3} + \dots + \Delta R_{Al_2O_3}^{\Delta t_n} + \Delta R_{амп}^{\Delta t_n}.$$

При достаточно большом числе членов ряда последним членом  $\Delta R_{амп}^{\Delta t_n}$  можно пренебречь.

При помощи таблиц теплосодержания  $Al_2O_3$  при различных температурах [8—10] подсчитывалось количество тепла, отвечающее каждому из членов вышенаписанного ряда, что давало выражение для полного количества тепла, отданного ампулой с  $Al_2O_3$ :

$$\Delta H^{\Delta t} = \Delta H_{Al_2O_3}^{\Delta t_1} + \Delta H_{Al_2O_3}^{\Delta t_2} + \Delta H_{Al_2O_3}^{\Delta t_3} + \dots + \Delta H_{Al_2O_3}^{\Delta t_n}.$$

При использовании шести или семи членов ряда величина последнего члена не превосходила 0,1 кал. Таким путем была построена зависимость теплового эквивалента блока  $W = \Delta H / \Delta R$  от подъема температуры блока  $\Delta R$ . При помощи этой зависимости на основании результатов серии опытов с пустой ампулой были рассчитаны эффективные (с учетом потерь тепла во время падения) теплосодержания пустой ампулы в калориях.

В последующих опытах с силицидами и металлическим титаном для каждого из названных объектов использовалась новая ампула, эффективные теплосодержания которой определялись экспериментально. В каждом опыте из теплосодержания ампулы с навеской вычиталось теплосодержание пустой ампулы, что в результате давало теплосодержание навески.

Синтез и химический анализ силицидов титана проводились по методике, описанной ранее [2], фазовый состав силицидов контролировался рентгенографически [11]. Навески силицидов при измерениях теплосодержания составляли около 6 г.

Для предотвращения окисления силицидов шлиф пробки ампулы закаливался золотом при нагреве острым пламенем кислородной горелки, и опиливанием спая вес ампулы подгонялся к первоначальному. Учитывая незначительность количества золота, оставшегося в зоре шлифа, а также близость удельных теплоемкостей платины и золота, специальной поправки на теплоемкость золота не вводилось.

Для силицидов  $Ti_5Si_3$  и  $TiSi$  взаимодействие с платиной при выдержке в негревательной печи ограничивалось образованием налета на внутренних стенках ампулы, при сохранении пластичности стенок. В случае наиболее богатого кремнием  $TiSi_2$  последний из проводившихся опытов при температуре около 900°С привел к тому, что ампула целиком стала хрупкой.

По окончании опытов ампулы с силицидами вскрывались, и их содержимое анализировалось повторно. Результаты анализа силицидов приведены в табл. 1.

Таблица 1

## Химический состав силицидов титана

Силицид	Состав						
	до опытов				после опытов		
	% Ti	% Si	Σ %	Атомная формула	% Ti	% Si	Σ %
$TiSi_2$	45,2	53,9	99,1	$TiSi_{2,036}$	44,7	52,9	97,6
$TiSi$	62,6	36,5	99,1	$TiSi_{0,994}$	61,8	35,2	97,0
$Ti_5Si_3$	73,5	25,6	99,1	$Ti_5Si_{2,970}$	72,3	24,3	96,6



Результаты измерений теплосодержаний силицидов при различных температурах приведены в табл. 2—4, там же произведено сопоставление экспериментальных значений  $\Delta H_{298,1}^T$  с вычисленными по эмпирическим уравнениям и рассчитаны соответствующие отклонения.

Таблица 2  
Теплосодержания  $\text{TiSi}_2$  при различных температурах

$T - 298,1$	$t, ^\circ\text{C}$	$\Delta H_{298,1}^T, \frac{\text{кал}}{\text{моль}}$	$\Delta H_{298,1}^T, \text{вычисл.}$	$\Delta, \text{кал}$	$\Delta, \%$
108,6	133,6	1522	1533	-11	-0,7
202,2	227,2	3031	3074	-43	-1,4
297,6	322,6	4832	4790	+42	+0,9
391,5	416,5	6574	6591	-17	-0,3
505,6	530,6	8943	8910	+33	+0,4
548,5	573,5	9935	9817	+118	+1,2
671,0	696,0	11880	12500	-620	-5,0
774,2	799,2	14210	14880	-670	-4,5
882,7	907,7	17980	17480	+500	+2,9

Таблица 3  
Теплосодержания  $\text{TiSi}$  при различных температурах

$T - 298,1$	$t, ^\circ\text{C}$	$\Delta H_{298,1}^T, \frac{\text{кал}}{\text{моль}}$	$\Delta H_{298,1}^T, \text{вычисл.}$	$\Delta, \text{кал}$	$\Delta, \%$
79,5	104,5	628	602	+26	+4,1
213,7	238,7	1952	2060	-108	-5,5
337,0	362,0	3557	3628	-71	-2,0
515,4	540,4	6061	6075	-14	-0,2
587,0	612,0	7160	7092	+68	+1,0
660,4	685,4	8298	8148	+150	+1,8
672,4	697,4	8549	8322	+227	+2,7
724,0	749,0	9035	9072	-37	-0,4
834,4	859,4	10680	10691	-11	-0,1
855,8	880,8	10950	110 0	-60	-0,5
901,2	926,2	11960	11680	+280	+2,4
974,1	999,1	12640	12760	-120	-1,0
1038,0	1063,0	13800	13710	+90	+0,6
1054,0	1079,0	13630	13950	-320	-2,4

Таблица 4  
Теплосодержание  $\text{Ti}_5\text{Si}_3$  при различных температурах

$T - 298,1$	$t, ^\circ\text{C}$	$\Delta H_{298,1}^T, \frac{\text{кал}}{\text{моль}}$	$\Delta H_{298,1}^T, \text{вычисл.}$	$\Delta, \text{кал}$	$\Delta, \%$
83,3	108,3	3387	3071	+316	+9,3
203,7	228,7	8480	8721	-251	-3,0
334,7	359,7	15580	15680	-100	-0,7
458,9	483,9	22640	22720	-80	-3,6
642,8	667,8	33300	33640	-340	-1,0
737,1	762,1	38670	39410	-740	-1,9
871,6	896,6	48640	47800	+840	+1,7

Теплосодержания могут быть выражены следующими уравнениями:

$$\text{TiSi}_2: \Delta H_{298,1}^T = 14,94 T + 4,16 \cdot 10^{-3} T^2 + 0,455 \cdot 10^6 T^{-1} - 6350 \text{ кал/моль} \quad (298-1180^\circ\text{K}; \pm 1,9\%);$$

$$\text{TiSi: } \Delta H_{298,1}^T = 15,43 T + 0,8832 \cdot 10^6 T^{-1} - \\ - 7563 \text{ кал/моль (298—1350° K; } \pm 1,8\%);$$

$$\text{Ti}_5\text{Si}_3: \Delta H_{298,1}^T = 58,22 T + 2,871 \cdot 10^{-3} T^2 + \\ + 2,646 \cdot 10^6 T^{-1} - 26490 \text{ кал/моль (298—1170° K; } \pm 3,0\%).$$

Дифференцирование уравнений теплосодержаний приводит к уравнениям для температурных зависимостей теплоемкостей силицидов:

$$\text{TiSi}_2: C_p = 14,94 + 8,32 \cdot 10^{-3} T - 0,455 \cdot 10^6 T^{-2} \text{ кал/моль град; (1)}$$

$$\text{TiSi: } C_p = 15,43 - 0,8832 \cdot 10^6 T^{-2} \text{ кал/моль град; (2)}$$

$$\text{Ti}_5\text{Si}_3: C_p = 58,22 + 5,742 \cdot 10^{-3} T - 2,646 \cdot 10^6 T^{-2} \text{ кал/моль град. (3)}$$

Теплосодержания и теплоемкости элементарного кремния изучались в целом ряде работ, результаты которых сопоставлены в работе [12].

На основании данных последней работы температурная зависимость теплоемкости элементарного кремния может быть выражена уравнением

$$C_p = 5,551 + 0,8785 \cdot 10^{-3} T - 0,90737 \cdot 10^6 T^{-2} \text{ (273—1508° K)}.$$

По температурной зависимости теплоемкости металлического титана термодимических справочниках [3, 4] приводятся значительно расходящиеся между собой уравнения, рассчитанные из результатов измерений Нильсона и Петтерссона [13] и Егера, Розенбома и Фонтейна [14].

Поэтому, используя методику, применявшуюся для силицидов, нами были измерены теплосодержания металлического титана в интервале 298,1—1400° K.

Прутки йодидного титана высокой чистоты разрубались стальными зубилом на небольшие кусочки в соответствии с диаметром горловины ампулы. Навески титана, помещаемые в ампулу, составляли около 5 г. Пробка ампулы золотом не запаивалась; для предотвращения взаимодействия титана с воздухом через оболочку калориметра и далее через нагревательную печь пропусклся слабый ток очищенного аргона, выходящий через зазор в керамиковой пробке нагревательной печи. Для очистки аргона пропусклся через щелочной раствор пирогаллола, осушители с серной кислотой и силикагелем и, наконец, через кварцевую трубку с титановой губкой, нагретой до 1100° C.

Несмотря на принятые меры, во время опытов имело место незначительное окисление титана, по-видимому, связанное как с неполнотой очистки аргона, так и с проникновением воздуха в систему. Поэтому каждой навеской титана опыты продолжались до получения привеса не более 0,1 %, после чего навеска заменялась.

Указанное загрязнение титана газами практически не могло сказаться на измерениях теплоемкости, проводимых с точностью  $\pm 2-3\%$ , поскольку теплоемкость в значительной мере является свойством аддитивным.

При 882° C  $\alpha$ -Ti, обладающий гексагональной плотно упакованной решеткой, переходит в  $\beta$ -Ti с кубической гранцентрированной решеткой. Известно, что в чистом титане  $\beta$ -фаза не закаливается даже при очень больших скоростях охлаждения, а газовые примеси не являются стабилизаторами  $\beta$ -фазы [15—17], поэтому можно было не опасаться закалывания  $\beta$ -Ti в процессе измерения теплосодержаний по методу смещения.

Результаты измерений теплосодержаний металлического титана приведены в табл. 5, где они сопоставлены с данными, рассчитанными по эмпирическим уравнениям.

Таблица 5

Теплосодержания металлического титана при различных температурах

$T - 298,1$	$t, ^\circ\text{C}$	$\frac{\Delta H_{298,1}^T}{\text{кал/моль}}$	$\frac{\Delta H_{298,1}^T}{\text{вычисл.}}$	$\Delta, \text{кал}$	$\Delta, \%$
89,8	114,8	278	511	(-233)	(-45,7)
141,7	166,7	1014	857	(+157)	(+18,3)
210,4	235,4	1264	1349	-85	-6,3
255,6	280,6	1687	1687	0	0
383,2	408,2	2715	2684	+31	+1,1
411,7	436,7	2852	2912	-60	-2,1
508,0	533,0	3696	3696	0	0
585,2	610,2	4442	4335	+107	+2,5
697,2	722,2	5301	5273	+28	+0,5
840,8	865,8	6544	6492	+52	+0,8
861,0	886,0	6614	6664	-50	-0,8
877,9	902,9	7682	7617	+65	+0,8
878,6	903,6	7662	7623	+39	+0,5
886,3	911,3	7693	7684	+9	+0,1
888,0	913,0	7591	7698	-107	-1,4
986,4	1011,4	8544	8482	+62	+0,7
1066,8	1091,8	9183	9123	+60	+0,7
1103,7	1128,7	9286	9417	-131	-1,4

Теплосодержания титана могут быть описаны уравнениями:

$$\alpha\text{-Ti: } \Delta H_{298,1}^T = 8,641 T + 0,7025 \cdot 10^{-4} T^2 + 0,3467 \cdot 10^6 T^{-1} - 3745 \text{ кал/г-атом (298—1155°K; } \pm 1,6\%);$$

$$\beta\text{-Ti: } \Delta H_{298,1}^T = 7,968 T - 1753 \text{ кал/г-атом (1155—1400°K; } \pm 0,8\%).$$

Отсюда для теплоты превращения  $\alpha\text{-Ti} \rightarrow \beta\text{-Ti}$  при 1155°K получается значение  $\Delta H_{1155} = +820 \pm 20 (\pm 2,4\%) \text{ кал/г-атом}$ .

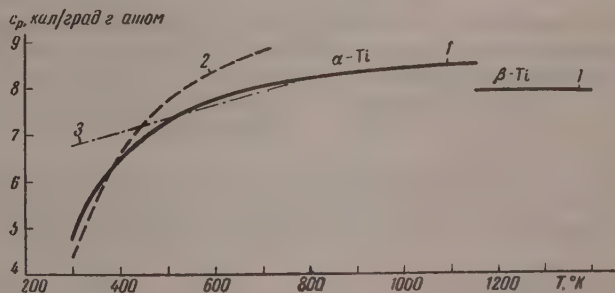


Рис. 2. Температурная зависимость теплоемкости металлического титана: 1 — по данным настоящей работы; 2 — по данным [14] и 3 — по данным [13]

Дифференцирование уравнений теплосодержаний приводит к уравнениям для теплоемкостей:

$$\alpha\text{-Ti: } C_p = 8\,641 + 1,405 \cdot 10^{-4} T - 0,3467 \cdot 10^6 T^{-2} \text{ кал/град} \cdot \text{г-атом (298—1155°K);} \quad (4)$$

$$\beta\text{-Ti: } C_p = 7,968 \text{ кал/град} \cdot \text{г-атом (1155—1400°K).} \quad (5)$$

Сопоставление полученных уравнений с литературными данными [3, 4, 13, 14] приведено на рис. 2. Теплоемкость  $\beta$ -Ti по данным работы (14)  $= 7,525 \frac{\text{кал}}{\text{град} \cdot \text{г-ат}}$  и не зависит от температуры.

Используя уравнения теплоемкостей Ti,  $\text{TiSi}_2$ ,  $\text{TiSi}$  и  $\text{Ti}_5\text{Si}_3$ , полученные в настоящей работе, и данные по теплотам образования силицидов, полученные нами ранее [2], получаем следующие уравнения зависимости тепловых эффектов от температуры (уравнение температурной зависимости теплоемкости Si взято из работы [12]):

$$\alpha\text{-Ti} \rightarrow \beta\text{-Ti}; \Delta H_T = +1990 - 0,673 T - 0,7025 \cdot 10^{-4} T^2 - 0,3467 \cdot 10^6 T^{-1} \quad (1155-1400^\circ \text{K}); \quad (6)$$

$$\alpha\text{-Ti} + 2\text{Si} \rightarrow \text{TiSi}_2; \Delta H_T = -41510 - 4,80 T + 3,211 \cdot 10^{-3} T^2 - 0,7317 \cdot 10^5 \cdot T^{-1} \quad (298-1155^\circ \text{K}); \quad (7)$$

$$\beta\text{-Ti} + 2\text{Si} \rightarrow \text{TiSi}_2; \Delta H_T = -43500 - 4,13 T + 3,282 \cdot 10^{-3} T^2 + 0,2735 \cdot 10^6 T^{-1} \quad (1155-1180^\circ \text{K}); \quad (8)$$

$$\alpha\text{-Ti} + \text{Si} \rightarrow \text{TiSi}; \Delta H_T = -41020 + 1,24 T - 0,5038 \cdot 10^{-3} T^2 + 0,4458 \cdot 10^6 T^{-1} \quad (298-1155^\circ \text{K}); \quad (9)$$

$$\beta\text{-Ti} + \text{Si} \rightarrow \text{TiSi}; \Delta H_T = -43000 + 1,91 T - 0,4392 \cdot 10^{-3} T^2 + 0,7925 \cdot 10^6 T^{-1} \quad (1155-1350^\circ \text{K}); \quad (10)$$

$$5\alpha\text{-Ti} + 3\text{Si} \rightarrow \text{Ti}_5\text{Si}_3; \Delta H_T = -148800 - 1,64 T + 1,202 \cdot 10^{-3} T^2 + 0,6403 \cdot 10^6 T^{-1} \quad (298-1155^\circ \text{K}); \quad (11)$$

$$5\beta\text{-Ti} + 3\text{Si} \rightarrow \text{Ti}_5\text{Si}_3; \Delta H_T = -158800 + 1,73 T + 1,553 \cdot 10^{-3} T^2 + 2,374 \cdot 10^6 T^{-1} \quad (1155-1170^\circ \text{K}). \quad (12)$$

В заключение выражаю благодарность чл.-корр. АН СССР Н. В. Агееву за помощь в постановке настоящей работы.

### Выводы

1. Методом смешения в массивном металлическом калориметре измерены теплосодержания силицидов  $\text{TiSi}_2$ ,  $\text{TiSi}$ ;  $\text{Ti}_5\text{Si}_3$  и металлического титана. Дифференцированием уравнений теплосодержания получены уравнения (1—5) температурных зависимостей теплоемкости.

Теплота перехода  $\alpha\text{-Ti} \rightarrow \beta\text{-Ti}$  оказалась равной:  $\Delta H_{1155} = +820 \pm \pm 20 (\pm 2,4 \%) \text{ кал/г-атом}$ .

2. Используя данные, полученные в настоящей работе, и значения теплот образования силицидов, измеренные нами ранее, рассчитаны температурные зависимости тепловых эффектов уравнения (6)—(12).

Академия наук СССР  
Институт металлургии  
им. А. А. Байкова

Поступила  
31. I. 1958

### ЛИТЕРАТУРА

1. Г. В. Самсонов и Я. С. Уманский. Твердые соединения тугоплавких металлов, ГНТИЧЦ металлургии, Москва, 1957.
2. Ю. М. Голутвин, Ж. физ. химии, 30, 2251, 1956.
3. Э. В. Брицке, А. Ф. Капустинский, Б. К. Веселовский, Л. М. Шамоульский, Л. Г. Ченцова, Б. Н. Анваер, Термические константы неорганических веществ, Изд-во АН СССР, М.—Л., 1949.
4. О. Кубашевский и Э. Эванс, Термохимия в металлургии, ИИЛ, М., 1954.
5. F. D. Rossini, D. D. Wagman, W. H. Evans, S. Levine a. I. Jaffe, Selected Values of Chemical Thermodynamic Properties, Nat. Bur. Standards, USA, Circular, № 500, 1952.



6. М. М. Попов, Термометрия и калометрия, Изд-во МГУ, М., 1954.
7. РЖХим, реф. 356, 1956.
8. D. C. Ginnings a. G. T. Furukawa, J. Amer. Chem. Soc., 75, 522, 1953.
9. G. T. Furukawa, T. B. Douglas, R. E. McCoskey, D. C. Ginnings, J. Res. Nat. Bur. Standards, 57, No. 2, 67, 1956.
10. Э. Н. Родигина и К. З. Гомельский, Ж. физ. химии, 29, 1105, 1955.
11. M. Hansen, H. D. Kessler a. D. J. McPherson, Trans. Amer. Soc. Metals, 44, 518, 1952.
12. Н. Н. Серебренников и П. В. Гельд, Докл. АН СССР, 85, 1105, 1955.
13. L. F. Nilson u. O. Pettersson, Z. phys. Chem., 1, 27, 1887.
14. F. M. Jaeger, E. Rosenbohm, R. Fonteyne, Proc. Acad. Sci. Amsterdam., 39, 442, 1936.
15. P. Duwez, J. Metals, 3, 765, 1951; Trans. Amer. Soc. Metals, 45, 934, 1953.
16. W. J. Worner, J. Inst. Metals, 80, 213, 1952.
17. R. I. Jaffee, H. R. Ogden, D. J. Maykuth, J. Metals, 188, 1261, 1950.

## HEATCONTENT AND HEAT CAPACITIES IN THE SYSTEM TITANIUM—SILICON

*Yu. M. Golutvin (Moscow)*

### Summary

The heatcontent of the silicides  $\text{TiSi}_2$ ,  $\text{TiSi}$ , and  $\text{Ti}_5\text{Si}_3$  and of metallic titanium have been determined in a massive calorimeter by the mixing method. On differentiating the heatcontent equations expressions have been obtained for the heat capacities as a function of the temperature:

$\text{TiSi}_2$ :  $C_p = 14.94 + 8.32 \times 10^{-3} T - 0.455 \times 10^6 T^{-2}$  cal/(deg.mole); (298—1180°K,  $\pm 1.9\%$ );

$\text{TiSi}$ :  $C_p = 15.43 - 0.8832 \times 10^6 T^{-2}$  cal/(deg.mole); (298—1350°K,  $\pm 1.8\%$ );

$\text{Ti}_5\text{Si}_3$ :  $C_p = 58.22 + 5.742 \times 10^{-3} T - 2.646 \times 10^6 T^{-2}$  cal/(deg.mole); (298—1170°K,  $\pm 3.0\%$ );

$\alpha\text{-Ti}$ :  $C_p = 8.641 + 1.405 \times 10^{-4} T - 0.3467 \times 10^6 T^{-2}$  cal/(deg.g.atom); (298—1155°K,  $\pm 1.6\%$ );

$\beta\text{-Ti}$ :  $C_p = 7.968$  cal/deg. g. atom; (1155—1400°K,  $\pm 0.8\%$ ).

The heat of the transition  $\alpha\text{-Ti} \rightarrow \beta\text{-Ti}$  was found to be:

$\Delta H_{1155} = + 820 \pm 20$  ( $\pm 2.4\%$ ) cal/g.atom.

Using the data of the present work and the values for the heats of formation of silicides previously measured by us the temperature dependencies of the heat effects have been calculated.

ФОТОЛИЗ  $\text{H}_2\text{O}_2$  В ЩЕЛОЧНЫХ СРЕДАХ

Г. Н. Герасимов, А. П. Пурмаль и А. Б. Ценципер

В работе [1] нами был предложен цепной механизм фотохимического разложения перекиси водорода в водных растворах. Схема элементарных актов не включала активных промежуточных веществ ионного или ион-радикального характера. Величина суммарного квантового выхода в этом случае не должна заметным образом меняться с изменением pH среды. Литературные данные, имеющиеся по этому вопросу, противоречивы. По данным работы [2] скорость фотохимического разложения  $\text{H}_2\text{O}_2$  не зависит от pH.

В работах [3, 4], напротив, указывается, что  $\text{H}^+$  и  $\text{OH}^-$ -ионы тормозят фотораспад  $\text{H}_2\text{O}_2$ , причем  $\text{OH}^-$ -ион является более эффективным ингибитором. Следует отметить, что термический распад  $\text{H}_2\text{O}_2$ , механизм которого аналогичен фотохимическому [5], также замедляется  $\text{H}^+$ -ионами и ускоряется ионами гидроксила [6].

Получено изложение изучения реакции фотохимического разложения  $\text{H}_2\text{O}_2$  в щелочных средах. Опыты проводились на установке, описанной в [1]. Скорость реакции определялась газовойометрическим и перманганометрическим измерением концентрации  $\text{H}_2\text{O}_2$ . Концентрация перекиси водорода составляла в разных сериях опытов от 0.08 до 0.105 моль/л. Измерение pH растворов проводилось при помощи стеклянного электрода и потенциометра ЛП-5 с точностью до 0.05 единицы pH.

В работе использовались:  $\text{H}_2\text{O}_2$ , трижды перегнанная в аппарате из кварцевого стекла;  $\text{KOH}$ ,  $\text{NaOH}$ , химически чистые, тщательно перекристаллизованные. Для приготовления растворов использовался тридистиллят.

Предварительные опыты показали, что замена  $\text{KOH}$  на  $\text{NaOH}$  не влияет на скорость разложения  $\text{H}_2\text{O}_2$ . Специальными опытами было показано, что в условиях наших экспериментов поглощением  $\text{CO}_2$  можно пренебречь.

Большая часть измерений была проведена при 20° С. При этой температуре темновое разложение  $\text{H}_2\text{O}_2$  в щелочных растворах не наблюдается.

Результаты нескольких серий опытов, проведенных в интервале pH от 6.0 до 11.2, показали, что точки, полученные для растворов с различными pH, удовлетворительно укладываются на одну кинетическую кривую, т. е. скорость фотоллиза  $\text{H}_2\text{O}_2$  не зависит от pH среды, в согласии с [2]. Некоторое отклонение от общей кинетической кривой наблюдалось нами лишь при степенях разложения  $> 0.3$ . Это связано, по-видимому, с разной степенью пассивации стенки сосуда в опытах с разными pH. Однако и при степенях разложения  $> 0.3$ , отклонения эти лишь незначительно превышают разброс экспериментальных точек.

При 40° С термическое разложение  $\text{H}_2\text{O}_2$  в щелочных средах становится заметным. Нами были проведены опыты по темновому разложению  $\text{H}_2\text{O}_2$  в растворе с pH = 11.2, фотохимическому разложению такого же раствора и фотохимическому разложению раствора  $\text{H}_2\text{O}_2$  без щелочных добавок. Кинетическая кривая фотохимического разложения  $\text{H}_2\text{O}_2$  при 40° С совпала с кинетической кривой фоторазложения  $\text{H}_2\text{O}_2$  в щелочном растворе после вычитания из нее темновой, термической составляющей

Постоянство скорости фотоллиза  $\text{H}_2\text{O}_2$  в растворах с различными рН указывает, что в последовательности элементарных стадий не имеют места ионные или ион-радикальные образования.

Ускорение процесса термического разложения  $\text{H}_2\text{O}_2$  с ростом концентрации  $\text{OH}$ -ионов связано с ослаблением перекисной  $\text{O} - \text{O}$  связи [7] и ответствующим ускорением наиболее трудной стадии термического, радикального распада  $\text{H}_2\text{O}_2$ . Стабилизирующее действие  $\text{H}^+$ -иона на  $\text{H}_2\text{O}_2$ , в отношении термического и фотохимического ее разложения, связано, по моему мнению, с образованием прочных пергидроксониевых ионов  $[\text{H}_2\text{O}_2]^+$ .

### Выводы

Изучено фотохимическое разложение перекиси водорода в щелочных средах. Показано, что в интервале значений рН от 6 до 11,2 скорость фотоллиза не зависит от рН среды.

Поступило  
10.I.1958

### ЛИТЕРАТУРА

- В. И. Веденеев, Г. Н. Герасимов и А. П. Пурмаль, Ж. физ. химии, 31, 1216, 1957.  
D. E. Sea, Trans. Faraday Soc., 45, 81, 1949; J. Weiss, Disc. Faraday Soc., 12, 161, 1952.  
W. T. Anderson, H. S. Taylor, J. Amer. Chem. Soc., 45, 1210, 1923.  
G. Kornfeld, Z. phys. Chem., 29, 205, 1935.  
Черных, Кандидатская диссертация, М., 1956.  
«Перекись водорода и перекисные соединения», сб. статей, Госхимиздат, 1951.  
E. Lederl, A. Rieche, Ber., 62, 2573, 1929.

### PHOTOLYSIS OF $\text{H}_2\text{O}_2$ IN ALKALINE MEDIA

G. N. Gerasimov, A. P. Pural' and A. B. Tsentsiper (Moscow)

#### Summary

The mechanism of photochemical decomposition of  $\text{H}_2\text{O}_2$  proposed earlier by the authors does not include intermediate compounds of ionic or ion-radical nature. In that case the rate of the process should not depend to any marked extent on the pH of the medium. The investigation has shown the independence of the quantum yield of  $\text{H}_2\text{O}_2$  photolysis over the pH range 6 to 11.2.

The inhibiting effect of  $\text{H}^+$  ions on the photolysis of  $\text{H}_2\text{O}_2$  (at  $\text{pH} < 6$ ) is evidently associated with the formation of stable perhydroxonium ions.

## О ПРИРОДЕ ПРОВОДИМОСТИ ТВЕРДОГО УГЛЕКИСЛОГО НАТРИЯ

С. Ф. Пальгуев

Углекислый натрий предложен в качестве твердого электролита топливных элементов как в чистом виде [1—3], так и в смеси с другими компонентами [4, 5]. Однако природа его проводимости не исследовалась.

О. К. Давтян [4], исходя из опыта, что при комнатной температуре электропроводность углекислого натрия практически равна нулю, а с ростом температуры увеличивается очень быстро, считает, что твердый углекислый натрий обладает полной проводимостью. Шпенглер [6], при модельном рассмотрении схемы работы топливного элемента с твердым электролитом из соды, также предполагает, что сода при  $750^{\circ}\text{C}$  является ионным проводником.

В настоящей работе измерено число переноса иона натрия в твердом углекислом натрии в интервале  $400\text{--}650^{\circ}\text{C}$ , а также определен выход по току газообразных продуктов электролиза на аноде при различных температурах. Числа переноса определяли по методике, предложенной Тубандтом [7].

Из тщательно размельченного (200 меш) порошка безводного углекислого натрия квалификации «ч. д. а.» прессовали пластинки, которые ставили при  $750^{\circ}\text{C}$ . Три или четыре пластинки, служившие электродными пространствами и средним отделением, зажимали между платиновым анодом и катодом из нержавеющей стали при помощи устройства, описанного в нашей работе [8].

Число переноса иона натрия рассчитывали по уменьшению в весе анолита в течение электролиза. Для числа переноса иона  $\text{CO}_3^{2-}$ , рассчитанного по изменению в весе католита, получались отрицательные значения, так как выделяющийся на катоде металлический натрий при разборке прибора и взвешивании взаимодействовал с влагой воздуха и окислялся.

Одновременно определяли выход по току анодных газов. Для этого рабочий объем герметически закрывали; выделяющиеся при электролизе на аноде газы вымывали током аргона и улавливали углекислый газ в поглотителях с едким кали. В ряде опытов непосредственно определяли объем анодных газов. Аргон при этом не подавали, а электролиз присоединяли к прибору, аналогичному описанному в нашей работе [9].

Количество протекшего через электролит электричества определяли при помощи медного кулонометра. Сила тока при электролизе для разных опытов была в пределах  $15\text{--}40\text{ мА}$ .

Температуру контролировали платино-платинородниковой термопарой, которую прижимали к аноду. Температуру поддерживали постоянно в пределах  $\pm 2,5^{\circ}$ .

Температурный интервал измерений чисел переноса был ограничен с одной стороны, малой электропроводностью карбоната натрия при температурах ниже  $400^{\circ}\text{C}$  и, с другой стороны, трудностью отделения друг от друга пластинок электролита после электролиза при температурах выше  $600\text{--}650^{\circ}\text{C}$ .



Результаты измерений чисел переноса иона натрия в твердом карбонате натрия при различных температурах приведены в табл. 1.

Таблица 1

Число переноса иона натрия в твердом углекислом натрии при различных температурах

Температура, °C	$t_{Na^+}$ в различных опытах					Среднее
	1	2	3	4	5	
400	0,91	0,90	0,89	0,90	0,89	0,90
450	0,89	0,91	0,91	0,91	0,91	0,91
500	0,92	0,92	0,92	0,92	0,92	0,92
550	0,94	0,94	0,95	0,96	0,94	0,95
600	1,00	0,99	1,02	1,02	0,98	1,00
650	1,00	1,09	—	—	—	1,0

Как следует из таблицы, число переноса иона натрия изменяется от 0,90 при 400°С до 1,00 при 600—650°С. Таким образом, твердый углекислый натрий при температурах от 600°С и выше является катионным проводником. В этом отношении карбонат натрия не выпадает из общего правила, что одно-, двухвалентные соединения в твердом состоянии имеют ионную проводимость [7].

Из данных табл. 1, однако, однозначно не следует, является ли углекислый натрий и при температурах ниже 600°С также ионным проводником, или в переносе тока участвуют и электроны. Чтобы решить этот вопрос, необходимо непосредственно измерить число переноса аниона. Как уже указано выше, такие измерения говорят лишь в пользу малой величины  $n_{CO_3^{2-}}$ .

В табл. 2 приведены результаты опытов по определению выхода по току анодных газов при электролизе при различных температурах. Они

Таблица 2

Выход по току анодных газов при электролизе твердого углекислого натрия при различных температурах

Температура, °C	Выход по току в % от теоретического по закону Фарадея		Температура, °C	Выход по току в % от теоретического по закону Фарадея	
	Колебания в различных опытах в пределах	Среднее		Колебания в различных опытах в пределах	Среднее
400	81,5—94,8	89,5	600	95,7—102,7	100,5
450	84,0—95,4	88,9	650	109,9—102,1	101,2
500	91,4—97,2	94,0	700	100,0—102,7	101,8
550	95,3—100,9	98,1	750	99,9—102,2	100,9

сказывают на то, что только при температурах 550—600°С и выше выход по току анодных продуктов электролиза твердого углекислого натрия соответствует закону Фарадея. При снижении температуры электролиза уменьшается и выход анодных продуктов, падая до 90% при 400°С. Если падение выхода по току не связано с ошибками эксперимента (главной из которых является вторичное взаимодействие анодных газов с натрием, выделяемым на катоде), то оно говорит о наличии электронной проводимости. С известным основанием можно считать, что при неизменной силе тока с уменьшением температуры вторичное взаимодействие продуктов электролиза должно уменьшаться. Таким образом, оно не определяет падения выхода по току анодных газов, наблюдаемого на опыте, при сни-

жении температуры электролиза. Следовательно, при этом растет доля электронной (вероятно, примесной) проводимости. Так при  $600^\circ\text{C}$  она составляет незначительную величину, а при  $400^\circ\text{C}$  электронная проводимость уже достигает 0.1 общей проводимости твердого углекислого натрия. Общая проводимость твердого карбоната натрия уменьшается при этом с  $2 \cdot 10^{-4} \Omega^{-1} \text{см}^{-1}$  (при  $600^\circ\text{C}$ ) до  $3 \cdot 10^{-5} \Omega^{-1} \text{см}^{-1}$  (при  $400^\circ\text{C}$ ) [8], т. е. примерно в 10 раз.

В ходе температурной зависимости электропроводности твердого углекислого натрия около  $600^\circ\text{C}$  наблюдается излом, и происходит резкое увеличение энергии активации электропроводности (с 0.84 до 2.25 эВ) [8], что говорит об изменении характера проводимости. Полученные результаты согласуются с этим опытным фактом.

В свете результатов настоящей работы неверно утверждение Шпенгера [6], что, в противоположность твердым оксидам, сода не является преимущественно катионным проводником. Наоборот, у определенного класса систем твердых оксидов с дефектной кристаллической структурой (имеющих некоторое число вакантных мест в анионной части решетки) должна наблюдаться униполярная кислородная проводимость [10].

### Выводы

Показано, что твердый углекислый натрий при температурах выше  $600^\circ\text{C}$  является практически нацело катионным проводником. Ниже этих температуры становится заметной доля электронной (примесной) проводимости.

Уральский филиал Академии наук СССР  
Институт электрохимии  
Свердловск

Поступила  
7.II.1958

### ЛИТЕРАТУРА

1. K. Bischoff, Brennstoff. — Wörmeerk., 3, 154, 1952.
2. R. G. H. Watson, Research, 7, 34, 1954.
3. E. Justi, K. Bischoff und H. Spengler, Abhandl. Mainzer Akad. math.-naturwiss., Kl., № 1, 1956.
4. О. К. Давтян, Изв. АН СССР, отд. хим. н., № 1, 107, 1946.
5. О. К. Давтян, Проблема непосредственного превращения химической энергии топлива в электрическую, Изд-во АН СССР, М.—Л., 1947.
6. H. Spengler, Angew. Chem., 68, 689, 1956.
7. C. Tubandt, Handbuch der Experimentalphysik, B. 12, Tl. 1, S. 384, Akademische Verlagsgesellschaft M. B. H. Leipzig, 1932.
8. С. Ф. Пальгуев, З. С. Волченкова, Тр. Ин-та химии, Уральский филиал АН СССР, вып. 2, 183, 1958.
9. М. В. Смирнов, С. Ф. Пальгуев, Ю. Н. Краснов, Ж. прикл. химии, 31, 226, 1958.
10. F. Hund, Z. Elektrochem., 55, 363, 1951.

### ON THE NATURE OF THE ELECTROCONDUCTIVITY OF SOLID SODIUM CARBONATE

S. F. Pal'guev (Sverdlovsk)

#### Summary

The transference number of the sodium ion has been measured by a gravimetric method and the current efficiency of anodic gases has been determined in the electrolysis of solid sodium carbonate. The conductivity of solid soda at temperatures above  $600^\circ\text{C}$  has been shown to be practically entirely of ionic (cationic) nature. Below this temperature there is a noticeable fraction of electronic (impurity) conductivity.

## КРИТИЧЕСКИЕ ЯВЛЕНИЯ В СИСТЕМЕ ГЕКСАМЕТИЛЕНИМИН — ВОДА

## II. НЕКОТОРЫЕ ФИЗИКО-ХИМИЧЕСКИЕ СВОЙСТВА СИСТЕМЫ ГЕКСАМЕТИЛЕНИМИН — ВОДА

Н. Е. Хазанова и Л. Р. Линиц

Исследование критических явлений в системе гексаметиленимин — вода как с точки зрения термодинамики критической области, так и с точки зрения особенностей кинетического поведения вещества в этой области вызвало необходимость в получении сведений о ряде физико-химических свойств этой системы.

Удельные веса системы гексаметиленимин — вода в гомогенной области существования были определены двухкапиллярным пикнометром емкостью  $9,17 \text{ см}^3$ . Капилляры были около  $0,2 \text{ мм}$ . Отсчет уровней жидкости в капиллярах производили катетометром с точностью  $0,1 \text{ мм}$ . Для уменьшения ошибок из-за паралакса измеряли не общую высоту столба жидкости, а положение мениска между двумя соседними делениями. Общая высота определялась из суммы высот делений, предварительно промеренных этим же катетометром.

Термостатирование пикнометра осуществлялось с погрешностью  $\pm 0,002^\circ \text{C}$  в теростате, описанном в [1]. Абсолютные температуры измеряли проверенными лабораторными термометрами с ценой деления  $0,1^\circ \text{C}$  с погрешностью  $\pm 0,01^\circ$ . Отсчет температуры производили под лупой. Колебания температуры фиксировали по метастатическому термометру.

Калибровка капилляра и определение объемного коэффициента термического расширения стекла пикнометра проведены по бидистилляту. Определение истинного веса воды (или веса раствора) в пикнометре производили по методике Д. И. Менделеева [2].

В исследованном интервале температур объем пикнометра является линейной функцией температуры. Объемный коэффициент термического расширения стекла пикнометра составляет  $3,15 \cdot 10^{-5} \text{C}^{-1}$ , что согласуется с литературными данными для обычного химического стекла. Калибровка капилляра проведена по четырем различным нагрузкам с погрешностью, не превышающей  $\pm (2 \div 3) \cdot 10^{-5} \text{ см}^3$ .

Удельные веса растворов измерены для составов от 4 до 44 вес. % гексаметиленимина при температурах от  $13$  до  $65^\circ \text{C}$  (табл. 1) с погрешностью  $\pm (2 \div 3) \cdot 10^{-5} \text{ г/см}^3$ .

Таблица 1

Удельный вес растворов гексаметиленимин — вода,  $\text{г/см}^3$ 

Содержание гексаметиленимина, вес. %,	Температура, $^\circ \text{C}$						
	15	20	30	40	50	60	65
0,0	0,99913	0,99823	0,99567	0,99224	0,98807	0,98324	0,98054
5,0	0,99740	0,99628	0,99302	0,98912	0,98477	0,97945	0,97655
10,0	0,99500	0,99345	0,98940	0,98490	0,98015	0,97435	0,97110
15,0	0,99195	0,98985	0,98505	0,97985	0,97435	0,96815	0,96480
20,0	0,98815	0,98575	0,98050	0,97475	0,96860	0,96230	0,95880
25,0	0,98412	0,98150	0,97587	0,96975	0,96335	0,95645	0,95295
30,0	0,98000	0,97725	0,97115	0,96475	0,95830	0,95087	0,94715
35,0	0,97600	0,97295	0,96650	0,95970	0,95300	0,94530	0,94138
40,0	0,97190	0,96870	0,96185	0,95467	0,94745	0,93970	0,93558
43,0	0,96945	0,96610	0,95900	0,95165	0,94410	0,93630	0,93215

Вязкость растворов измерена вискозиметром Гепплера с погрешностью от 0,1 до 0,5%. Измерения были проведены для температур от 0 до 66° С (табл. 2). Для вычисления вязкости использованы найденные нами же значения удельных весов этих растворов. Для 0° С удельный вес найден экстраполяцией.

Таблица 2

Вязкость растворов гексаметиленимина — вода, сантипуазы

Содержание гексаметиленимина, вес. %	Температура, °С							
	0	10	20	30	40	50	60	66
5	2,335	1,760	1,335	1,035	0,835	0,690	0,580	0,5
10	3,210	2,295	1,670	1,260	1,015	0,840	0,705	0,6
15	4,280	2,900	2,060	1,525	1,220	1,000	0,850	0,7
20	5,490	3,610	2,540	1,860	1,465	1,200	1,000	0,9
25	6,880	4,430	3,090	2,260	1,740	1,410	1,165	1,0
30	8,450	5,360	3,670	2,660	2,020	1,620	1,325	1,2
35	10,170	6,380	4,270	3,050	2,295	1,810	1,475	1,3
40	11,980	7,460	4,860	3,445	2,560	1,980	1,605	1,4
43	13,080	8,130	5,220	3,680	2,710	2,080	1,680	1,5

Коэффициенты преломления определены рефрактометром РЛУ с погрешностью, не превышающей  $\pm 0,001$ . Измерения проведены для температур от 10 до 50° С (табл. 3).

Таблица 3

Коэффициенты преломления  $n_D$  растворов гексаметиленимина — вода

Содержание гексаметиленимина, вес. %	Температура, °С				
	10	20	30	40	50
5	1,341	1,391	1,339	1,388	1,367
10	1,350	1,399	1,347	1,395	1,345
15	1,359	1,407	1,356	1,403	1,353
20	1,367	1,416	1,363	1,411	1,361
25	1,376	1,424	1,371	1,418	1,368
30	1,384	1,432	1,378	1,425	1,375
40	1,400	1,447	1,394	1,440	1,388
43	1,404	1,451	1,397	1,445	1,392

## Выводы

Для растворов гексаметиленимина — вода в гомогенной области существования измерены удельные веса, вязкости и коэффициенты преломления в интервале температур от 0 до 65° С.

Поступила  
7.II.1958

## ЛИТЕРАТУРА

1. И. Р. Кричевский, Н. Е. Хазанова, Л. Р. Линшиц, Ж. физ. химии, 29, 547, 1955.
2. Д. И. Менделеев, Сочинения, т. IV, Изд-во АН СССР, Л., 1937.

## CRITICAL PHENOMENA IN THE SYSTEM HEXAMETHYLENIMINE—WATER

II. SOME PHYSICO-CHEMICAL PROPERTIES OF THE SYSTEM  
HEXAMETHYLENIMINE — WATER

N. E. Khazanova and L. P. Linshitz (Moscow)

## Summary

The specific gravity, viscosity and coefficients of refraction of solutions of hexamethyleneimine—water have been measured at 0 to 65° C within the limits of their existence in the homogeneous state.



# ГОМОГЕННО-ГЕТЕРОГЕННОЕ ГОРЕНИЕ ОКСИ УГЛЕРОДА В УЗКИХ КАНАЛАХ

Л. С. Соловьева

В настоящее время еще недостаточно выяснена роль поверхностного горения при сжигании газов вследствие отсутствия кинетических данных о реакциях, протекающих на различных поверхностях. В ряде исследований, посвященных этому вопросу, не учитывались процессы диффузии, учет которых также необходим для получения правильных результатов в отношении кинетических характеристик реакций на твердой поверхности.

Теория гетерогенного горения [1] позволяет более детально выяснить физическую сущность сложных гомогенно-гетерогенных процессов горения. Из нее следует, что значительных упрощений расчета и анализа процесса можно достигнуть при использовании так называемых усредненных уравнений горения [2]. Анализ закономерностей гомогенно-гетерогенного горения в канале или слое дробленого материала посвящена работа Н. Хитрина [3].

Принимая первый порядок реакции по горючему компоненту, что можно быть справедливо для многих практических случаев, и используя усредненные уравнения, можно получить простые закономерности для зависимости степени сгорания смеси  $n$  в каналах или в слое дробленого материала:

$$n = 1 - e^{-\frac{\kappa}{w}L} e^{-\frac{s_i}{1 + \frac{w}{k}L} \frac{\varphi}{L}} \quad (1)$$

$L$  — расстояние вдоль потока в см,  $w$  — скорость потока в см/сек,  $\kappa$  — константа скорости объемной реакции в 1/сек.;  $k$  — константа скорости поверхностной реакции в см/сек;  $\varphi$  — функция переноса, которая зависит от отношения  $\beta/w$ , где константа диффузии  $\beta = \frac{D}{d} Nu_{\text{дифф}}$  в см/сек,  $d$  — удельная реакционная поверхность в 1/см, в случае круглого канала  $d = 4/d$ . Величины  $s_i$  и  $\beta$  обратно пропорциональны диаметру  $d$  канала и частицы.

Уравнение (1) можно также представить в виде

$$n = 1 - e^{-\frac{\kappa}{w}L} e^{-\frac{s_i}{w} \frac{1}{\frac{1}{k} + \frac{1}{\beta}} L} = 1 - e^{-\frac{\kappa}{w}L} e^{-\frac{s_i k^*}{w} L} \quad (2)$$

$$k^* = \frac{1}{\frac{1}{k} + \frac{1}{\beta}}.$$

Объемный процесс горения характеризуется множителем  $e^{-\frac{\kappa}{w}L}$ , а

поверхностный процесс — множителем  $e^{-\frac{s_i}{1 + \frac{w}{k}L} \frac{\varphi}{L}}$ . Поскольку  $s_i$  зависит от величины диаметра, то, в отличие от объемного процесса, доля поверхностного процесса сильно зависит от поперечного размера канала и степени дробления материала в слое. С увеличением диаметра

роль поверхностного горения должна уменьшаться, хотя скорость этого процесса может быть очень большой.

В зависимости от характеристик и условий процесса горения возможны следующие случаи:

1. Гетерогенный (поверхностный) процесс мал или отсутствует, т. е.  $s_i k^* \ll \kappa$ , тогда

$$n = 1 - e^{-\frac{\kappa}{w} L}$$

и

$$\kappa = -\frac{\ln(1-n)}{\tau},$$

где  $\tau$  — время пребывания смеси в канале или в слое дробленого материала.

При отсутствии поверхностного горения, определяя выгорание в канале определенной длины, можно подсчитать значение суммарной константы скорости объемной реакции  $\kappa$ .

2. Гетерогенный (поверхностный) процесс протекает интенсивно, объемный процесс незначителен или отсутствует, т. е.  $s_i k^* \gg \kappa$ .

В этом случае

$$n = 1 - e^{-\frac{\varepsilon_i}{1 + \frac{w}{k} \varphi} L} = 1 - e^{-\frac{s_i}{w} \frac{1}{\frac{1}{k} + \frac{1}{\beta}} L} = 1 - e^{-\frac{s_i k^*}{w} L}$$

и

$$s_i k^* = -\frac{\ln(1-n)}{\tau},$$

Здесь возможны два крайних режима:

а) если  $k \ll \beta$  (кинетический режим), то

$$n = 1 - e^{-s_i \frac{k}{w} L}$$

и

$$s_i k^* = s_i k = -\frac{\ln(1-n)}{\tau};$$

б) если  $k \gg \beta$  (диффузионный режим), то

$$n = 1 - e^{-s_i \frac{\beta}{w} L}$$

и

$$s_i k^* = s_i \beta = -\frac{\ln(1-n)}{\tau}.$$

В случае а), как и для гомогенного горения, процесс, согласно уравнению Аррениуса  $k = k_0 e^{-E/RT}$ , должен сильно зависеть от температуры. Зависимость в системе координат  $\lg k^* = f(1/T)$  позволит рассчитать энергию активации и константу скорости  $k_0$  для поверхностного процесса. В случае б) зависимость от температуры будет слабой, так как здесь гетерогенный множитель связан только с показателем интенсивности диффузии горючего из объема на стенку, т. е. величиной  $\beta$ , и опытные данные позволят уточнить величину  $\beta$  для условий опыта.

3. Общий случай гомогенно-гетерогенного процесса горения, когда  $s_i k^*$  и  $\kappa$  сравнимы, т. е. наряду с реакцией на стенке может идти интенсивный объемный процесс. Он будет описываться уравнением

$$n = 1 - e^{-\frac{\kappa}{w} L} e^{-\frac{s_i k^*}{w} L} = 1 - e^{-\frac{1}{w} (\kappa + s_i k^*) L}$$

$$\kappa + s_i k^* = K = - \frac{\ln(1-n)}{\tau} \quad (7)$$

рассмотренного следует, что для определения кинетических констант поверхностного процесса горения  $k$  и  $E_k$  желательно пользоваться такой астью температур, в которой осуществлялся бы второй случай, и им процесса горения описывался уравнением (5). Если объемный про- с все же будет иметь место, то необходимо специальными опытами опре-  $-\frac{\kappa}{w} L$  ить величину  $\kappa$  для исследуемой области и вычислять величину  $e^{\frac{\kappa}{w} L}$  в условиях данных опытов.

Нами была поставлена цель, на основании приведенных соотношений пыта выяснить характеристики как объемного, так и поверхностного цессов при горении газовых смесей в присутствии твердой стенки. ыты следовало проводить или в узких каналах, или в слое мелкозерни- й засыпки. Более подходящим явилось, однако, использование узких налов, так как в них можно получить наилучшие изотермические усло- для реакции.

В качестве материала стенок канала брались вещества различной к- тической активности: 1) плавленый кварц, который может рассмат- аться в качестве каталитически неактивного вещества, позволяющего учить данные по кинетике объемной реакции и, в частности, опреде- ь величину  $\kappa$ ; 2) платина, обладающая очень высокой активностью, воляющая создать условия чисто диффузионного режима, и 3) медь, материал с промежуточной активностью.

Исследовались смесь окиси углерода с воздухом, кинетика горения орых описана в литературе [4—6].

### Экспериментальная часть

Схема установки. Схема установки дана на рис. 1. Реакционная смесь авлялась из окиси углерода, поступающей из газометра и воздуха. Воздух поступал остоянным содержанием влаги 1,2%, что достигалось насыщением его водяным паром

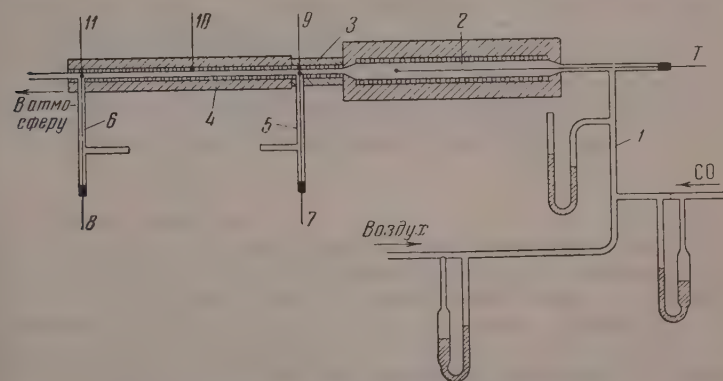


Рис. 1. Схема экспериментальной установки

комнатной температуре с последующей конденсацией избыточной влаги в ряде змее- ов, помещенных в водяной термостат с постоянной температурой 10° С.образова- реакционной смеси проходило в смешивательной трубке 1. Однородная газовоздуш- смесь предварительно нагревалась, проходя по кварцевой трубке с электрообогре- 2. Нагрев смеси до температуры опыта происходил в узком кварцевом канале 3 метром 2 мм, также снабженном электрообогревом. Этот канал переходил в реак- ный канал диаметром 2 мм и длиной 150 мм, с регулируемым электрообогревом. оличества окиси углерода и воздуха, поступающие в установку, измерялись при оци реометров.

Исходная смесь и продукты реакции отбирались в газовые пипетки через патрубки, находящиеся у входа смеси в реакционный канал 5 и у выхода продуктов реакции канала 6. Состав смеси и продуктов реакции определялся посредством газоанализаторной системы ВТИ.

Температурный режим процесса в реакционном канале поддерживался постоянным. Контроль температур осуществлялся при помощи платино-платинородиевых термопар диаметром 0,15 мм. Две термопары устанавливались внутри реакционного канала у входа 7 и выхода 8 газа и выводились через те же патрубки, через которые бралась и пробы газа на анализ. Три термопары 9—11 были установлены на внешней стенке реакционного канала. Они позволяли контролировать изменение температуры по длине реакционного канала. Внутренние термопары имели корольки, защищенные тонким слоем фарфора во избежание каталитического процесса на их поверхности. Реакционный канал был хорошо изолирован для уменьшения тепловых потерь в окружающую среду.

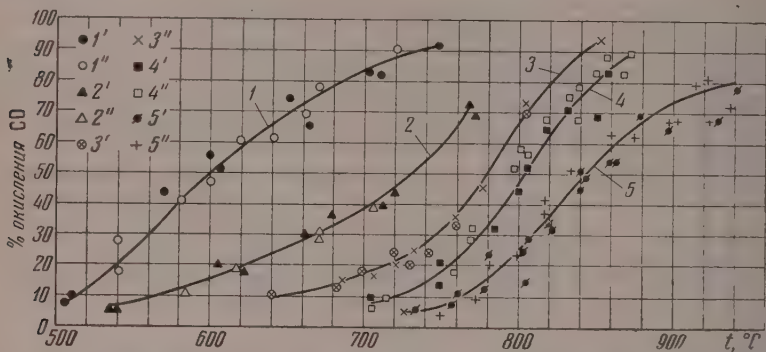


Рис. 2. Зависимость процента выгорания от температуры (кварцевый канал диаметром 2 мм) при различных скоростях потока в канале и содержании СО в смеси: 1 — 1 м/сек (1' — 3%, 1'' — 5% СО в смеси); 2 — 4 м/сек (2' — 3%, 2'' — 5%); 3 — 8 м/сек (3' — 3%, 3'' — 5%), 4 — 17 м/сек (4' — 3%, 4'' — 5%); 5 — 34 м/сек (5' — 3%, 5'' — 5%)

**Методика.** При проведении опытов газозадушная смесь подогревалась сначала в более широкой трубке 2 до температуры около 400° С, далее доводилась до температуры опыта в узком канале 3 (рис. 1). Температура контролировалась термопарой 9. Температурный режим в реакционном канале поддерживался регулированием электрического напряжения при помощи вариаторов и контролировался внутренними термопарой 8 и внешними термопарами 9—11. Ход процесса наблюдался по изменению состава исходной газозадушной смеси при одновременном отборе проб газа через патрубки 5 и 6, т. е. по анализу смеси, входящей в реакционный канал, и продуктов реакции, выходящих из него. Гидродинамический режим течения в канале поддерживался ламинарным.

**Опыты в кварцевом канале.** Эти опыты проводились с целью получения сведений о гомогенном горении окиси углерода, а также о характеристике суммарной константы скорости объемного горения, т. е. величины  $k$ . Опыты проводились в области температур 500—900° при скорости потока в канале от 1 до 34 м/сек и при постоянной начальной концентрации окиси углерода в исходной смеси 2—5 объемн. %.

Данные по зависимости процента окисления окиси углерода от температуры представлены на рис. 2. За температуру процесса принималась средняя величина между температурой, измеряемой внутри канала при входе газовой смеси в канал (термопара 7), и температурой внутри канала на выходе газа из канала (термопара 8); обычно разница в показаниях этих термопар не превышала 10° С.

Из рис. 2 видно, что процент окисления окиси углерода не зависит от ее концентрации в исходной смеси и определяется только температурным режимом и скоростью потока в реакционном канале. Следовательно, процесс подчиняется кинетическому закону первого порядка по окиси



рода. Данные позволяют оценить температурную зависимость скорости реакции окисления окиси углерода. На рис. 3 показана зависимость скорости реакции окисления окиси углерода ( $\lg k$ ) от обратного значения абсолютной температуры. Величина  $k$  рассчитана по формуле  $k = \ln(1-n)/\tau$ . Из рис. 3 следует, что при

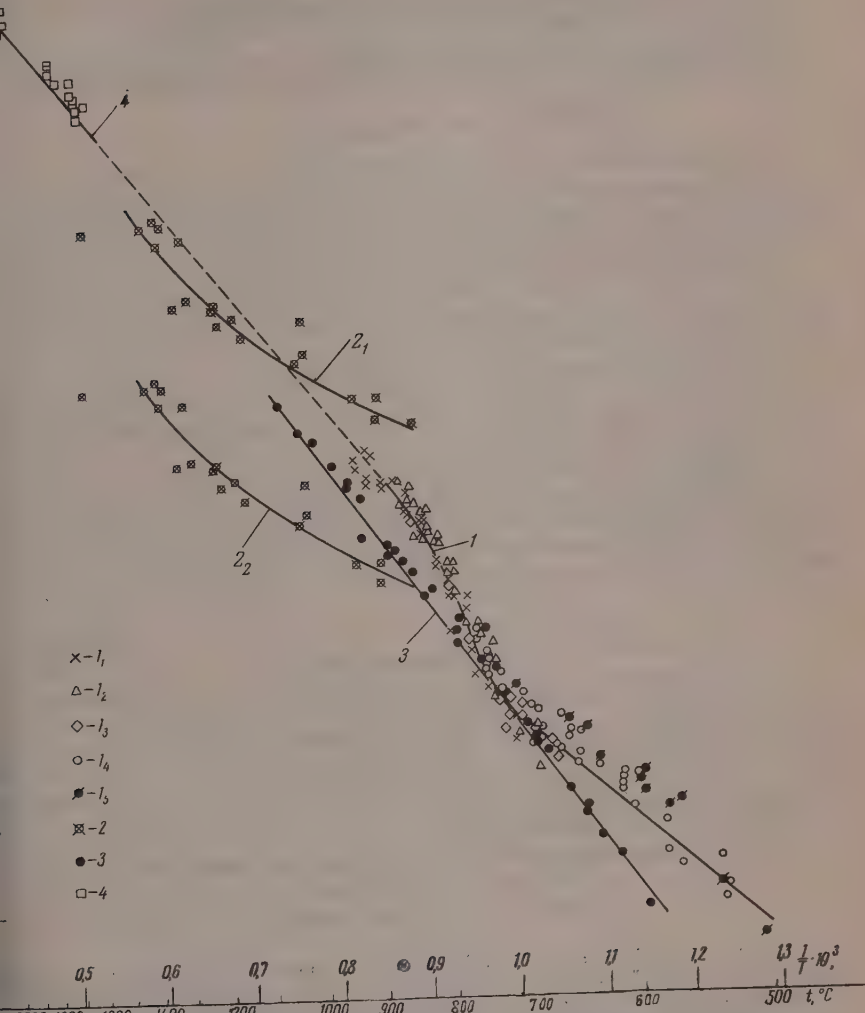


рис. 3. Зависимость константы скорости горения от температуры: 1 — по данным автора (при скоростях потока в канале  $l_1=34$ ,  $l_2=17$ ,  $l_3=8$ ,  $l_4=4$ ,  $l_5=1$  м/сек); 2 — по данным [4]; 3 — по данным [5]; 4 — по данным [6]

температурах ниже области воспламенения окиси углерода, т. е. в интервале 500—700° С, кривая идет более полого, что соответствует значению энергии активации  $E = 22000$  кал/моль.

При температуре выше 750° С кривая идет более круто, значение кажущейся энергии активации (поскольку имеет место переход процесса с одного уровня на другой) возрастает до  $E = 60000$  кал/моль, а затем

снова постепенно снижается и в области более высоких температур (выше  $800^{\circ}\text{C}$ ) равняется примерно  $E = 30\,000$  кал/моль.

Для сопоставления на рис. 3 нанесены также зависимости констант скорости горения окиси углерода от температуры, полученные другими авторами [1—5, 6]. Как видно из рисунка, значения энергии активации, полученные нами при температурах выше  $800^{\circ}\text{C}$ , достаточно хорошо согласуются с результатами других авторов. Результаты по ходу объемного процесса в кварцевом канале позволяют теперь перейти к исследованию кинетических характеристик на катализаторах и будут опубликованы в других статьях.

Автор приносит глубокую благодарность чл.-корр. АН СССР Л. Н. Хитрину, а также д.т.н. М. Б. Равичу за руководство настоящей работой и помощь в ее проведении.

### Выводы

1. Теоретический анализ условий развития гомогенно-гетерогенных процессов при помощи усредненных уравнений горения показал, что исследование этих процессов должно проводиться в узких каналах, изготовленных из материалов с различной каталитической активностью.

2. Разработана методика и техника исследования гомогенно-гетерогенного процесса горения газов. Процесс горения изучался при протекании горючей смеси в цилиндрических каналах диаметром 2 мм. Режим процесса поддерживался изотермический.

3. Исследования проведены со смесью окиси углерода с воздухом в кварцевом канале в области температур  $500\text{--}900^{\circ}\text{C}$  при скоростях потока в канале от 1 до 34 м/сек и при начальной концентрации окиси углерода в смеси от 2 до 5 объемн. %.

4. В качестве данных, необходимых для дальнейшего исследования гетерогенного процесса, получены кинетические показатели для суммарной характеристики реакции гомогенного горения окиси углерода  $-k_0$  и  $E$  в канале в пределах температур  $500\text{--}900^{\circ}\text{C}$ , и дано сопоставление значений энергии активации для температур выше  $800^{\circ}\text{C}$  с данными, полученными различными авторами.

Поступила  
11.II.1958

### ЛИТЕРАТУРА

1. А. С. Предводителев, Л. Н. Хитрин, О. А. Цуханова, Горение углерода, Изд-во АН СССР, 1949.
2. О. А. Цуханова, Изв. АН СССР, отд. техн. н., № 6, 1947.
3. А. Н. Хитрин. Докл. АН СССР, 29, 1951.
4. Н. А. Каржавина, Ж. физ. химии, 19, 551, 1945.
5. Г. И. Козлов, К вопросу о закономерностях высокотемпературного окисления метана и окиси углерода (в печати).
6. Г. К. Соболев, Инж. физ. ж. 1, № 5, 1958.

### HOMOGENEOUS-HETEROGENEOUS BURNING OF CARBON MONOXIDE IN NARROW DUCTS

L. S. Solov'eva (Moscow)

#### Summary

A theoretical analysis of the development of homogeneous-heterogeneous processes with the aid of mean equations of burning has shown that such processes should be studied in narrow tubes of materials of varying catalytic activities.

A procedure has been developed for investigating homogeneous-heterogeneous processes of the burning of gases. The processes were studied during flow of the combustible mixture through cylindrical tubes 2 mm diameter. The reaction was carried out under isothermal conditions.

Mixtures of 2—5% per volume carbon monoxide and air were studied by passing through a quartz tube at velocities from 1 to 34 m/sec and temperatures within the limits  $500\text{--}900^{\circ}\text{C}$ .

The quantities  $k_0$  and  $E$  characterizing the overall reaction of homogeneous burning of carbon monoxide in the tube at temperatures ranging from  $500$  to  $900^{\circ}\text{C}$  have been evaluated and the activation energies for temperatures above  $800^{\circ}\text{C}$  have been compared with data obtained by various authors as starting points for further study of the heterogeneous process.

О ТАУТОМЕРИИ НЕКОТОРЫХ ПРОИЗВОДНЫХ  
ГЕТЕРОЦИКЛИЧЕСКИХ СОЕДИНЕНИЙ

X. СТРОЕНИЕ СОЛЕЙ ОКСИПРОИЗВОДНЫХ ГЕТЕРОЦИКЛИЧЕСКОГО РЯДА

Ю. Н. Шейнкер и Ю. И. Померанцев

Двойственная реакционная способность металлопроизводных (солей) таутомерных соединений и способность солей разных металлов давать в реакциях два различных ряда производных послужили в свое время основанием для представлений о таутомерии солей и о разном строении солей разных металлов [1—3].

Хотя к настоящему времени эта точка зрения не может считаться правильной, однако в литературе до сих пор можно встретить различные мнения по вопросу о строении солей карбонилсодержащих таутомерных соединений.

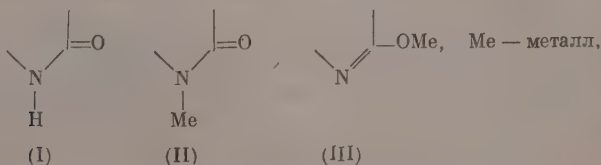
Одной из существенных причин, затруднявших выработку единого взгляда на строение солей таутомерных соединений, являлось отсутствие в прежние время таких методов исследования, которые позволяли бы изучить строение молекул твердых кристаллических веществ, какими являлись указанные соли. Как отмечает Хюккель [4], исследование растворов солей не могло быть, с этой точки зрения, достаточно «доказательным», поскольку при растворении подобных соединений их строение может существенно изменяться.

В настоящее время исследование соединений, существующих в кристаллическом состоянии, возможно различными физическими методами, среди которых важное место занимает инфракрасная спектроскопия.

В данной работе инфракрасные спектры использованы для изучения строения солей оксипроизводных гетероциклического ряда, причем даны получены главным образом для веществ в твердом, кристаллическом состоянии и лишь в некоторых случаях для растворов.

$\alpha$ - и  $\beta$ -оксипроизводные гетероциклических соединений, строение которых обсуждалось в наших предыдущих статьях [5—8], проявляют особенность легко образовывать соли различных металлов.

При этом, если сами оксипроизводные существуют и в кристаллическом состоянии и в растворах лишь в оксоформе (I):



их металлическим производным может быть приписано строение (II) и (III), отвечающее двум возможным таутомерным формам. Изображая строение солей таким образом, следует, однако, иметь в виду, что связь металла с кислородом (или азотом) носит в существенной степени ионный характер, причем степень «ионности» может весьма заметно различаться

в связи с особенностями строения органического остатка или свойствами металла. Вместе с тем, хотя связь  $O - Me$  может приближаться к ионной связи очень близко, несомненно имеет место локализация атома металла около одного или другого атома органического остатка (атомы азота или кислорода в нашем случае). Поэтому, когда при дальнейшем изложении нами употребляются термины лактимное или лактамное строение в приложении к солям оксигетероциклических соединений мы имеем в виду то или иное строение, определяемое местоположением атома металла или местом концентрации отрицательных зарядов (для анионов), степенью кратности связи  $C = O$  и других связей в молекуле, но оставляем в стороне вопрос о степени полярности связей  $O - Me$  (или  $N - Me$ ).

Соли некоторых оксигетероциклических соединений в последние годы были исследованы при помощи инфракрасных спектров.

В работе, касающейся строения 2- и 4-оксипиридинов и их солей, одним из нас совместно с В. М. Резниковым [5] при помощи инфракрасных спектров было показано, что кристаллические натриевая и серебряная соли 2-оксипиридина имеют оксипиридиновое (лактимное) строение, и металл находится при атоме кислорода [формула (III)]. К этому же выводу относительно строения натриевой соли 2-оксипиридина приходит Гибсон с сотрудниками [9], и относительно солей изатина — Д. Н. Шигорин [10].

Растворы солей некоторых оксигетероциклов (2- и 4-оксипиридинов) изучались лишь при помощи ультрафиолетовых спектров [11, 12], причем данные для них также были истолкованы как свидетельство в пользу лактимного строения аниона, т. е. строения, отвечающего наличию отрицательного заряда аниона на кислороде, а не на азоте [12]. Однако если для солей 4-оксипиридина (4-пиридола) подобное истолкование действительно следует из спектральных данных, то для солей 2-оксипиридина (2-пиридола) вызывает некоторое затруднение, ибо эти соли поглощают в ультрафиолетовой области подобно N-метилпиридону (или самому 2-пиридону), а вовсе не подобно 2-метоксипиридину.

### Экспериментальная часть

Натриевые соли ряда оксигетероциклических производных (соли пиридола, фталазона, барбитуровой и замещенных барбитуровых кислот) были получены при взаимодействии эквивалентных количеств безводного этилата натрия с соответствующим оксипроизводным в спиртовой среде с последующей отгонкой спирта (под вакуумом) до кристаллизации осадка.

Калиевая, бариевая и литиевая соли 2-пиридола (и Na-соль 4-пиридола) были получены при действии концентрированных растворов соответствующих щелочей на водный раствор 2-пиридола (или 4-пиридола). Аналогичным образом может быть получена и Na-соль 2-пиридола, а также соли некоторых алициклических сульфаниламидов исследованных в работе. Моно-, ди- и тринатриевые соли циануровой кислоты получались при действии растворов NaOH на циануровую кислоту [13]. Для некоторых соединений (например, для 4-метилтиазолона-2) образование соли в условиях сильно щелочной среды затруднялось, по-видимому, в связи с разрушением при этом самого соединения. В этом случае Na-соль была получена при непосредственном взаимодействии мелкоизмельченного металлического натрия с 4-метилтиазолоном-2 в среде бензола. Таким же образом была получена и Na-соль пиридола, идентичная по своим свойствам Na-солям пиридола, полученным другими методами.

Серебряные соли получались взаимодействием соответствующего оксипроизводного с избытком азотнокислого серебра в аммиачном водном растворе. Для некоторых соединений получение и исследование серебряных солей оказалось невозможным в связи с их крайней неустойчивостью (разложение с выделением металлического серебра).

Инфракрасные спектры были сняты при помощи спектрометра ИКС-11 (призма NaCl) для веществ в кристаллическом состоянии (пасты с вазелиновым маслом или полифторуглеродом). Растворимые соли пиридола исследовались также и в растворах.

Спектры растворов были получены в области 5—8  $\mu$ , в качестве растворителей использовался этиловый спирт и тяжелая вода  $D_2O$ . Использование последней как растворителя было обусловлено прозрачностью тяжелой воды в указанной спектральной области, в отличие от обычной воды  $H_2O$ , имеющей здесь собственное интенсивное поглощение. Кювета для работы с такими растворами была снабжена флюоритовыми окнами.

Полученные спектры приведены на рисунках.



## Обсуждение результатов

Из сопоставления спектров солей монооксисоединений со спектрами родных оксисоединений, а также метилированных по азоту и кислороду производных, отвечающих двум возможным формам строения, можно сделать вывод об окси-(или лактимном) строении солей.

Действительно, в спектрах солей (рис. 1, 2) отсутствует полоса карбонильной группы в области  $1650\text{--}1700\text{ см}^{-1}$ , являющаяся характерной для всех оксипроизводных, существующих лишь в оксо-(лактимной) форме. Вместе с тем в области полос двойных связей в спектрах солей являются полосы, характерные для соответствующих гетероциклических колец. Это полосы  $1600\text{ см}^{-1}$  для пиридинового цикла в солях пиридоны (аналогична полосе  $1600\text{ см}^{-1}$  в 2-этоксипиридине), полоса  $1537\text{ см}^{-1}$  для тиазольного цикла в соли 2-тиазолона ( $1532\text{ см}^{-1}$  в 2-метокситиазоле), полосы около  $1600\text{ см}^{-1}$  в солях фталазона,  $1570\text{ см}^{-1}$  в соли тиадиазолона и т. д. Спектры солей близки к спектрам соответствующих О-алкильных производных (особенно в области  $5\text{--}8\text{ м}.$

Лактимным строением обладают соли различных металлов. Это носит, например, к рассмотренным нами литиевой, натриевой, калиевой, серебряной и бариевой солям 2-пиридоны, которые имеют признаки «лактимного» строения и вообще очень близкие спектры (рис. 1). Эти данные отрицают представление о различном строении солей разных металлов, как причине разного строения метилированных производных, полученных из этих солей.

Небольшие различия в положении и относительной интенсивности отдельных полос в спектрах солей разных металлов (соотношение интенсивностей полос  $1470$  и  $1410\text{ см}^{-1}$ , положение полос в области

$15\text{--}15\text{ м}.$ ) обусловлены, по-видимому, различием в полярности связей  $\text{O—Me}$ . Другая возможная причина этих отличий — различие в атомных весах металлов, по-видимому, не имеет значения по крайней мере для данной спектральной области ( $2,5\text{--}15\text{ м}.$ ). Это следует из того, что ближе всего выпадают спектры Na- и Ba-солей и по большинству полос — Li-соли, Mg-соль отличается заметнее всего от других, K-соль занимает промежуточное положение, хотя ближе к Na- и Ba-солям. Если бы главную роль играла масса атома металла, то наибольшее отличие следовало бы ожидать для бариевой, а не серебряной соли, и изменения должны были бы постепенно нарастать при переходе от литиевой к бариевой соли, чего на опыте не наблюдается. Однако в спектре Li-соли, наряду с совпадением почти всех основных полос с полосами Na-соли, появляется новая полоса, отсутствующая у всех других солей пиридоны ( $805\text{ см}^{-1}$ ). По-видимому, эта полоса отвечает характеристическому колебанию  $\text{O—Me}$ , причем

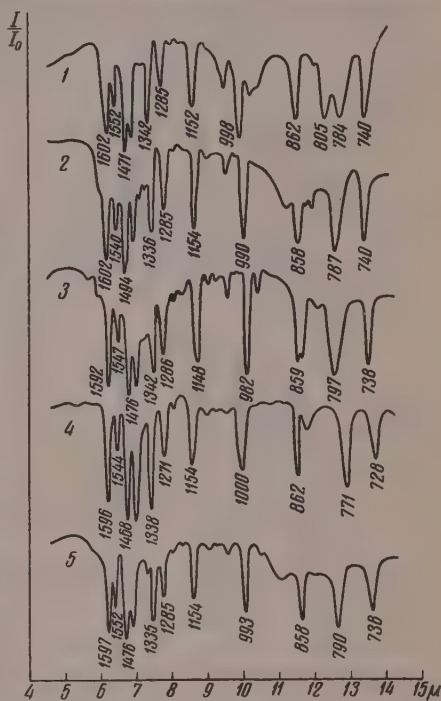


Рис. 1. Инфракрасные спектры поглощения солей 2-пиридоны: 1 — литиевой; 2 — натриевой; 3 — калиевой; 4 — серебряной; 5 — бариевой

такие полосы для солей более тяжелых металлов лежат вне пределов исследовавшейся спектральной области и лишь для Li-соли полоса оказалась в рабочем интервале призмы NaCl.

Явно выраженная близость спектров солей разных металлов между собой и близость их к спектру 2-этоксипиридина (особенно в области 5–8  $\mu$ ) указывают на одинаковость строения гетероциклического ядра во всех этих соединениях. Это является свидетельством малого влияния полярности связи O — Me на гетероциклическое ядро, что может иметь место при концентрировании практически всего отрицательного заряда при поляризации на атоме кислорода без перехода его к азоту ядра.

Максимальную величину этот заряд должен иметь в анионе и, с этой точки зрения, особый интерес представляло изучение солей в таких усло-

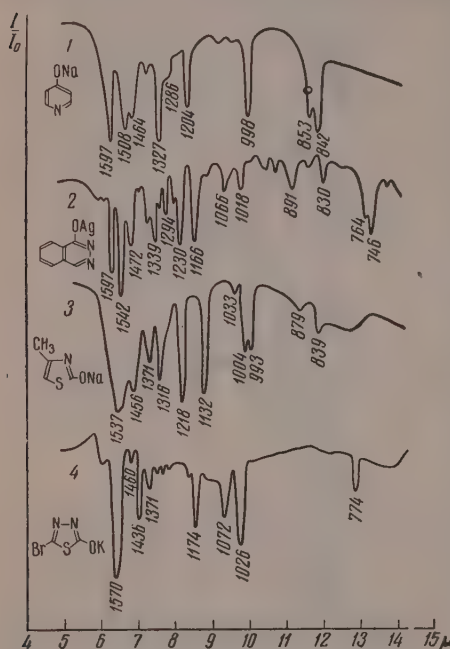


Рис. 2. Инфракрасные спектры поглощения: 1 — Na-соли 4-пиридоны; 2 — Ag-соли 1-фталазона; 3 — Na-соли 4-метил-2-тиазолона; 4 — K-соли 4-бром-2-тиадиазолона

полос 1600, 1542, 1480 1430, 1340  $\text{cm}^{-1}$ , которые были в спектрах твердых солей и в спектре 2-этоксипиридина (в последнем лишь отсутствовала полоса 1542  $\text{cm}^{-1}$  и имела полоса 1392  $\text{cm}^{-1}$ , вероятно, деформационное колебание  $\text{CH}_3$ -группы).

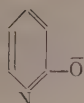
Те небольшие отличия, которые наблюдались в этой области в спектрах кристаллических солей разных металлов, в растворах исчезают (рис. 3), что вполне естественно, поскольку здесь мы имеем дело с одним и тем же анионом. Этот анион пиридоны (или оксипиридина) имеет «лапчатое» строение (IV), т. е. отрицательный заряд аниона практически полностью сосредоточен на кислороде, а строение гетероциклического ядра, судя по спектрам, мало отличается от такового в кристаллическом

веществе, в которых они существуют. Это подтверждается тем, что заведомо в диссоциированной форме — органического аниона и катиона металла. Очевидно, такие условия имеются в водных растворах, а может быть, и в растворах в других растворителях. То, что в водных растворах соли пиридоны ведут себя как сильные электролиты и диссоциируют на ионы, следует из высокого значения электропроводности таких растворов. Так, по нашим измерениям эквивалентная электропроводность 0,1 N раствора Na-соли пиридоны равна 73  $\Omega^{-1} \text{ см}^2$ . Следовательно, спектральные характеристики, полученные нами при исследовании растворов солей, относятся к анионам, а не к недиссоциированным молекулам.

В связи с этим весьма замечательно, что спектры солей пиридоны в водных\* (равно как и в спиртовых) растворах совершенно повторяют все характерные особенности спектров кристаллических солей. Как и для кристаллов, в спектрах растворов (рис. 3) отсутствуют полосы карбонильной группы  $\text{C} = \text{O}$ , наблюдается систем-

\* Использовалась тяжелая вода (99,8%  $\text{D}_2\text{O}$ ).

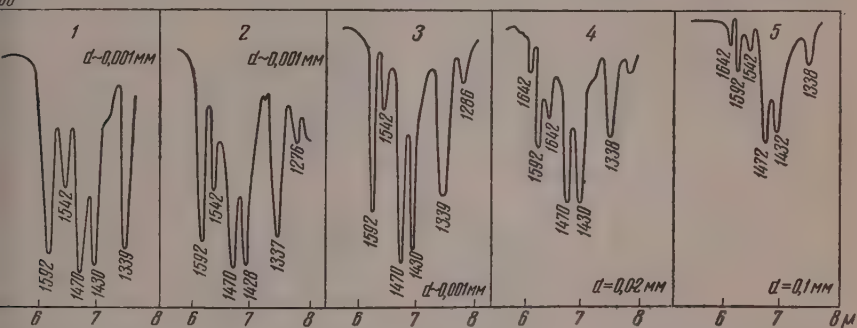
лях и 2-этоксипиридине:



(IV)

При переходе от концентрированных растворов солей пиридона в  $D_2O$  разбавленным (до 1,5%) в спектрах появляется мало интенсивная, но легко усиливающаяся с разбавлением полоса при  $1642\text{ см}^{-1}$ , которая вызывает на появление в растворах свободного пиридона. Это, очевидно, обусловлено гидролизом солей в водной среде (2-пиридон — слабая кислота,  $pK_a = 12,17$  [7]).

В связи с этим фактом может возникнуть предположение, что близость ультрафиолетовых спектров пиридона и его Na-соли, о чем указывалось



с. 3. Инфракрасные спектры поглощения растворов солей 2-пиридона  $D_2O$ : 1 — соль (25%-ный раствор); 2 — Na-соль (25%-ный раствор); 3 — K-соль (25%-ный раствор); 4 — K-соль (4%-ный раствор); 5 — K-соль (1,5%-ный раствор)

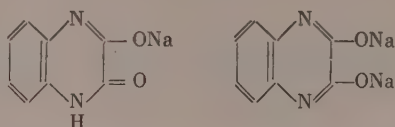
ше, является следствием практически полного гидролиза соли при больших разбавлениях, при которых ведется съемка ультрафиолетовых спектров. Однако эта точка зрения не может объяснить отмеченное сходство спектров, ибо в безводном диоксане, где гидролиз практически невозможен, ультрафиолетовый спектр Na-соли продолжает оставаться близким к спектру 2-пиридона.

По нашему мнению, близость ультрафиолетовых спектров 2-пиридона и его иона (имеющего оксипиридиновое строение) может быть объяснена лишь случайным совпадением величины смещения главной полосы поглощения при переходе от таутомерной оксипиридиновой формы молекулы (которая, очевидно, должна иметь спектр, подобный спектру 2-этоксипиридина) в пиридоновую форму или ион. И то и другое превращение сопровождается, как известно, смещением полосы в длинноволновую область, видимо, для 2-оксипиридина эти смещения оказались почти одинаковыми по величине, чего не наблюдается в других подобных случаях (например, 4-пиридон и его соли имеют различные спектры).

Возвращаясь к рассмотрению спектров кристаллических солей, необходимо отметить, что «лактимное» строение характерно не только для ней монооксипроизводных, но и солей полиоксисоединений таких, как оксидиноксалин, циануровая и барбитуровая кислота и др.

В спектре моноватерной соли диоксидиноксалина (рис. 4) появляется полоса  $1557\text{ см}^{-1}$ , лежащая в области полос сопряженных двойных связей в циклах и отсутствующая в спектре самого диоксидиноксалина. Карбонильная полоса несколько смещена в низкочастотную область, что указывает на сопряжению группы  $C=O$  с двойными связями. В динатриевой

соли интенсивность карбонильной полосы значительно падает (наличие этой полосы, видимо, обусловлено примесью моноватриевой соли), полосы сопряженных двойных связей возрастают по интенсивности и несколько смещаются в сторону больших длин волн. Из этих данных следует, что соли диоксихиноксалина имеют следующее строение:



Такая же последовательная энолизация сопровождается и образованием солей циануровой и барбитуровой кислот.

Если в спектре самой циануровой кислоты (рис. 5) в области полных связей имелась лишь интенсивная полоса  $1700\text{ см}^{-1}$  и несколько

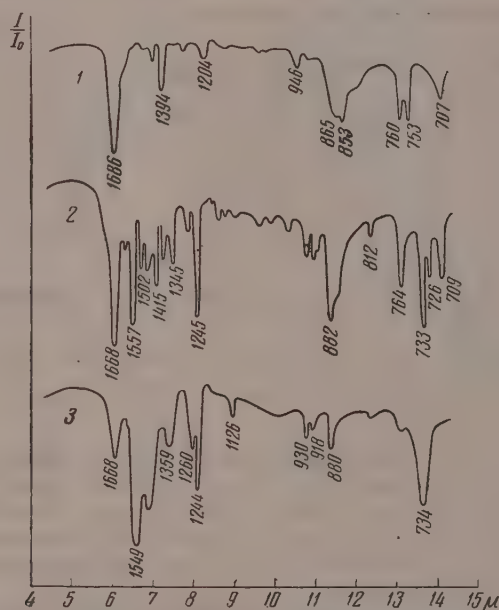


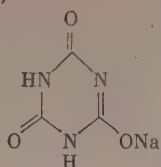
Рис. 4. Инфракрасные спектры: 1 — диоксихиноксалина; 2 — моноватриевой соли I; 3 — диватриевой соли I

более слабая  $1775\text{ см}^{-1}$  (отвечают карбонильным группам  $\text{C}=\text{O}$ , связанным двумя типами водородных связей в кристалле [14]), то в спектре ее моноватриевой соли наряду с карбонильной полосой  $1746\text{ см}^{-1}$  появляются две новые полосы —  $1656$  и  $1608\text{ см}^{-1}$ . Первая из них лежит в области, характерной для карбоиламидных групп  $\text{C}=\text{O}$  при наличии сопряжения; вторая, видимо, относится к сопряженной двойной связи. Отсюда строение соли отвечает формуле (V).

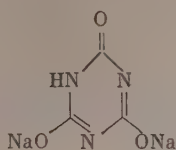
В диватриевой соли идет дальнейшая энолизация — в спектре остаются лишь полосы  $1636\text{ см}^{-1}$  (амидный карбонил в условиях сильного сопряжения) и  $1525\text{ см}^{-1}$  (сопряженная система двойных связей в циклах, что отвечает строению (VI)). Наконец, в спектре тринатриевой соли вообще нет полос, которые можно было бы отнести к карбонильным группам. Спектр содержит интенсивную полосу  $1505\text{ см}^{-1}$ , отвечающую колебаниям триазинового цикла, и становится аналогичным спектру трихлор



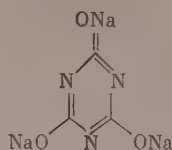
азина (в трихлортриазоне подобная же полоса наблюдается при  $2 \text{ см}^{-1}$ ):



(V)



(VI)



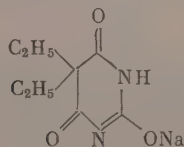
(VII)

нь имеет строение (VII).

Аналогичную картину показывают спектры моно- и динатриевой со- барбитуровой кислоты (тринатриевую соль кислота не образует).

Моноэнольное строение имеют и соли замещенных барбитуровых кист. Так, если в спектре диэтилбарбитуровой кислоты (веронал) в области лос кратных связей имеются три карбонильные полосы —  $1767$ ,  $1702$  и  $73 \text{ см}^{-1}$  (отвечают карбонильным группам в разных положениях или аствующим в разных водородных язах), то в спектре ее натриевой ли (мединал) одна карбонильная лоса  $1767 \text{ см}^{-1}$  исчезает (при со- анении двух других с несколько иженной частотой —  $1693$  и  $62 \text{ см}^{-1}$ ) и появляется новая ин- нсивная полоса сопряженных ойных связей  $1565 \text{ см}^{-1}$  (рис. 6).

Можно считать, что полоса  $67 \text{ см}^{-1}$  в спектре диэтилбарби- ровой кислоты относится к кар- нильной группе в положении 2, ходящейся между двумя атома- и азота ( $\text{C}=\text{O}$  группа между ума повышающими частоту груп- ровками). Поэтому характер из- нения спектра при образовании ли (исчезновение полосы  $1767 \text{ см}^{-1}$ ) позволяет предположить, что олилизацию претерпевает именно а карбонильная группа, и строе- те получающейся соли отвечает ормуле (VIII). Таким образом, талл в мединале связан с ато- ом кислорода, а не азота ядра, к до сих пор



(VIII)

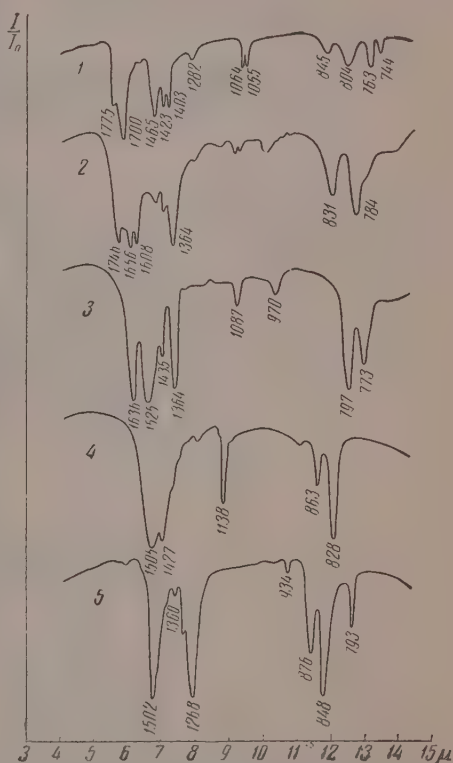


Рис. 5. Инфракрасные спектры: 1 — циануровой кислоты; 2 — моносодиевой соли 1; 3 — динатриевой соли 1; 4 — тринатриевой соли 1; 5 — трихлортриазина

ычно указывается в литературе [15, 16]. Это в такой же степени отно- тся и к солям других замещенных барбитуровых кислот, находящихся, как мединал, широкое применение в качестве снотворных средств.

Как видно из всего приведенного материала, образование солей окси- роизводных гетероциклического ряда сопровождается перестройкой их

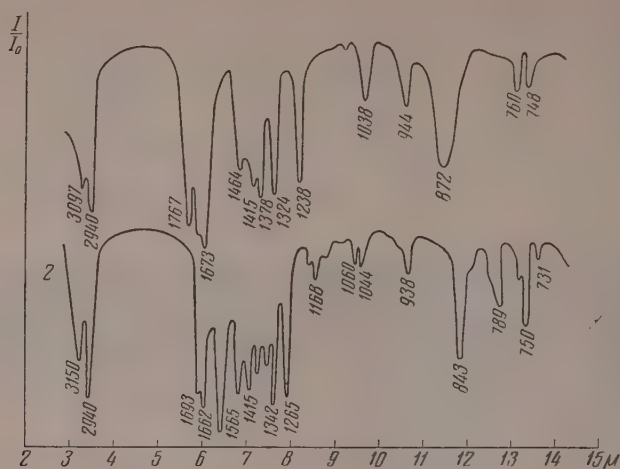


Рис. 6. Инфракрасные спектры: 1 — диэтилбарбитуровой кислоты (веронала); 2 — Na-соли диэтилбарбитуровой кислоты (мединала)

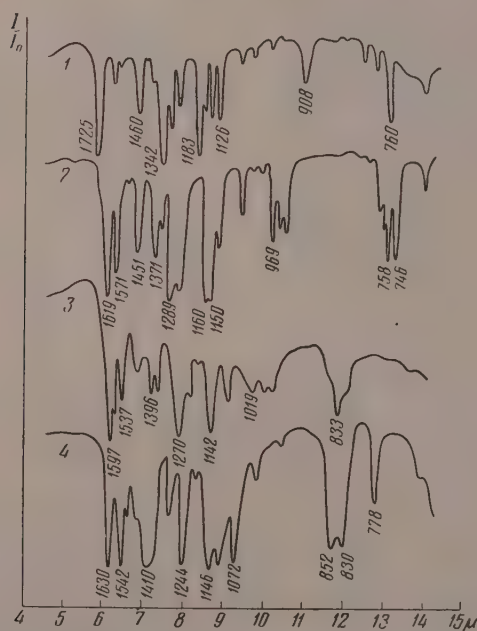


Рис. 7. Инфракрасные спектры: 1 — сахарина; 2 — Na-соли сахарина; 3 — Ag-соли сульфанилацетамида (альбуцида); 4 — Na-соль сульфанилилмочевины (уросульфона)

олекул из лактамной в лактимную форму. Очевидно, что способность к изолизации при солесобразовании не связана обязательно с гетероциклическим строением соответствующих соединений, а присуща вообще карбонильной группировке, независимо от того, входит ли она в состав гетероцикла или алифатического соединения. Так, по нашим измерениям минольным строением обладают как соли алифатических сульфанилами-

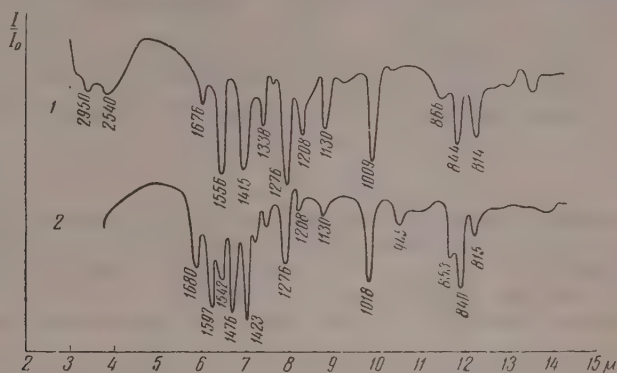
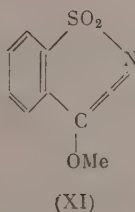
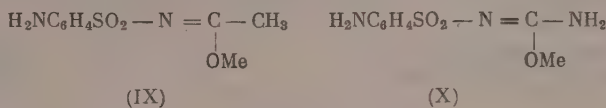


Рис. 8. Инфракрасные спектры: 1 — *n*-диоксипиридазина; 2 — Na-соли *n*-диоксипиридазина

ов — сульфанилилацетамида (альбуцида) и сульфанилилмочевины (уросульфана), так и соли циклического имида *o*-сульфобензойной кислоты (сахарина)\*. В инфракрасных спектрах солей этих соединений отсутствуют полосы карбонильных групп, имеющиеся у исходных соединений в области 1685—1720  $\text{см}^{-1}$  (см., например, [17]), и появляются полосы, отвечающие двойной связи (1600—1630  $\text{см}^{-1}$ ) (рис. 7).

В соответствии с этими данными соли альбуцида, уросульфана и сахараина имеют строение, отвечающее формулам (IX), (X), (XI):



Энолизация (или лактимизация), которую претерпевают все рассмотренные соединения при образовании солей, очевидно, обусловлена сильной электроотрицательностью атома кислорода, на котором накапливается весь избыточный отрицательный заряд после ухода протона из молекулы оксисоединения, и атомы металла локализуются именно у этого, наиболее отрицательно заряженного атома.

\* Сам имид *o*-сульфобензойной кислоты, судя по спектрам, имеет лактамное строение, и, таким образом, ацидифицирующее действие сульфонильной группы в этом соединении оказывается недостаточным для перевода соединения в лактимную (иминольную) форму.

В тех немногих случаях, когда оксипроизводные гетероциклического ряда имеют смешанное окси-оксостроение (*n*-диоксипроизводные фталазина и пиридазина [18]) необходимость в подобной перестройке молекулы при солеобразовании отпадает, металл становится на место водорода оксигруппы, имеющаяся в молекуле карбопиламидная группировка не испытывает энолизации, и спектры солей и исходных оксисоединений весьма близки. На рис. 8, где приведен спектр *n*-диоксипиридазина (3-оксипиридазона-6) и его Na-соли, видно совпадение ряда полос спектров, причем некоторое отличие в расположении полос в области 6—7  $\mu$ , по нашему мнению, обусловлено появлением между молекулами соли металл-элементных связей взамен водородных связей, характерных для исходного оксисоединения.

### Выводы

1. Образование металлических солей  $\alpha$  и  $\gamma$ -оксипроизводных N-гетероциклического ряда сопровождается перестройкой их молекул из лактамного в лактимное строение. Во всех разнообразных рассмотренных случаях атом металла в солях локализован у атома кислорода, а не азота цикла, причем это относится к солям разных по электроположительности металлов.

2. Если в молекуле оксисоединения содержится несколько карбонил-амидных групп, то образование солей сопровождается последовательной энолизацией этих групп по мере замещения водорода металлом. В соединениях имеющих смешанное окси-оксостроение (*n*-диоксипроизводные пиридазина и фтализина) на металл замещается лишь водород оксигруппы, и энолизация второй карбониламидной группировки не происходит.

3. Избыточный отрицательный заряд, образующийся в результате поляризации связи O — Me в кристаллических солях, равно как и весь отрицательный заряд аниона солей в растворах, сосредоточен практически полностью на атоме кислорода, а не на атоме азота цикла.

4. Способность к энолизации при образовании солей в ряду исследованных соединений не связана обязательно с гетероциклическим строением, а проявляется и для карбониламидных группировок, включенных в незамкнутую цепочку.

Химико-фармацевтический институт  
им. С. Орджоникидзе  
Москва

Поступила  
11.II.1958

### ЛИТЕРАТУРА

1. W. Wislicenus, Z. angew. Chem., **34**, 211, 257, 1921.
2. В. Хюккель, Теоретические основы органич. химии, 1 том, Госхимтехиздат, 1933, стр. 96.
3. Г. В. Челинцов, Успехи химии, **7**, 5, 1938.
4. В. Хюккель, Теоретические основы органич. химии, 1 том, 264 стр., ИИЛ, Москва, 1955.
5. Ю. Н. Шейнкер, В. М. Резников, Докл. АН СССР, **102**, 109, 1955.
6. Ю. Н. Шейнкер, Ю. И. Померанцев, Ж. физ. химии, **30**, 79, 1956.
7. М. И. Кабачник, С. Т. Иоффе, Ю. Н. Шейнкер, Ж. общ. химии, **26**, 2025, 1956.
8. Ю. Н. Шейнкер, И. Я. Постовский, Н. М. Воронина, Ж. физ. химии, **33**, 302, 1959.
9. J. Gubson, W. Kynaston, A. Lindsey, J. Chem. Soc., 4340, 1955.
10. Д. Н. Шигорин, Ж. физ. химии, **29**, 1033, 1955.
11. H. Sprechel, H. Gawrosch, Ber., **75**, 1341, 1942.
12. В. И. Близиуков, В. М. Резников, Ж. общ. химии, **25**, 401, 1955.
13. A. Hantzsch, Ber., **39**, 139, 1906.
14. R. Newman, R. Badger, J. Amer. Chem. Soc., **74**, 3545, 1952.
15. Государственная фармакопия СССР, 8-е издание, 318 стр. и др., Медгиз, 1952.
16. Н. А. Преображенский, Э. И. Генкин, Химия органических лекарственных веществ, стр. 368, Гос. научно-техн. изд. хим. лит. М.—Л., 1953.
17. Ю. Н. Шейнкер, И. К. Кузнецова, Ж. физ. химии, **31**, 2656, 1957.
18. Ю. Н. Шейнкер, Т. В. Гортинская, Т. Н. Сычева, Ж. физ. химии, **31**, 599, 1957.



## TAUTOMERISM OF SOME HETEROCYCLIC DERIVATIVES. IX. STRUCTURE OF THE SALTS OF OXYDERIVATIVES OF THE HETEROCYCLIC SERIES

*Yu. N. Sheinker and Yu. I. Pomerantsev (Moscow)*

## S u m m a r y

In the investigation a study has been made of the infrared spectra of the salts of heterocyclic oxycompounds both in the crystalline state and in D<sub>2</sub>O and alcoholic solutions.<sup>1</sup>

The formation of metallic salts by  $\alpha$  and  $\gamma$ -oxyderivatives of the N-heterocyclic series has been shown to be accompanied by transition of the molecule from a lactam to a actim structure.

The excess negative charge formed as the result of O—Me bond polarization in crystalline salts as well as the over-all negative charge of the anions in solution are accumulated almost completely at the oxygen atom.

The nature of the formation of salts by heterocyclic polyoxy compounds, mixed oxyxo compounds and some acyclic compounds containing a carbonylamide group has been examined.

---

ОКИСЛИТЕЛЬНО-ВОССТАНОВИТЕЛЬНЫЕ ПОТЕНЦИАЛЫ  
ДИТИОФОСФАТОВ

*И. А. Каковский, Е. А. Степанов, О. Ф. Рязанцева  
и Н. В. Серебрякова*

Органические сульфгидрильные реагенты (ксантогенаты, дитиофосфаты, меркаптаны, дитиокарбаматы и т. д.) в последнее время находят все более широкое применение в различных областях науки и техники (флотация, гидрометаллургия, аналитическая химия и т. д.) как групповые или селективные реагенты (собиратели, осадители и реагенты другого назначения).

При флотации руд, содержащих самородные металлы, в качестве собирателей часто применяют дисульфиды — продукты окисления некоторых сульфгидрильных реагентов, как, например, диксантогениды —  $(\text{ROCSS})_2$ , тиурамдисульфиды —  $(\text{R}_2\text{NCSS})_2$  алкилдисульфиды —  $(\text{RS})_2$  и т. д. [1]. Образование дисульфидов наблюдается также при осаждении ионов некоторых тяжелых металлов, присутствующих в растворе в высших валентностях (двухвалентная медь, трехвалентные золото и таллий, четырехвалентный палладий и т. д.).

Для проведения термодинамических расчетов равновесий с участием органических сульфгидрильных реагентов необходимо знать окислительно-восстановительные потенциалы этих соединений; эти данные в литературе почти отсутствуют.

Ионы сульфгидрильных соединений по некоторым своим свойствам подобны ионам галогенидов: при их окислении образуются нейтральные молекулы дисульфидов, а последние при восстановлении снова переходят в ионную форму. Эта реакция довольно часто используется в органическом синтезе ([2], стр. 455; [3], стр. 248; [4], стр. 323; [5], стр. 705—706; [6], стр. 148; [7]) и полярографии ([8], стр. 71).

Настоящая статья посвящена изучению окислительно-восстановительных потенциалов ионов диалкилдитиофосфатов. Прочность химической связи между обеими группами молекулы дисульфида определяется плотностью электронного облака между ними — характером центрального ядра группы и строением ее аполярной части.

Атом фосфора в дитиофосфатах сильнее притягивает электронное облако серы и тем самым больше ослабляет связь между симметричными атомами серы дисульфида, чем атом углерода в диксантогенидах. Поэтому ион ксантогената окисляется легче, чем ион дитиофосфата ([9], стр. 286). По той же причине жирные меркаптаны окисляются легче, чем ароматические.

При введении в аполярную группу заместителей с большим сродством к электрону и при большом числе введенных заместителей можно получить даже свободные радикалы — соединения «одновалентной» серы ([10], стр. 151), аналогичные радикалам типа трифенилметана ([11], стр. 45—72). В аполярных растворителях, сильно сольватирующих молекулу дисульфида, разрыв ее на группы RS облегчается. Обратимость процесса:  $2\text{RS}^{\cdot} \rightleftharpoons 2e + (\text{RS})_2$ , иногда ставилась под сомнение ([12], стр. 281), но последними работами по окислению дистеина [13] это сомнение было опровергнуто и выяснена причина кажущейся необратимости процесса.

Согласно данным, приведенным в одной из наших работ ([9], стр. 286), реакция окисления иона дитиофосфата иодом полностью обратима. Дитиофосфат окисляется иодом, а, действуя на образовавшийся дисульфид раствором иодистого калия, можно наблюдать выделение иода. Если выделяющийся иод удалять (например, тиосульфатом), он выделяется снова до тех пор, пока весь дисульфид не превратится в ион дитиофосфата, с характерными для него реакциями (образование осадков с ионами тяжелых металлов, с которыми дисульфид не взаимодействует). Аналогично ведут себя и меркаптаны (например, меркаптобензотриазол), но только в этом случае равновесие зависит от кислотности среды, так как меркаптаны — слабые кислоты, тогда как дитиофосфорные кислоты — сильные.

## Экспериментальная часть

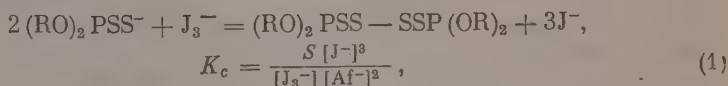
**Приготовление дитиофосфатов.** Синтез дитиофосфорных кислот проводился по обычной методике — взаимодействием спиртов с пятисернистым эфиром (сводку литературы см. [9], стр. 285). Чтобы реагенты не были загрязнены биологическими продуктами, особое внимание было обращено на чистоту примененного для синтеза спирта. Спирт подвергался сушке и разгонке с дефлегматором; первый погон отбрасывался, отгонка велась не до конца. При разгонке контролировалась температура и, если она не соответствовала приведенной в литературе для данного спирта, разгонка повторялась.

Навеска пятисернистого фосфора помещалась в колбу с обратным холодильником, в колбу добавлялся сухой спирт (с небольшим избытком сверх стехиометрического количества). Реакция начиналась на холоду, для окончания реакции колба нагревалась на водяной бане до прекращения выделения сероводорода. Реакционную массу забавляли абсолютным эфиром и отфильтровывали от непрореагировавшего пятисернистого фосфора. Эфирный раствор дитиофосфорной кислоты нейтрализовали поташом\*, выпавший осадок дитиофосфата калия отфильтровывали, промывали абсолютным эфиром (до бесцветности промывного раствора), растворяли в ацетоне и отфильтровывали ацетоновый раствор от избытка поташа. Ацетоновый раствор упаривали почти досуха, и немного маслянистый осадок дитиофосфата калия несколько раз промывали абсолютным эфиром. Обычно качество полученного препарата было достаточно хорошим. Если необходима дополнительная очистка, то дитиофосфат калия растворяют в минимальном количестве ацетона и высаливают абсолютным эфиром. Такая очистка позволяет получить очень чистый продукт, но с удлинением цепи спирта выход очищенной соли понижается, а амилловый и высшие дитиофосфаты уже не высаливаются эфиром из ацетонового раствора, и их дополнительная очистка производится промывкой эфиром упаренного ацетонового раствора. Из эфирных промывных растворов после частичного упаривания можно дополнительно извлечь дитиофосфат калия, решедший в раствор при промывке. Описанным выше путем были получены этиловый, пропиловый, бутиловый, амилловый и гексилловый дитиофосфаты калия.

Метилловый дитиофосфат калия был получен иным методом. Эфирный раствор дитиофосфорной кислоты после отгонки эфира на водяной бане подвергался разгонке в вакууме в токе водорода [14]. Полученная чистейшая диметилдитиофосфорная кислота была нейтрализована поташом, а калиевая соль после растворения ее в ацетоне была высолена эфиром.

**Определение окислительно-восстановительного потенциала дитиофосфатов.** При определении окислительно-восстановительных потенциалов дитиофосфатов нами были использованы два метода: определение константы равновесия реакции окисления иона дитиофосфата иодом и измерение окислительно-восстановительного потенциала компенсационным методом.

а) **Определение константы равновесия.** Нами было замечено [19], стр. 286), что при титровании дитиофосфатов иодом, крахмалом в качестве индикатора, результаты получаются заниженными. Особенно неполно протекает реакция при титровании низших дитиофосфатов и при наличии в растворе иодистого калия. Неполнота окисления дитиофосфата и зависимость ее от концентрации иодистого калия была использована нами для определения величин константы равновесия реакции окисления иона дитиофосфата, которая протекает согласно уравнению:



где  $S$  — растворимость в воде дисульфида, образующегося в результате окисления иона дитиофосфата;  $a\text{Af}^-$  — концентрация иона дитиофосфата, которая равна разности исходной концентрации иона дитиофосфата в растворе за вычетом количества его окисленного иодом (конечно, с учетом разбавления титрующим раствором). Так как растворимость дисульфида в воде очень невелика, то после прибавления первых миллилитров раство-

\* Натриевые соли сильнее растворимы в эфире.

ра иода раствор насыщается дисульфидом, и его концентрацию в растворе можно считать постоянной. Концентрацию триодид-иона можно принять равной чувствительности иодокрахмальной реакции и в разбавленных растворах тоже постоянной. Тогда выражение константы равновесия можно записать так:

$$K_c = \frac{S}{[J_3^-]} f, \quad \text{где } f = \frac{[J^-]^3}{[Af^-]^2}.$$

Следовательно, изучение равновесия сводится к определению величины фактора пропорциональности  $f$ .

Опыты проводились следующим образом: к определенному объему раствора диметилдитиофосфата калия (обычно 50 мл) добавлялось 5 мл раствора крахмала ([15], стр. 350, только без иодистой ртути), и проб титровалась иодным раствором (0,00915  $N$ ) до исчезающего синего окрашивания. Опыты показали, что для получения устойчивых и воспроизводимых результатов надо применять обратное титрование, т. е. прибавлять небольшой избыток иодного раствора и оттитровывать этот избыток раствором тиосульфата (у нас титр 0,0210  $N$  по иоду). Опыты были проведены с различными добавками иодистого калия (от 0 до 0,4 г на 50 мл исходного раствора дитиофосфата). При расчете равновесных концентраций иодидных и дитиофосфатных ионов учтено разбавление исходного раствора растворами крахмала, иода и тиосульфата. Кроме того, учтено содержание иодистого калия в титрующем растворе иода — 0,0332  $N$  (иод, окисля дитиофосфат, тоже превращается в иодистый калий). Результаты опытов для одной исходной концентрации дитиофосфата ( $1,85 \cdot 10^{-3}$  г-моль/л) приведены в табл. 1.

Таблица 1

Количество прибавленного КJ, г	Израсходовано титрованных растворов, мл		Суммарный объем раствора, мл	Равновесные концентрации, г-ион/л		Фактор пропорциональности $f$
	$J_2$	$Na_2S_2O_3$		$J^-$	$Af^-$	
0	10,85	0,50	66,35	$5,42 \cdot 10^{-3}$	$0,55 \cdot 10^{-4}$	52,6
0,05	10,50	0,60	66,1	$0,98 \cdot 10^{-2}$	$1,38 \cdot 10^{-4}$	49,5
0,10	8,95	0,20	64,2	$1,40 \cdot 10^{-2}$	$2,30 \cdot 10^{-4}$	51,9
0,15	9,0	0,60	64,6	$1,86 \cdot 10^{-2}$	$3,55 \cdot 10^{-4}$	51,1
0,20	11,5	2,20	68,7	$2,31 \cdot 10^{-2}$	$0,49 \cdot 10^{-3}$	51,3
0,25	11,0	2,40	68,4	$2,74 \cdot 10^{-2}$	$0,61 \cdot 10^{-3}$	55,5
0,30	5,5	0,30	60,8	$3,27 \cdot 10^{-2}$	$0,80 \cdot 10^{-3}$	54,6
0,40	3,0	0,35	58,4	$4,30 \cdot 10^{-2}$	$1,24 \cdot 10^{-3}$	51,7

Из таблицы видно, что постоянство фактора пропорциональности соблюдается удовлетворительно. С повышением концентрации иодистого калия в растворе диметилдитиофосфат титруется все менее полно; при добавке 0,4 г КJ на 55 мл раствора (около 7 г/л) оттитровывается всего 26%. Аналогичные результаты получаются и при других исходных концентрациях дитиофосфата в растворе. Можно принять, что значение фактора  $f = 50$ . При расчете величины константы равновесия реакции (1) выбираем в качестве стандартного состояния не раствор с активностью равновесного дисульфида, равной единице, а раствор, находящийся в равновесии с жидким дисульфидом, т. е. принимаем  $S = a = 1$ . Концентрацию триодид-иона в равновесном растворе принимаем равной максимальной чувствительности иодокрахмальной реакции:  $1 \cdot 10^{-5}$  г-ион/л ([15], стр. 350). Тогда константа равновесия  $K_c = 50/10^{-5} = 5 \cdot 10^6$ , а стандартный окислительно-восстановительный потенциал иона диметилдитиофосфата будет равен

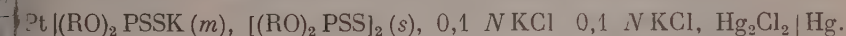
$$E_0 = 0,536 - 0,2957 \lg K_c = 0,536 - 0,02957 \lg 5 \cdot 10^6 = 0,536 - 0,198 = +0,338 \text{ V},$$



0,536 V — стандартный окислительный потенциал триодид-иона [16], 65). Учет коэффициентов активности при расчете константы равновесия реакции (1) не производился, так как валентности и число зарядов в числителе и знаменателе константы одинаковы, и в разбавленных растворах (у нас при опытах ионная сила раствора меньше 0,05) отношение коэффициентов активности практически равно единице. Наибольшую определенность в расчет вносит определение концентрации триодид-иона, которую мы приняли равной чувствительности иодокрахмальной реакции. Окраска равновесных растворов заметно слабее, чем при обычном иодометрическом титровании, поэтому мы склонны считать, что полученное нами значение окислительно-восстановительного потенциала дитиофосфата является несколько более благоприятным, чем оно есть в действительности, но ошибка невелика и, вероятно, не превышает 20—30 mV. Я того чтобы проверить это положение и определить величину окислительно-восстановительного потенциала другим, независимым методом, эти поставлены опыты потенциометрического титрования дитиофосфата растворами иода.

б) Потенциометрическое определение окислительно-восстановительного потенциала дитиофосфатов. Титрование иодом этилового и гексилового ксантогенатов и кротового дитиофосфата (изомер неизвестен) было проведено Ду-Ритцем [17] одновременно с нами. К сожалению, автор не приводит концентраций агентов в растворе и не сообщает, каково выбранное им стандартное состояние. Вид кривых титрования крезилового дитиофосфата позволяет делать заключение о том, что процесс протекает неравновесно, и при этом не соблюдается основное уравнение зависимости потенциала от концентрации окисляемого вещества [18], стр. 360). Возможно, это было вызвано использованием при эксперименте недостаточно чистого дитиофосфата. Кроме того, автор не устранял диффузионного потенциала и не проводил электрод сравнения.

Условия проведения наших опытов следующие. Составлена цепь



Электродом сравнения служил 0,1 N каломельный полуэлемент, потенциал которого устанавливался по водородному и был равен 0,335 V. Для устранения диффузионного потенциала левый полуэлемент заполнялся также 0,1 N раствором хлористого калия, при концентрации дитиофосфата не выше  $10^{-2}$ -г-моль/л. При титровании дитиофосфата раствор в левом полуэлементе перемешивался стеклянной мешалкой. Раствор иода был 0,1—0,1 N, в зависимости от исходной концентрации дитиофосфата в растворе, потенциометр «Эталон», температура 25° C.

Для реакции окисления иона дитиофосфата:



потенциал электродного процесса может быть записан так:

$$\begin{aligned} E_0 &= E - \frac{0,05914}{2} \lg \frac{a_{\text{A}_2}}{(c_{\text{A}_1} - \gamma_{\text{A}_1})^2} = \\ &= E + 0,05914 \lg a_{\text{A}_1} - 0,02957 \lg a_{\text{A}_2}. \end{aligned} \quad (3)$$

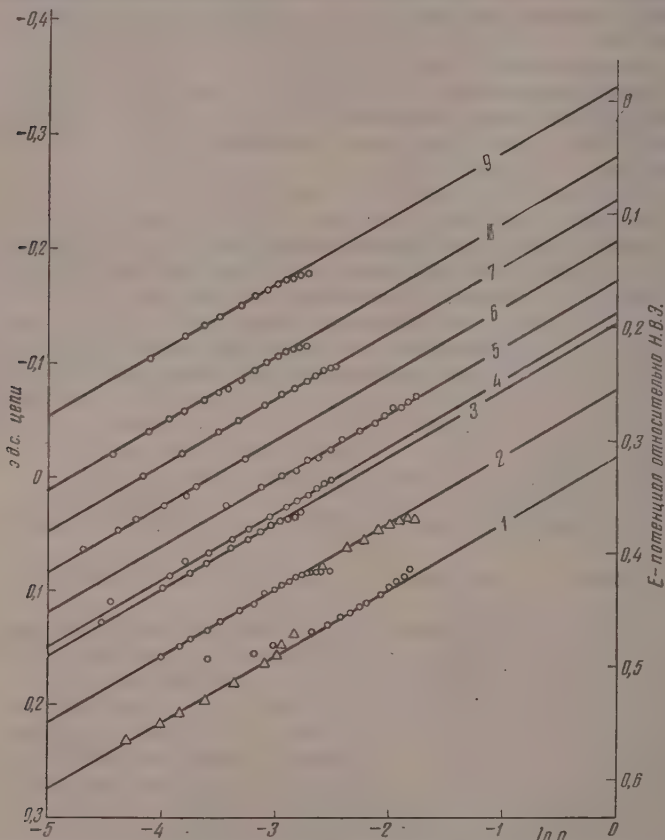
Так как в качестве вещества в стандартном состоянии нами принят кидкий (а для метилового и изопропилового дитиофосфатов — твердый) дисульфид, то активность его равна единице и формула приобретает вид:

$$E_0 = E + 0,05914 \lg c_{\text{A}_1} - \gamma_{\text{A}_1} = E + 0,05914 \lg a_{\text{A}_1}$$

или

$$E_0 = E' + E_K + 0,05914 \lg a_{\text{At-}}, \quad (9)$$

где  $E'$  — э. д. с. цепи или потенциал инертного электрода относительно каломельного электрода сравнения,  $E_K$  — потенциал каломельного полуэлемента по водороду,  $E_0$  — стандартный потенциал процесса (2) по водородному электроду и  $a_{\text{At-}}$  — активность ионов дитиофосфата в растворе. Коэффициенты активности отдельных ионов являются термодинамически неопределимыми величинами. Согласно гипотезе Мак-Иннеса в рас-



Окислительно-восстановительные потенциалы дитиофосфатов: 1 — метиловый; 2 — этиловый; 3 — изопропиловый; 4 — *n*-пропиловый; 5 — изобутиловый; 6 — *n*-бутиловый; 7 — *n*-изоамиловый; 8 — *n*-амиловый; 9 — *n*-гексиловый

творе хлористого калия коэффициенты активности ионов калия и хлора равны между собою и равны коэффициенту активности хлорида калия. Используя это предположение, выразим коэффициенты активности ионов дитиофосфатов через коэффициент активности хлорида калия. В результате специальных исследований нами найдено, что

$$\lg \gamma_{\text{At-}} = \lg \gamma_{\text{KCl}} + (0,15 + 0,05 n) \mu_c, \quad (10)$$

где  $n$  — число атомов углерода в аполярном радикале или в молекуле спирта, из которого приготовлен дитиофосфат, а  $\mu_c$  — ионная сила ра-

а. Необходимо отметить, что вычисленные по этой формуле коэффициенты активности спиртовых дитиофосфатов пригодны именно для «ион-атмосферы», созданной хлоридом калия, так как они найдены из соответствующей реакции ( $\text{TlAf} + \text{Cl}^- = \text{TlCl} + \text{Af}^-$ ) и являются коэффициентами активности в смеси электролитов, а не коэффициентами активности чистых дитиофосфатов. Ошибка же от использования гипотезы Мак-Лиса при ионной силе около 0,1 не превышает точности измерений потенциалов при работе с органическими анионами.

Таблица 2

	$E_0$ , V	$\Delta E_0$ , V
Диметилдитиофосфат	+0,315	
Диэтилдитиофосфат	+0,255	0,060
Дипропилдитиофосфат	+0,187	0,068
Дибутилдитиофосфат	+0,122	0,065
Диамилдитиофосфат	+0,050	0,072
Дигексилдитиофосфат	-0,015	0,065
Диизопропилдитиофосфат *	+0,196	0,038
Диизобутилдитиофосфат	+0,158	0,072
Диизоамилдитиофосфат	+0,086	

\* Спирты, из которых изготовлены изомерные дитиофосфаты имеют разветвление на конце углеводородной цепи: пропанол-2; 2-метилпропанол-1; 2-метилбутанол-4.

Определение стандартного потенциала по потенциометрическим измерениям лучше всего осуществлять графически. При этом по оси  $y$  с одной стороны откладываются э. д. с. цепи, а с другой — сумма  $E' + E_K$ , т. е. потенциал инертного электрода относительно водородного электрода (обращая внимание на знак э. д. с. цепи); по оси  $x$  откладываются логарифмы активности ионов дитиофосфата. Активность подсчитывается умножением концентрации неокисленного дитиофосфата на коэффициент активности [формула (5)] для данной ионной силы раствора с учетом разбавления исходного раствора титрующим; концентрация неокисленного дитиофосфата получается как разность между его первоначальной концентрацией и молярностью прибавленного окислителя (иодного раствора), тоже с учетом разбавления. Большое значение имеет точное определение исходной концентрации. Мы определяли ее потенциометрическим титрованием эквивалентной части исходного раствора дитиофосфата (без добавления  $\text{KCl}$ ) раствором азотнокислого серебра с установкой титра последнего ксантантным методом ([19], стр. 137). Титры растворов иода и азотнокислого серебра должны быть увязаны между собой, иначе будут наблюдаться ошибки при определении стандартного потенциала в области низких концентраций дитиофосфата.

На рисунке изображены результаты определения величин стандартных потенциалов окисления спиртовых дитиофосфатов по изложенной методике. Экспериментальные точки хорошо укладываются на прямые линии с углом наклона, определяемым теорией (0,05914). Некоторые незначительные отклонения наблюдаются в начале титрования (особенно для дибутилдитиофосфата), а у диметилдитиофосфата и в конце (обратимое равновесие).

Величина стандартного потенциала получается экстраполяцией прямой до ее пересечения с ординатой точки  $\lg a = 0$  или  $a_{(\text{RO})_2\text{PSS}} = 1$ .

Таблица 3

Прибавлено рас- твора иода, мл	$c_{Al^-}$	$lg a_{Al^-}$	$E'$	$E = E' + E_K$	$0,059141 \lg a_{Al^-}$	$E_0$
—	$2,010 \cdot 10^{-3}$	-2,756	-0,180	+0,155	-0,164	-0,0
2,0	$1,774 \cdot 10^{-3}$	-2,820	-0,179	+0,156	-0,167	-0,0
4,0	$1,546 \cdot 10^{-3}$	-2,879	-0,176	+0,159	-0,170	-0,0
6,0	$1,327 \cdot 10^{-3}$	-2,946	-0,174	+0,161	-0,174	-0,0
8,0	$1,117 \cdot 10^{-3}$	-3,021	-0,171	+0,164	-0,179	-0,0
10,0	$0,914 \cdot 10^{-3}$	-3,108	-0,165	+0,170	-0,184	-0,0
12,0	$0,718 \cdot 10^{-3}$	-3,212	-0,160	+0,175	-0,190	-0,0
14,0	$0,529 \cdot 10^{-3}$	-3,345	-0,152	+0,183	-0,198	-0,0
16,0	$0,346 \cdot 10^{-3}$	-3,529	-0,142	+0,193	-0,209	-0,0
17,0	$0,258 \cdot 10^{-3}$	-3,657	-0,134	+0,201	-0,216	-0,0
18,0	$0,170 \cdot 10^{-3}$	-3,837	-0,124	+0,211	-0,227	-0,0
19,0	$0,084 \cdot 10^{-3}$	-4,142	-0,104	+0,231	-0,245	-0,0
20,0	Конец титрования					

Определенные таким образом значения стандартных потенциалов сраны в табл. 2.

Для того чтобы проиллюстрировать степень точности, достигаем при экспериментах, и общий характер кривой титрования, приведем рчет стандартного потенциала по формуле (4) для дигексилдитиофосфа. Условия опыта были следующими: 100 мл раствора дитиофосфата титвались 0,0100 N раствором иода при 25° С, как описано выше. Расчет пведен в табл. 3, в которой для сокращения даны только буквенные обначения слагаемых формулы (4).

Коэффициент активности иона дигексилдитиофосфата, подсчитанн по формуле (5), равен 0,855 при ионной силе 0,1; он очень мало изменяет к концу титрования, когда ионная сила раствора становится равной 0, вследствие разбавления титруемого раствора раствором иода (ионная с этого раствора после превращения иода в иодистый калий равна 0,03). Поправка от введения коэффициента активности равна примерно 4 мВ.  $E_K = +0,335$  В.

Результат расчета по формуле (4) тот же, что и при графическом метопределения стандартного окислительно-восстановительного потенциа дигексилдитиофосфата (табл. 2 и рисунок). Постоянное значение  $E_0 = -0,015$  В устанавливается вскоре после начала титрования и колеблется в пределах 1 мВ, а отклонение установившегося значения  $E_0$  от начального (до добавления иода) составляет всего 6 мВ (для других дитиофосфов даже меньше).

### Обсуждение результатов

Окисление диметилдитиофосфата иодом было изучено двумя независимыми методами (химическое равновесие и потенциометрическое титвание). Получено удовлетворительное совпадение величин окислительных потенциалов, если учитывать те допущения, которые были сделаны при вычислении константы равновесия из данных, найденных при изучении химического равновесия. В отношении точности и достоверности следует отдать предпочтение данным, полученным методом потенциометрического титрования, а значение, вычисленное из константы равновесия, можно рассматривать как величину, подтверждающую обратимость процесса. Значения, полученные потенциометрическим методом.

При удлинении углеводородной цепи радикала RO на одно звено окислительный потенциал повышается на 65—72 мВ, если принять в качестве стандартного состояния жидкий дисульфид. Причина этого явления заключается в том, что при выбранном нами стандартном состоя-

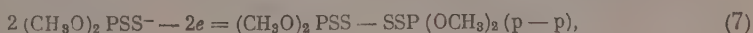


циал зависит от растворимости в воде продукта реакции окисления — соответствующего дисульфида [формула (3)]. Как было показано ранее [19], стр. 261 и 274), растворимость жидких органических веществ, членов одного гомологического ряда, уменьшается в 4,25 раза при увеличении цепи на одно звено  $\text{CH}_2$ . Это положение справедливо для любых гомологических рядов, независимо от характера полярной части молекулы. В составе молекулы дисульфида, получающегося при окислении дитиофосфата, имеются четыре радикала, и изменение растворимости дисульфида при удлинении углеводородной цепи каждого радикала на одно звено  $\text{CH}_2$  будет равно  $(4,25)^4 = 326$  раз [19], стр. 267), чему соответствует повышение стандартного окислительного потенциала на  $57 \lg 326 = 0,0743 \text{ V}$ . Полученные нами опытные значения (табл. 2) несколько меньше этой вычисленной величины. Это расхождение можно объяснить либо изменением сродства к электрону в гомологическом ряду, либо тем, что при потенциометрическом титровании образуются пересыщенные растворы дисульфидов в воде, что связано с крайне низкой их растворимостью. Мы склонны считать вторую причину более соответствующей действительности и предлагаем для стандартных потенциалов реакции окисления в гомологическом ряду алкилдитиофосфатов, образующих жидкие дисульфиды, следующую формулу:

$$E_n^0 = +0,25 - 0,074(n - 2), \quad (6)$$

где  $n$  — число углеродных атомов в радикале дитиофосфата или молекуле дисульфида, из которого приготовлен дитиофосфат.

Дитиофосфаты с разветвленной на конце цепью окисляются немного легче, чем дитиофосфаты с нормальной, неразветвленной цепью — потенциал на 36 мВ благороднее. Потенциал изопропилового дитиофосфата отличается от потенциала изобутилового всего на 38 мВ и почти равен потенциалу нормального пропилового, что вполне согласуется с тем фактом, что дисульфид, получающийся при окислении этого дитиофосфата — твердый (т. пл.  $91-92^\circ \text{C}$ ) и обладает вследствие этого повышенной растворимостью. Кроме того, надо учитывать, что изопропиловый спирт — вторичный, что также сказывается на величине потенциала. Потенциалы дитиофосфатов для двух стандартных состояний связаны следующим соотношением:  $E'_{0,p} = E_0 - 0,02957 \lg S$ , где  $E_0$  — стандартный потенциал для жидкого дисульфида, а  $E'_{0,p}$  — для растворенного. Растворимость диалкилдитиофосфатдисульфидов в воде очень низка, нам удалось определить только растворимость метильного соединения. Определение выполнено двумя методами. Первый метод — взаимодействием насыщенного раствора дисульфида с избытком подистого калия, второго в количестве около 60 г/л [реакция, обратная реакции (1)] и отщепление выделяющегося иода (еще одно подтверждение обратимости процесса окисления дитиофосфата иодом, так как в данном случае дисульфид окисляет подистый калий) раствором тиосульфата. Этим методом растворимость диметилдитиофосфатдисульфида в воде при  $25^\circ \text{C}$  найдена равной  $4 \cdot 10^{-5}$  моль/л (теплота растворения примерно 10 ккал). Второй метод основан на помутнении раствора диметилдитиофосфата калия при титровании его иодом за счет выделения образовавшегося дисульфида. Найдена растворимость  $7 \cdot 10^{-5}$  моль/л. Первая величина более надежна, так как при втором методе растворимость повышается вследствие переноса иода на раствор и выделения дисульфида не в твердом, а в жидком виде. Пользуясь первым значением, находим окислительно-восстановительный потенциал процесса



$$E'_{0,p} = E_0 - 0,02957 \lg 4 \cdot 10^{-5} = +0,315 + 0,130 = +0,445 \text{ V}.$$

Этот стандартный потенциал вычислен для диметилдитиофосфатдисульфида, который при 25° С является твердым телом (т. пл. 51—52° С), как и диизопропилдитиофосфатдисульфид (т. пл. 91—92° С).

Для всех остальных дитиофосфатов, дисульфиды которых при 25° являются жидкими

$$E_0 = +0,435 \text{ В, а } S_n = 5 \cdot 10^{-7} : 326^{(n-2)}.$$

Стандартный окислительно-восстановительный потенциал реакции практически не зависит от длины цепи углеводородных радикалов алкильных групп дитиофосфата, что отмечалось нами ранее [19], стр. 27 и является характерной константой всего ряда, позволяющей оценить относительную легкость понижения молекулы дисульфида.

### Выводы

1. Показана обратимость процесса окисления дитиофосфатов под действием дисульфида.
2. Определены стандартные окислительно-восстановительные потенциалы алкилдитиофосфатов для системы, в которых в качестве стандартного состояния принят жидкий дисульфид.
3. Изучено влияние длины углеводородной цепи радикалов дитиофосфата на величину окислительно-восстановительного потенциала и предложена формула для расчета потенциала как функции числа углеродных атомов радикала.
4. Отмечено влияние изостроения аполярной группы дитиофосфата на величину окислительно-восстановительного потенциала.
5. Определена растворимость диметилдитиофосфатдисульфида в воде при 25° С и предложена формула для расчета растворимости дисульфида других дитиофосфатов.
6. Рассчитан стандартный окислительно-восстановительный потенциал гомологического ряда дитиофосфатов при стандартном состоянии раствор дисульфида в воде с активностью, равной единице.

Уральский политехнический институт им. С. М. Кирова

Поступила  
11.II.1958

### ЛИТЕРАТУРА

1. Справочник по обогащению полезных ископаемых, т. III, Metallurgizdat, 1951.
2. Синтезы органических препаратов, сборник 2, ИИЛ, 1949.
3. Синтезы органических препаратов, сборник 3, ИИЛ, 1952.
4. К. Вейганд, Методы эксперимента в органической химии, т. II, ИИЛ, 1951.
5. Н. Н. Ворожцов, Основы синтеза промежуточных продуктов красителей, Госхимиздат, 1950.
6. П. Каррер, Курс органической химии, ОНТИ, 1938.
7. H. Inseberg, Ber., 41, 632, 1908.
8. С. Вавзюк, Полярнография органических соединений, сборник «Методы анализа органических соединений», ИИЛ, 1951.
9. И. А. Каковский, Тр. Ин-та горн. дела АН СССР, 3, 1956.
10. В. Хюккель, Теоретические основы органической химии, т. 1, ИИЛ, 1953.
11. У. Уотерс, Химия свободных радикалов, ИИЛ, 1948.
12. А. Ремик, Электронные представления в органической химии, ИИЛ, 1950.
13. I. M. Kolthoff, W. Stricks, N. Tonaka, J. Amer. Chem. Soc., 77, 4739, 1955.
14. М. И. Кабачник, Т. А. Матрюкова, Изв. АН СССР, Отд. хим., № 1, 121, 1953.
15. И. М. Колтьгофф, Объемный анализ, т. 2, Госхимиздат, 1932.
16. В. М. Латимер, Окислительные состояния элементов и их потенциалы в водных растворах, ИИЛ, 1954.
17. K. Du-Rietz, Vetensk. Akad. Handl., 24, 257, 1953.
18. С. Глестон, Введение в электрохимию, ИИЛ, 1951.
19. И. А. Каковский, Тр. II научно-технической сессии Института «Механохимия», Metallurgizdat, 1952.

## REDOX POTENTIALS OF DITHIOPHOSPHATES

1. *Kakovskii, B. A. Stepanov, O. F. Ryazantseva, and N. V. Serebryakova**(Sverdlovsk)*

## S u m m a r y

A method has been described for the synthesis of pure dithiophosphates and it has shown that oxidation of alkyl dithiophosphate ions by elementary iodine is a reversible process. The standard redox potential of dimethyldithiophosphate has been determined by means of two independent (potentiometric titration and chemical equilibrium) methods. The effect of the hydrocarbon chain length of alkyl dithiophosphate radicals on redox potential values (standard state — liquid disulfide) has been investigated and a formula has been proposed for calculating the potential as a function of the number of carbon atoms in the radical chain. It has been observed that the isostructure of the non-radical dithiophosphate group affects the redox potential values. The solubility of dimethyldithiophosphate disulfide in water at 25° C has been determined and a formula has been presented for calculating the solubility of other disulfides of this series. The standard redox potential for the homologous series of alkyl dithiophosphates (+0.435v.) has been calculated for the standard state — aqueous solution of disulfide with activity = 1, utilizing solubility values of the disulfides. A discussion has been presented of the experimental data.

---

## ВЛИЯНИЕ ДОБАВОК $K_2CO_3$ , $Na_2CO_3$ , $Al_2O_3$ И $SiO_2$ НА КИНЕТИКУ ВОССТАНОВЛЕНИЯ МАГНИТНОЙ ОКИСИ ЖЕЛЕЗА УГЛЕМ

С. С. Лисняк и Г. И. Чуфаров

Исследования влияния добавок на восстановление оксидов железа различными видами углей проводились в работах [1—4]. В них было установлено, что скорость восстановления зависит от вида твердого восстановителя, а также от введения в исходную шихту различных добавок. Соли щелочных и щелочно-земельных металлов увеличивают скорость восстановления.

Учитывая большую сложность и специфичность влияния добавок на восстановление оксидов металлов необходимы дальнейшие исследования в этой области. Тем более, что это направление исследований представляет большой теоретический и практический интерес.

### Экспериментальная часть

**Исходные материалы и методика исследования.** Магнитная окись была получена окислением губчатого железа двуокисью углерода  $800^\circ C$ . Восстановителями служили аchesоновский графит и древесный уголь (березовый), прокаленные без доступа воздуха при  $1180^\circ C$  в течение 2 час., и обезгаженные в вакууме при  $1100^\circ C$  в течение 10—20 час. Добавками служили химически чистые  $Na_2CO_3$ ,  $K_2CO_3$ ,  $Al_2O_3$  и  $SiO_2$ . Соли  $Na_2CO_3$  и  $K_2CO_3$  предварительно просушивались при  $110^\circ C$ , а  $Al_2O_3$  и  $SiO_2$  прокаливались в вакууме при  $900^\circ C$ .

Исходная смесь готовилась путем тщательного перемешивания и совместного истирания окисла (77 вес.%) и графита или угля (23%) в агатовой ступке. К приготовленной смеси добавлялась порошкообразная добавка. Количество добавляемых  $Na_2CO_3$  и  $K_2CO_3$  составило 1%, а  $Al_2O_3$  и  $SiO_2$  — 5 вес.% по отношению к окислу. После этого смесь снова перемешивалась и истиралась. В опытах без добавки исходная смесь окисла и углерода истиралась дополнительно точно такое же время, как это делалось после введения добавки. Навеска исходной смеси бралась такой, чтобы количество окисла и углерода было во всех опытах одинаковым.

Опыты проводились на установке, схема которой приведена на рис. 1. До начала опыта навеска обезгаживалась на холоду, а затем с подогревом при  $400^\circ C$ . Все опыты были проведены в вакууме с непрерывной откачкой газообразных продуктов реакции форвакуумным и диффузионным насосами 7. Контроль за убылью в весе осуществлялся при помощи пружинных кварцевых весов 3 и микрокатетометра 2.

Установка позволяла производить анализ состава газообразных продуктов реакции, не прерывая опыта. Это достигалось при помощи двух параллельно установленных ловушек 6, в которых попеременно вымораживалась двуокись углерода жидким азотом. Отключением одной из ловушек и испарением  $CO_2$  в известном объеме определялось количество двуокиси углерода путем измерения давления. Количество окисла углерода определялось по разности между убылью в весе и количеством  $CO_2$ .

По составу газообразных продуктов реакции и по убыли в весе определялась степень восстановления — отношение количества отнятого кислорода к моменту начала реакции к общему количеству кислорода, находившегося в исходной навеске окисла.

Для вычисления скорости процесса определялось количество отнятого кислорода, выраженное в процентах к исходному количеству за определенный промежуток времени.

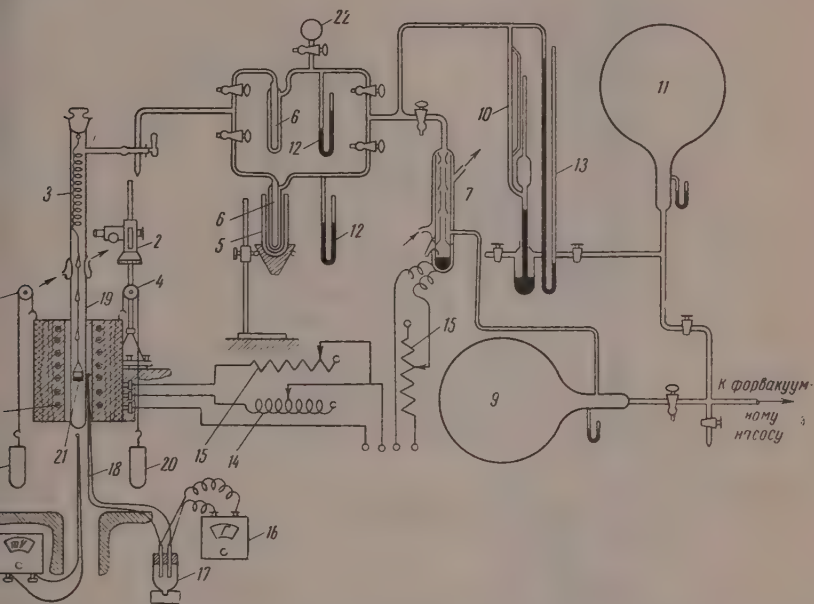
**Результаты опытов.** Исследование восстановления  $Fe_3O_4$  древесным углем с добавками проводилось в температурной области  $800$ — $900^\circ$ , а восстановление графитом в основном при  $950$ — $1050^\circ C$ .

Из рис. 2 видно, что добавки  $K_2CO_3$  и  $Na_2CO_3$  увеличивают скорость восстановления  $Fe_3O_4$  древесным углем. При этом обе добавки при  $800^\circ C$



ствуют вначале примерно в одинаковой степени, они увеличивают скорость восстановления в три раза. По мере дальнейшего восстановления этой температуре добавка  $K_2CO_3$  оказывала несколько большее влия-

Исследование влияния всех четырех добавок при восстановлении древесным углем проводилось при  $850^\circ C$ . В этом случае за 40 мин. в опыте добавки была достигнута степень восстановления, равная 10%, с додой  $Na_2CO_3$  она была 55%, а с добавкой  $K_2CO_3$  за это же время образец восстановлен примерно на 75%. Добавка  $Al_2O_3$  уменьшает скорость восстановления, а  $SiO_2$  не оказывает существенного влияния на скорость процесса.



1. Схема экспериментальной установки: 1 — электропечь; 2 — микрокатетер; 3 — пружинные весы; 4 — блоки; 5 — сосуд Дьюара; 6 — ловушки; 7 — насос; 8 — милливольтметр; 9 — форвакуумная колба; 10 — манометр Мак-Леода; 11 — колба резервного вакуума; 12 — закрытый манометр; 13 — открытый манометр; 14 — ЛАТР-1; 15 — реостаты; 16 — гальванометр; 17 — термостат; 18 — термопары; 19 — кварцевая трубка; 20 — противовесы; 21 — кварцевый тигель; 22 — колба измерения объемов

Характерным для восстановления  $Fe_3O_4$  древесным углем является то, что скорость по мере течения процесса уменьшается; при этом ни в одном из опытов этой серии не было достигнуто полного восстановления. При  $900^\circ C$  восстановление без добавки начинается со значительной скоростью. За 2 часа была достигнута степень восстановления, равная 60%. Однако после этого процесса сильно замедляется и в течение последующих 4 час. образец был довосстановлен всего на 15%. Добавка  $Na_2CO_3$  этой температуре, увеличивая скорость восстановления в начале процесса, мало сказывается на полноте восстановления. После достижения степени восстановления, равной 82%, процесс практически прекращается. На рис. 3 представлены результаты опытов по восстановлению  $Fe_3O_4$  с добавлением  $K_2CO_3$ ,  $Na_2CO_3$ ,  $Al_2O_3$  и  $SiO_2$ . В этом случае добавки  $Na_2O$  и  $Na_2CO_3$  так же, как и при восстановлении древесным углем, увеличивают скорость процесса. Однако эффект ускорения при восстановлении с фитом оказался значительно большим, чем при восстановлении дре-

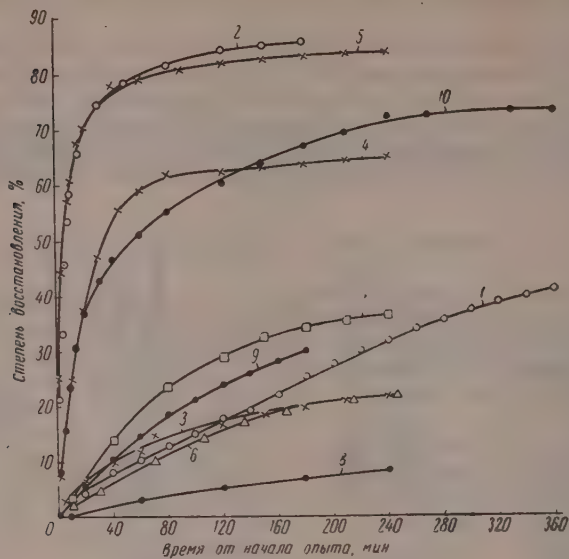


Рис. 2. Восстановление  $\text{Fe}_3\text{O}_4$  древесным углем с добавками: 1, 2 —  $\text{K}_2\text{CO}_3$  при 800 и 850° С; 3, 4, 5 —  $\text{Na}_2\text{CO}_3$  при 800, 850 и 900° С соответственно; 6 —  $\text{Al}_2\text{O}_3$ , при 850° С; 7 —  $\text{SiO}_2$  при 850° С; 8, 9, 10 — без добавки, соответственно при 800, 850 и 900° С

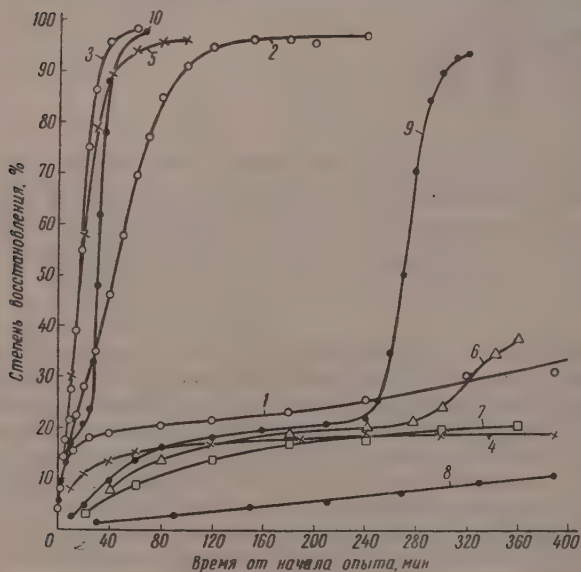


Рис. 3. Восстановление  $\text{Fe}_3\text{O}_4$  графитом с добавками: 1, 2, 3 —  $\text{K}_2\text{CO}_3$  при 850, 900 и 950° С соответственно; 4, 5 —  $\text{Na}_2\text{CO}_3$  при 950 и 1000° С; 6 —  $\text{Al}_2\text{O}_3$  при 1000° С; 7 —  $\text{SiO}_2$  при 1000° С; 8, 9, 10 — без добавки при 950, 1000 и 1050° С соответственно

сным углем. При  $950^\circ$  в опыте без добавки за 1 час образец восстановился всего лишь на 1—2%, с добавкой  $\text{Na}_2\text{CO}_3$  восстановление достигло 6%, зато добавка  $\text{K}_2\text{CO}_3$  увеличивала скорость процесса настолько, что это же время было достигнуто почти полное восстановление.

Вследствие того, что добавка  $\text{K}_2\text{CO}_3$  очень сильно увеличивает скорость реакции, опыты с этой добавкой проводились при более низких температурах  $850\text{--}900^\circ\text{C}$ .

Опыты по влиянию добавок  $\text{Al}_2\text{O}_3$  и  $\text{SiO}_2$  проводились при  $1000^\circ\text{C}$ . Эти добавки практически не изменяют при этой температуре скорости восстановления  $\text{Fe}_3\text{O}_4$  до степени восстановления, равной 20—31%.

В отличие от древесного угля на всех кинетических кривых восстановления графитом обнаружен минимум скорости процесса при 20—21% восстановления (рис. 4).

Анализ состава выделяющихся газообразных продуктов реакции показал, что восстановление  $\text{Fe}_3\text{O}_4$  обоими видами углей, как без добавок, так и с добавками, протекает с изменением их состава в сторону уменьшения концентрации  $\text{CO}_2$  по мере протекания процесса; в конце восстановления выделяется практически чистая окись углерода.

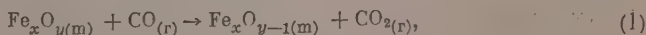
При этом введение добавки и изменение температуры существенно не сказывается на составе газообразных продуктов реакции. Однако обнаруживается существенное отличие состава газа при переходе от древесного угля к графиту. В последнем случае концентрация  $\text{CO}_2$  в газе значительно выше, чем при восстановлении древесным углем, несмотря на то, что опыты с графитом проводились при более высоких температурах.

В случае применения графита в начале процесса (5% восстановления) газообразных продуктах реакции содержится около 82%  $\text{CO}_2$  и 18%  $\text{CO}$ , при степени восстановления равной 21% (соответствующей полному переходу  $\text{Fe}_3\text{O}_4$  в  $\text{FeO}$ ), в газе содержится примерно 30%  $\text{CO}_2$  и 70%  $\text{CO}$ .

При восстановлении древесным углем концентрация  $\text{CO}_2$  в газе в начале процесса равна 45%, а при степени восстановления равной 21% окиси углерода в газообразных продуктах реакции содержится в среднем 15%.

### Обсуждение результатов

Восстановление окислов железа различными видами углей, как показано в работах [5—7], протекает через посредство газообразной окиси углерода, т. е. по схеме:



Согласно такому представлению, увеличение скорости восстановления магнитной окиси железа при переходе от графита к древесному углю объясняется тем, что для графита скорость реакции образования окиси

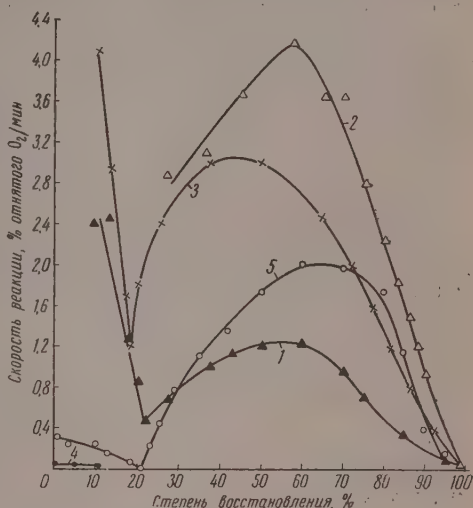


Рис. 4. Скорость восстановления  $\text{Fe}_3\text{O}_4$  графитом с добавками: 1, 2 —  $\text{K}_2\text{CO}_3$  при  $900^\circ$  и  $950^\circ\text{C}$ ; 3 —  $\text{Na}_2\text{CO}_3$  при  $1000^\circ\text{C}$ ; 4, 5 — без добавки при  $950$  и  $1000^\circ\text{C}$ .

углерода (2) ниже, чем для древесного угля. Подтверждением могут служить данные по составу образующихся газообразных продуктов восстановления. Концентрация окиси углерода при восстановлении древесным углем значительно выше, чем графитом. Кроме того, опытами, проведенными в нашей лаборатории установлено, что скорость газификации используемого древесного угля двуокисью углерода больше, чем скорость газификации графита.

При восстановлении магнитной окиси железа твердым углеродом добавки  $K_2CO_3$  и  $Na_2CO_3$  могут ускорять как реакцию (1), так и реакцию (2) а тем самым и суммарный процесс [8—12].

Влияние добавок может быть связано, во-первых, с образованием поверхностных химических соединений, облегчающих акты адсорбционно-химического взаимодействия на поверхности окисла и угля, а, во-вторых с внедрением атомов или ионов щелочного металла в решетку реагирующих веществ. Это приводит к увеличению реакционной способности угля и к облегчению перестройки кристаллической решетки окисла.

По-видимому, образование поверхностных соединений и внедрение атомов или ионов щелочного металла происходит через предварительное разложение добавки на  $Me_2O + CO_2$  с последующим испарением и адсорбцией  $Me_2O$  на реакционных поверхностях окисла и графита. Если исходить из этого, становится понятным увеличение эффекта ускорения с возрастанием температуры. Добавки  $K_2CO_3$  и  $Na_2CO_3$  в большей степени ускоряют восстановление  $Fe_3O_4$  графитом, когда температуры были выше, чем при восстановлении древесным углем.

Полученный экспериментальный материал по восстановлению  $Fe_3O_4$  графитом и древесным углем с добавками  $Al_2O_3$  и  $SiO_2$  показывает, что эти добавки в исследованной области температур или не оказывают влияния на скорость процесса, или ее снижают. Такое поведение связано тем, что они могут присутствовать либо в качестве инертных примесей как это наблюдалось в работе [13], либо они образуют поверхностные соединения типа алюминатов или силикатов, как это указано в работе [14].

Сравнение кинетических кривых по восстановлению древесным углем графитом в вакууме указывает на разный характер их восстановления. Составы образующихся газообразных продуктов реакции при восстановлении  $Fe_3O_4$  графитом до степени восстановления, равной 21%, соответствуют области устойчивости  $FeO$ . В данном случае восстановление до металлического железа не будет протекать до тех пор, пока  $Fe_3O_4$  полностью не восстановится до  $FeO$ . После 21% восстановления образующаяся газовая фаза соответствует области устойчивости железа. В этих условиях закись железа восстанавливается до металлического железа. Таким образом, состав газообразных продуктов восстановления, а также минимум на кинетических кривых при восстановлении графитом показывают, что процесс протекает при наличии одной зоны сочленения (в начале  $Fe_3O_4/FeO$ , а затем  $FeO/Fe$ ). Ранее это было показано рентгеноструктурным исследованием продуктов восстановления окислов железа графитом [5].

При восстановлении окислов железа древесным углем уже при степени восстановления  $Fe_3O_4$  порядка 10%, т. е. когда  $Fe_3O_4$  полностью еще не восстановилось до  $FeO$ , состав газовой фазы ( $\sim 27\% CO_2$ ) устанавливается таким, что становится возможным появление металлического железа. Это обстоятельство, а также и то, что на кинетических кривых восстановления древесным углем отсутствует минимум указывает на одновременное протекание процесса на двух реакционных зонах ( $Fe_3O_4/FeO$  и  $FeO/Fe$ ). Действительно, при степени восстановления  $Fe_3O_4$ , равной 30%, продукт реакции, как показал рентгеноструктурный анализ, состоит из  $Fe_3O_4$ ,  $FeO$  и  $Fe$ . В этом случае, когда в глубине образца имеется еще значительное количество  $Fe_3O_4$ , на поверхности вюстита восстановление создает такой избыток железных ионов, который приводит к образованию решетки металлического железа.



## Выводы

1. Проведено исследование кинетики восстановления магнитной окиси железа древесным углем и графитом в вакууме с добавками  $K_2CO_3$ ,  $a_2CO_3$ ,  $Al_2O_3$  и  $SiO_2$  в температурной области 800—1050°.
2. Восстановление древесным углем протекает при более низких температурах, чем графитом. Это объясняется тем, что скорость образования окиси углерода, через посредство которой реализуется процесс в случае применения древесного угля, оказывается выше, чем в случае графита.
3. Установлено, что добавки  $Na_2CO_3$  и  $K_2CO_3$  увеличивают скорость восстановления. Добавка  $K_2CO_3$  в большинстве случаев оказывает значительно большее влияние, чем  $Na_2CO_3$ . Ускоряющее влияние этих добавок связывается с образованием поверхностных химических соединений с внедрением атомов или ионов щелочного металла в решетку окисла и графита или угля, облегчающих акты адсорбционного и кристаллохимического взаимодействий.
4. Добавки  $Al_2O_3$  и  $SiO_2$  при восстановлении могут присутствовать либо в качестве инертных примесей и не оказывать существенного влияния на скорость процесса, либо образовывать соединения типа алюминатов или силикатов железа, снижающих скорость восстановления. Кроме того, эти добавки могут уменьшать скорость образования окиси углерода.
5. На основании полученного материала по составу газообразных продуктов реакции, а также по кинетическим и рентгеноструктурным данным установлено, что восстановление магнитной окиси железа древесным углем в вакууме протекает одновременно на двух реакционных зонах, а графитом при наличии одной реакционной зоны.

Уральский филиал Академии наук СССР  
Институт металлургии  
Свердловск

Поступила  
12.II.1958

## ЛИТЕРАТУРА

1. G. C. Williams a. R. A. Pagatz, *Industr. and Engng Chem.*, 28, 130, 1936.
2. K. Iwasé a. K. Fukusima, *Sci. Rep. Tôhoku, Imp. Univ.*, 22, 301, 1933.
3. H. Susukida a. K. Sono, *Chem. Abstrs*, 47, 956, 1953.
4. С. С. Лисняк, Е. П. Татиевская, Г. И. Чуфаров, *Докл. АН СССР*, 116, 656, 1957.
5. В. П. Архаров, В. Н. Богословский, М. Г. Журавлева, Г. И. Чуфаров, *Ж. физ. химии*, 29, 272, 1955.
6. О. А. Есин и П. В. Гельд, *Физическая химия пирометаллургических процессов*, 41, Металлургиздат, Свердловск — Москва, стр. 499, 140.
7. П. В. Гельд, О. А. Есин, *Процессы высокотемпературного восстановления*, Металлургиздат, Свердловск, 1957, стр. 137—188.
8. П. В. Гельд, О. А. Есин, Н. Н. Серебрянников, *Тр. Уральск. политехн. ин-та*, Сб. 49, 61, 1954.
9. Э. В. Брицке, К. Х. Тагиров, И. В. Шманенков, *Изв. АН СССР*, Отд. хим. н., 1, 13, 1941.
10. H. S. Taylor a. H. A. Neville, *J. Amer. Chem. Soc.*, 43, 2055, 1921.
11. E. Berl, *Trans. Faraday Soc.*, 34, 1040, 1938.
12. И. Е. Ададунов и Б. А. Григорьев, *Ж. прикл. химии*, 9, 1951, 19:6.
13. С. С. Лисняк, *Канд. диссерт. Уральск. политехн. ин-т, Свердловск*, 1955.
14. Б. Д. Авербух и Г. И. Чуфаров, *Ж. физ. химии*, 30, 1739, 1956.

THE EFFECT OF  $K_2CO_3$ ,  $Na_2CO_3$ ,  $Al_2O_3$  AND  $SiO_2$  ADDITIONS ON THE  
KINETICS OF MAGNETIC IRON OXIDE REDUCTION BY GRAPHITE  
AND WOOD CHARCOAL

*S. S. Lisnyak and G. I. Chufarov (Sverdlovsk)*

S u m m a r y

The kinetics of reduction in vacuum of magnetic iron oxide by wood charcoal and graphite in the presence of  $K_2CO_3$ ,  $Na_2CO_3$ ,  $Al_2O_3$  and  $SiO_2$  additions have been studied over the temperature range 800—1050° C.

Reduction by charcoal takes place at lower temperatures than by graphite. This is explained by the fact that the rate of carbon monoxide formation through which the process proceeds is higher in the case of charcoal than of graphite.

The addition of  $Na_2CO_3$  and  $K_2CO_3$  has been found to increase the reduction rate. In most cases the addition of  $K_2CO_3$  exerts a greater effect than the addition of  $Na_2CO_3$ . The accelerating effect of these additions is associated with the formation of surface chemical compounds and with the incorporation of the alkaline metal ions or atoms in the oxide and graphite or charcoal lattice, facilitating the adsorptive and crystallochemical interactions.

$Al_2O_3$  and  $SiO_2$  additions may be present either as inert impurities during the reduction, not exerting any significant effect on the process or they may form compounds of the type of aluminates or silicates, lowering the reduction rate. Moreover, these additions may diminish the rate of carbon monoxide formation.

On the basis of data on the gaseous products composition and on the kinetics and x-ray analyses it has been found that reduction of magnetic iron oxide by charcoal in vacuum proceeds simultaneously in two reaction zones and by graphite in a single reaction zone.

---

## ВЛИЯНИЕ ДОБАВОК ТВЕРДОГО ПРОДУКТА РЕАКЦИИ НА СКОРОСТЬ ДЕГИДРАТАЦИИ НЕКОТОРЫХ КРИСТАЛЛОГИДРАТОВ

*Г. В. Сакович*

Существенной чертой топохимических реакций разложения является непосредственный контакт в зоне реакции твердого продукта с исходным жидким веществом. Вследствие этого каталитическое действие твердого продукта реакции пропорционально не всей его массе, а только части, находящейся в зоне реакции. При неизменности термодинамического состояния твердого продукта реакции его каталитическое действие в единице реагирующего объема исходного вещества в течение всего времени реакции остается постоянным.

Постоянство каталитического влияния твердого продукта на реакцию в единице реагирующего объема исходного вещества и пропорциональность суммарного каталитического эффекта всей реакционной зоне в свою очередь предполагают тот факт, что вид кривых превращения зависит от характера развития во времени межфазовой границы раздела твердый продукт — исходное твердое вещество. Поэтому найденное часто при термическом разложении твердых веществ самоускорение реакций, приводящее к прохождению скорости через максимальное значение, является следствием развития реакционной зоны. При этом каталитическое действие твердого продукта отражается в значении константы скорости реакции.

Существование прямой связи между наблюдаемым ускорением топохимических реакций и развитием реакционной зоны позволяет отдельным исследователям [1] сомневаться в каталитическом влиянии образующегося твердого продукта на ход реакции. В то же время в практических целях представляет большой интерес углубление наших представлений по этому вопросу.

Настоящая работа посвящена изучению кинетики дегидратации кристаллогидратов пентаводных сульфатов меди и марганца и семиводного сульфата кобальта в присутствии добавок твердого продукта.

### Экспериментальная часть

Изучение кинетики проводилось в токе сухого воздуха при помощи экспериментальной установки, реакционный сосуд которой был снабжен пружинными кварцевыми весами. Нижний конец пружинных кварцевых весов проектировался на экран. Такое измерительное устройство позволяло отмечать изменение веса с точностью до 10 мг/мм. Реакционный сосуд своей нижней частью помещался в водяной термостат, позволяющий температуры в котором в ходе опыта не превышали 0,1° С. Воздух, пройдя исследователем склянки с концентрированной серной кислотой, натронной известью, плавленным едким кали и фосфорным ангидридом, поступал в реакционный сосуд со скоростью 7 л/час. Предварительные опыты показали, что при такой скорости сухого воздуха выделяющиеся в ходе реакции пары воды не оказывают влияния на процесс дегидратации. За скоростью реакции дегидратации следили по изменению веса авески кристаллогидрата, помещенной в стеклянную чашечку стандартных размеров плоским дном, которая подвешивалась к нижнему концу кварцевых весов.

Применявшиеся нами кристаллогидраты пентаводных сульфатов меди и марганца семиводного сульфата кобальта брались готовыми, марки «ч. д. а.» перед употреблением соли дважды перекристаллизовывались. Последняя кристаллизация проводилась в воздушном термостате при 20° С за счет медленного испарения воды из насы-

щенного раствора. Чтобы избежать пересыщения растворов и получить мелкие кристаллы, в растворы вносилась затравка в виде порошка в количестве 10—15 мг.

Полученные в результате медленной кристаллизации кристаллы переносили на воронку Бюхнера, где при непрерывном отсасывании промывались дистиллированной водой и сушились. Для опытов использовали фракцию кристаллов размером 0,5–0,25 мм. Навеска во всех опытах составляла 20 мг, так что кристаллы помещались в две чашечки в виде моносоля.

Опыты проводились при 67° С в случае  $\text{CuSO}_4 \cdot 5\text{H}_2\text{O}$  и  $\text{CoSO}_4 \cdot 7\text{H}_2\text{O}$  и при 54° в случае  $\text{MnSO}_4 \cdot 5\text{H}_2\text{O}$ .

Изменение веса навески во времени представлено в виде кривых на рис. 1, 3 и 4. Из приведенных данных видно, что дегидратация всех трех кристаллогидратов описывается типичными для топохимических реакций S-образными кривыми. Наблюдение

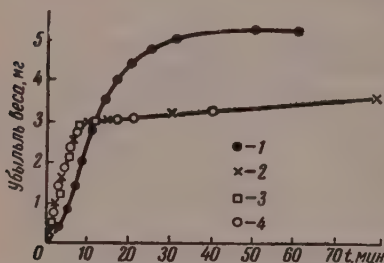


Рис. 1. Дегидратация  $\text{CuSO}_4 \cdot 5\text{H}_2\text{O}$ : 1 — опыт 1; 2 — опыт 2; 3 — опыт 3; 4 — опыт 4

отдельными кристаллами  $\text{CuSO}_4 \cdot 5\text{H}_2\text{O}$  и  $\text{CoSO}_4 \cdot 7\text{H}_2\text{O}$  показало, что реакция в начальной стадии развивается в виде отдельных правильной формы реакционных ядер. Форма ядер в случае  $\text{CuSO}_4 \cdot 5\text{H}_2\text{O}$  была звездообразная, что совпадает с указаниями Гарнера и Пайла [2], в случае  $\text{CoSO}_4 \cdot 7\text{H}_2\text{O}$  — круглая.

Дегидратация пятиводного сульфата меди (рис. 1, кривая 1) протекает в одну стадию. Изменение веса навески в конце опыта составляет 5,35 мг, что соответствует потере 3,1 моля кристаллизационной воды на моль исходной соли. Образующийся продукт реакции имеет состав, близкий к составу моногидрата сульфата меди.

Кривая 2 отражает результаты дегидратации  $\text{CuSO}_4 \cdot 5\text{H}_2\text{O}$ , к навеске которого был добавлен и тщательно перемешан твердый продукт из предыдущего опыта в количестве 5,4 мг или 27% от веса навески. Из приведенных на рис. 1 данных можно видеть, что добавка твердого продукта ускоряет процесс дегидратации и в то же время изменяет его механизм. Удаление кристаллизационной воды происходит в две стадии. В течение первой, быстрой стадии изменение веса составляет 3,0 мг или 2,08 моля кристаллизационной воды. Исследования под микроскопом позволили установить, что твердый продукт однороден во всей своей массе. Следовательно, в результате этой стадии дегидратации в системе образуется тригидрат. Вторая, медленная стадия дегидратации начинается сразу же после первой и продолжается длительное время практически с постоянной скоростью.

Для более строгого сравнения скорости дегидратации  $\text{CuSO}_4 \cdot 5\text{H}_2\text{O}$  в присутствии добавок со скоростью дегидратации этой соли без добавок мы рассчитали из опытных данных значения констант скорости. Для этого использовали уравнение вида

$$\alpha = 1 - e^{-bt^n}, \quad (1)$$

где  $\alpha$  — доля прореагировавшего вещества ко времени  $t$ ,  $b$  и  $n$  — постоянные.

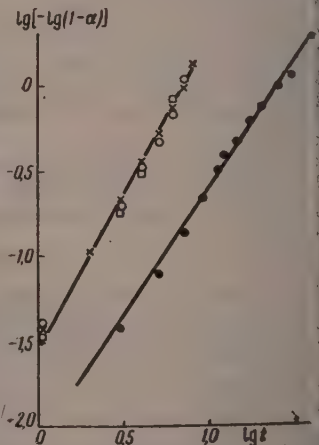


Рис. 2. Зависимость  $\lg[1 - (1 - \alpha)]$  от  $\lg t$  по данным опытов 1—4



е. Значения константы скорости находили по соотношению [3]

$$k = nb^{1/n}. \quad (2)$$

Из представленной на рис. 2 линейной зависимости экспериментальных данных в координатах  $\lg[-\lg(1 - \alpha)] - \lg t$  следует, что уравнение хорошо описывает дегидратацию  $\text{CuSO}_4 \cdot 5\text{H}_2\text{O}$  как в присутствии, так и в отсутствие добавок твердого продукта реакции.

Сравнение констант скорости, представленных в таблице, показывает, что скорость дегидратации  $\text{CuSO}_4 \cdot 5\text{H}_2\text{O}$  в присутствии добавки твердого продукта в течение первой стадии почти в четыре раза больше, чем скорость дегидратации чистой соли.

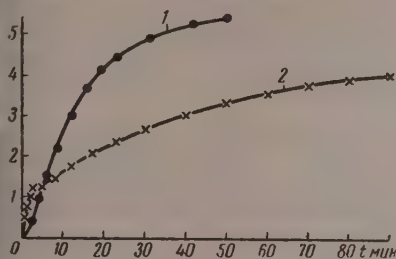


Рис. 3. Дегидратация  $\text{CoSO}_4 \cdot 7\text{H}_2\text{O}$ : 1 — чистого; 2 — с добавкой твердого продукта реакции

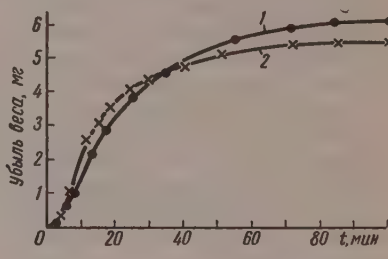


Рис. 4. Дегидратация  $\text{MnSO}_4 \cdot 5\text{H}_2\text{O}$ : 1 — чистого; 2 — с добавкой твердого продукта реакции

Увеличение количества добавляемого твердого продукта до 9,2 мг или до 46 % от веса навески (опыт 3) не изменило характера дегидратации семиродного сульфата меди по сравнению с опытом 2.

Характер влияния добавки твердого продукта не изменился, когда в качестве добавки был использован продукт реакции из опыта 3, прерванного в начале второй стадии (опыт 4). Продукт реакции в прерванном опыте 3 имел состав тригидрата сульфата меди.

Кинетические данные дегидратации  $\text{CuSO}_4 \cdot 5\text{H}_2\text{O}$

№ опыта	$n$	$\lg b$	$\lg k$	$k$
1	1,47	-1,70	-1,00	0,100
2	1,77	-1,15	-0,40	0,398
3	1,84	-1,20	-0,38	0,417
4	2,04	-1,33	-0,34	0,458

Ускоряющее действие добавок твердого продукта было найдено и в случае дегидратации  $\text{CoSO}_4 \cdot 7\text{H}_2\text{O}$  и  $\text{MnSO}_3 \cdot 5\text{H}_2\text{O}$ . На рис. 3 представлены данные по дегидратации чистого семиродного сульфата кобальта и семиродного сульфата кобальта с добавкой 6,6 мг продукта реакции. Дегидратация  $\text{CoSO}_4 \cdot 7\text{H}_2\text{O}$  в отсутствие добавки протекает в одну стадию и характеризуется образованием в системе моногидрата. В присутствии добавки твердого продукта скорость дегидратации этой соли в начальный момент большая. Но уже через 3—4 мин. в изменении веса наблюдается остановка. К этому времени убыль навески составляет 1,2 мг или 0,92 моля кристаллизационной воды. В дублирующих опытах эта остановка

хорошо воспроизводилась, причем масса навески опыта, прерванного в четвертой минуте, имела розовый цвет и легко раздавливалась. Все это указывает на то, что наблюдаемая остановка в изменении веса взятого вещества характеризует собой образование в системе шестиводного сульфата кобальта. Вторая, медленная стадия дегидратации связана с обезвоживанием  $\text{CoSO}_4 \cdot 6\text{H}_2\text{O}$ .

Таким образом, как и в случае пятиводного сульфата меди, добавка твердого продукта к семиводному сульфату кобальта, с одной стороны, ускоряет процесс дегидратации, с другой стороны, изменяет его механизм.

Дегидратация пятиводного сульфата марганца (рис. 4) протекает в одной стадии с образованием твердого продукта, по составу близкого к моногидрату. В присутствии 5 мг добавки твердого продукта дегидратация этой соли осуществляется с большей скоростью, что можно видеть из более крутого хода кривой превращения и более раннего наступления постоянства веса, чем в случае дегидратации  $\text{MnSO}_4 \cdot 5\text{H}_2\text{O}$  без добавки. Влияние добавки твердого продукта на механизм процесса выразилось в снижении максимального изменения веса навески.

Найденное ускоряющее действие добавок твердого продукта на дегидратацию кристаллогидратов сульфатов меди, кобальта и марганца вызвано, очевидно, взаимодействием их в местах контакта с поверхностным слоем исходного вещества. Это взаимодействие обусловлено сродством продукта реакции к парам воды, упругость которых над исходными кристаллогидратами выше, чем над ними. В результате уже при перемешивании в условиях комнатной температуры порошка продукта с кристаллами соли возникают участки реакционной зоны. Наличием развитой до некоторой степени реакционной зоны и объясняется повышенная скорость последующей дегидратации.

Увеличению скорости дегидратации в присутствии добавок порошка продукта реакции содействует также изменение механизма процесса. Вместо моногидратов в первой стадии образуется тригидрат в случае обезвоживания  $\text{CuSO}_4 \cdot 5\text{H}_2\text{O}$  и гексагидрат — в случае обезвоживания  $\text{CoSO}_4 \cdot 7\text{H}_2\text{O}$ . При дегидратации  $\text{MnSO}_4 \cdot 5\text{H}_2\text{O}$  наблюдается незначительное изменение механизма, что связано, по всей вероятности, с небольшим различием в термической устойчивости отдельных гидратов сульфата марганца. Ввиду этого происходит почти полное наложение во времени стадий дегидратации их.

Сам факт изменения механизма дегидратации является также следствием взаимодействия при комнатной температуре порошка добавки с исходным кристаллогидратом. При низких температурах, какой является в частности, комнатная, продуктами взаимодействия будут не моногидраты, а гидраты с большим содержанием кристаллизационной воды, например, тригидрат и гексагидрат, как это было найдено в случае дегидратации  $\text{CuSO}_4 \cdot 5\text{H}_2\text{O}$  и  $\text{CoSO}_4 \cdot 7\text{H}_2\text{O}$  соответственно. В дальнейшем, когда мы проводим дегидратацию при более высоких температурах, получившиеся при низких температурах тригидрат и гексагидрат направляют процесс обезвоживания соответствующих исходных веществ в сторону образования себе подобных соединений. Дегидратация  $\text{CuSO}_4 \cdot 5\text{H}_2\text{O}$  в присутствии добавок различного состава протекала по одному и тому же механизму, так как во всех случаях в местах контакта добавка — поверхность кристаллов исходной соли при комнатной температуре образовывалось одно и то же вещество — тригидрат. Таким образом, мы имеем дело с направленным каталитическим влиянием добавок твердого продукта на ход топохимических реакций.

Последующее медленное обезвоживание  $\text{CuSO}_4 \cdot 3\text{H}_2\text{O}$  и  $\text{CoSO}_4 \cdot 6\text{H}_2\text{O}$  можно объяснить слабым каталитическим действием нового твердого продукта. Последнее связано с отсутствием хорошего контакта между образующимся твердым продуктом и исходным твердым веществом на

фазовой границе раздела. Это обстоятельство является следствием того, что указанные гидраты меди и кобальта, получающиеся в результате реакции, находятся в аморфном состоянии [5].

### Выводы

1. Найдено, что добавки твердых продуктов реакции ускоряют дегидратацию  $\text{CuSO}_4 \cdot 5\text{H}_2\text{O}$ ,  $\text{CoSO}_4 \cdot 7\text{H}_2\text{O}$  и  $\text{MnSO}_4 \cdot 5\text{H}_2\text{O}$ .
2. Под влиянием добавок возможно изменение механизма дегидратации кристаллогидратов.
3. Изменение механизма дегидратации пятиводного сульфата меди под влиянием добавки продукта не зависит от степени дегидратированности медного.

Томский государственный университет  
им. В. В. Куйбышева

Поступила  
13.II.1958

### ЛИТЕРАТУРА

1. М. Павлюченко, Ж. физ. химии, 29, 39, 1955.
2. V. E. Garner and H. V. Pike, J. Chem. Soc., 1565, 1937.
3. В. Сакович, Уч. зап. Томский ун-т, № 26, 103, 1955.
4. B. Frost and R. A. Campbell, Canad. J. Chem., 31, 107, 1953.
5. C. Wheeler, G. B. Frost, Canad. J. Chem., 33, 546, 1955.

### EFFECT OF THE ADDITION OF SOLID REACTION PRODUCTS ON THE DEHYDRATION RATE OF SOME CRYSTAL HYDRATES

*G. V. Sakovich (Tomsk)*

#### Summary

Addition of solid reaction products has been found to accelerate the dehydration of  $\text{CuSO}_4 \cdot 5\text{H}_2\text{O}$ ,  $\text{CoSO}_4 \cdot 7\text{H}_2\text{O}$  and  $\text{MnSO}_4 \cdot 5\text{H}_2\text{O}$ . The additions may alter the dehydration mechanism. The change in mechanism of dehydration of copper sulfate pentahydrate or the influence of the addition is independent of the composition of the latter.

## МИКРОСТРУКТУРА ПРОСТЫХ ЖИДКОСТЕЙ

В. К. Прохоренко и И. З. Фишер

Правильные представления о структуре жидкостей имеют очень большое значение для дальнейшего развития многих разделов молекулярной физики и физической химии. Одним из источников новых сведений о микроструктуре жидкостей может служить изучение флуктуаций координатных чисел, как об этом уже сообщалось авторами ранее [1]. В настоящей статье будут более полно изложены теория этих флуктуаций, результаты конкретных расчетов для большого числа реальных жидкостей.

Общая теория флуктуаций координатных чисел. В работе [1] уже было выведено общее выражение для флуктуаций числа частиц в некоторой области  $G$ , неизменно связанной с некоторой выделенной частицей жидкости, находящейся в точке  $q''$ :

$$(\overline{\Delta N_G})^2 = \overline{N}_G + \frac{1}{v^2} \int_{(G)} \int_{(G)} \{F_3(q, q', q'') - F_2(q, q'') F_2(q', q'')\} dq dq', \quad (1)$$

где  $F_2$  и  $F_3$  — бинарная и тернарная функции распределения соответственно,  $v$  — объем на частицу в системе,  $\overline{N}_G$  — среднее число частиц в  $G$ . Учтем теперь, что  $F_2(q, q') = g(|q - q'|)$ , где  $g(r)$  — радиальная функция распределения частиц жидкости, положим  $q'' = 0$  (т. е. поместим выделенную частицу в начале координат) и воспользуемся тождеством

$$F_3(q, q', 0) = g(|q|)g(|q'|)g(|q - q'|) + \{F_3(q, q', 0) - g(|q|)g(|q'|)g(|q - q'|)\}.$$

Тогда вместо (1) получим

$$\begin{aligned} (\overline{\Delta N_G})^2 = \overline{N}_G + \frac{1}{v^2} \int_{(G)} \int_{(G)} g(|q|)g(|q'|)(g(|q - q'|) - 1) dq dq' + \\ + \frac{1}{v^2} \int_{(G)} \int_{(G)} \{F_3(q, q', 0) - g(|q|)g(|q'|)g(|q - q'|)\} dq dq'. \end{aligned}$$

Соответственно структуре уравнения (3) представим полученный результат в виде:

$$(\overline{\Delta N_G})^2 = (\overline{\Delta N_G})^{2*} + (\overline{\Delta N_G})^{2**},$$

и рассмотрим каждую часть флуктуаций  $(\overline{\Delta N_G})^{2*}$  и  $(\overline{\Delta N_G})^{2**}$  по отдельности. Часть флуктуаций:

$$(\overline{\Delta N_G})^{2*} = \overline{N}_G + \frac{1}{v^2} \int_{(G)} \int_{(G)} g(|q|)g(|q'|)(g(|q - q'|) - 1) dq dq'$$

содержит только функцию  $g(r)$ , и если последняя известна, то  $(\overline{\Delta N_G})^{2*}$  может быть непосредственно подсчитана. Например, если  $G$  есть сфера радиуса  $r_1$  с центром в начале координат, то простыми преобразованиями



одем (предполагая, что  $N_G = z$ )

$$(\overline{\Delta z_1})^{2*} = \overline{z_1} + \frac{8\pi^2}{v^2} \int_0^{r_1} \int_0^{r_1} g(r) g(\rho) \left\{ \int_{|r-\rho|}^{r+\rho} (g(t) - 1) t dt \right\} r \rho dr d\rho. \quad (6)$$

и  $r_1$  есть расстояние до первого минимума  $g(r)$ , то  $z_1$  есть первое координационное число, а  $(\overline{\Delta z_1})^2$  — его квадратичная флуктуация. Аналогично, считая  $G$  шаровым слоем с внутренним и внешним радиусами соответственно  $r_1$  и  $r_2$  [и полагая, что  $r_2$  есть расстояние до второго минимума  $g(r)$ ], получим для флуктуаций второго координационного ла

$$(\overline{\Delta z_2})^{2*} = \overline{z_2} + \frac{8\pi^2}{v^2} \int_{r_1}^{r_2} \int_{r_1}^{r_2} g(r) g(\rho) \left\{ \int_{|r-\rho|}^{r+\rho} (g(t) - 1) t dt \right\} r \rho dr d\rho. \quad (7)$$

Попытаемся теперь оценить  $(\overline{\Delta N_G})^{2**}$

$$(\overline{N_G})^{2**} = \frac{1}{v^2} \int_{(G)} \int_{(G)} \{F_3(q, q', 0) - g(|q|) g(|q'|) g(|q - q'|)\} dq dq'. \quad (8)$$

в общем случае функция  $F_3(q, q', 0)$  неизвестна. Рассмотрим поэтому два случая: не жидкости, а плотного газа. Согласно общей теории [2] имеем

$$g(|q|) = e^{-\Phi(|q|)/kT} \left\{ 1 + \frac{1}{v} \int f(|q''|) f(|q'' - q|) dq'' + \dots \right\}, \quad (9)$$

$$\begin{aligned} (q, q', 0) = \exp \left\{ -\frac{\Phi(|q|) + \Phi(|q'|) + \Phi(|q - q'|)}{kT} \right\} & \left\{ 1 + \frac{1}{v} \int [f(|q''|) f(|q'' - q|) + \right. \\ & + f(|q''|) f(|q'' - q'|) + f(|q'' - q|) f(|q'' - q'|) + \\ & \left. + f(|q''|) f(|q'' - q|) f(|q'' - q'|)] dq'' + \dots \right\}, \end{aligned} \quad (10)$$

где  $\Phi(r)$  — межмолекулярный потенциал и

$$f(|q|) = e^{-\Phi(|q|)/kT} - 1. \quad (11)$$

Интегрирование в (9) и (10) производится по всему пространству. Тогда из (8) и (10) получается

$$\begin{aligned} (\overline{\Delta N_G})^{2**} &= \frac{1}{v^3} \int_{(G)} \int_{(G)} \exp \left\{ -\frac{\Phi(|q|) + \Phi(|q'|) + \Phi(|q - q'|)}{kT} \right\} dq dq' \times \\ &\times (e^{-\Phi(|q''|)/kT} - 1)(e^{-\Phi(|q - q'|)/kT} - 1)(e^{-\Phi(|q'' - q'|)/kT} - 1) dq'' + \dots \end{aligned} \quad (12)$$

Знак этого выражения зависит от знака внутреннего интеграла. Если точки  $q, q'$  и 0 расположены далеко друг от друга, то внутренний интеграл в (12) равен шестикратному значению вириального коэффициента газа

$$B(T) = \frac{1}{2} \int (e^{-\Phi(|q|)/kT} - 1) dq. \quad (13)$$

Как хорошо известно [1], ниже температуры Бойля (и тем более ниже критической температуры,  $T_B \sim 3 T_{кр}$ ) второй вириальный коэффициент положителен:  $B(T) > 0$ , и, следовательно, положителен внутренний интеграл в (12). Если одна из точек  $q$  или  $q'$ , скажем  $q'$ , приближается к началу координат, то подынтегральное выражение в (12) стремится к  $(e^{-\Phi(|q''|)/kT} - 1)^2 (e^{-\Phi(|q'' - q|)/kT} - 1)$ , ясно, что этот интеграл положителен ниже температуры Бойля. Наконец, если все три точки  $q, q'$

и 0 сближаются, то внутренний интеграл в (12) стремится к кубу второго вириального коэффициента, и в области критических температур и ниже этот интеграл снова положителен. Таким образом мы видим, что в случае газа всегда  $(\overline{\Delta N_G})^{2**} > 0$ , если только температура не слишком высока.

В случае жидкости количественная оценка  $(\overline{\Delta N_G})^{2**}$  затруднительна, однако можно воспользоваться следующим соображением. Полное пренебрежение подынтегральным выражением в (8) соответствует в теории жидкостей «суперпозиционному приближению». В таком приближении Кирквудом с сотрудниками [4] были рассчитаны радиальная функция распределения  $g(r)$  и термодинамические свойства некоторой воображаемой жидкости, очень близкой к реальному жидкому аргону. Выяснилось, что суперпозиционное приближение приводит к существенному занижению величины энтропии жидкости, примерно на 30% и более. Следовательно, такое приближение приписывает жидкости больший порядок, чем имеющийся в действительности. Поэтому в реальной жидкости имеется большее нарушение порядка, чем это учитывается только первым членом справа в (4):  $(\overline{\Delta N_G})^2 > (\overline{\Delta N_G})^{2**}$ , так что опять получается  $(\overline{\Delta N_G})^{2**} > 0$ .

Таким образом, анализ положения и в газах и жидкостях приводит к положительности поправки  $(\overline{\Delta N_G})^{2**}$  в (4), и мы можем утверждать, что

$$(\overline{\Delta z_i})^2 > (\overline{\Delta z_i})^{2*}, i = 1, 2, \dots \quad (14)$$

Расчет по (6) или (7) дает только нижнюю границу существующих в жидкости флуктуаций координационных чисел. Что касается величины  $(\overline{\Delta z_i})^{2**}$ , то из общих соображений следует, что  $(\overline{\Delta z_i})^{2*}$  и  $(\overline{\Delta z_i})^{2**}$  должны быть величинами одного порядка, и поэтому погрешность, которую мы допускаем, заменяя  $\Delta z_1$  на  $\Delta z_2$ , может оказаться заметной.

В заключение остановимся на корреляции флуктуаций  $\Delta z_1$  и  $\Delta z_2$ . Обозначим через  $z_{1+2}$  полное число частиц в двух первых координационных сферах:  $z_{1+2} = z_1 + z_2$ . Тогда имеем тождество

$$\overline{\Delta z_1 \Delta z_2} = \frac{1}{2} \{ (\overline{\Delta z_{1+2}})^2 - (\overline{\Delta z_1})^2 - (\overline{\Delta z_2})^2 \}. \quad (15)$$

Воспользовавшись выражениями для (6) и (7) и аналогичным ненаписанным выражением для  $(\overline{\Delta z_{1+2}})^2$ , находим в суперпозиционном приближении

$$\overline{\Delta z_1 \Delta z_2}^* = \frac{8\pi^2}{v^2} \int_{r_1}^{r_2} g(r) g(\rho) \left\{ \int_{|r+\rho|}^{r+\rho} (g(t) - 1) dt \right\} r \rho dr d\rho. \quad (16)$$

Точное выражение для  $\overline{\Delta z_1 \Delta z_2}$  вновь нуждается в поправке  $\overline{\Delta z_1 \Delta z_2}^*$ . Можно показать, что эта поправка положительна.

Результаты расчетов флуктуаций координационных чисел. При помощи уравнений (6), (7) и (16) было обработано большое число экспериментальных данных по радиальным функциям распределения частиц в различных простых жидкостях. Интегрирования производились по методу трапеций с шагом в  $\Delta r = 0,1$  Å. Ниже приводятся полученные к настоящему времени результаты.

А р г о н. Данные были взяты из [5], где приводятся графики  $g(r)$  для жидкого аргона при различных температурах, взятых вдоль кривой испарения. Некоторые данные о  $g(r)$  и результаты расчетов флуктуаций приводятся в табл. 1\*. Значком  $\delta^*$  для краткости обозначена величина

$$\delta^* = \overline{\Delta z_1 \Delta z_2}^* / \sqrt{(\overline{\Delta z_1})^{2*} (\overline{\Delta z_2})^{2*}}. \quad (17)$$

\* Часть табл. 1 уже приводилась в [1], при этом была допущена опечатка: вместо числа 1,6 в третьей строке четвертого столбца было напечатано 1,0.

Первая строка почти точно соответствует тройной точке аргона. Оценить  $(\Delta z_1)^{2*}$  в этом случае не удалось: искомое число оказалось м-м, порядок ошибок счета ( $\sim 0,1 \div 0,2$ ). Невозможность оценить поправ-  
 $(\Delta z_1)^{2**}$  оставляет вопрос о флуктуациях первого координационного ла в тройной точке открытым. Данные второй строки всего на  $8-9^\circ$  инугы от тройной точки, а уровень флуктуаций уже велик. Последняя ока почти соответствует критической точке аргона. Структура жид-  
 тут здесь рыхлая, первый пик  $g(r)$  слабо выражен, второй пик отсут-  
 ует.

Таблица 1

К	$r_1, \text{\AA}$	$\bar{z}_1$	$V_{(\Delta z_1)^{2*}}$	$V_{(\Delta z_1)^{2*}}/\bar{z}_1$	$r_2, \text{\AA}$	$\bar{z}_2$	$V_{(\Delta z_2)^{2*}}$	$V_{(\Delta z_2)^{2*}}/\bar{z}_2$	$\delta^*$
4	4,85	10,5	—	—	5,5	3,2	1,5	0,47	—
8	4,3	6,8	1,6	0,24	5,2	5,1	1,9	0,38	-0,57
7	4,4	6,0	1,6	0,27	5,3	4,4	1,8	0,41	-0,52
1	4,9	6,7	2,0	0,30	6,1	5,0	2,0	0,40	-0,12
3	5,1	8,5	2,2	0,26	—	—	—	—	—

К с е н о н. Данные были взяты из [6], где приводятся три экспери-  
 ментально определенные функции  $g(r)$  для различных температур и дав-  
 ний. Данные о  $g(r)$  и результаты расчетов приводятся в табл. 2.

Таблица 2

К	$P, \text{атм}$	$r_1, \text{\AA}$	$\bar{z}_1$	$V_{(\Delta z_1)^{2*}}$	$V_{(\Delta z_1)^{2*}}/\bar{z}_1$	$r_2, \text{\AA}$	$\bar{z}_2$	$V_{(\Delta z_2)^{2*}}$	$V_{(\Delta z_2)^{2*}}/\bar{z}_2$	$\delta^*$
33	1,0	5,3	10,0	2,4	0,24	6,1	3,8	1,8	0,47	-0,30
33	2,5	5,5	9,4	1,5	0,16	6,2	3,1	1,6	0,51	-0,30
33	130,0	5,5	10,5	1,9	0,18	6,3	3,6	1,7	0,49	-0,37

Данные первой строки здесь близки к тройной точке. Интересно от-  
 тить, что, хотя увеличение давления и приводит к некоторому уплот-  
 нию частиц жидкости, оно практически не влияет на уровень флуктуа-  
 тий в обеих координационных сферах.

Данные для жидкого аргона и жидкого ксенона хорошо согласуются  
 между собой, что естественно ввиду хорошего выполнения для жидких  
 благородных газов закона соответственных состояний [7].

Р т у т ь. Для расчетов были взяты данные из работы [8], где приво-  
 дятся экспериментальные функции  $g(r)$  для различных температур при  
 атмосферном давлении. Некоторые данные о  $g(r)$  и результаты расчетов  
 приводятся в табл. 3.

Таблица 3

$^\circ\text{C}$	$r_1, \text{\AA}$	$\bar{z}_1$	$V_{(\Delta z_1)^{2*}}$	$V_{(\Delta z_1)^{2*}}/\bar{z}_1$	$r_2, \text{\AA}$	$\bar{z}_2$	$V_{(\Delta z_2)^{2*}}$	$V_{(\Delta z_2)^{2*}}/\bar{z}_2$	$\delta^*$
-38	3,6	7,3	1,0	0,14	4,4	5,5	1,9	0,34	-1,4
0	3,5	6,4	1,5	0,21	4,5	7,5	2,1	0,28	-0,96
50	3,4	6,1	1,5	0,25	4,5	8,2	2,2	0,27	-0,61
100	3,3	4,9	1,1	0,23	4,2	6,1	1,8	0,29	-1,33
150	3,6	6,7	0,7	0,11	4,2	3,6	1,5	0,42	-2,4
200	4,0	9,2	0,6	0,07	—	—	—	—	—

При высоких температурах структура ртути сильно разрыхляется,  
 выделить вторую координационную сферу невозможно. Этим же объяс-

няется снижение уровня относительных флуктуаций  $z_1$  при высоких температурах. Первая строка почти совпадает по температуре с температурой плавления ртути.

Различные металлы. Были также рассчитаны флуктуации координационных чисел для различных металлов по [9] (для кадмия и [12] (для всех остальных металлов). Результаты приведены в табл.

Таблица 4

Элемент	$t, ^\circ\text{C}$	$r_1, \text{\AA}$	$\bar{z}_1$	$V_{(\Delta z_1)^{2*}}$	$V_{(\Delta z_1)^{2*}}/\bar{z}_1$	$r_2, \text{\AA}$	$\bar{z}_2$	$V_{(\Delta z_2)^{2*}}$	$V_{(\Delta z_2)^{2*}}/\bar{z}_2$	$\delta^*$
Pb	375	4,05	7,9	0,53	0,07	4,75	4,0	1,8	0,45	-3,3
Tl	230	4,0	8,6	0,9	0,10	4,6	3,7	1,6	0,45	-1,7
Ge	1100	3,6	8,1	1,2	0,15	4,5	7,8	2,2	0,28	-1,2
In	165	3,7	7,9	1,3	0,16	4,3	3,7	1,6	0,43	-1,1
Sn	280	4,1	10,2	0,8	0,08	4,7	3,5	1,6	0,45	-1,1
Sn	480	4,2	10,1	1,3	0,13	4,7	3,1	1,5	0,50	-1,1
Ga	20	3,7	12,3	2,2	0,18	6,7	52,0	3,3	0,06	-0,2
Au	1000	3,7	11,7	1,3	0,11	6,3	46,0	2,6	0,06	-0,4
Cd	350	3,8	7,5	2,0	0,27	4,4	3,3	1,6	0,50	-0,8
Bi	340	4,6	8,0	1,4	0,18	—	—	—	—	—

Свинец и олово обнаруживают несколько заниженные флуктуации первого координационного числа. Причина этого не ясна, тем более, что по флуктуациям во второй координационной сфере они ничем не отличаются от остальных металлов. У золота и галлия вторая координационная сфера очень рыхлая и протяженная,  $z_2$  очень велико. Еще сильнее это выражено у висмута. Во всех трех случаях понятия второй координационной сферы и второго координационного числа лишены смысла.

### Обсуждение результатов

Из приведенных таблиц видно, что уже в первой координационной сфере большинства жидкостей флуктуации числа частиц весьма заметны. Если еще учесть неравенство (14), то в среднем мы получаем флуктуации  $z_1$  не менее чем на 20—25%, или еще больше. По мере нагревания жидкости ее рыхлость и неопределенность первого координационного числа возрастают. Это убеждает в необходимости осторожно подходить к понятию координационного числа в жидкости. Никакой аналогии с тракторной координационным числом в кристаллах здесь быть не может.

Если рассматривать жидкость как квазикристаллическую систему, то можно ожидать более или менее стабильных координационных чисел во всем диапазоне температур плавления. Как показано выше, этого не наблюдается. Очень показательны пример галлия. Данные для него в табл. 4 относятся к первому охлажденному состоянию, и тем не менее уровень флуктуаций  $z_1$  очень велик.

Неопределенность второго координационного числа еще больше. Во многих случаях вторую координационную сферу вообще нельзя выделить. Если же такое выделение возможно, то мы получаем флуктуации числа частиц в ней — с учетом неравенства (14) — на 40—50% и еще больше. Эти флуктуации столь велики, что ни о каком определенном числе частиц во второй координационной сфере говорить невозможно.

Интересно отметить, что корреляция флуктуаций числа частиц в обеих координационных сферах (см. последний столбец таблиц) всегда отрицательна и сравнительно велика. Если отождествить  $\delta^*$  (в суперпозиционном приближении) с истинным значением  $\delta$ , то это означает, что флуктуации числа частиц в двух первых координационных сферах, как правило, пр



одят с противоположными знаками, что свидетельствует о чрезвычайной коструктурности флуктуаций порядка и плотности в жидкостях.

Смысл ближнего порядка в простых жидкостях. В настоящее время отсутствует единое мнение о действительном сле той ближней упорядоченности частиц, о которой свидетельствуют гтеноструктурные данные о простых жидкостях [11]. Большинство ров, следуя за Принсом [12], истолковывают ближний порядок в жид- ги, как приближенно соблюдающуюся кристаллическую регулярность асположении небольших групп частиц, окружающих заданную ча- цу. «Решеточные» модели жидкости еще недавно имели большое рас- странение [13], а термин «квазикристаллическая структура жидко- и» и теперь еще является общеупотребительным, и часто понимается шком буквально.

Так, понимаемая квазикристалличность жидкостей должна быть не- менно связана с приближенной анизотропией и приближенной тран- ционной повторяемостью структуры в пределах хотя бы нескольких дилагаемых «элементарных ячеек» жидкости. Высокий уровень флук- ций первого и, особенно, второго координационных чисел, как мы выше ели, решительно противоречит таким взглядам. Структурная квази- сталличность в простых жидкостях отсутствует.

Следует считать, что ближний порядок в простых жидкостях, о кото- и свидетельствует ход радиальной функции распределения  $g(r)$ , есть то плотностный эффект, само упорядочение — лишь плотностное. противоположность квазикристаллическим моделям следует считать, что и функции  $g(r)$  не есть результат усреднения какого-то предполагаемого ювенного квазикристаллического распределения частиц, а непосред- енно отражает ближнюю радиальную плотностную упорядоченность, ющуюся в простой жидкости, и что за ней более ничего не скрывается. ание  $g(r)$ , с такой точки зрения, исчерпывает знание ближнего порядка жидкости.

Авторы рассматривают свои результаты о флуктуациях координа- онных чисел и вытекающие отсюда выводы как новые подтверждения ядов на структуру жидкости, высказанные в известном выступлении льдебранда [14], решительно отказавшегося от квазикристаллических решеточных представлений в теории жидкостей.

Выше мы все время имели в виду и подчеркивали это, только простые жкости с достаточно симметричными частицами и ненаправленными си- ми между ними. Положение может существенно измениться в жидко- ях с резко направленными силами между частицами (например, в воде), азывающими упорядочивающее влияние на расположение частиц.

### Выводы

1. Дана общая теория флуктуаций координационных чисел в простых жидкостях.

2. Рассчитаны флуктуации первого и второго координационных чисел, также корреляция между ними в жидких аргоне, ксеноне, ртути и не- торых других расплавленных металлах. Относительные флуктуации рвого координационного числа в среднем оказываются не менее 20 %, рогого координационного числа — порядка 50 %.

3. Полученные оценки противоречат распространенным представле- ям о квазикристаллической структуре простых жидкостей. Эффекты ижного упорядочения в простых жидкостях должны рассматриваться ак чисто плотностные.

## ЛИТЕРАТУРА

1. В. К. Прохоренко и И. З. Фишер, Ж. физ. химии, **31**, 2145, 1957.
2. Н. Н. Боголюбов, Проблемы динамической теории в статистической физике, Гостехиздат, 1946.
3. Р. Фаулер и Э. Гуггенгейм, Статистическая термодинамика, III, 1949.
4. J. Kirkwood, V. Levinson, B. Alder, J. Chem. Phys., **20**, 929, 1953.
5. A. Eisenstein, N. Gingrich, Phys. Rev., **62**, 261, 1942.
6. S. A. Campbell, S. H. Hildebrand, J. Chem. Phys., **11**, 334, 1943.
7. Ж. де-Бур, Успехи физ. наук, **51**, 41, 1953.
8. R. N. Boyd, H. R. Wakeham, J. Chem. Phys., **7**, 958, 1939.
9. C. Gamertsfelder, J. Chem. Phys., **9**, 450, 1941.
10. H. Hendus, Z. Naturforsch., **2**, 505, 1947.
11. Н. С. Гингрич, Успехи химии, **15**, 297, 1946.
12. S. Prins, H. Petersen, Physica, **3**, 147, 1936.
13. J. S. Rowlinson, C. F. Curtiss, J. Chem. Phys., **19**, 1519, 1951.
14. S. H. Hildebrand, Disc. Faraday Soc., **15**, 9, 1953.

## THE MICROSTRUCTURE OF SIMPLE LIQUIDS

*V. K. Prokhorenko and I. Z. Fisher (Minsk)*

## Summary

A study has been made of the thermal fluctuation of the number of nearest order particles about a typical atom of a liquid. Calculation carried out with the aid of experimental radial distribution functions for a large number of liquids reveals the significance of these fluctuations attaining a value of no less than 20—25% in the first and 50% in the second coordination sphere. These findings are in contradiction with the widespread quasycrystalline view on the structure of simple liquids.

## К ТЕОРИИ ПРЕВРАЩЕНИЙ МЕТАСТАБИЛЬНЫХ ФАЗ

Л. С. Палатник и В. С. Зорин

Приближенное выражение для разности свободных энергий двух фаз. Кинетика превращений метастабильных фаз в значительной степени определяется разностью  $\Delta\varphi$  свободных энергий \* старой и новой фаз и величинами поверхностных натяжений  $\alpha$  на межфазных границах. Знание этих величин необходимо для исследования температурной зависимости скорости зарождения центров кристаллизации и линейной скорости роста кристаллов, для оснания так называемого правила ступеней и т. д. Явные выражения свободных энергий в функции от температуры неизвестны. Поэтому пользуются приближенными выражениями для  $\Delta\varphi$ . Я. И. Френкель при определении работы образования равновесного зародыша и в других расчетах пользовался приближением  $\Delta\varphi$  в виде полинома Тейлора [1]:

$$\Delta\varphi = \varphi_1 - \varphi_2 = \frac{Q}{T_{12}} (T_{12} - T), \quad (1)$$

$\varphi_1$  — свободная энергия фазы, устойчивой при  $T > T_{12}$ ;  $\varphi_2$  — свободная энергия фазы, устойчивой при  $T < T_{12}$  и  $Q$  — теплота превращения фаз.

Однако полином первой степени дает достаточное приближение для  $\Delta\varphi$  лишь вблизи температуры превращения  $T_{12}$ . Поэтому для большей точности расчетов необходимо использовать полиномы более высокой степени. Экспериментальные данные позволяют построить для  $\Delta\varphi$  по формуле Тейлора второй степени:

$$\varphi_1(T) - \varphi_2(T) = \frac{Q}{T_{12}} (T_{12} - T) - \frac{1}{2} \frac{C_2 - C_1}{T_{12}} (T_{12} - T)^2, \quad (2)$$

$C_1$  и  $C_2$  — теплоемкости первой и второй фаз при постоянном объеме. Это приближение имеет смысл для интервала температур  $0 < T < T_2$  лишь для систем, у которых

$$\frac{1}{2} \frac{C_1 - C_2}{Q} < \frac{1}{T_{12}}, \quad (3)$$

как при  $T < T_{12}$  должно быть  $\varphi_1 - \varphi_2 < 0$ . Это условие выполняется, по-видимому, всегда. Кроме того, можно ожидать, что в интервале температур  $0 < T < T_{12}$  для любой системы имеет место неравенство

$$\left| \frac{d}{dT} \frac{C_1 - C_2}{T} \right| < \frac{6Q}{T_{12}^2}.$$

Поэтому, по-видимому, всегда в этом интервале температур второе приближение лучше первого. Этим приближением мы и будем пользоваться в своих расчетах.

\* Здесь имеются в виду превращения при постоянной температуре и объеме. При других условиях процесса необходимо рассматривать другие термодинамические потенциалы.

**Правило ступеней.** Пусть при данных условиях возможно образование фаз, более стабильных чем исходная, так что свободные энергии этих фаз образуют следующий ряд:  $\varphi_0 > \varphi_1 > \varphi_2 > \dots > \varphi_n$  ( $n$ -ая фаза стабильная). Правило ступеней говорит о том, что исходная фаза будет превращаться сначала в менее стабильную из  $n$  фаз, а затем новая метастабильная фаза превращается в следующую по стабильности фазу и т. [2].

Однако это правило выполняется не всегда. Часто выделяется сразу наиболее стабильная фаза, минуя промежуточную по стабильности фаз. Обычно такое невыполнение правила ступеней бывает при температурах достаточно низких по сравнению с температурой равновесия выделяющихся фаз, в то время как вблизи температуры равновесия правило ступеней выполняется.

Факт выполнения или невыполнения правила ступеней зависит прежде всего от скоростей зарождения центров выделения стабильной и метастабильной фаз. Существует ряд работ, рассматривающих с разных позиций скорость зарождения центров выделения различных фаз [1, 3—6]. Во всех этих работах показывается, что скорость зарождения определяется в основном работой образования зародышей:  $\Delta n \sim \exp(-\frac{\Delta F_i}{kT})$ , где  $\Delta F_i$  — работа образования зародыша критического размера.

Работа образования зародыша равна

$$\Delta F_i = A_i \frac{\alpha_i^3}{\rho_i^2 (\Delta \varphi_i)^2}, \quad \Delta \varphi_i = \varphi_0 - \varphi_i,$$

где  $\varphi_0$  и  $\varphi_i$  — свободные энергии старой и новой фаз,  $\rho_i$  — плотность новой фазы. Величины  $A_i$  положительны и приблизительно равны для различных зарождающихся фаз. Поэтому характер превращения опре-

ляется знаком величины  $\frac{\alpha_1^3}{\rho_1^2 (\Delta \varphi_1)^2} - \frac{\alpha_2^3}{\rho_2^2 (\Delta \varphi_2)^2}$  или знаком

$$f(T) = \frac{\rho_2 \Delta \varphi_2}{\alpha_2^{3/2}} - \frac{\rho_1 \Delta \varphi_1}{\alpha_1^{3/2}},$$

$$\text{sign} \left\{ \frac{\alpha_1^3}{\rho_1^2 (\Delta \varphi_1)^2} - \frac{\alpha_2^3}{\rho_2^2 (\Delta \varphi_2)^2} \right\} = \text{sign} \left\{ \frac{\alpha_1^{3/2}}{\rho_1 \Delta \varphi_1} - \frac{\alpha_2^{3/2}}{\rho_2 \Delta \varphi_2} \right\} = \text{sign } f(T).$$

Если  $f(T) < 0$ , то более вероятно метастабильное превращение. Если  $f(T) > 0$ , то будет выделяться преимущественно стабильная фаза.

При температурах, ниже температуры равновесия первой и второй фаз  $T_{12}$

$$\Delta \varphi_2 > \Delta \varphi_1.$$

так как  $\Delta \varphi_2 = \Delta \varphi_1 + \Delta \varphi_{12}$  и  $\Delta \varphi_{12} = \varphi_1 - \varphi_2 > 0$ .

Однако знак  $f(T)$  зависит не только от соотношения между величинами  $\Delta \varphi_1$  и  $\Delta \varphi_2$ , но и от величин  $\alpha_1^{3/2}/\rho_1$  и  $\alpha_2^{3/2}/\rho_2$ . Обычно

$$\alpha_2^{3/2}/\rho_2 > \alpha_1^{3/2}/\rho_1,$$

и так как  $\Delta \varphi_2 \rightarrow 0$  и  $\Delta \varphi_2 \rightarrow \Delta \varphi_1$  при  $T \rightarrow T_{12}$ , то в таких случаях и на температурах, достаточно близких к  $T$ ,  $f(T) < 0$ , и, следовательно, выполняется правило ступеней. При более низких температурах вследствие усиления неравенства (6) может оказаться  $f(T) > 0$ , и правило ступеней не будет выполняться.

Вблизи некоторой граничной температуры, определяемой из уравнения

$$f(T) = 0,$$

одновременно могут выделяться в заметных количествах и метастабильная и стабильная фазы.



Таким образом, если в интервале  $0 < T < T_{12}$ , где вторая выделяющаяся фаза более стабильна, чем первая, имеется один корень уравнения (8), при  $\theta_1 < T < T_{12}$  правило ступеней выполняется, а при  $T < \theta_1$  — не выполняется. Если же  $f(T)$  не имеет нулей в интервале  $0 < T < T_{12}$ , правило ступеней выполняется во всем этом интервале.

Возможно также существование двух граничных температур  $\theta_1$  и  $\theta_2$ , тогда правило ступеней выполняется при  $0 < T < \theta_2$  и  $\theta_1 < T < T_2$  и не выполняется в интервале температур  $\theta_2 < T < \theta_1$ . Более двух вещественных корней уравнения (8) не может быть, так как, по-видимому,  $d(\Delta\varphi_i)/dT = \Delta S_i$  — монотонные функции ( $S_i$  — энтропия  $i$ -ой фазы). Чтобы определить, существуют ли граничные температуры для данной смеси, и вычислить их значения, запишем в явном виде уравнение (8), пользуясь для  $\Delta\varphi$  приближенное выражение (2) \*

$$\left[ \left( \frac{\alpha_2^{3/2}}{\rho_2} - \frac{\alpha_1^{3/2}}{\rho_1} \right) \frac{\Delta C_1}{T_{01}} - \frac{\alpha_1^{3/2}}{\rho_1} \frac{\Delta C_2}{T_{12}} \right] T^2 + \\ + 2 \left[ \left( \frac{\alpha_2^{3/2}}{\rho_2} - \frac{\alpha_1^{3/2}}{\rho_1} \right) \frac{Q_1 - T_{01} \Delta C_1}{T_{01}} - \frac{\alpha_1^{3/2}}{\rho_1} \frac{Q_2 - T_{12} \Delta C_2}{T_{12}} \right] T - \\ - \left( \frac{\alpha_2^{3/2}}{\rho_2} - \frac{\alpha_1^{3/2}}{\rho_1} \right) (2Q_1 - T_{01} \Delta C_1) + \frac{\alpha_1^{3/2}}{\rho_1} (2Q_2 - T_{12} \Delta C_2) = 0, \Delta C_i = C_{i-1} - C_i, \quad (9)$$

Корни этого уравнения получим в следующем виде:

$$\theta_{12} = \frac{\frac{\alpha_1^{3/2}}{\rho_1} \frac{Q_2 - T_{12} \Delta C_2}{T_{12}} - \left( \frac{\alpha_2^{3/2}}{\rho_2} - \frac{\alpha_1^{3/2}}{\rho_1} \right) \frac{Q_1 - T_{01} \Delta C_1}{T_{01}} \pm}{\left( \frac{\alpha_2^{3/2}}{\rho_2} - \frac{\alpha_1^{3/2}}{\rho_1} \right) \frac{\Delta C_1}{T_{01}} - \frac{\alpha_1^{3/2}}{\rho_1} \frac{\Delta C_2}{T_{12}}} \times \\ \times \frac{Q_1 \sqrt{\left[ \frac{\alpha_1^{3/2} T_{01} Q_2}{\rho_1 T_{12} Q_1} - \left( \frac{\alpha_2^{3/2}}{\rho_2} - \frac{\alpha_1^{3/2}}{\rho_1} \right)^2 \right] + \frac{\alpha_1^{3/2}}{\rho_1} \frac{T_{01}}{T_{12}} \frac{Q_2}{Q_1} \left( \frac{\alpha_2^{3/2}}{\rho_2} - \frac{\alpha_1^{3/2}}{\rho_1} \right) (T_{01} - T_{12}) \left[ \frac{\Delta C_1 \Delta C_2}{Q_1 Q_2} + \frac{2 \Delta C_1}{Q_1} - \frac{2 \Delta C_2}{Q_2} \right]}}{\left( \frac{\alpha_2^{3/2}}{\rho_2} - \frac{\alpha_1^{3/2}}{\rho_1} \right) \frac{\Delta C_1}{T_{01}} - \frac{\alpha_1^{3/2}}{\rho_1} \frac{\Delta C_2}{T_{12}}} \quad (10)$$

Используя неравенства (3) и (7), можно получить необходимые и достаточные условия того, что в интервале  $0 < T < T_{12}$  имеется граничная температура, ниже которой не выполняется правило ступеней. Прежде всего должно выполняться условие вещественности корней  $\theta_{12}$ , а также условия, при которых один или оба корня находятся в интервале  $0 < T < T_{12}$ .

Таким образом, получим, что условием существования одной граничной температуры является одновременное выполнение наряду с соотношением:

$$\frac{\alpha_1^{3/2}}{\rho_1} \frac{T_{01}}{T_{12}} \frac{Q_2}{Q_1} \left( \frac{\alpha_2^{3/2}}{\rho_2} - \frac{\alpha_1^{3/2}}{\rho_1} \right) (T_{01} - T_{12}) \left[ \frac{\Delta C_1 \Delta C_2}{Q_1 Q_2} + \frac{2 \Delta C_1}{Q_2} - \frac{2 \Delta C_2}{Q_2} \right] + \\ + \left[ \frac{\alpha_1^{3/2}}{\rho_1} \frac{T_{01}}{T_{12}} \frac{Q_2}{Q_1} - \left( \frac{\alpha_2^{3/2}}{\rho_2} - \frac{\alpha_1^{3/2}}{\rho_1} \right) \right]^2 > 0; \quad (11)$$

следующих двух неравенств:

$$\left( \frac{\alpha_2^{3/2}}{\rho_2} - \frac{\alpha_1^{3/2}}{\rho_1} \right) T_{12} \Delta C_1 - \frac{\alpha_1^{3/2}}{\rho_1} T_{01} \Delta C_2 > 0; \quad (12)$$

$$\left( \frac{\alpha_2^{3/2}}{\rho_2} - \frac{\alpha_1^{3/2}}{\rho_1} \right) \frac{T_{12}}{T_{01}} \frac{Q_1 - (T_{01} - T_{12}) \Delta C_1}{Q_2} - \frac{\alpha_1^{3/2}}{\rho_1} < 0; \quad (13)$$

\* Заметим, что дальнейшие вычисления производятся для случая, когда выделяющиеся фазы имеют тот же состав, что и исходная фаза.

или двух других:

$$\left( \frac{\alpha_2^{3/2}}{\rho_2} - \frac{\alpha_1^{3/2}}{\rho_1} \right) \frac{T_{12}}{T_{01}} \frac{Q_1 - (T_{01} - T_{12}) \Delta C_1}{Q_2} - \frac{\alpha_1^{3/2}}{\rho_1} < 0, \quad (10)$$

$$\left( \frac{\alpha_2^{3/2}}{\rho_2} - \frac{\alpha_1^{3/2}}{\rho_1} \right) T_{12} (Q_1 - T_{01} \Delta C_1) - \frac{\alpha_1^{3/2}}{\rho_1} T_{01} (Q_2 - T_{12} \Delta C_2) > 0. \quad (11)$$

Условием существования двух граничных температур является выполнение одновременно с соотношениями (11), (14), (15) следующего неравенства

$$\left( \frac{\alpha_2^{3/2}}{\rho_2} - \frac{\alpha_1^{3/2}}{\rho_1} \right) (2 Q_1 - T_{01} \Delta C_1) - \frac{\alpha_1^{3/2}}{\rho_1} (2 Q_2 - T_{12} \Delta C_2) > 0. \quad (12)$$

Примером системы, имеющей область температур, в которой выполняется правило ступеней, и область, где это правило не выполняется, является пересыщенный водяной пар ниже  $0^\circ \text{C}$ . При температуре, близкой к  $0^\circ$  пар сначала конденсируется, а затем образовавшаяся из пара вода замерзает. Так образуется град. При более же низких температурах пар превращается сразу в стабильную кристаллическую фазу (снег). Следовательно, в этом случае правило ступеней выполняется при температурах, близких к  $0^\circ \text{C}$ , и не выполняется при более низких температурах.

В этом примере превращение происходит при постоянном давлении. Однако проведенное выше рассмотрение справедливо и для этого случая только тогда, когда  $\phi$  — термодинамические потенциалы Гиббса и  $C$  — теплоты при постоянном давлении. Расчет соответствующей граничной температуры затруднителен, так как неизвестна величина поверхностного натяжения льда (как и для подавляющего большинства других твердых тел). Поэтому мы пойдем обратным путем и попытаемся оценить величину поверхностного натяжения льда, исходя из данных о выполнении правила ступеней.

Прежде всего из выполнимости правила ступеней вблизи  $0^\circ \text{C}$  следует, что справедливо неравенство (7) или  $\alpha_L^{3/2} > 0,917 \alpha_B^{3/2}$  (где  $\alpha_B$  — поверхностное натяжение воды) и

$$\alpha_L > 0,94 \alpha_B. \quad (13)$$

Кроме того, легко видеть, что при любом  $\alpha_L > 0,94 \alpha_B$  не выполняется неравенство (12), поскольку в рассматриваемом случае  $\Delta C_1 < 0$  и  $\Delta C_2 > 0$ . Так как граничная температура существует и неравенства (12), (14) не выполняются, то должны выполняться соотношения (11), (14), (15). Неравенство (11) выполняется при  $\alpha_L < 0,99 \alpha_B$  и  $\alpha_L > 1,32 \alpha_B$ . Но при  $\alpha_L > 1,32 \alpha_B$  не выполняется условие (14), а при  $\alpha_L < 0,99 \alpha_B$  выполняются все три соотношения (11), (14), (15). Поэтому имеем:  $0,94 \alpha_B < \alpha_L < 0,99 \alpha_B$ .

Если граничная температура  $\theta_1$  находится в интервале между  $-150^\circ \text{C}$  и  $0^\circ \text{C}$ , то  $0,95 \alpha_B < \alpha_L < 0,99 \alpha_B$ . Некоторые авторы полагают, что быстрое образование снега в пересыщенном водяном паре начинается лишь при температурах около  $-40^\circ \text{C}$ . Однако это мало меняет полученную оценку величины поверхностного натяжения льда.

Интересно отметить, что в этом случае выполняется также и условие (16), и существует вторая граничная температура, равная примерно  $-150^\circ \text{C}$ . Поэтому можно ожидать, что пар, быстро охлажденный до температуры ниже  $-150^\circ \text{C}$ , как и пересыщенный пар, выше первой граничной температуры, но ниже  $0^\circ \text{C}$ , превращается преимущественно в воду, а лишь затем вода замерзает.

Таким образом, из данных о выполнении правила ступеней следует, что поверхностное натяжение льда меньше поверхностного натяжения воды

$$\alpha_{\text{л}} = (0,97 \pm 0,02) \alpha_{\text{в}}, \quad (18)$$

е. здесь мы получаем исключение из правила, согласно которому поверхностное натяжение низкотемпературной фазы больше, чем у высокотемпературной. Этот факт согласуется с особыми свойствами воды, благодаря которым, в частности, ее координационное число больше, чем координационное число льда.

Полученные выше условия (7), (11)—(15) и значения граничных температур решают вопрос о выполнении правила ступеней лишь в тех случаях, когда скорости роста зародышей новых фаз имеют одинаковый порядок величины, и когда рост отдельных центров быстро замедляется, или когда выделяющиеся фазы непрерывно удаляются, так что рост отдельных центров новых фаз длится ограниченное время. Вообще же говоря, условия показывают лишь, какая из двух новых фаз будет скорее рождаться, тогда как вопрос о том, какая фаза будет преимущественно делиться, зависит не только от работ образования равновесных трехфазных зародышей, но и от скоростей роста центров выделения новых фаз. Для более строгого обсуждения вопроса о выполнении правила ступеней необходимо сравнивать скорости прироста массы выделяющихся фаз. В общем случае это очень сложно ввиду большого числа факторов, влияющих на скорость зарождения центров кристаллизации и на скорость их роста, и трудности учета их влияния.

Если ниже  $T_{12}$ , скорость роста центров метастабильной фазы  $v_1$  существенно меньше, чем стабильной  $v_2$ , то соотношение скоростей роста не способствует выполнению правила ступеней. В этом случае соотношение является необходимым, но не достаточным условием выполнения правила ступеней вблизи  $T_{12}$ . Если же вблизи  $T_{12}$  правило ступеней выполняется, а следовательно выполняется и условие (7), то соотношения (11), (13) или (11), (14), (15) являются достаточными условиями существования граничной температуры, но не являются необходимыми.

В другом случае, когда ниже  $T_{12}$ ,  $v_1 \gg v_2$  условие (7) является достаточным, но не необходимым. Тогда, если условие (7) выполняется, то выполняется и правило ступеней вблизи  $T_{12}$ . Условия же (10)—(12) или (10), (13), (14) являются в этом случае необходимыми, но не достаточными для существования граничной температуры.

В простейших случаях, когда, например,  $v_1$  и  $v_2$  постоянны при данной температуре, можно ввести поправки в соотношения (7), (11), (15), чтобы приблизить их к необходимым и достаточным условиям существования граничной температуры. Можно показать, что в этом случае вопрос о том, какая из двух фаз будет преимущественно выделяться, решается путем определения знака следующей величины:

$$g(T) = \frac{\alpha_1^3}{\rho_1^2 (\Delta\Phi_1)^2} - \frac{\alpha_2^3}{\rho_2^2 (\Delta\Phi_2)^2} + \beta T \ln \frac{v_2}{v_1}, \quad (19)$$

— постоянная величина порядка  $10^{-17}$  эрг. Отсюда имеем следующее условие выполнения правила ступеней вблизи  $T_{12}$ :

$$\frac{\alpha_2^3}{\rho_2^2} > \frac{\alpha_1^3}{\rho_1^2} + \beta \frac{T_{12}}{T_{01}^2} \left[ Q_1 (T_{01} - T_{12}) \frac{C_1 - C_2}{2} (T_{01} - T_{12})^2 \right]^2 \ln \frac{v_2}{v_1}. \quad (20)$$

О положении максимума скорости зарождения центров кристаллизации. Пользуясь приближением (2) для функций  $\Delta\Phi$ ,

можно уточнить существующие представления о температурной зависимости скорости зарождения центров кристаллизации  $\Delta n$ . Эта зависимость определяется в основном функцией  $T(\Delta\varphi)^2$ , стоящей в знаменателе экспоненты в выражении для  $\Delta n$ . При убывании функции  $T(\Delta\varphi)^2$  число центров кристаллизации возрастает, а при возрастании — убывает. Приближение (1) дает для места нахождения максимума скорости зарождения центров кристаллизации следующее условие [1, 6]:

$$T = \frac{1}{3} T_{12} \text{ или } \Delta T = \frac{2}{3} T_{12}. \quad (21)$$

Если исходить из приближения (2), то для определения места нахождения максимума  $\Delta n$  имеем следующее уравнение:

$$\begin{aligned} x(1 - bx)[5bx^2 - 4(bT_{12} + 3) + 2T_{12}] &= 0; \\ x = \Delta T = T_{12} - T, \quad b &= \frac{1}{2} \frac{\Delta C}{Q} = \frac{1}{2} \frac{C_1 - C_2}{Q}. \end{aligned} \quad (22)$$

Так как обычно  $b < 1/T_{12}$ , то в интервале температур  $0 < T < T_{12}$  имеется лишь один корень

$$x = \frac{4bT_{12} + 3 - \sqrt{16b^2T_{12}^2 - 16bT_{12} + 9}}{10b}. \quad (23)$$

Легко видеть, что  $2/5 T_{12} < x < 2/3 T_{12}$ , т. е. максимум скорости зарождения центров кристаллизации находится при меньших переохлаждениях, чем  $2/3 T_{12}$ , что следовало из расчетов при помощи приближения (1). Смещение максимума в сторону меньших переохлаждений зависит от величины отношения  $C_1 - C_2/2Q$ . Полученное уточнение положения максимума согласуется с опытом, так как эксперименты для различных веществ всегда дают положение максимума при переохлаждениях, меньших, чем  $2/3 T_{12}$ , и во многих случаях даже меньше  $2/5 T_{12}$ .

### Выводы

1. Получены условия выполнения (или невыполнения) правила ступеней. Эти условия представляют собою некоторые соотношения между определенными термодинамическими величинами (теплоемкостями, поверхностными натяжениями, теплотами превращений и температурами равновесия) соответствующих фаз.

2. Вычислено значение граничной температуры области выполнения (невыполнения) правила ступеней.

3. Дана оценка величины поверхностного натяжения льда:  $\alpha_{\text{л}} = (0,97 \pm \pm 0,02)\alpha_{\text{в}}$ , исходя из данных о выполнении правила ступеней в случае пересыщенного водяного пара, охлажденного ниже  $0^\circ \text{C}$ . При всех расчетах использовалось приближение  $\Delta f$  в виде полинома Тейлора второй степени (2).

4. Исходя из указанного приближения, вычислено положение максимума скорости зарождения центров кристаллизации (23). Полученный результат более близок к опыту, чем положение максимума (21), вычисленное ранее [1] при помощи приближения (1).



## ЛИТЕРАТУРА

- А. И. Френкель, Кинетическая теория жидкостей, Изд-во АН СССР, М.—Л., 1945.  
 И. Ф. Лашко, Сборник «Влияние термической обработки на структуру жаропрочных сталей», кн. 46, стр. 5, Машиз, 1951.  
 M. Volmer, Kinetik der Phasenbildung, Dresden — Leipzig, 1939.  
 И. Н. Странский и Р. Каишев, Успехи физ. наук, 21, 408, 1939.  
 D. Turnbull, J. C. Fisher, J. Chem. Phys., 17, 71, 1949.  
 Д. Н. Холломон и Д. Тарнбалл, Сборник «Успехи физики и металлов», Металлургиздат, 1956, стр. 304.  
 V. J. Schaefer, Bull. Amer. Meteorolog. Soc., 29, 175, 1948.

## CONTRIBUTION TO THE THEORY OF METASTABLE PHASE TRANSFORMATIONS

L. S. Palatnik and V. S. Zorin

## Summary

Two problems have been considered in the theory of the transformation of metastable phases: the step rule and the temperature dependence of the rate of generation of crystallization centers. For the free energy difference of two phases ( $\Delta\varphi$ ) an appropriate expression has been proposed in the form of a second degree Taylor polynomial.

This resulted in the determination of the relation between the heat capacities, surface tensions, heats of transformation and equilibrium temperatures of the phases which the step rule is not obeyed. The values of the limiting temperature of the region where the rule is valid have been calculated. Based on actual data on the validity of the step rule for supersaturated vapor cooled to below 0°C estimation has been obtained of the surface tension of ice:  $\sigma_{20} = (0.97 \pm 0.2) \sigma_{10}$  where  $\sigma_{10}$  is the surface tension of water.

The position of maximum rate of crystallization center generation has been more exactly established than that calculated earlier with the aid of an approximate equation for  $\Delta\varphi$  in the form of a first degree Taylor polynomial.

## О ВОДОРОДНОЙ ФУНКЦИИ СТЕКЛЯННОГО ЭЛЕКТРОДА В НЕВОДНЫХ СРЕДАХ ОСНОВНОГО ХАРАКТЕРА

Ф. Н. Козленко

Использование стеклянного электрода для определения протонной активности в неводных средах представляет значительный теоретический и практический интерес в связи со все более расширяющейся областью применения неводных растворов и рядом преимуществ этого электрода.

Как известно, вывод, сделанный Доллом на основании своих измерений со стеклянным электродом в спирто-водных растворах, о неприменимости стеклянного электрода в неводных растворах, был опровергнут в работах Н. А. Измайлова и сотрудников [1—3], экспериментально доказавших возможность использования стеклянного электрода для измерений в спиртах, кислотах, ацетоне.

Наша работа посвящена проверке наличия водородной функции у стеклянного электрода в неводных средах основного характера.

Экспериментальная проверка применимости стеклянного электрода в таких растворах уже проводилась нами при потенциометрическом исследовании систем, образованных различными аминами с уксусной кислотой, причем минимальные концентрации кислоты в амине были порядка 0,2—0,4 моль/л. Аналогичные измерения со стеклянным электродом проведены С. П. Тутунджичем при исследовании системы пиридин — уксусная кислота [4]. При этом и наши данные и данные С. П. Тутунджича показали, что и в области избытка амина изотермы э. д. с. — состав, полученные как с водородным, так и со стеклянным электродом, совершенно аналогичны.

В литературе имеется ряд указаний на то, что некоторые амины отравляют водородный электрод уже при небольших концентрациях, например, для анилина  $1,8 \cdot 10^{-4}$  моль/л [5]. Наши измерения с пиридином, хинолином, анилином и этиланилином показали, что пиридин отравляет водородный электрод значительно меньше, чем хинолин, или анилин, однако при значительных избытках амина работа с водородным электродом весьма затруднена. Поэтому особенно интересна возможность применения стеклянного электрода в растворах с очень малыми концентрациями кислоты.

В настоящей работе подвергнуты исследованию растворы HCl в хинолине и пиридине в диапазоне концентраций от 0,1—0,2 *т* (т. е. близкой к насыщению) до 0,0005—0,00025 *т*.

### Экспериментальная часть

Растворы HCl в хинолине. Измерения велись при помощи элемента без переноса, образованного стеклянным и хлорсеребряным электродами.

Хинолин очищался путем продолжительного настаивания над твердым КОН с последующей перегонкой. Была отобрана фракция с  $d_{20}^4$  1,0950 и  $n_D^{24,0}$  1,6242.

Хлористый водород получался по методике, описанной у Ю. В. Карякина [6]. Растворы готовились по весу.

Стеклянный электрод обычным образом вымачивался в воде и перед измерением ополаскивался порцией исследуемого раствора.

Хлорсеребряные электроды готовились термическим способом [7]. Их нормальные потенциалы проверялись на водных растворах HCl и отличались от табличного не более, чем на десятые милливольты.

Исследуемый элемент помещался в воздушный термостат, в котором поддерживалась температура  $25 \pm 0,2^\circ \text{C}$ .

Измерения велись на потенциометре ППТВ-1 с зеркальным гальванометром и усилителем.

Проведены 4 серии измерений для растворов с концентрацией HCl хинолине от 0,1 до 0,00025  $m$ .

На основании измеренной э. д. с. для каждого раствора вычислялась величина  $E' = E + 0,1183 \lg m$ , затем путем экстраполяции на нулевую концентрацию в системе координат  $E' - \sqrt{m}$  определялся нормальный потенциал цепи  $E_0$ . При этом величину  $E_0$  определяют главным образом ве-

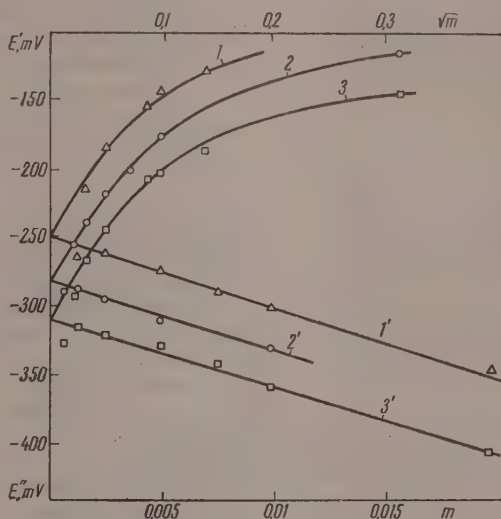


Рис. 1. Зависимость  $E' - \sqrt{m}$  (кривые 1, 2, 3) и  $E'' - m$  (прямые 1', 2', 3') для цепи стекло [HCl(x)] AgCl, Ag в хинолиновых растворах HCl соответственно для трех серий измерений. Кривые четвертой серии измерений совпадают практически с кривыми 2 и 2' и поэтому не приводятся

личины э. д. с. для наиболее разбавленных растворов, где измерения наименее надежны. Поэтому одновременно применялся и другой метод экстраполяции, в системе координат  $E'' - m$ , где  $E'' = E + 0,1183 \lg m - A \cdot 0,1183 \sqrt{m}$ , как это описано, например, в работах Н. А. Измайлова и Е. Ф. Ивановой [8]. Второй метод дает линейную зависимость и позволяет использовать для экстраполяции данные для растворов с большей концентрацией. При обоих методах экстраполяции точки для растворов с концентрацией, меньше 0,001  $m$  (0,0005 и 0,00025  $m$ ), явно отклоняются от общей закономерности, и не принимались во внимание. Оба метода экстраполяции в каждой серии измерений дали совпадающие результаты (рис. 1).

Величины разностей  $(E_0 - E)$  были подвергнуты статистической обработке, как описано у Н. П. Комаря [9]. Для каждой концентрации раствора были вычислены: среднее значение разности  $(E_0 - E)$  средний квадрат отклонения  $s^2$ , средняя квадратичная ошибка среднего значения

Таблица 1

Э. д. с. цепи: стекло | HCl(x) | AgCl, Ag в хинолиновых растворах HCl и статистическая обработка результатов

Молярность $m$	Серия измерений										Число измере- ний $n$	$(\overline{E_0 - E})$	$\sigma^2 \cdot 10^6$	$\sigma_{(\overline{E_0 - E})} \times 10^4$	$\varepsilon \cdot 10^6$
	I		II		III		IV								
	$E, V$	$E_0 - E$	$E, V$	$E_0 - E$	$E, V$	$E_0 - E$	$E, V$	$E_0 - E$							
0,0998	—	—	0	-0,285	-0,026	-0,284	—	0,003	-0,285	3	-0,2846	222	10,5	3,06	
0,0198	0,074	-0,322	0,040	-0,325	0,045	-0,325	—	—	-0,324	3	-0,324	200	40,0	2,92	
0,0101	0,093	-0,341	0,059	-0,344	0,034	-0,344	—	0,061	-0,343	4	-0,343	200	8,15	1,92	
0,0076	0,0975	-0,3455	0,065	-0,350	0,044	-0,354	—	—	-0,3496	3	-0,3496	1590	28,2	8,23	
0,00499	0,1085	-0,3565	0,076	-0,361	—	—	—	0,072	-0,354	3	-0,3572	838	20,5	5,98	
0,0025	0,125	-0,373	0,088	-0,373	0,065	-0,375	—	0,091	-0,373	4	-0,3735	75	4,35	1,02	
0,00103	—	—	0,104	-0,389	0,088	-0,398	—	0,116	-0,398	3	-0,395	1800	24,5	7,15	
0,000493	0,166	-0,444	0,125	-0,440	0,099	-0,409	—	0,136	-0,418	4	-0,442	1300	48,0	4,23	
0,00022	0,181	-0,429	0,149	-0,434	0,115	-0,425	—	—	-0,429	3	-0,429	1066	18,85	5,50	
$E_0$	-0,248	—	-0,285	—	-0,310	—	—	-0,282	—	—	—	—	—	—	

разности  $(E_0 - E) - (\sigma_{(E_0 - E)})$  и точность измерений  $\epsilon$  при доверительной вероятности  $\alpha = 0,9$ . Все эти величины приведены в табл. 1.

Как видно из таблицы, воспроизводимость измеряемых величин оказалась хорошей: для большинства растворов колебания в величинах разностей  $E_0 - E$  не превышают 1—2 mV, и лишь для некоторых растворов достигают нескольких милливольт.

Потенциал устанавливается быстро, обычно за 5—10—15 мин.

На основании средних значений  $(E_0 - E)$  были вычислены концентрационные коэффициенты активности HCl в хинолине  $\lg \gamma^*$  по формуле:

$$\lg \gamma^* = \frac{E_0 - E - 0,1183 \lg m}{0,1183}$$

По вычисленным величинам  $\lg \gamma^*$ , приведенным в табл. 2, была построена кривая зависимости  $\lg \gamma^* - \sqrt{m}$ .

Как видно из рис. 2, наклон кривой в пределе совпадает с теоретическим, выражаемым предельным законом Дебая, и равен постоянной Дебая  $A$ , которая была нами вычислена для хинолина и оказалась равной  $A = 13,12$ .

Таким образом, полученные результаты показывают, что стеклянный электрод с успехом может быть использован для подобных измерений в хинолине.

Растворы HCl в пиридине. Измерения велись стеклянным электродом относительно водного каломельного через систему мостиков с пришлифованными пробками и промежуточный сосуд с насыщенным раствором  $\text{NH}_4\text{NO}_3$  в пиридине (рис. 3).

Пиридин очищался так же, как хинолин, и имел  $d_4^{20}$  0,9819 и  $n_D^{21,0}$  1,5087.

Проведено пять серий измерений. На основании известной константы диссоциации HCl в пиридине, определенной Гласко [10] и равной  $4 \times 10^{-6}$ , мы вычислили активности водородных ионов в исследуемых растворах и построили кривую зависимости  $E$  от величины  $-\lg a_{\text{H}^+}$ . Для всех пяти серий измерений точки хо-



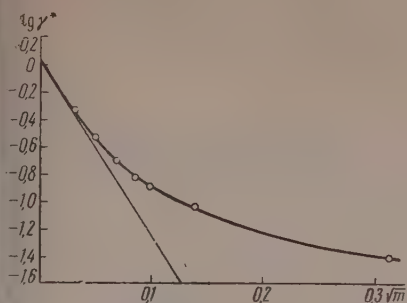


Рис. 2. Зависимость  $\lg \gamma^* - V_m$  для растворов HCl в хинолине; прямая — предельный закон Дебая

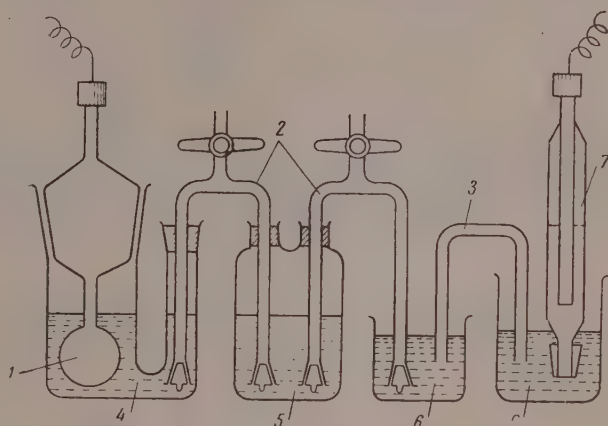


Рис. 3. Схема цепи стеклянный электрод — водный каломельный электрод для растворов HCl в пиридине: 1 — стеклянный электрод; 2 — мостики с насыщенным  $\text{NH}_4\text{NO}_3$  в пиридине; 3 — KCl — агаровый мостик; 4 — исследуемый раствор HCl в пиридине; 5 — насыщенный раствор  $\text{NH}_4\text{NO}_3$  в пиридине; 6 — насыщенный раствор KCl в воде; 7 — каломельный электрод

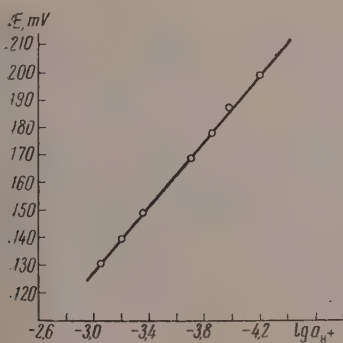


Рис. 4. Зависимость  $E$  от  $-\lg a_{\text{H}^+}$  для растворов HCl в пиридине

рошо укладываются на прямую с наклоном  $\sim 58-59$  mV. В табл. 3 и на рис. 4 приведены результаты для одной из серий измерений.

Таблица 2

Значения  $\lg \gamma^*$  для растворов HCl  
в хинолине при 25 °C

$m$	$\lg \gamma^*$	$m$	$\lg \gamma^*$
0,10	-1,406	0,005	-0,717
0,02	-1,035	0,0025	-0,555
0,01	-0,904	0,001	-0,352
0,0075	-0,836		

Таблица 3

Измерения э. д. с. для растворов  
HCl в пиридине

$c_{\text{HCl}}, M$	$-\lg a_{\text{H}^+}$	$E, V$
0,201	3,048	0,131
0,0979	3,205	0,140
0,0487	3,355	0,149
0,00982	3,703	0,169
0,00491	3,854	0,178
0,00283	3,973	0,188
0,00098	4,203	0,199

Прямолинейность зависимости  $E - \lg a_{\text{H}^+}$  и соответствие ее наклона теоретическому являются прямым указанием на наличие водородной функции у стеклянного электрода в пиридиновых растворах кислоты.

### Выводы

1. Произведены измерения э. д. с. цепи стеклянный электрод — хлор-серебряный электрод в хинолиновых растворах HCl. Определен нормальный потенциал цепи, и вычислены значения  $\lg \gamma^*$  для растворов HCl в хинолине.

2. Измерены значения э. д. с. цепи с переносом стеклянный электрод — водный каломельный электрод для растворов HCl в пиридине.

3. Показано наличие водородной функции у стеклянного электрода в хинолиновых и пиридиновых растворах HCl.

Львовский медицинский  
институт

Поступила  
15.II.1958

### ЛИТЕРАТУРА

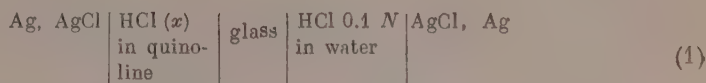
1. Н. А. Измайлов, М. А. Бельгова, Ж. общ. химии, 8, 1873, 1938.
2. Н. А. Измайлов, Т. Ф. Францевич-Заблудовская, Ж. общ. химии, 15, 283, 1945; 16, 501, 1946.
3. Н. А. Измайлов, А. М. Александрова, Ж. общ. химии, 19, 1402, 1949; 20, 2127, 1950.
4. С. П. Тутунджич, Гласник Хем. друштва, кн. 20, № 3, 1955.
5. Е. Н. Виноградова, Методы опред. конц. водор. ионов, Изд-во МГУ, 1956, стр. 61.
6. Ю. В. Карякин, Чистые хим. реактивы, Госхимиздат, М.—Л., 1947, стр. 283.
7. C. K. Rull a. V. K. La Mer, J. Amer. Chem. Soc., 58, 2339, 1936.
8. Н. А. Измайлов, Е. Ф. Иванова, Ж. физ. химии, 24, 1422, 1614, 1955.
9. Н. П. Комарь, Ж. аналит. химии, 7, 325, 1952.
10. M. Hlasko, Roczn. Chem., 17, 11, 1937.

## THE HYDROGEN FUNCTION OF THE GLASS ELECTRODE IN NON-AQUEOUS SOLUTIONS OF BASIC NATURE

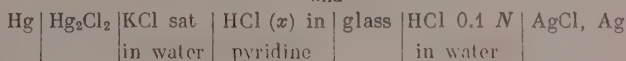
*F. N. Kozlenko (Lvov)*

## Summary

The emf's of the cells:



and



have been determined.

From the emf values and the normal potentials of the cell (1) the concentration coefficients of activity for HCl solutions in quinoline have been calculated and the relation  $E = -\sqrt{m}$  has been plotted, the slope of which in the limit coincides with the theoretical.

On the basis of the known dissociation constant for HCl in pyridine the activities have been calculated and the curve has been plotted of the relation between  $E$  of cell and  $-\lg a_{\text{H}^+}$ . A straight line was obtained with slope  $\sim 59$  mV.

The data obtained permit the conclusion to be drawn as to the existence of a hydrogen function of the glass electrode in the non-aqueous basic media investigated.

КИНЕТИКА И ХИМИЗМ РЕАКЦИИ ВЗАИМОДЕЙСТВИЯ МЕТАНА  
С ДВУОКИСЬЮ АЗОТА

А. Б. Гагарина и Н. М. Эмануэль

В нашей предыдущей работе были рассмотрены кинетические закономерности взаимодействия метана с двуокисью азота. В качестве основных параметров, характеризующих реакцию, были выбраны увеличение давления в ходе процесса и уменьшение концентрации двуокиси азота — окисляющего и нитрирующего исходного компонента.

Несомненно, что эти данные важны для общей характеристики реакции, но являются недостаточными для суждения о химизме процесса.

В литературе [1, 2] предложено несколько химических схем для описания взаимодействия углеводородов с  $\text{NO}_2$ . Взаимодействие углеводородов с двуокисью азота рассматривается как молекулярно-радикальная реакция. Предполагается, что при встрече молекулы углеводорода с  $\text{NO}_2$  возникает алкильный радикал  $\text{R}\cdot$ :



который далее реагирует с молекулой  $\text{NO}_2$ , образуя либо нитросоединение (2, а), либо нитрит (2, б):



А. И. Титов считает, что большую роль в дальнейших стадиях процесса должно играть промежуточное нитрозосоединение, которое может образоваться при реакции радикала  $\text{R}\cdot$  с  $\text{NO}$ :



По схемам (1) и (2) продукты окисления (альдегиды, спирты) появляются в результате дальнейшего превращения продуктов непосредственного взаимодействия  $\text{RH}$  с  $\text{NO}_2$  (гидролиз нитритов и изомеризация нитросоединений [1] и термический распад нитритов на алкокси-радикал и  $\text{NO}$  с последующим превращением алкокси-радикала [2]).

А. В. Топчиев [3] подвергает критическому рассмотрению обе схемы. Он отмечает в качестве основного недостатка этих схем — отсутствие экспериментальных фактов, подтверждающих те или иные элементарные стадии. Например, нитрозосоединения экспериментально не были обнаружены. Точно так же, нитриты хотя и были найдены в нескольких случаях, но промежуточная роль их не была доказана.

А. В. Топчиевым высказывается мысль, что при выяснении путей образования продуктов окисления необходимо принимать во внимание наличие в зоне реакции свободного кислорода. Взаимодействие кислорода с альдегидами и спиртами может привести к образованию продуктов глубокого окисления, которые не учитываются на схеме А. И. Титова, Бахмана и других авторов.

А. В. Топчиев считает также, что процессы, связанные с участием кислорода, несущие цепной характер, должны оказывать влияние на стадию нитрования. В этом случае, как он указывает, в рамках общей реакции нитрования мы имели бы интересный случай совместного протекания как чисто радикальной, так и цепной реакций.

Наше исследование мы посвятили выяснению и идентификации промежуточных и конечных продуктов и изучению кинетического поведения основных продуктов взаимодействия метана с  $\text{NO}_2$ .



## Экспериментальная часть

Поскольку в литературе отсутствуют достаточно полные сведения о составе продуктов реакции взаимодействия парафиновых углеводородов с двуокисью азота (а также с  $\text{HNO}_3$ ), особое внимание мы уделили идентификации этих продуктов. При этом наряду с аналитическими методами, описанными в литературе, мы использовали также ряд специально разработанных новых методов анализа.

Идентификация продуктов реакции. В водном растворе продуктов реакции  $\text{C}_n\text{H}_{2n+2}$  с  $\text{NO}_2$  посредством качественной реакции на псевдонитроловую группу был обнаружен нитрометан.

Количественное определение нитрометана осуществлялось полярографическим методом [4]. В нашем случае применение полярографического метода анализа нитрометана осложнялось неизбежным присутствием в водных растворах азотистой кислоты вследствие растворения  $\text{NO}_2$  в воде).

Мы установили, что водный раствор  $\text{NO}_2$  после продувания инертным газом дает отчетливую капельную электрода, в среде 0,1 N LiCl, характерную полярографическую волну  $E_{1/2} = -1,0$  V, совпадающую с волной нитрометана.

Высота этой волны уменьшалась при добавках щелочи и раствора  $\text{KMnO}_4$ . Это ясно, так как известно, что  $\text{KMnO}_4$  окисляет  $\text{HNO}_2$  в  $\text{HNO}_3$ , а щелочь связывает азотистую кислоту в нитрит. Поскольку ни  $\text{NaNO}_2$ , ни  $\text{HNO}_2$  при  $-1,0$  V полярографических волн не дают, был сделан вывод, что полярографическая волна водного раствора  $\text{NO}_2$  при  $E_{1/2} = -1,0$  V принадлежит азотистой кислоте.

Исходя из вышеизложенного, была принята следующая методика определения  $\text{NO}_2$ . Водный раствор продуктов реакции после продувания водородом титровался полным окислением  $\text{HNO}_2$  в азотную кислоту в кислой среде. Для этого к пробе приливался раствор 0,1 N  $\text{HNO}_3$  в таком количестве, чтобы после титрования среда оставалась кислой. Затем после вторичного продувания инертным газом полярографическая волна нитрометана снималась в чистом виде.

Для обнаружения изомера нитрометана — метилнитрита — мы воспользовались тем, что  $\text{CH}_3\text{ONO}$  имеет характерный спектр поглощения в ультрафиолете [5]. Определение проводилось в газовой фазе, в специально спаянной кювете. Двуокись азота, которая поглощает в той же области, удалялась кусочками KOH, помещенными в кювету.

Для идентификации полинитропроизводных метана были измерены и использованы спектры поглощения водных растворов  $\text{CH}_3(\text{NO}_2)_3$  и  $\text{CH}_2(\text{NO}_2)_2$  в области 400—600 мμ. При анализе газовой смеси сначала окислялась до  $\text{NO}_2$  добавками кислорода, затем смесь делилась на две части. Одна часть газовой смеси направлялась на адсорбционную угольную колонку. Здесь она разделялась в токе  $\text{CO}_2$  на  $\text{O}_2$ ,  $\text{CO}$ ,  $\text{NO}$ , количества которых измерялись мерной бюреткой. Во второй части от газовой смеси отделялись  $\text{CO}_2$  и  $\text{NO}_2$ , причем последняя представляла собою сумму окиси азота и двуокиси азота в реакции. Количества  $\text{CO}_2$  измерялись по давлению в известном объеме. Сумма окиси азота и двуокиси азота определялась в виде  $\text{NO}_2$  обратным титрованием со щелочью. Концентрация двуокиси азота в реакции определялась фотометрически на установке, смонтированной вместе с реакционным сосудом.

В результате аналитической части работы установлено, что продуктами реакции являются нитрометан,  $\text{CO}$ ,  $\text{CO}_2$ ,  $\text{NO}$ , следы формальдегида и HCN. Метилнитрит и продукты глубокого нитрования отсутствуют.

## Кинетика изменения концентраций компонентов реагирующей смеси

Располагая вышеописанными методами, мы получили возможность проследить за кинетическим поведением всех веществ, присутствующих в смеси. Кинетические измерения были сделаны на статической вакуумной установке обычного типа. Сосуд представлял собою цилиндр из молибденового стекла с окошками из плоскопараллельных стекол, объем сосуда 100 см<sup>3</sup>.

На рис. 1 приведены кинетические кривые расходования  $\text{NO}_2$  (1), роста общего давления (2) и накопления нитрометана (3) при 360, 380 и 400° C для смеси 100 мм  $\text{NO}_2$  и 150 мм  $\text{C}_n\text{H}_{2n+2}$ . Обращают на себя внимание следующие особенности кинетических кривых для нитрометана. Во-первых, количества нитрометана малы по отношению к исходным веществам (меньше 10%). Во-вторых,  $\text{CH}_3\text{NO}_2$  является промежуточным продуктом, т. е. одновременно образуется и расходуется. При 380 и 400° C промежуточный характер  $\text{CH}_3\text{NO}_2$  выступает особенно отчетливо. Полученный

результат находится в полном согласии с данными по термическому распаду  $\text{CH}_3\text{NO}_2$  [6, 7].

Весьма интересной особенностью реакции является постоянство скорости роста давления и расходования  $\text{NO}_2$  почти до конца реакции, что отмечалось уже в предыдущей работе.

Из стехиометрического уравнения для образования нитрометана следует, что эта реакция приводит к уменьшению давления



Но, так как в реакции зарегистрировано небольшое количество  $\text{CH}_3\text{NO}_2$  и коэффициент уменьшения давления при образовании нитрометана равен 0,8, то с большой степенью приближения можно считать, что  $\Delta p$  реакции

складывается из  $+\Delta p$  окисления метана до  $\text{CO}$  и  $\text{CO}_2$  и  $-\Delta p$  реакции (1) в равновесии:

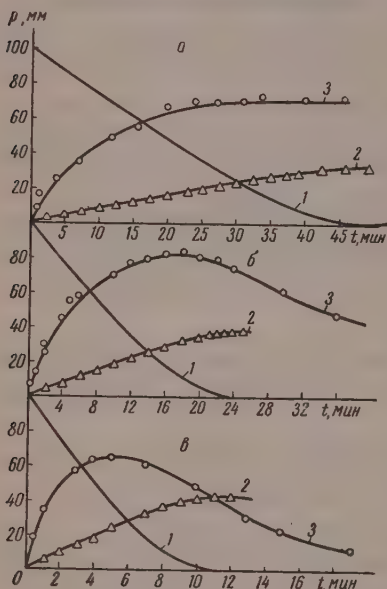
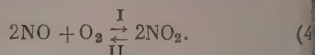


Рис. 1. Кинетические кривые: 1 — расходования  $\text{NO}_2$ ; 2 — роста давления и 3 — накопления нитрометана при температурах: а — 360, б — 380 и в — 400° С для смеси 100 мм  $\text{NO}_2$  и 150 мм  $\text{CH}_4$

Из рис. 1 (кривая 3) видно, что в момент времени  $t = 26$  мин концентрация нитрометана при 360° С равна 7 мм. Скорость расходования нитрометана в данный момент времени  $-d[\text{CH}_3\text{NO}_2]/dt = 1,7 \cdot 10^{-4} \cdot 7 \cdot 60 \text{ мм/мин} = 0,0714 \text{ мм/мин}$  по [6] и 0,122 мм/мин по [7]. Из стехиометрического уравнения для распада нитрометана, учитывающего образование наблюдаемых на опыте газовых продуктов



следует, что распад нитрометана может привести к увеличению давления примерно в 2,5 раза. Таким образом, скорость образования газообразных продуктов при распаде нитрометана должна быть равна 0,178 мм/мин по [6] и 0,305 мм/мин по [7]. Наряду с этим в этот момент времени скорость роста давления в изучаемой реакции при 360° С составляет 0,77 мм/мин. Сравним интересные нас скорости при более высокой температуре, например, 400° С.

Рассмотрим точку, соответствующую 10 мин на кривой 3 рис. 1. (есть —  $d[\text{CH}_3\text{NO}_2]/dt = 2,09 \cdot 10^{-3} \cdot 4,5 \cdot 60 = 0,564$  мм/мин по [6] и 32 мм/мин по [7]. С учетом стехиометрического коэффициента прироста давления при распаде нитрометана, скорость роста давления должна составить 1,41 мм/мин по [6] и 2,04 мм/мин по [7]. В то время как скорость роста давления в реакции метана с двуокисью азота при 400° С составила 4,0 мм/мин.

Из проведенных расчетов следует, что примерно половина продуктов углубого окисления метана образуется, минуя стадию образования нитрометана. Эти расчеты весьма приизительны. Вероятно, доля несредственного окисления метана CO и CO<sub>2</sub> больше, чем половина, так как в расчетах мы использовали скорость роста давления, а скорость окисления. Между этими величинами существует соотношение, понятное из следующего уравнения

$$\rho_{\text{окисл}} \approx \Delta p_{\text{реакции}} - \Delta p_{\text{равновесия}} \quad (4)$$

При 380° и начальных давлениях CH<sub>4</sub> 125 мм и NO<sub>2</sub> 120 мм были получены кинетические кривые расходования исходных веществ и накопления всех продуктов реакции как газообразных, так и конденсирующихся, за исключением H<sub>2</sub>O, рис. 2. Замечательно, что мы опять встречаемся с явлением постоянства скорости расходования не только NO<sub>2</sub>, но и CH<sub>4</sub>. Количество кислорода измерялись нами течение 15 мин, так как из-за уменьшения его концентрации в смеси и сложности анализа дальнейшие измерения становятся мало надежными. Полный анализ продуктов позволяет сделать балансовые расчеты по углероду и водороду. Данные по балансу сведены в табл. 1.

В столбцах ΣC и ΣN приведены количества (в мм рт. ст.) всех соединений, которые содержат атом углерода, и всех соединений, которые содержат атом азота соответственно. Баланс сведен по всему ходу и, как видно из таблицы, соблюдается довольно хорошо. Баланс по H и O не водился, поскольку вода в наших опытах не анализировалась. Результаты газового анализа позволяют подойти к решению вопроса об общем кинетическом уравнении процесса.

Оказалось, что постоянная скорость по ходу реакции может быть описана следующим эмпирическим уравнением

$$w = k \frac{[\text{CH}_4][\text{NO}_2]}{[\text{O}_2]}$$

где  $k$  — суммарная константа скорости, а  $[\text{CH}_4]$ ,  $[\text{NO}_2]$ ,  $[\text{O}_2]$  — текущие давления метана, двуокиси азота и кислорода. В табл. 2 приводятся ре-

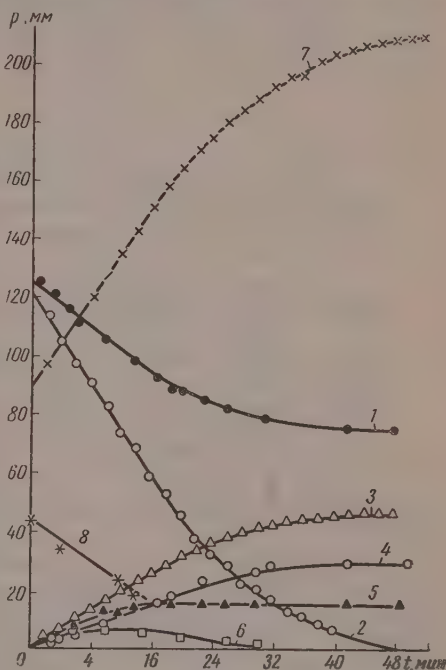


Рис. 2. Распределение концентраций исходных и конечных веществ по ходу реакции для смеси 120 мм и 125 мм CH<sub>4</sub> при 380°С: 1 — CH<sub>4</sub>; 2 — NO<sub>2</sub>; 3 — рост давления; 4 — CO<sub>2</sub>; 5 — CO; 6 — CH<sub>3</sub>NO<sub>2</sub>; 7 — NO; 8 — O<sub>2</sub>



Таблица 1

Время реакции, мин.	Количества даны в мм рт. ст.							
	CH <sub>4</sub>	CO <sub>2</sub>	CO	CH <sub>3</sub> NO <sub>2</sub>	ΣC	NO	NO <sub>2</sub>	ΣN
0	125	0	0	0	125	88	120	208
5	115	3,5	3	5,5	126	108	100	213,5
10	105	8,5	12	6,5	132	127	80	213,5
15	96	13,5	15	5,5	130	146	61	212,5
20	87,5	19	15	4	125,5	163	44	211
25	82	25	15	3	125,0	176	26	207
30	78,5	26,5	15	2	122	186	14	202

Таблица 2

Время реакции, мин.	Количество в мм рт. ст.				$\frac{[\text{CH}_4][\text{NO}_2]}{[\text{O}_2]} = \frac{w}{k} \cdot 10^{-2}$
	CH <sub>4</sub>	NO <sub>2</sub>	NO	O <sub>2</sub>	
0	125	120	88	46,0	326
2	120	111	97	41	325
4	116,5	104	104	37	327
6	113	96	112	33	328
8	109,5	88	120	29,5	327
10	104,5	80	127	26	325
12	102	73	135	23	327
14	98	65	143	19,5	327

зультаты расчета величины  $w/k$  в мм рт. ст., которые сделаны для периода времени до 15 мин. от начала реакции.

Результаты полного анализа продуктов показывают, что вся двуокись азота (за исключением того количества, которое заключено в нитрометане) превращается в NO. Поскольку реакция CH<sub>4</sub> с NO<sub>2</sub> потребляет NO<sub>2</sub> и увеличивает в системе концентрацию NO, равновесие (2) должно все время перестраиваться вслед за реакцией. Перестройка равновесия приводит в конечном счете к увеличению действующей концентрации NO<sub>2</sub>. Это обстоятельство приводит к тому, что в реакцию вступает большее количество метана, нежели можно было ожидать, исходя из исходной концентрации NO<sub>2</sub>. В результате глубина процесса образования нитрометана увеличивается, что и наблюдается на опыте.

На рис. 3 приведены кинетические кривые накопления нитрометана для трех составов равновесных смесей A, B, C, причем, во всех случаях начальное давление метана было 150 мм и начальное давление NO 100 мм рт. ст.

Кинетическая кривая 2 получена с равновесной смесью B, образовавшейся при введении в сосуд только NO<sub>2</sub> и диссоциации последней ( $p_{\text{NO}_2} = 100$  мм,  $p_{\text{NO}} = 78,6$  мм,  $p_{\text{O}_2} = 39,3$  мм). Кривая 1 отвечает равновесной смеси A.

Последняя получена при введении в реакционный сосуд определенных количеств NO<sub>2</sub> и O<sub>2</sub> так, чтобы после установления равновесия до начала реакции равновесная смесь состояла из  $p_{\text{NO}_2} = 100$  мм,  $p_{\text{NO}} = 33,6$  мм,  $p_{\text{O}_2} = 376$  мм рт. ст.

Кривая 3 отвечает равновесной смеси C, полученной при введении в реакционный сосуд NO<sub>2</sub> и NO в таком количестве, чтобы после установления равновесия до начала реакции равновесная смесь состояла из  $p_{\text{NO}_2} = 100$  мм,  $p_{\text{NO}} = 343$  мм,  $p_{\text{O}_2} = 2$  мм рт. ст. В расчетах мы пользовались значениями констант равновесия (4), полученными Боденштейном [8



Из сопоставления этих трех равновесных смесей видно, что условия образования добавочного количества  $\text{NO}_2$ , вступившего в реакцию с исходного, наименее благоприятны для равновесной смеси  $C$ . Одновременно с этим из рис. 3 видно, что смеси  $C$  отвечает наименьшее количество нитрометана в реакции. Так как в смеси  $C$  очень мало свободного кислорода, а следовательно, и масштаб реакции (II) очень невелик, очевидно, равновесие вообще не сказывается на реакции  $\text{CH}_4$  с  $\text{NO}_2$  и глубина процесса нитрования соответствует начальным концентрациям метана (150 мм) двуокиси азота (100 мм). Что касается окислительного направления реакции  $\text{CH}_4$  с  $\text{NO}_2$ , то оно также усиливается по мере увеличения добавочного количества  $\text{NO}_2$ .

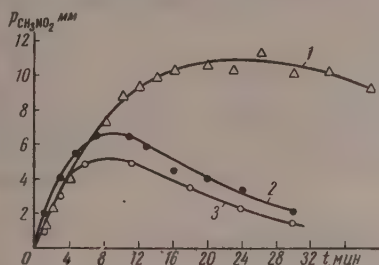


Рис. 3. Кинетические кривые накопления нитрометана при  $380^\circ \text{C}$ ,  $P_{\text{CH}_4} = 150$  мм и следующих составах равновесной смеси:  $\text{NO}_2$ ,  $\text{NO}$ ,  $\text{O}_2$ : 1 — 100  $P_{\text{NO}_2}$ , 33,6  $P_{\text{NO}}$ , 37,6  $P_{\text{O}_2}$ ; 2 — 100  $P_{\text{NO}_2}$ , 78,6  $P_{\text{NO}}$ , 39,3  $P_{\text{O}_2}$ ; 3 — 100  $P_{\text{NO}_2}$ , 343  $P_{\text{NO}}$ , 2  $P_{\text{O}_2}$ .

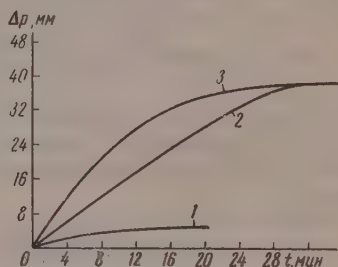
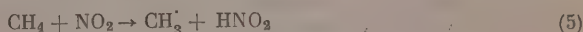


Рис. 4. Кинетические кривые роста давления при  $380^\circ \text{C}$ ,  $P_{\text{CH}_4} = 150$  мм и различных составах равновесной смеси. Количественные соотношения между давлениями  $\text{NO}_2$ ,  $\text{NO}$  и  $\text{O}_2$  приведены в подписи к рис. 3.

Однако на кривых роста общего давления (рис. 4, кривые 1, 2, 3), полученных для тех же смесей  $A$ ,  $B$ ,  $C$ , мы встречаемся с кажущимся подавлением окислительного направления по мере увеличения в системе свободного кислорода. Безусловно, это явление связано с тем, что по-прежнему почти вся прореагировавшая двуокись азота превращается в окись азота, то по мере искусственного увеличения концентрации кислорода масштаб реакции (II) равновесия (4) усиливается. Отсюда прирост общего давления системы уменьшается. Из выше изложенных рассуждений становится понятным увеличение скорости роста давления при добавках  $\text{O}_2$ , описанное в предыдущей статье.

При обсуждении механизма реакции взаимодействия парафиновых углеводородов с двуокисью азота процесс (1) всеми авторами принимается в качестве первичного. Для обоснования этой точки зрения были проведены следующие расчеты. Мы подсчитали тепловой эффект реакции



как разность стандартных теплот образования продуктов реакции и стандартных теплот образования исходных веществ. Значения стандартных теплот взяты из [9]  $\Delta H_f^\circ(\text{NO}_2) = 8,09$  ккал/моль,  $\Delta H_f^\circ(\text{CH}_3) = -17,89$  ккал/моль,  $\Delta H_f^\circ(\text{CH}_3) = 32$  ккал/моль; для  $\text{HNO}_2$  — из работы Грея и других [10].  $\Delta H_f^\circ(\text{HNO}_2) \approx -20$  ккал/моль. Отсюда для интересующего нас процесса (5)  $\Delta H = \Delta H_f^\circ(\text{CH}_3) + \Delta H_f^\circ(\text{HNO}_2) - \Delta H_f^\circ(\text{CH}_4) - \Delta H_f^\circ(\text{NO}_2) = 21,8$  ккал/моль.

Таким образом, реакция (5) эндотермична на  $\sim 22$  ккал/моль. Активационный барьер этой реакции можно приблизительно подсчитать по правилу Поляни с коэффициентами в уравнении, приведенными в монографии Н. Н. Семенова [11]

$$\epsilon_0 = 11,5 - 0,25 |\Delta H| = 6,05 \text{ ккал/моль.}$$

Следовательно, энергия активации реакции равна  $\sim 28$  ккал/моль. Если действительно реакция (5) имеет  $E = 28$  ккал/моль, то, как показывают простые расчеты, она должна идти с измеримой скоростью при  $200^\circ$  и выше. Действительно, примем, что реакция идет с такой скоростью, что при  $P_0 = 760$  мм рт. ст. за 30 мин. реагирует половина вещества. Для бимолекулярной реакции константа скорости  $k = 1/\tau_{1/2}c_0$ , где  $\tau_{1/2}$  — время превращения, равное 30 мин., а  $c_0$  — начальная концентрация

$$c_0 = P \frac{10^{19}}{T} = \frac{7,6 \cdot 10^2 \cdot 10^{19}}{5 \cdot 10^2} = 1,52 \cdot 10^{19} \text{ см}^{-3}$$

(концентрация рассчитывается как число молекул в  $\text{см}^3$ , принято, что температура проведения реакции составляет величину порядка  $200^\circ$ ). Следовательно, такая бимолекулярная реакция должна иметь константу скорости

$$k = \frac{1}{1,52 \cdot 10^{19} \cdot 1,8 \cdot 10^3} = 3,6 \cdot 10^{-23} \text{ см}^3 \text{ сек.}^{-1}.$$

Вычислим, при каких температурах реакция пойдет с приведенной выше скоростью, если ее  $E = 28$  ккал/моль

$$k = P \cdot k_0 e^{-E/RT}.$$

Мы принимаем, что реакция имеет нормальный предэкспонент, т. е. идет без стерических затруднений ( $P = 1$ ), тогда  $k = 3,6 \cdot 10^{-23} = 10^{-10} \cdot 10^{-28000/4,57T}$

II

$$T = \frac{28000}{4,57 \cdot 12,437} = 492^\circ \text{ K, т. е. } T = 220^\circ \text{ C.}$$

Итак, реакция (5) при указанных предположениях должна идти с вполне измеримой скоростью уже при  $220^\circ \text{ C}$ . Действительно, по данным Урбанского и Слона [12], реакция  $\text{CH}_4$  с  $\text{NO}_2$  заметна при температуре, начиная с  $200^\circ \text{ C}$ . Таким образом, приведенные расчеты показывают, что введение элементарной стадии (1) в химические механизмы реакций нитрования углеводородов является правомочным.

### Выводы

1. Идентифицированы продукты взаимодействия метана с двуокисью азота. В продуктах реакции обнаруживаются нитрометан, CO,  $\text{CO}_2$ , NO, небольшие количества формальдегида и HCN.
2. Проведен количественный анализ продуктов реакции и с хорошей точностью сведен баланс по углероду и азоту.
3. Установлен промежуточный характер образования нитрометана.
4. Показано, что взаимодействие метана с  $\text{NO}_2$  осуществляется по двум самостоятельным направлениям. Одно из этих направлений — нитрование метана с образованием нитрометана; второе — глубокое окисление метана кислородом двуокиси азота (окисление связанным кислородом).

## ЛИТЕРАТУРА

- А. И. Титов, Ж. общ. химии, 10, 1879, 1940; 16, 1896, 1946; 18, 465, 1948; 19, 1472, 1949.
- J. Bachman, L. M. Addison et al., J. Organ. Chem., 17, 906, 1952.
- А. В. Гопчиев, Нитрование углеводородов и др. органических соединений, Изд-во АН СССР, М., 1956.
- Ivett, Industr. and Engng Chem., 13, 339, 1941.
- Р. Пирс и А. Гейдон, Отождествление молекулярных спектров, ИИЛ, М., 1949, стр. 93.
- Cottrell, Graham, Reid, Trans. Faraday Soc., 47, 584, 1951.
- Hillebrand, Kilpatrick, J. Chem. Phys., 21, 525, 1953.
- M. Bodenstein, Z. phys. Chem., 100, 123, 1922.
- «Selected values of chemical thermodynamic properties» Nat. Bur. Standards, Washington, 1952.
- P. Gray, A. D. Yoffe, L. Roselaar, Trans. Faraday Soc., 51, 1489, 1956.
- Н. Н. Семенов, О некоторых проблемах химической кинетики и реакционной способности, Изд-во АН СССР, М., 1954, стр. 30.
- T. Urbanski, N. Slon, C. R., 263, 620, 1936.

KINETICS AND MECHANISM OF THE REACTION BETWEEN METHANE  
AND NITROGEN DIOXIDE*A. B. Gagarina and N. M. Emanuel' (Moscow)*

## Summary

The reaction between methane and nitrogen dioxide has been shown to proceed in two parallel directions, one being nitration to form nitromethane and the other the oxidation of methane by the oxygen of nitrogen dioxide with the formation of CO and CO<sub>2</sub>. These products are however also formed from nitromethane, which is both produced and consumed in the process of reaction.

## МЕТОДЫ И ТЕХНИКА ФИЗИКО-ХИМИЧЕСКОГО ИССЛЕДОВАНИЯ

### КОМБИНИРОВАННЫЙ ПРИБОР ДЛЯ ИЗМЕРЕНИЯ ПОВЕРХНОСТНОГО НАТЯЖЕНИЯ СПЛАВОВ ЛЕГКОПЛАВКИХ МЕТАЛЛОВ

П. П. Пугачевич

Для изучения поверхностного натяжения  $\sigma$  сплавов легкоплавких металлов, образующих при комнатной температуре твердую фазу, был сконструирован и построен стеклянный комбинированный прибор (рис. 1), в котором можно было не только измерять поверхностное натяжение, но и приготовить, не охлаждая и не вскрывая прибора,

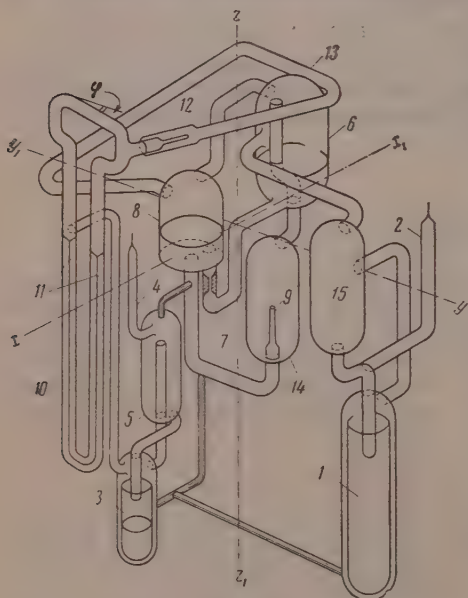


Рис. 1

было сконструирован и построен стеклянный комбинированный прибор (рис. 1), в котором можно было не только измерять поверхностное натяжение, но и приготовить, не охлаждая и не вскрывая прибора, большое количество сплавов. Прибор позволял с точностью до 0,2% проводить измерения  $\sigma$  сплавов, отличающихся друг от друга по концентрации на  $10^{-6}$  и даже  $10^{-7}$  вес% добавки, а также исключить химический или спектральный анализ приготовленных сплавов. В результате производительность работы с комбинированным прибором оказалась во много раз выше, чем при работе с другими приборами, описанными в литературе.

Тщательно вымытый и высушенный комбинированный прибор припаивался к вакуумной установке и подвергался многочасовой термовакuumной обработке. После этого в стакан 1 через трубку 2 (рис. 1) по весу переплавлялось определенное количество чистого металла, а в стакан 3 через трубку 4 — некоторое количество достаточно концентрированной лигатуры (сплава исследуемого металла с добавкой другого металла), концентрация которой определялась перед этим химическим путем. Прибор затем в горячем состоянии отпаивался от вакуумной установки и на вращающейся рамке 16 (рис. 2), к которой он крепился еще до термовакuumной обработки, помещался в предварительно нагретый вращающийся термостат со смотровыми окнами, указанными на рис. 2 пунктирной линией. Как видно из рис. 2, стержень 17 вращающейся рамки крепился муфтами 18 и 19 к консолям на капитальной стене. При помощи ручки 20, которая вдвигалась внутрь термостата до упора, рамка с прибором поворачивалась вокруг оси  $uu_1$  по часовой стрелке на угол, равный приблизительно  $180^\circ$  и благодаря этому металл из стакана 1 (рис. 1) попадал в резервуар 6, а лигатура из стакана 3 перетекала в резервуар 5. По возвращении прибора в исходное положение (рис. 1) лигатура из резервуара 5 стекала в стакан 3, а металл через узкий капилляр 7 начинал медленно перетекать из резервуара 6 в «манометрическую» трубку 8 и капилляр 9.



Благодаря небольшому зазору в крышке термостата (рис. 2) и тому, что ручка после того как прибор возвращался в исходное положение, перемещалась вправо, не переставала касаться термостата, и на процесс заполнения металлом манометрической трубки 8 не оказывали влияния вибрации термостата, боковые стенки которого, дно и крышка независимо питались переменным током через автотрансформаторы.

По достижении максимального давления в капле расплавленного металла, образующейся на срезе капилляра 9, с кончика капилляра начинали падать капельки металла. Зная высоту столба металла (она измерялась катетометром), соответствующую давлению и равную расстоянию от среза капилляра до поверхности расплавленного металла в манометрической трубке 8, плотность металла при температуре исследования, а также радиус капилляра 9 можно было рассчитать поверхностное натяжение металла по формуле Кантора [1].

После многократных измерений с чистого металла при данной температуре производили исследования при других температурах и затем приступали к приготовлению нового, наиболее разбавленного раствора. Для этого стержень 21 (рис. 2) перемещали вверх настолько, что конец его входил в паз вращающейся рамки, и он крепился винтом 23. Затем конус 24 перемещался вверх до упора в муфте 25 и крепился к стержню 17 винтом 26, а стержень 17 в свою очередь освобождался от муфт 18 и 19, термостат поворачивался вокруг оси  $yy_1$  отив часовой стрелки настолько, что часть литейной литейной из стакана 3 (рис. 1) попадала в микробюретку 10. Затем термостат возвращали в исходное положение, катетометром измеряли уровни лигатуры в коленях микробюретки 10 по отношению к меткам 11, поворачивали рамку вокруг оси  $zz_1$  по часовой стрелке на  $90^\circ$  и снова вращали термостат вокруг оси  $yy_1$  против часовой стрелки настолько, что лигатура из микробюретки попадала в дозирующий капилляр 12. При помощи легкого постукивания рукою стержню 17 (рис. 2) выкапывали некоторое количество лигатуры в трубку 13 и вслед за тем возвращали прибор в исходное положение, представленное на рис. 1. Лигатура, попавшая в 13, попадала при этом в манометрическую трубку 8, так как отдельные участки трубки 13 по отношению к плоскости  $xu$  были расположены под некоторыми острыми углами, а лигатура, оставшаяся в дозирующем капилляре 12, сливалась в микробюретку 10, где уровни ее снова измерялись по отношению к меткам 11. По разности уровней до и после отливания находили объем литой лигатуры; зная этот объем, концентрацию лигатуры и плотность ее при данной температуре, а также зная количество чистого металла, переплавленного в прибор, можно было легко рассчитать концентрацию приготовленного раствора.

Перед измерением поверхностного натяжения приготовленного раствора стержень 17 крепился муфтами 18 и 19 к консолям, стержень 21 и конус 24 опускались вниз — в положение, представленное рис. 2, и после этого приступали к перемешиванию и измерению поверхностного натяжения раствора аналогично тому, как это писывалось для случая измерения  $\sigma$  чистого металла. Так как плоскость микробюретки 10 составляла некоторый острый угол  $\phi$  с плоскостью  $xu_1$ , то при измерении  $\sigma$  раствора, т. е. при вращении прибора вокруг оси  $yy_1$  по часовой стрелке на угол, превышающий  $90^\circ$ , оставшаяся в микробюретке лигатура сливалась в стакан 3. Приготовление второго и последующих сплавов и измерение их поверхностного натяжения происходило точно так же, как это было описано выше.

После того как исследование всех приготовленных растворов заканчивалось, рамка с прибором крепилась к термостату так, как это было описано для случая приготовления растворов, и термостат поворачивался вокруг оси  $yy_1$  по часовой стрелке на  $60^\circ$ . Благодаря этому металлический раствор из резервуаров 6, 8 и 14 попадал вначале при повороте на  $270^\circ$  в промежуточный резервуар 15, а затем в стакан 1, тогда как лигатура, оставшаяся от исследований в стакане 3, сначала попадала в резервуар 5 поворот на  $180^\circ$ , а при дальнейшем вращении термостата сливалась в стакан 3. Когда след за этим прибор охлаждали до комнатной температуры, то сплав в стакане 1 и

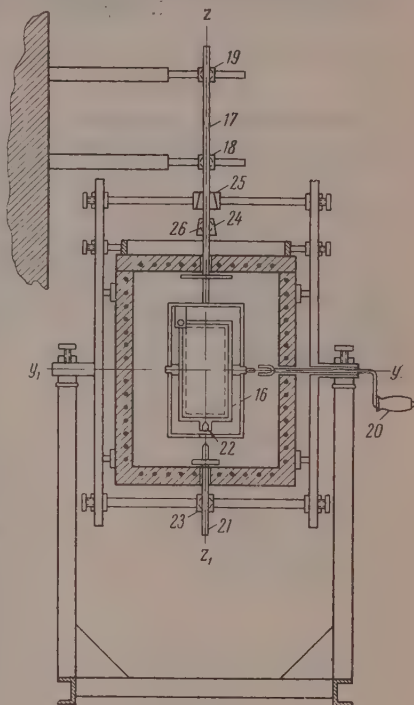


Рис. 2

неиспользованная лигатура в стакане 3 обычно разрушали стекло стаканов, но они, как видно из рис. 1, легко заменялись новыми, и прибор подготавливался для исследования поверхностного натяжения других сплавов.

Академия наук СССР  
Институт общей и неорганической  
химии им. Н. С. Курнакова

Поступила  
17.I.1959

#### ЛИТЕРАТУРА

1. M. C a n t o r, Ann. d. Physik, 20, 399, 1892.
- 

#### COMBINATION APPARATUS FOR SURFACE TENSION MEASUREMENTS OF ALLOYS OF LOW MELTING METALS

*P. P. Pugachevich (Moscow)*

#### S u m m a r y

A combination apparatus has been described for determining the surface tension of low melting alloys forming a solid phase at room temperature. The apparatus permits preparation of alloys differing by  $10^{-6}$ — $10^{-7}\%$  by weight of the addition and determination of their surface tension. Chemical or spectral analysis of the specimens prepared is excluded.

---

# УСТАНОВКА ДЛЯ ИЗМЕРЕНИЯ РАБОТЫ ПЕРЕМЕННОГО ТОКА В КАЛОРИМЕТРИИ

Н. Г. Вострокнутов, А. Н. Корнилов, Г. Л. Гальченко,  
С. М. Скуратов и Б. И. Тимофеев

Во многих случаях для определения теплот реакций, протекающих с достаточной скоростью лишь при высоких температурах, может быть использована калориметрическая бомба, снабженная электрической печью.

Препятствием для применения этого прямого метода является трудность измерения работы электрического тока в условиях, когда сила тока и падение напряжения быстро изменяются в широких пределах вследствие того, что сопротивление нагревательного элемента печи увеличивается в несколько раз за короткое время, в течение которого достигается требуемая для проведения реакции температура.

В работе [1] указывается на применение в случае точного ваттметра, но о схеме и методе измерения никаких сведений не приводится.

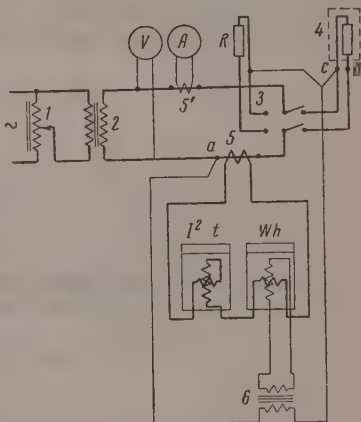
Ниже дано описание установки, примененной нами для измерения работы электрического тока в печи калориметрической бомбы.

Измерительная схема. Схема установки приведена на рисунке.

Напряжение переменного тока 220 В от городской сети (50 Гц) понижается лабораторным автотрансформатором 1 до 140—150 В и подается на трансформатор 2 с коэффициентом трансформации 127/12 В. В цепь вторичной обмотки трансформатора 2 переключателем 3 вводится нагревательный элемент 4 или балластное сопротивление  $R$  (около 1  $\Omega$ ). Нагревательный элемент печи выполнен из платины и имеет сопротивление 0,25  $\Omega$  при 20° С. Посредством трансформатора тока 5 (коэффициент трансформации 20/5 А) в цепь вторичной обмотки трансформатора 2 включены счетчик активной энергии  $Wh$  и счетчик потерь  $I^2t$ . На счетчик  $Wh$  подается напряжение с участка цепи  $ac$  (около 15 В) через повышающий трансформатор 6. В качестве счетчика активной энергии в установке использован переносный однофазный счетчик типа Е1 55 (Сименс) на 5 А и 120 В \*; счетчик  $I^2t$  был специально изготовлен в отделении электрических измерений ВНИИХ (Москва) \*\*. Для повышения стабильности показаний оба счетчика термостатированы при  $27 \pm 0,1^\circ \text{C}$ . Перед проведением измерений счетчики на 3—4 часа включались в цепь балластного сопротивления  $R$ .

Показания на схеме амперметр и вольтметр служат для наблюдения за режимом работы установки; амперметр включен в цепь при помощи трансформатора тока 5'. Напряжение, подаваемое на трансформатор 2, устанавливается заранее и во время калориметрического опыта не регулируется. Сила тока в печи в первые 10 сек. после включения составляет в среднем около 20 А, затем в течение 50 сек. снижается из-за увеличения сопротивления нагревателя до 12,5 А и далее остается почти постоянной. Ток через печь пропускается в течение 180 сек. При этом режиме исходные для реакции вещества нагреваются до 1300° С за время около 1 мин.

При описании измерений. Из схемы (рисунок) следует, что сила тока, протекающего через оба счетчика, пропорциональна силе тока  $I$  в нагревательном элементе



\* В дальнейшем предполагается использовать счетчик, разработанный ВНИИХ (Москва), имеющий меньшее сопротивление последовательной обмотки и примерно три раза более высокую точность отсчета.

\*\* Об устройстве счетчика см. [2].

печи, а на счетчик  $Wh$  подается напряжение, пропорциональное сумме падений напряжения на участках цепи  $ab$  и  $bc$  (печь).

Зависимость между числом оборотов  $N$  счетчика  $Wh$  и работой тока в нагревателе печи и на участке цепи  $ab$  выражается соотношением:

$$k'N = \int_0^t (\Delta V_{ab} + \Delta V_{bc}) Idt = R_{ab} \int_0^t I^2 dt + \int_0^t \Delta V_{bc} Idt, \quad (1)$$

где  $\Delta V_{ab}$  и  $\Delta V_{bc}$  — падения напряжения на участках цепи  $ab$  и  $bc$  (печь), соответственно, а  $k'$  — коэффициент пропорциональности\*.

Показание счетчика потерь пропорционально интегралу

$$\int_0^t I^2 dt,$$

т. е.

$$R_{ab} \int_0^t I^2 dt = q'n, \quad (2)$$

где  $n$  — число оборотов этого счетчика,  $q'$  — коэффициент пропорциональности.

Электрическую работу в нагревателе печи можно выразить через показания обоих счетчиков, используя уравнения (1) и (2):

$$\int_0^t \Delta V_{bc} Idt = k'N - q'n. \quad (3)$$

Так как

$$\int_0^t \Delta V_{bc} Idt = cQ, \quad (4)$$

где  $c$  — переходный коэффициент от джоулей к калориям, а  $Q$  — выделившееся тепло, то уравнение (3) преобразуется в следующее:

$$Q = kN + qn \quad (5)$$

$$k = k'/c \text{ и } q = -q'/c.$$

Разделив обе части уравнения (5) на  $N$ , получим:

$$Q/N = k + qn/N.$$

Уравнение (6) использовалось для градуировки счетчиков в тепловых единицах.

Градуировка счетчиков. Для определения коэффициентов  $k$  и  $q$  [уравнение (6)] проводилась серия калориметрических опытов, в которых через бомбы пропускался ток в течение 180 сек.; измерялся подъем температуры калориметра, и отмечались показания обоих счетчиков.

Количество тепла, введенного в калориметр электрическим током, находилось как произведение из подъема температуры (исправленного необходимыми поправками [3]) на тепловое значение. Тепловое значение калориметра  $W$  было определено с точностью  $\pm 0,02\%$  сжиганием эталонной бензойной кислоты. Подъем температуры калориметра в градуировочных опытах и в опытах по определению теплового значения ставился около трех градусов.

Результаты опытов, проведенных для определения коэффициентов  $k$  и  $q$ , даны в таблице

$$k = \frac{\sum (n/N) \sum (n/N) (Q/N) - \sum (Q/N) \sum (n/N)^2}{(\sum n/N)^2 - m \sum (n/N)^2}$$

$$k = 587,1 \text{ кал/оборот};$$

\* Участок цепи  $ab$  выполнен медными проводами большого сечения; нагреватели их во время опыта можно пренебречь и считать сопротивление  $R_{ab}$  постоянным.



$$q = \frac{\Sigma (n/N) \Sigma (Q/N) - m \Sigma (n/N) (Q/N)}{(\Sigma n/N)^2 - m \Sigma (n/N)^2}, \quad (8)$$

$$q = -28,46 \text{ кал/оборот}; m - \text{число опытов}, Q_{\text{выч}} = kN + qn, \quad (9)$$

## Градуйровка счетчиков

Эксп., кал	Число оборотов		$Q_{\text{выч}},$ кал	$\Delta = Q_{\text{эксп}} -$ $- Q_{\text{выч}}$	$Q_{\text{эксп}}/N$	$n/N$
	$N$	$n$				
7432	15,01 <sub>6</sub>	48,70 <sub>5</sub>	7430	+2	494,9	3,244
7436	15,02 <sub>0</sub>	48,48 <sub>0</sub>	7438	-2	495,1	3,228
7424	15,00 <sub>8</sub>	48,82 <sub>0</sub>	7422	+2	494,7	3,253
7429	15,01 <sub>0</sub>	48,45 <sub>5</sub>	7433	-4	494,9	3,228
7448	15,01 <sub>3</sub>	48,15 <sub>1</sub>	7444	+4	496,1	3,207
7447	15,01 <sub>0</sub>	47,99 <sub>1</sub>	7446	$\pm 1$	496,1	3,197
7447	15,01 <sub>3</sub>	47,80 <sub>7</sub>	7456	-9	495,9	3,183
7482	15,00 <sub>9</sub>	46,43 <sub>7</sub>	7490	-8	498,5	3,094
7510	15,01 <sub>8</sub>	46,17 <sub>8</sub>	7502	+8	500,1	3,075
8140	16,27 <sub>0</sub>	49,65 <sub>7</sub>	8139	+1	500,3	3,052
8018	16,04 <sub>7</sub>	49,18 <sub>5</sub>	8021	-3	499,7	3,065
8014	16,02 <sub>5</sub>	49,23 <sub>7</sub>	8007	+7	500,1	3,072
7654	15,35 <sub>3</sub>	48,09 <sub>7</sub>	7645	+9	498,5	3,133
8256	16,48 <sub>2</sub>	49,88 <sub>9</sub>	8257	-1	500,9	3,027
8022	16,03 <sub>0</sub>	48,60 <sub>6</sub>	8028	-6	500,4	3,032

В столбце 1 таблицы указано количество тепла  $Q_{\text{эксп}}$ , введенного в калориметр электрическим током в данном опыте; в столбцах 2 и 3 приведены показания счетчиков  $N$  и  $n$ . По данным столбцов 1, 2 и 3 вычислены отношения  $Q_{\text{эксп}}/N$  и  $n/N$  (столбцы 6 и 7); по этим последним методам наименьших квадратов рассчитывались коэффициенты  $k$  и  $q$  по формулам (7) и (8), приведенным после таблицы. Значения  $k$  (столбец 4) получены по уравнению (9) при использовании найденных значений  $k$  и  $q$ , определенных в опыте  $N$  и  $n$ . Среднее значение разности  $\Delta = Q_{\text{эксп}} - Q_{\text{выч}}$  составляет  $\pm 0,06\%$ , что и определяет точность измерения энергии.

Градуйровочные опыты проводились на протяжении 2,5 месяцев и выявили хорошее постоянство коэффициентов  $k$  и  $q$ .

Применение установки в калориметрии. При проведении ледуемой реакции режим нагрева печи током целесообразно выбрать близким режиму нагрева в градуировочных опытах. Выделяемое реакцией тепло  $Q$  (реакции) подается по уравнению:

$$Q (\text{реакции}) = W\Delta\theta - (kN + qn),$$

$W$  — тепловое значение;  $\Delta\theta$ ,  $N$  и  $n$  — соответственно подъем температуры калориметра и показания счетчиков в данном опыте;  $k$  и  $q$  — коэффициенты, определенные в градуировке.

Дополнение: замена в установке счетчика  $W_{15}Ei_{55}$  (Сименс) на счетчик ВНИИХ и В-3, конструкция Н. Г. Вострокнутова) позволила снизить погрешность измерения энергии до  $0,02\%$  в тех же условиях проведения опытов.

Московский государственный  
университет им. М. В. Ломоносова

Поступила  
27.1.1959

## ЛИТЕРАТУРА

- C. K r ö g e r, W. J a n e t z k o, Z anorgan. allgem. Chem., 284, 83, 1956.  
Н. Г. Вострокнутов, Электрические счетчики и их эксплуатация, Грэнергоиздат, Москва, 1950.  
М. М. Попов, Термометрия и калориметрия, Изд-во МГУ, Москва, 1954.

ARRANGEMENT FOR MEASURING THE WORK OF ALTERNATING CURRENT  
IN CALORIMETRY

*N. G. Vostroknutov, A. N. Kornilov, G. L. Gal'chenko,  
S. M. Skuratov and B. I. Timofeev (Moscow)*

## S u m m a r y

An arrangement for measuring the work of alternating current under conditions rapid change over wide limits in current density and voltage of a heater has been described. The main elements of the arrangement are a standard single phase alternating current meter and a meter giving the product of the square current density and time. The accuracy of the determination of the work of the current is  $\pm 0.06\%$ . The arrangement is designed for use in calorimetric studies.

---

## ДИСКУССИЯ

О ЧИСЛАХ ПЕРЕНОСА В ОДНОКОМПОНЕНТНЫХ  
РАСПЛАВЛЕННЫХ ЭЛЕКТРОЛИТАХ

О. А. Есин, Г. А. Тетерин и И. Н. Захаров

Экспериментальные трудности определения чисел переноса ( $n$ ) ионов в чистых расплавленных солях отмечались в литературе давно [1, 2]. Наряду с этим неоднократно высказывалось мнение, что подобные измерения не только сложны, но даже принципиально невозможны. Так, например, согласно П'варцу [3], число переноса катиона и том же электролите будет равно единице или нулю в зависимости от конструкции электролизера и от того, обратимы ли электроды по отношению к катиону или аниону. Присоединяясь к этому, Иост [4] полагает, что применение радиоактивных индикаторов также не решает вопроса, так как здесь отсутствует «система координат», которой в растворах и твердых солях служат растворитель и кристаллическая решетка.

Сравнительно недавно подобную точку зрения пытался теоретически обосновать Сандхейм [5]. Исходя из того, что наложение однородного электрического поля на люминесцентное тело не сообщает ему какой-либо силы, он допускает применимость закона сохранения количества движения при электролизе, т. е.

$$M_A^i \bar{V}_A^i + M_B^i \bar{V}_B^i + M_A^\circ \bar{V}_A^\circ + M_B^\circ \bar{V}_B^\circ + M_E \bar{V}_E + M_P \bar{V}_P = 0. \quad (1)$$

где  $M_A^i$  и  $M_A^\circ$  — массы анионов и катионов в межэлектродном пространстве,  $M_B^i$  и  $M_B^\circ$  — то же за электродами,  $M_P$  — масса диафрагмы, а  $M_E$  — электродов; аналогично  $\bar{V}_A^i$ ,  $\bar{V}_B^i$ ,  $\bar{V}_A^\circ$ ,  $\bar{V}_B^\circ$ ,  $\bar{V}_P$  и  $\bar{V}_E$  — векторы значения их скоростей.

Так как при таком предположении неподвижным должен остаться только общий центр всех масс, то становится возможным перемещение отдельных частей системы под действием внешнего поля. В частности, центр масс ионов в межэлектродном пространстве движется со скоростью

$$\bar{V}' = \frac{M_A^i \bar{V}_A^i + M_B^i \bar{V}_B^i}{M_A^i + M_B^i}. \quad (2)$$

Величина  $\bar{V}'$  отождествляется Сандхеймом со скоростью перемещения всей межэлектродной жидкости. Тогда из уравнения (2) следует, что

$$M_A^i (\bar{V}_A^i - \bar{V}') + M_B^i (\bar{V}_B^i - \bar{V}') = 0, \quad (3)$$

т. е., что отношение наблюдаемых скоростей движения ионов обратно пропорционально их массам:

$$\frac{\bar{V}_A^i - \bar{V}'}{\bar{V}_B^i - \bar{V}'} = \frac{\bar{U}_A^i}{\bar{U}_B^i} = \frac{M_B^i}{M_A^i}. \quad (4)$$

Другими словами, экспериментально найденные числа переноса не отражают ничего другого, как отношения масс ионов:

$$n_A = \frac{\bar{U}_A^i}{\bar{U}_A^i + \bar{U}_B^i} = \frac{M_B^i}{M_B^i + M_A^i} \quad (5)$$

аналогичный результат получается и для движения ионов в заэлектродных пространствах. С подобными выводами согласился ряд авторов, в частности, Бок [6], Форланд и Рог-Му [7], Виллиам и Фостер [8]. Последние подчеркивают, что измерения чисел переноса невозможно в отсутствие среды, не участвующей в движении. Даже в многокомпонентных системах величина  $n$  определяется только по отношению к иону, принятому условно за неподвижный.

Наряду с этим были высказаны сомнения в применимости закона сохранения количества движения при электролизе. Так Ляйти и Дьюк [9] полагают, что, принимая этот закон, Сандхейм впадает в крайность, так как не учитывает трения между движущимися ионами и полами, адсорбированными на поверхности электродов или ячейки. По мнению Бокриса (см. [10]), закон сохранения количества движения вряд ли применим к иону, переходящему из одного положения равновесия в другое, отстоящее от первого на расстоянии порядка диаметра молекулы. Кроме того, он считает сомнительной трактовку расплавленной соли в электрическом поле как нейтрального тела. Наконец, Бехерс (см. [10]) замечает, что уравнение (5) непосредственно вытекает из определения скорости движения центра масс ионов (2), и что в этом смысле закон сохранения количества движения (1) Сандхеймом нигде не используется.

Приведенные отдельные замечания по поводу статьи Сандхейма кажутся недостаточными для того, чтобы отвергнуть или принять его заключение о бесполезности измерений чисел переноса в однокомпонентных расплавленных электролитах. Показательно в этом отношении и недавно опубликованная обзорная статья Януса, Соломона и Гарднера (см. [10]). В ней на основании материального баланса составлено выражение для изменения массы  $g$  (вещества в анодном пространстве на один фарадей пропущенного электричества):

$$g = n_A (M_A + M_B) - M_B. \quad (6)$$

Авторы, не обсуждая, может ли перенос массы быть равным нулю, замечают, что если  $g=0$ , то уравнение для числа переноса совпадает с полученным Сандхеймом (5).

Изложенное побудило нас высказать свои соображения по этому вопросу. В расплавленном электролите, находящемся в постоянном электрическом поле, изменение количества движения в общем случае не равно нулю, так как нужно учесть действие сил внутреннего трения. Для этого необходимо рассмотреть начальный интервал времени ( $t$ ), в течение которого устанавливается постоянство скоростей движения ионов.

Обратимся к самому простейшему случаю. Положим, что между электродами находится один моль однокомпонентного расплавленного электролита КА с числом катионов и анионов равным единице. Пусть  $V_i$ ,  $m_i$  — скорость движения и масса иона, а  $F_i$  — действующая на него сила. Изменение количества движения всех ионов запишется:

$$\int_0^t \sum m_i dV_i = \int_0^t \sum F_i dt. \quad (7)$$

Принимая, что градиент электрического потенциала равен единице, и обозначая заряд иона  $ze$ , а коэффициент трения  $p_i$ , имеем

$$F_i = m_i \frac{dV_i}{dt} = ze - p_i V_i.$$

Если средние значения  $p_i$  и  $V_i$  для каждого катиона составляют  $p_K$  и  $V_K$ , а для каждого аниона  $p_A$  и  $V_A$ , то

$$\int_0^t F_i dt = -N \int_0^t (p_K V_K - p_A V_A) dt.$$

Так как в интервале времени от 0 до  $t$  в каждый данный момент разность  $p_K V_K - p_A V_A$  в общем случае не равна нулю, то наложение постоянного электрического поля на расплавленную соль изменяет количество движения ее ионов. Поэтому уравнение может выполняться только в частных случаях, например, при отсутствии трения ионов ( $p_K = p_A = 0$ ) или, когда в промежутке от 0 до  $t$  равны произведения  $p_K V_K = p_A V_A$ .

Интегрируя уравнение (8), находим

$$V_i = \frac{ez}{p_i} (1 - e^{-(e_i/m_i)t}). \quad (9)$$

Что дает  $V_i = 0$  для  $t = 0$  и  $V_i = ez/p_i$  для  $t = t$ , поскольку величина  $m_i$  весьма мала и при сравнительно небольшом  $p$  экспонента близка к нулю. Отсюда изменение количества движения ионов:

$$\int_0^t \sum m_i dV_i = ez \left( \frac{M_K}{p_K} - \frac{M_A}{p_A} \right).$$



$M_K$  и  $M_A$  — грамматомные веса катиона и аниона. Лишь в частном случае, а  $M_K/\rho_K = M_A/\rho_A$ , приращение количества движения ионов равняется нулю, и ное выражение для чисел переноса совпадает с выведенным Сандхеймом:

$$n_A = \frac{ez/\rho_A}{\frac{ez}{\rho_K} - \frac{ez}{\rho_A}} = \frac{M_K}{M_K + M_A}. \quad (12)$$

сключена возможность, что этот случай имел место в опытах Дьюка и Оуэнса с расплавленными нитратами щелочных металлов.

Для определения скорости перемещения всего электролита, учтем вместе с Дью-и Ляйти [9], а также с Янгом, Соломонсом и Гарднером [10], что в случае гродов, обратимых по отношению к катиону, у анода при прохождении  $F = 500$  кулонов прибывает  $n_A(M_A + M_K)$  граммов соли, и убывает  $M_K$  граммов ме-а. Деля эти величины на плотность электролита ( $\gamma_0$ ) и электрода ( $\gamma_K$ ) на сечение  $s$  и я  $t$ , получим скорость свободного перемещения жидкости:

$$V' = \frac{1}{\gamma_0 s t} \left[ \frac{V_A}{V_K + V_A} (M_K + M_A) - M_K \frac{\gamma_c}{\gamma_K} \right]. \quad (13)$$

градиенте  $1 \text{ В/см}$  сила тока  $i = sk$ , где  $k$  — удельная электропроводность едняя может быть выражена через концентрации ионов в  $1 \text{ см}^3$ , равные  $n_K + M_A$ , и через скорости их движения  $V_K$  и  $V_A$ :

$$k = \frac{\gamma_0}{M_K + M_A} F (V_K + V_A). \quad (14)$$

да, принимая во внимание, что  $t = F/i$ , получим

$$V' = V_A - \frac{M_K}{M_K + M_A} \frac{\gamma_c}{\gamma_K} (V_K + V_A). \quad (15)$$

как количество движения не равно нулю, то скорость перемещения электролита электродами  $V''$  будет совпадать по величине и знаку с таковой внутри электро-т. е.  $V'' = V'$ . Следовательно, по правильно уловленному в эксперименте изию объема или веса соли у электродов можно судить [см. уравнение (15)] тношении скоростей движения катионов  $V_K$  и анионов  $V_A$ , возникших под дей-м постоянного электрического поля. Для этого необходимо, однако, устранить переток жидкости, вызванный гравитационными силами. В противном слу-т. е. при свободном перетоке расплава, наблюдаемые в электролите скорости еремещения ионов будут отличаться от истинных на величину  $V'$ ,  $V_A^H = V_A - V' = V_K + V'$ . При этом вычисленные по ним числа переноса будут ошибочными, кающими только соотношение удельных объемов металла и соли. Действительно:

$$n_A = \frac{V_A - V'}{V_A + V_K} = \frac{M_K}{M_K + M_A} \frac{\gamma_c}{\gamma_K} = \frac{V_K}{V_c}. \quad (16)$$

Возможность создания такой диафрагмы, которая бы практически полностью щияла переток жидкости  $V' = 0$  и в то же время не отражалась на числах переноса, влена под сомнение в работе [12]. Действительно, если допустить, что под влия-электрического поля одновременно перемещаются все ионы, то «системой коор-ей в этом случае будут только внешние тела (стенки сосуда или диафрагмы), вза-ействие с которыми станет определять перенос. При этих условиях диафрагма о в той степени устраивает переток жидкости, в какой она влияет на подвижность з.

Если принять это предположение, то измерение чисел переноса станет невозмож-и в кристаллах чистых солей, так как границы между столбиками соли будут вваться в той же мере, в какой осуществляется их изменение.

Однако в действительности в переносе участвуют далеко не все ионы [13, 14], и те, которые обладают нужным запасом энергии. При этом коэффициент трения о обратно пропорционален их числу ( $1/\rho \sim e^{-E/RT}$ ). Поскольку число этих ионов не-о, постольку в каждый данный момент они перемещаются относительно непод-ого расплава примерно так же, как ионы твердых тел относительно кристалличе-решетки.

Таким образом, все вышеизложенное показывает, что в настоящее время нет доста-ых оснований, чтобы считать принципиально невозможным измерение чисел пере-в однокомпонентных системах расплавленных электролитов.

## ЛИТЕРАТУРА

1. Ю. В. Баймаков, С. К. Самусенко, Тр. Ленингр. индустр. ин-та, 1, 14, 1938.
  2. С. В. Карпачев, С. Ф. Пальгуев, Ж. физ. химии, 23, 942, 1949.
  3. K. E. Schwarz, Z. Elektrochem., 45, 740, 1939.
  4. W. Jost, Diffusion in Solids. Liquids and Gases, Acad. Press., N. Y., 1952.
  5. B. R. Sundheim, J. Phys. Chem., 60, 1381, 1956.
  6. T. Book, Acta chem. scand. 8, 2, 1954.
  7. T. Forland and J. Krogh-Moe, J. Phys. Chem., 61, 511, 1957.
  8. B. F. William and L. M. Foster, J. Phys. Chem., 61, N 1531, 1957.
  9. R. W. Laity and F. R. Duke, J. Elektrochem. Soc., 105, 2, 97, 1958.
  10. G. J. Janz, C. Solomons, H. J. Gardner, Chem. Rev., 58, 461, 1958.
  11. F. R. Duke, B. Owens, J. Elektrochem. Soc., 105, 9, 1958.
  12. G. Harrington, B. R. Sundheim, J. Phys. Chem., 62, 1954, 1958.
  13. Я. И. Френкель, «Кинетическая теория жидкостей», Изд-во АН СССР, М.-Л., 1954.
  14. Ю. К. Делимарский, Л. В. Городынский, Ж. физ. химии, 33, 137, 1958.
-

## ПИСЬМА В РЕДАКЦИЮ

## О ЗАВИСИМОСТИ ШИРИНЫ КОМПОНЕНТ СВЕРХТОНКОЙ СТРУКТУРЫ ОТ ТЕМПЕРАТУРЫ В СПЕКТРАХ ЭЛЕКТРОННОГО ПАРАМАГНИТНОГО РЕЗОНАНСА

Н. Н. Бубнов и В. М. Чибрикин

В работах [1—3] была обнаружена сверхтонкая структура спектров электронного магнитного резонанса в соединениях слоистого строения (катионы дибензолхрома и производных), причем было показано, что сверхтонкая структура обусловлена взаимодействием неспаренного электрона с протонами бензольных колец. Позднее [4] было исследовано влияние заместителей, концентрации и растворителя на протонную сверхтонкую структуру спектров электронного парамагнитного резонанса этих соединений.

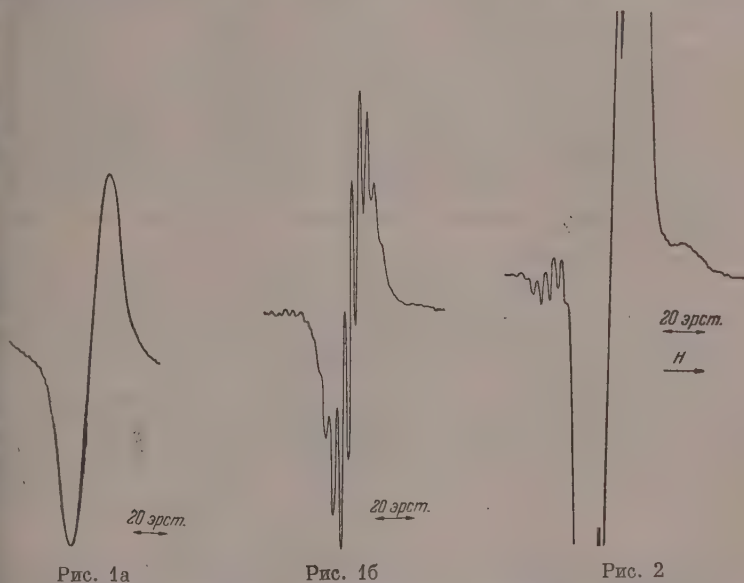


Рис. 1. Спектры электронного парамагнитного резонанса раствора  $(C_6H_5)_2CrJ$  в ацетоне: а — при температуре  $20^\circ C$ ; б — при температуре  $-75^\circ C$

Рис. 2. Сверхтонкое расщепление на изотопе  $Cr^{53}$

В концентрированных растворах ( $c > 0,02$  моль/л) имело место смазывание сверхтонкой структуры вследствие уширения отдельных компонентов, главной причиной которого авторы [4] считают обменное взаимодействие между парамагнитными ионами, увеличивающееся с возрастанием концентрации.

С целью более детального выяснения механизма уширения компонент сверхтонкой структуры нами было изучено влияние температуры на спектры электронного парамагнитного резонанса катионов дибензолхрома  $(C_6H_5)_2Cr^+$  (I) и бисдифенилхрома  $(H_5)_2[Cr^+]$  (II). Опыты были проведены с концентрированными растворами ( $c > 0,02$  м/л) на спектрометре с высокочастотной модуляцией магнитного поля [5]. В качестве растворителей использовались этиловый спирт, пиридин и ацетон.

Было обнаружено, что при постепенном понижении температуры ширина компонент сверхтонкой структуры ( $\Delta H$ ) (I) и (II) во всех растворителях уменьшалась вплоть до  $-50$ ,  $-80^\circ \text{C}$ , проходила через минимум в этом интервале и увеличивалась при дальнейшем охлаждении. На рис. 1 приведены спектры электронного парамагнитного резонанса раствора (I) в ацетоне при  $20^\circ$  и  $-75^\circ \text{C}$ . Отметим, что такого четкого разрешения сверхтонкой структуры спектра (I) не удалось достигнуть ни разбавлением, ни выбором растворителя.

Кроме того в растворах (I) и (II) во всех растворителях на крыльях основного сигнала были обнаружены две дополнительные линии (рис. 2), обусловленные сверхтонким расщеплением на изотопе  $\text{Cr}^{53}$  ( $I = 3/2$ ), содержание которого в естественной смеси равно 9,4%. Две другие линии не видны на фоне основного сигнала. Относительные интенсивности центральной и двух боковых линий согласуются с концентрацией изотопа  $\text{Cr}^{53}$  в естественной смеси изотопов. Расщепление между крайними компонентами ( $\sim 56$  эрстед) близко по величине к расщеплению, которое наблюдалось на  $\text{Cr}^{53}$  в неорганических соединениях [6, 7], что указывает на наличие значительной спиновой плотности неспаренного электрона на атоме хрома.

Разрешенность протонной сверхтонкой структуры на левой и правой линиях различна. Это указывает на то, что в  $\text{Cr}$ -ароматических соединениях имеет место анизотропия  $g$ -фактора и сверхтонкой структуры. Анизотропия  $g$ -фактора в твердых  $\text{Cr}$ -ароматических соединениях наблюдалась в работе [1].

При наличии анизотропии  $g$ -фактора и сверхтонкой структуры  $\Delta H$  согласно [8] может определяться следующим образом:

$$\Delta H \sim \left( \frac{1}{T_2'} \right)^2 \geq \frac{32\pi}{45h^2} (\Delta g \beta H_0 + b I_z)^2 \arctg \frac{2\tau_c}{T_2'} \quad (1)$$

Зависимость  $\Delta H$  от температуры в (1) входит через  $\tau_c = 4\pi\eta^2/3kT$ . При понижении температуры  $\eta^2/T$  резко возрастает  $\tau_c$ , а следовательно и  $\Delta H$  увеличивается, что согласуется с нашими опытами при температурах ниже  $-50$ ,  $-80^\circ \text{C}$ . В интервале температур  $20$ ,  $-50^\circ \text{C}$  опыт дает противоположную зависимость  $\Delta H$  от температуры. Наблюдается уменьшение с понижением температуры от  $20$  до  $-50^\circ \text{C}$ . Это указывает на то, что имеется другая причина уширения компонент сверхтонкой структуры. Вероятно, это обменное взаимодействие, которое уменьшается с понижением температуры вследствие образования устойчивых комплексов или солватных оболочек. Найденное в [4] уменьшение  $\Delta H$  при разбавлении подтверждает это предположение. Однако  $\Delta H$  раствора (I) в ацетоне заметно не уменьшается, даже при разбавлении до концентрации  $0,0001$  моль/л. Это указывает на существование в этом случае третьей причины увеличения  $\Delta H$ , зависящей от температуры, но не связанной с обменным взаимодействием.

Для более детального выяснения причин уширения компонент сверхтонкой структуры в этих соединениях следует провести исследование зависимости сверхтонкой структуры от температуры в разбавленных растворах, в которых обменное взаимодействие не будет оказывать существенного влияния на  $\Delta H$ .

Отметим также, что аналогичная зависимость  $\Delta H$  компонент сверхтонкой структуры от температуры наблюдалась нами и для концентрированного раствора дифенилпикрилгидразила в толуоле.

Из проделанной работы может быть сделан весьма существенный для практической спектроскопии вывод. В ряде случаев незначительное понижение температуры является более эффективным способом, позволяющим получить хорошее разрешение сверхтонкой структуры, чем разбавление. Поскольку при этом сверхтонкая структура проявляется даже в концентрированных растворах, ее можно наблюдать на спектрах электронного парамагнитного резонанса с относительно невысокой чувствительностью.

В заключение авторы выражают благодарность Ю. Н. Молину, А. И. Бурштейн и В. В. Воеводскому за ценные советы и обсуждение результатов работы.

Академия наук СССР  
Институт химической физики  
Москва

Поступило  
25.VIII.1958

#### ЛИТЕРАТУРА

1. Ю. Д. Цветков, В. В. Воеводский, Г. А. Разуваев, Ю. В. Сорокин, Г. Д. Домрачев, Докл. АН СССР, 115, 118, 1957.
2. R. D. Feltham, P. Sogo, M. Calvin, J. Chem. Phys., 26, 1354, 1957.
3. B. Elschner, Z. Naturforsch. 12, 860, 1957.
4. В. В. Воеводский, Ю. Н. Молин, В. М. Чибрикин, Оптика спектроскопия, 5, 90, 1958.
5. А. Г. Семенов, Н. Н. Бубнов, Приборы и техника эксперимента, № 1 (1959).
6. А. А. Маненков, А. М. Прохоров, Ж. эксперим. и теор. физ., 28, 751, 1955.
7. B. Eleaney, K. D. Bowers, Proc. Phys. Soc. A64, 1135, 1954.
8. McConnell, J. Chem. Phys., 25, 709, 1956.



О ВЫЧИСЛЕНИИ КОНСТАНТЫ СКОРОСТИ ТЕРМИЧЕСКОГО  
БИМОЛЕКУЛЯРНОГО РАСПАДА МОЛЕКУЛ

Е. Е. Никитин

Как известно, термический распад многоатомных молекул подчиняется мономолекулярному закону при высоких давлениях и бимолекулярному — при низких (см., например [1]). Последнее обстоятельство связано с тем, что происходит нарушение равновесного распределения по внутренним состояниям распадающейся молекулы. В этом случае в соответствии с механизмом Ляндемана — Касселя скорость распада определяется скоростью активации. Однако при вычислении константы скорости  $k_d$  бимолекулярного распада



существующие теории не учитывают в явном виде нарушения бальцовского распределения по колебательным состояниям.

Для двухатомных молекул константа скорости распада  $k_d$  с учетом нарушения бальцовского распределения была вычислена в работе [2]; выражение для  $k_d$ , данное в этой работе, может быть обобщено на случай распада многоатомных молекул. В области низких давлений за время между последовательными столкновениями с молекулами  $M$  внутренняя энергия  $AB$  полностью успевает перераспределиться по колебательным степеням свободы. Поэтому реальную молекулу с  $n$  колебательными степенями свободы мы можем заменить одномерным ангармоническим осциллятором, энергия квантов которого определяется прочностью разрываемой связи, а статистический вес колебательных уровней вблизи границы диссоциации равен  $g_{\text{кол}} = (\bar{p} + n - 1)! / n!$ , где  $\bar{p} = D/\hbar\omega$  определяется через среднюю частоту колебаний распадающейся молекулы  $\omega$  [3]. При этом константа скорости распада определяется выражением

$$k_d = Z g_{\text{вд}} (\hbar a v / kT) g_{\text{кол}} \exp \{(-D/kT)/Q\}, \quad (2)$$

где  $x^{-1} \approx 10^{-8}$  см — радиус действия обменных сил,  $v$  — средняя скорость сталкивающихся молекул,  $Q$  — колебательная сумма состояний. Отметим, что в этом выражении положили  $g_{\text{вд}} \approx 1$ , поскольку центробежное растяжение многоатомных молекул мало. Оценка показывает, что множитель  $g_{\text{вд}} (\hbar a v / kT)$  для типичных условий распада многоатомных молекул ( $T \approx 500 - 1000^\circ \text{K}$ ) — порядка единицы, так что выражение (2) приблизительно совпадает с формулой Касселя [3], при выводе которой не учтено ни нарушение бальцовского распределения по колебательным состояниям, ни повышенный статистический вес  $g_{\text{вд}}$

$$k_d = Z \frac{(\bar{p} + n - 1)!}{p! (n - 1)!} \exp(-D/kT) \quad (3)$$

Очевидно, что общая формула (2) применима для расчета констант скоростей распада как многоатомных молекул, так и двухатомных, в то время как выражение (3) относится только к распаду многоатомных молекул. Поскольку обычно  $\hbar\omega \geq kT$ , квантование колебаний существенно, и величина  $k_d$  не может быть определена из формулы Касселя для системы классических осцилляторов

$$k_d = Z (D/kT)^{n-1} 1/(n-1)! \exp(-D/kT). \quad (4)$$

Видно, что в ряде экспериментальных работ использовалась именно эта формула (4), например, [4], что приводило к сильному различию между истинным и «эффективным» числом внутренних степеней свободы. Так, Каррингтон и Давидсон [11] при обработке экспериментальных величин констант скоростей распада  $\text{N}_2\text{O}_4$  по формуле Касселя (4) нашли  $n = 5$ , в то время как число колебательных степеней свободы молекулы  $\text{N}_2\text{O}_4$  равно 12.

В качестве примера рассмотрим распад озона, константа скорости распада которого определена в работе Бенсона и Аксворти [5]. Эти авторы нашли, что при  $T = 0 - 400^\circ \text{K}$  предэкспоненциальный множитель константы скорости распада примерно

в 40 раз превышает число столкновений  $Z$ . Молекула  $O_3$  нелинейна, и ее основные частоты равны  $\omega_1 = 1043 \text{ см}^{-1}$ ,  $\omega_2 = 705 \text{ см}^{-1}$ ,  $\omega_3 = 1740 \text{ см}^{-1}$ , причем последняя частота соответствует антисимметричным колебаниям, приводящим к диссоциации. Среди частот  $\bar{\omega}$  первых двух частот примерно равна  $800\text{--}900 \text{ см}^{-1}$ . Полагая  $D = 24 \text{ ккал/мол}$  [5] и учитывая, что при распаде может разрываться любая из связей  $0\text{--}0$ , находим

$$g_{\text{кол}} = (D/\hbar\bar{\omega})^2 \approx 50.$$

Вычисление  $g_{\text{кол}}$  по формуле Касселя для системы классических осцилляторов привело бы к существенно большему значению. Это обстоятельство отмечается также в работе Гилла и Лайдлера [6]. Эти авторы приходят к выводу, что константа скорости распада озона удовлетворяет формуле Слейтера с тремя степенями свободы. Как следует сказанного выше, константа скорости также удовлетворительно описывается формулой (2), аналогично формуле Касселя с учетом квантования колебаний.

В таблице приведены рассчитанные по формуле (2) и экспериментальные предельно-попональные множители для некоторых реакций термического распада многоатомных молекул и соответствующие ссылки на экспериментальные работы. Здесь же приведены данные по термическому распаду двухатомных молекул, рассчитанные по формуле работы [2].

Молекула	Число мол. степеней свободы, $n$	Энергия диссоциации $D$ , ккал/моль	Средняя частота $\bar{\omega}$	$A/Z$ (эксп.)	$A/Z$ (выч.)
$Br_2$ [9]	1	45,5	325	6	3
$J_2$ [9]	1	35	214	4	2
$O_2$ [9]	1	118	1580	3	5
$O_3$ [5]	3	24	1000	50	50
$NO_2Cl$ [4]	6	30	1000	$6 \cdot 10^2$	$10^3$
$H_2O_2$ [10]	6	45	2000	$10^3\text{--}10^4$	$3 \cdot 10^3$
$N_2O_4$ [11]	12	11	1000	$2 \cdot 10^3$	$10^3$
$N_2H_4$ [7]	12	60	2000	$10^5$	$10^5$

Величины отношений  $A/Z$  для многоатомных молекул соответствуют температурам  $400\text{--}1000^\circ \text{K}$ , а для двухатомных — температурам  $2000\text{--}3000^\circ \text{K}$ . В связи с реакцией распада  $N_2H_4$  отметим следующее. Недавно Гильберт [17], анализируя работу Шварца [8], пришел к выводу, что гидразин в экспериментальных условиях Шварца распадается бимолекулярно, а не мономолекулярно, как предполагалось ранее. Сравнение рассчитанной и экспериментальной величины  $k_p$  подтверждает вывод Гильберта о кинетике распада  $N_2H_4$ .

Выражаю благодарность проф. Н. Д. Соколову за обсуждение работы.

Академия наук СССР  
Институт химической физики  
Москва

Поступила  
26.XII.1958

#### ЛИТЕРАТУРА

1. В. Н. Кондратьев, Кинетика химических газовых реакций, Изд-во АН СССР, 1958.
2. Е. Е. Никитин, Докл. АН СССР, 119, 526, 1958.
3. Л. С. Кассель, Кинетика гомогенных газовых реакций, ОНТИ, Л., 1937.
4. H. F. Gordes, H. S. Johnston, J. Amer. Chem. Soc., 76, 4264, 1953.
5. S. W. Benson, A. E. Axworthy, J. Chem. Phys., 26, 1718, 1957.
6. E. K. Gill, K. J. Laidler, Proc. Roy. Soc. A, 250, 121, 1959.
7. M. Gilbert, Combustion and Flame, 2, 148, 1958.
8. M. Schwarz, Proc. Roy. Soc. A, 198, 287, 1949.
9. Е. Е. Никитин, Диссертация, ИХФ АН СССР, 1958.
10. W. Frost, Canad. J. Chem., 36, 1308, 1958.
11. T. Carrington, N. Davidson, J. Phys. Chem., 57, 418, 1953.

## ХРОНИКА

РАБОТА ФИЗИКО-ХИМИЧЕСКОЙ СЕКЦИИ  
VIII МЕНДЕЛЕЕВСКОГО СЪЕЗДА ПО ОБЩЕЙ  
И ПРИКЛАДНОЙ ХИМИИ

Восьмой менделеевский съезд явился крупным событием в научной жизни страны. Доклады, представленные Съезду, отличались в большинстве случаев глубиной содержания и разнообразием научной тематики.

Во время работы Съезда были заслушаны сообщения в целом ряде секций (секция физической химии, химии и технологии полимеров, аналитической химии, радиохимии, истории химии; секция металлов и сплавов; секция химии и технологии силикатов; секция коллоидной химии; секция теоретической и прикладной химии и др.).

Физико-химическим проблемам были посвящены также и пленарные доклады акад. Н. Семенова, акад. А. Н. Несмеянова, чл.-корр. Я. К. Сыркина, проф. Соколова.

Ряд физико-химических докладов был представлен иностранными учеными.

Мы постараемся сделать краткий обзор докладов, представленных на физико-химическую секцию и секцию электрохимии.

Исследованию вопросов строения органических соединений оптическими методами посвящен доклад А. Ф. Приходько. А. Ф. Приходько сообщил о результатах спектральных исследований органических соединений при низких температурах. Изучение спектров при низких температурах позволяет решать задачи, связанные со строением кристаллов органических веществ.

М. В. Волькенштейн сообщил о результатах исследований проблемы внутреннего атомения больших молекул, в частности, молекул полимеров.

В работе П. П. Шорыгина и З. С. Егоровой изучено влияние стерических факторов на свойства молекул с сопряженными связями. Произведен расчет углов поворота которых замещающих групп относительно плоскости бензольных колец в ароматических соединениях, и показано, что соприкасающиеся атомы могут сближаться на расстояния, меньшие суммы их ван-дер-ваальсовых радиусов.

Я. С. Бобович и В. В. Перекалин привели данные о строении нитросоединений, полученные методом комбинационного рассеяния.

А. Н. Лазаревым исследованы колебательные спектры многомолекулярных эфиров, ортокремневой кислоты, с истолкованием этого спектра на основе предположения о образовании спектра всех вибраторов из группы  $\text{SiO}_4$ .

Б. В. Зелинским и В. П. Колдобковым и И. И. Резниковой был проведен ряд исследований, позволивших им установить связь между люминесцентными свойствами и структурой органических соединений. В частности, они установили, что влияние среды на дезактивацию часто сводится к влиянию среды на расположение уровней возбужденного и основного состояний.

А. А. Бундель сообщил о влиянии нарушения стехиометрии на появление или исчезновение в спектре люминесценции характерных полос.

Изучению внутримолекулярной водородной связи был посвящен доклад А. Э. Луцкого. Образование водородной связи влияет на величину дипольного момента, который может быть вычислен для различных предполагаемых конфигураций.

Доклад Б. С. Непорент и С. О. Мрумянц касался проблем передачи колебательной энергии, происходящей при столкновении сложных молекул. Авторы, в частности, показали, что при увеличении числа собственных колебаний молекул и уменьшении различия колебательных квантов процесс передачи энергии перестает подчиняться квантовым закономерностям.

И. В. Александров и И. Д. Соколов предложили приближенный метод расчета магнитных сдвигов в спектре ядерного магнитного резонанса.

С. К. Альтшулер и К. А. Валиев разработали теорию парамагнитной продольной релаксации в растворах парамагнитных солей.

Метод продольного резонанса был применен А. И. Ривкиндом для определения химической связи в комплексных ионах, обладающих парамагнитными свойствами. Автор показал, что ковалентные связи с участием  $3d$ -орбит возникают при заполнении четвертого или пятого места во внутренней координационной сфере, причем, если четыре места заполнены, то при заполнении шестых координационных мест степень ковалентности падает.

Парамагнитному резонансу посвящена также работа Б. М. Козырева, П. Г. Тинкова, В. И. Аввакумова, содержащая некоторые заключения, касающиеся строения сольватных оболочек парамагнитных ионов.



В работе Л. А. Блюменфельда явление парамагнитного резонанса применено к исследованию белков. Автор предполагает, что в процессе окислительного ферментативного катализа белковые структуры могут играть роль проводников первого рода, в котором электроны переходят от донора к акцептору. Предполагается, что электроны делокализованы по системам водородно-пептидных связей в белковых молекулах.

С. Я. Френкель и С. Э. Брегер доложили о результатах исследования макромолекулярной структуры глобулярных белков методом вариации растворителей.

А. И. Китайгородский сообщил о результатах исследования строения твердых растворов органического вещества. Данные были интерпретированы на основе предположения, что строение кристалла прежде всего определяется формой молекулы.

Вопросу кристаллохимического исследования природы взаимного влияния атомов был посвящен также доклад З. В. Звонковой.

В. В. Тарасов исследовал строение органических высокополимеров стекла и полупроводников при помощи разработанной им квантовой теории цепных и слоистых структур.

М. И. Усанович изложил соображения о химической теории растворов и подверг критике учение об активности.

С. С. Уразовский описал явление изменчивости молекулярных конфигураций полимерных веществ в жидкостных растворах.

Свойствам растворов был посвящен также целый ряд докладов, в которых рассматривались растворы неэлектролитов при сверхвысоких давлениях (Д. С. Циклис), связь между структурной, вязкостью и сжимаемостью жидкостей (А. З. Голик), теплопроводность водных растворов (В. И. Рузавин), методы расчета теории динамических и кинетических свойств растворимых веществ (Н. Е. Хомутов) и другие.

И. В. Астафьев и А. И. Штенштейн сообщили об изучении электронных спектров карбанонов и подтвердили участие этих ионов в ряде реакций изотопного обмена водорода и реакции изомеризации.

А. В. Сторонкин, А. Г. Морачевский, М. Н. Сусарев и М. М. Шульц сделали доклад об основных вопросах термодинамической теории гетерогенных систем. В основу теории были положены условия устойчивости термодинамического равновесия, данные в общей формуле Гиббсом, обобщенные дифференциальные уравнения Ван-дер-Ваальса и уравнения, представляющие условия равновесия в функции изменения температуры, давления, концентрации.

Г. И. Кобазев и Л. И. Некрасов сообщили об исследованиях физико-химических свойств высшей перекиси водорода. Она устойчива лишь при температурах ниже  $-71^{\circ}$ . Энергия активации процесса разложения перекиси составляет 8 ккал/моль. Теплота образования высшей перекиси равна 22,5 ккал/моль.

В. А. Кипрев описал метод расчета равновесия реакции, основанной на данных о равновесии другой реакции, однотипной с первой.

Изотопный кинетический метод исследования механизма сложных реакций и его успешное применение для решения целого ряда задач был описан М. Б. Нейманом, М. Г. Гоникбергом и А. И. Китайгородским дали объяснение влиянию давления на скорость реакций, характеризующихся пространственными затруднениями.

Ю. С. Саясов развил теорию ценных химических реакций с учетом диффузии многих активных центров.

Е. Е. Никитин и Н. Д. Соколов высказали ряд важных соображений о теории термодинамического распада двухатомных молекул. Они указали, что предположение теории столкновений о диссоциации молекул путем прямого перехода колебательных уровней в диссоциированное состояние не обосновано. Расчеты и опыты показывают, что при молекулярных столкновениях количество выделенной энергии мало по сравнению с энергией диссоциации. Авторы исследовали случаи нарушения бальмановского распределения, рассматривая диссоциацию как многостадийный процесс.

Б. П. Павлов сообщил об изучении им термического крекинга и ускоряющем действии на крекинг азотиста и этана.

В. Л. Тальрозе и В. С. Никольский при осуществлении импульсного разряда в метане обнаружили свободные радикалы масспектрометрическим путем.

Н. Н. Кобозев, В. П. Лебедев, Г. П. Зыкова, В. П. Егоров сообщили об исследовании механизма взрывного окисления азота при взрывах озono-азотных смесей.

Активность термического распада взрывчатых веществ была исследована К. К. Андреевым, описавшим различные возможные механизмы взрыва.

Стадийный механизм окисления метана был исследован А. Б. Налбандяном, подтвердившим гипотезу Н. Н. Семенова об изомеризации и распаде пероксидного радикала на формальдегид и гидроксил.

Кинетика окисления метана и механизм реакции были описаны в докладе Л. В. Карпилова, Н. С. Ениколопана, А. Б. Налбандяна и Н. Н. Семенова.

Б. Я. Дани изложил вопрос о фотопереносе электронов в молекулярных комплексах хлорофилла. Автор рассматривает процесс внутрикомплексного электронного переноса в соединениях хлорофилла с солями металлов. Было показано, что наряду с процессом окисления хлорофилла имеет место процесс замещения железом магния.

Н. И. Мицкевич, исследовавший автоокисление дегидроащитиловых кислот и декстранимариновой кислоты, инициированной ацетатом кобальта, предложил вероятный механизм реакции.



О. А. Ершов, Б. Б. Миллер, М. Г. Гоникберг описали участие растворов в ионо-обменных реакциях изотопного обмена и пришли к выводу, что влияние активного комплекса сопровождается частичной десольватацией реагирующего иона.

И. М. Павлюченко, рассматривая механизм разрушения твердого тела, высказал мнение, что самоускорение при этом обусловлено структурой реагирующего тела, а также различием в энергии связи частиц на поверхности.

Е. С. Осипович, изучая автокаталитический распад оксалатов, пришел к выводу, что автокатализ обусловлен каталитическими свойствами продуктов реакции.

Работа Г. В. Соколова и Г. Ф. Комарова посвящена влиянию паров воды на активность дегидратации гипса.

О дегидратации алюмокалиевых квасцов доложили В. В. Болдырев и А. Захаров.

К. М. Романовская сообщила об изучении стабильности центров скрытого излучения, образованного частицами минимальной ионизации.

Явления горения и распространения пламени посвящены доклады И. И. Баренца, Л. А. Ловачева, А. С. Соколика, С. М. Когарко.

Об исследованиях условий воспламенения озона было сообщено С. Я. Пжежец-С. А. Каменецкой, С. И. Грибовым, А. В. Панкратовым, И. Н. Поспеловой, Г. Апиным, В. Н. Скряпкой, В. А. Славинской.

В. М. Чередниченко показал в докладе, что воспламенение озона представляет собой тепловой взрыв. При помощи полученных данных можно указать условия протекания озона в окислительных процессах.

В работе М. М. Дубинина развита теория адсорбции, построенная при допущении определяющей роли дисперсионных сил.

Вопрос о состоянии поверхности адсорбентов — кремнезема и алюмосиликатов, а также о механизме адсорбции обсуждался в докладах В. Ф. Киселева и К. Г. Красильникова, а также В. Киселева, А. Я. Королева, Н. Д. Щербаковой.

Об адсорбции газа при низких давлениях и температурах сообщалось М. Г. Каганер. Полимерные сорбенты исследовались в работах А. М. Трофимова («О влиянии наемости ионообменных смол на распределение радиоэлементов между смолой и раствором»), Г. В. Самсонова, В. В. Веденева, А. И. Селезнева («Сорбция пенициллина и другими сорбентами»), А. В. Кожвникова («О совмещении ионного обмена на сорбительно-восстановительных реакциях»).

А. Т. Давыдов, Г. М. Лисовина доложили об исследовании величины сорбции и скорости обмена ионов в зависимости от температуры.

Н. П. Брежнева, С. Н. Озиранер и В. Н. Розанова сообщили об исследовании адсорбции катионов на осадке оксидов железа.

В докладе, представленном А. А. Баландиным, были суммированы новые данные, подтверждающие основные положения теории мультиплетов. Результаты автора и сотрудников (Е. И. Клабуновский, О. К. Богданова, А. П. Шеглова и др.), изучавших структурные факторы, показывают, что молекулы спиртов ориентируются реакционными атомами к поверхности катализатора, причем сохраняется значение валентного угла. Активные центры представляют собой выступы на поверхности. В выемки, находящиеся рядом, попадают выступающие части гидрируемых молекул. В докладе приведен также большой материал по измерениям свободной энергии, теплосодержания и энтропии, соответствующим адсорбции на активных центрах, полученный при помощи разработанного автором кинетического метода.

Анализ проблем, возникающих при сопоставлении каталитических свойств с положением элемента в периодической системе дан в докладе С. З. Рогинского. Рассмотрены два класса химического катализа: катализ окислительно-восстановительного электрохимического типа и кислотно-основной катализ, автор показал большую перспективность периодического закона для решения важнейших проблем подбора катализатора и регулирования его свойств.

М. И. Темкин, С. С. Строева и Н. В. Кузькова изучили задачу о катализаторе наибольшей удельной поверхностной активностью, рассмотрев оптимальные условия протекания реакции по двухстадийной схеме, и привели опытные данные по кинетике изотопного обмена, подтверждающие их теоретические соображения.

Стадийный механизм был предметом обсуждения и в докладе В. А. Ройтера, указавшего на ряд недочетов в применении этой концепции, в частности, на ограничения, связанные с принципом детальной обратимости. Ряд экспериментальных данных, по-видимому, противоречит концепции стадийного катализа.

В работе Ф. И. Вилесова и А. Н. Теренина исследована фотоионизация органических молекул в связи с их стрессом и показано, что методы исследования фотоионизации дают возможность однозначно выяснить механизм распада ароматических и алифатических соединений под действием света.

Г. В. Быков рассмотрел вопрос о расчете энергии связей в углеводородах и привел данные, подтверждающие расчетные величины.

В докладе Г. К. Борескова было указано на важность учета взаимодействия реакционной системы и катализатора, которое приводит к изменению его состава и свойств. Автор считает вообще неправильным рассмотрение свойств катализатора в отрыве от взаимодействующей с ним реакционной системы. Анализ кинетических кривых, с этой точки зрения, даст возможность объяснить формы кинетических уравнений, которые

прежде истолковывались в предположении, что энергия хемосорбции различна в различных точках поверхности катализатора.

Проблема влияния природы растворителя на скорость гетерогенных каталитических реакций была рассмотрена в докладе Д. В. Сокольского, суммировавшего целый ряд своих исследований в этой области.

Л. А. Николаев сделал доклад о каталитических функциях комплексных соединений и указал на возможность повышения активности комплекса посредством адсорбции на специфических носителях.

Н. А. Шишаков привел данные о кристаллохимии поверхностных кислородных соединений — золота и платины.

Я. В. Горохованский сообщил об изменении работы выхода при адсорбции кислорода и этилена на поверхности серебряного катализатора.

Электрохимический ионный обмен и кислотный катализ на окисленном угле были предметом доклада Д. Н. Стражеско.

А. И. Куриленко и Н. В. Кулькова изучили влияние серы на каталитические свойства серебра в реакции окисления этилена. Авторы обнаружили, что активность серебряного катализатора максимальна при отношении числа атомов добавленной серы к числу атомов серебра, равном  $10^{-3}$ . Дальнейшее увеличение содержания серы снижает активность.

О. В. Крылов, В. М. Фролов, С. А. Фокина и Ю. Н. Руфов доложили об особенностях каталитического разложения гидразина на щелочных катализаторах и полупроводниках.

Доклад В. Э. Вассерберга, А. А. Баландина, М. П. Максимова, Т. В. Георгиевского был посвящен вопросу о состоянии молекул низших алифатических спиртов в адсорбционном слое на различных окисно-алюминиевых катализаторах. Авторы показали, что характер распределения активных центров катализатора существенно зависит от условий его генезиса.

Н. А. Стукановская, изучая роль кислорода окисных катализаторов, действующих в окислительных процессах, показала, что при окислении нафталина впадение катализатор не является донором кислорода. Исследование было проведено изотопным методом.

Г. М. Панченков сделал доклад о кинетике химических реакций в потоке на амфифильных катализаторах. Им были разработаны общие методы расчета кинетики стационарных и нестационарных процессов в потоке. Полученные автором уравнения были применены к конкретным случаям каталитического крекинга, полимеризации алкилирования и другим, причем достигнуто хорошее согласие с опытом.

О. А. Стрельцов доложил об изменении кинетических режимов вдоль слоя катализатора.

И. П. Иоффе и А. Ф. Григоров привели в докладе данные по теории скоростей реакций в псевдооживленном слое катализатора.

Вопросы кинетики нестационарных каталитических процессов были освещены в докладе М. В. Товбина и К. Ф. Ляшева.

В докладе В. Х. Матюшенко, А. А. Толстопятовой и А. А. Баландина были приведены данные по кинетике дегидрогенизации и дегидратации спиртов и дегидрогенизации циклогексана.

Условия флюидного катализа были проанализированы в докладе М. В. Полкова, В. В. Шаля и З. З. Высоцкого, изучавших превращение метанола в формальдегид.

Доклад Ю. В. Шляпникова и В. В. Шушунова о кинетике кислотно-каталитического разложения аралкильных гидроперекисей позволил авторам вывести уравнения, количественно описывающие кинетические закономерности исследуемых реакций.

М. Г. Слинько и Е. Н. Харьковская сообщили об исследовании кинетики реакции взаимодействия водорода с карбодом на платине.

П. М. Стадник доложил о применении метода закалки к исследованию каталитического окисления метанола.

В. В. Патрикеев, М. Л. Хидекель, А. А. Баландин сообщили о роли адсорбции при гидрировании смеси органических соединений в специально сконструированном приборе, в котором для контроля за адсорбцией применялся метод определения потенциала по Д. В. Сокольскому.

А. М. Рубинштейн привел обширные данные, полученные им и его сотрудниками по фазовому составу и активности бинарных катализаторов на основе окиси алюминия и описал результаты структурного магнето-химического исследования катализаторов, состоящих из окислов никеля и магния (совместно с А. А. Слинкиным и В. И. Якерсом).

В докладе М. Т. Русова было описано влияние условий формирования на удельную активность аммиачного катализатора.

Каталитические свойства окислов ванадия, ниобия и тантала были освещены в докладе Н. П. Соколова и А. А. Баландина. И. Д. Рождественская и А. А. Баландин доложили об исследовании влияния обработки окиси хрома в азоте и водороде на каталитические свойства.

А. И. Кукиной и А. А. Баландиным сообщено о систематических исследованиях катализаторов на основе железа.

Г. М. Жаброва, М. Д. Синицына и В. А. Гордеева применили эманационный метод изучения механизма топохимических процессов.

Э. Х. Енищев и Л. Я. Марголис сообщили о применении метода контактной разности потенциалов для исследования изменения заполнения поверхности реагирующих веществ во время катализа.

Имеющий большое практическое значение вопрос о механизме углеобразования поверхности катализаторов был предметом обсуждения в докладе А. П. Руденко и А. А. Баландина, высказавших предположение, что этот процесс представляет собой многостадийную поликонденсацию исходных органических веществ.

Частным случаям катализа были посвящены доклады Г. И. Леви и А. А. Баландина («Катализ на сахарном угле»), П. К. Норкус («Каталитический распад гипохлоритов»), Я. С. Мазуркевича и Р. Я. Мушия («Фотокатализ на оксидах цинка и титана»).

Б. Я. Ерофеев предложил новую систему классификации сложных химических реакций, основанную на представлении об облигатных частицах.

Г. И. Новиков, С. А. Щукарев, И. В. Василькова, А. В. Суворов, Б. Н. Шарунин, В. Андреева и А. К. Баев в своем докладе привели обширные данные по термодинамическим свойствам хлоридов и оксихлоридов вольфрама и молибдена.

Большое число докладов было представлено по вопросам электрохимии.

Доклады обсуждались на заседаниях секции теоретической и прикладной электрохимии и касались широкого круга проблем этой науки. Свойства растворов электролитов были рассмотрены в докладе Н. А. Измайлова. Н. А. Измайлов развивает представление о растворах электролитов, основанное на учете энергии взаимодействия ионов и молекул растворенного вещества с растворителем; деление электролитов на льные и слабые, с этой точки зрения, характеризует не принадлежность к определенному классу, а лишь состояние вещества в растворе.

Значение температурного фактора в изучении свойств водных растворов было рассмотрено И. С. Галинкером.

Е. Я. Горенбейном изучена вязкость растворов электролитов и влияние на нее электронов и анионов.

Н. Б. Хомутов детально рассмотрел вопрос о состоянии водородных и гидроксо-ионов в растворе.

Значительно большее внимание было уделено на секции вопросам полярографии. Докладе Н. В. Николаевой-Федорович, О. А. Петрия и А. Н. Фрумкина было описано полярографическое поведение галогенных комплексов платины. Изучение скорости реакции восстановления комплексных анионов показало, что различия в геометрическом строении анионов могут быть причиной различной чувствительности реакции к действию тех или иных добавок.

Вопросам полярографии были посвящены также доклады В. П. Гладышева, Л. П. Гохштейна, А. М. Демкина и Л. А. Генкина, С. Г. Майрановского, Ю. К. Делигарского, К. М. Калабалина, В. В. Кузьмович, Т. Н. Капцовой и др.

С. В. Горбачев сделал доклад об очередных задачах макро- и микрокинетики электрохимических реакций, указав на значение расчетов энергии активации электрохимических процессов, исследования спектров растворов электролитов и применения теории опережающего комплекса для решения важных задач электрохимии.

Вопросов перенапряжения касались доклады Я. М. Колотыркина и Л. А. Медведевой, изучавших влияние специфической адсорбции анионов на перенапряжение водорода, и И. Б. Бармашенко и Л. А. Горбачевой, исследовавших водородное перенапряжение при электролизе поваренной соли.

Электролизу и электродным процессам был посвящен целый ряд докладов: З. В. Лосев сообщил о влиянии аниона на электродные процессы на амальгаме индия, З. И. Веселовский, Т. И. Борисова, А. А. Яковлева и Д. М. Шуб изложили результаты исследования электрохимических процессов на полупроводниковых электродах — оксидах серебра меди, урана, а также на германии. В работе изучались совместно электрохимические, электрические и фотоэлектрохимические параметры системы.

Вопрос об обмене водородом между палладиевым электродом и электролитом был освещен в докладе Г. Н. Трусова и Н. А. Аладжаловой, применивших радиоактивный изотоп — тритий.

Электрохимические особенности двуокиси свинца были изложены в докладе Б. Н. Кабанова, обобщившего ряд оригинальных исследований и работ своих сотрудников.

Т. И. Попова и В. С. Багоцкий сообщили о результатах изучения анодной пассивации цинка в щелочных растворах.

Доклад В. П. Галушко касался природы автоколебаний в электрохимических процессах; Ю. А. Чизмаджев рассмотрел вопрос о возникновении колебаний при прохождении тока в электролитических системах.

Л. И. Кришталюк доложил об исследовании процесса получения хлора и щелочей в диафрагменных электролизерах; хлорные электролизеры были также предметом исследований Е. В. Мулина. Электрохимии хлора посвящены доклады Д. П. Семченко, К. Г. Ильина, К. Г. Филиппова, Г. П. Адрианова, В. А. Гриневич; В. В. Стендер рассмотрел важный вопрос об увеличении скорости электролиза в промышленных условиях и проанализировал ряд методов, имеющих практическую ценность и испытанных им и его сотрудниками.



Работа Н. Т. Кудрявцева, Г. Н. Смоленской, В. В. Каратаева и Р. Г. Головачевской содержала описание условий, в которых удается получать прочное покрытие титана цинком, никелем и другими металлами, а также изложение методов титанирования.

А. М. Озеров описал применение переменного тока для электроосаждения и электрополирования металлов.

Вопросам электрохимии амальгам посвящались доклады А. И. Лебеввой и М. Т. Козловского и А. Т. Нижишка, З. А. Иофа, В. Н. Коршунова и Л. И. Некрасова.

В докладе Ю. П. Никитина было рассмотрено строение двойного электрического слоя между металлами и жидкими окислами, причем была доказана возможность возникновения диффузного двойного слоя в соответствии с взглядами О. А. Есна.

А. Б. Беляев сообщил об исследовании образования ионов одновалентного алюминия при анодном растворении алюминия в расплавленных солях. Им было указано, что и другие многовалентные металлы способны при анодном растворении образовывать низковалентные ионы.

Б. Ф. Марков сообщил о механизме катодного восстановления четыреххлористого титана.

В докладе И. Л. Розенфельда и И. П. Максимчука был освещен вопрос об адсорбции анионов на нержавеющей стали, причем применялся хлористый натрий, содержащий мечевый хлор.

Вопрос о токах дифференциальной деполаризации был предметом доклада Л. М. Волчковой, Т. Н. Шароновой и Красильщикова.

В. В. Андреева, Т. П. Степанова и Е. С. Волкова сообщили об исследовании взаимодействия металлов с газовыми средами и растворами электролитов оптическим и электрохимическим методами. Авторами был обнаружен ряд новых явлений в процессе образования и роста поверхностных пленок.

В. В. Красноярским был изучен механизм электрохимической защиты металла и выведены уравнения, дающие зависимость скорости растворения от плотности защитного тока.

Л. К. Лепинь, А. Я. Вайваде и А. К. Локенбах доложили об исследовании кинетики окисления железа и алюминия при доступе кислорода в воде и растворах нейтральных солей и изучении влияния температуры на кинетические закономерности.

Коллоидно-электрохимические процессы коррозии и пассивирования металлов были предметом исследования А. В. Кротова.

Н. Я. Лантратова, В. М. Беренблит и А. И. Шулкин сделали сообщение о механизме ингибиторного действия нитрат-ионов на процессы коррозии алюминия в растворах перекиси водорода.

Механизм действия ингибиторов коррозии стали, в частности, уротропина, был рассмотрен в докладе А. С. Афанасьева, А. П. Брынза, Г. И. Лысенко, Г. В. Жук, Л. И. Герасютиной.

Механизм наводораживания стальных катодов при поляризации в различных условиях был изучен В. В. Кузнецовым.

Вопросы анодной коррозии свинца и его сплавов рассмотрел И. А. Агуф.

Доклад В. Г. Левича содержал изложение разработанной им теории дискового электрода.

Л. А. Соколова, В. М. Новаковский сообщили о разработанной ими методике коррозионных испытаний с использованием вращающегося дискового электрода.

Большое количество докладов, представленных на секции физической химии и электрохимии, и то обстоятельство, что в дискуссиях принимали участие значительное число химиков, свидетельствует о возрастающем интересе к проблемам физической химии, объединяющих научных работников различных специальностей.

Плодотворный обмен мнениями, имевший место во время съезда, несомненно стимулирует исследовательскую работу над фундаментальными проблемами физической химии.

Л. А. Николаев



## СОДЕРЖАНИЕ

И. Федосов. Торможение движения газовых пузырьков поверхностно-активными веществами при умеренных числах Рейнольдса . . . . .	1681
Г. Маслов и Ю. П. Маслов. Термодинамические характеристики кристаллических соединений, содержащих литий III. . . . .	1687
А. Алчуджан и М. А. Мантикян. Исследование смешанных адсорбционных катализаторов гидрирования. II. . . . .	1691
А. Анисонян, С. Я. Бейдер, А. М. Маркевич и А. Б. Налбандян. Исследование реакции окисления и распада формальдегида при высоких температурах. . . . .	1695
В. Ястребов и Н. И. Кобозев. Физико-химия концентрированного озона. VII. . . . .	1701
Б. Сандомирский и Ш. Б. Коган. О расчете изотерм адсорбции в электронной теории хемосорбции. . . . .	1709
И. Кристалик. Скорости элементарных стадий и механизм катодного выделения водорода. I. . . . .	1715
Я. Кузнецов. Изменение электропроводности стекол при кристаллизации. . . . .	1726
С. Лашко. Рентгенографическое исследование структуры некоторых жидких металлческих систем. . . . .	1730
М. Сухотин и З. Н. Тимофеева. Об ассоциации ионов в растворах. III. . . . .	1739
Е. Флис, К. П. Мищенко и Н. В. Троицкая. Потенциалы хлорного электрода при различных температурах. . . . .	1744
И. Черненко и М. А. Лошкарев. Совместный разряд свинца и олова при электролитическом рафинировании свинца. . . . .	1750
Г. Манжелей и Б. И. Веркин. Исследование явления диффузии в ожигенных газах. . . . .	1758
Н. Стесик и Л. Н. Акимова. Косвенный метод оценки ширины зоны реакции в детонационной волне. . . . .	1762
А. Богдановский и А. И. Шлыгин. О механизме электроокисления спиртов и альдегидов на платине. II. . . . .	1769
В. Сараева и Н. С. Колосова. Радиационно-химические превращения диизопропилового эфира в водном растворе. . . . .	1774
В. Филиппов и Ю. М. Емельянов. Электрическая теория озонаторов. V. . . . .	1780
С. Воздвиженский, В. А. Дмитриев и О. И. Авдеева. Анодное поведение алюминия в электрополировочном электролите при малых плотностях поляризуемого тока. . . . .	1788
В. Мнюх. Аморфная база в п-парафинах. . . . .	1791
Ф. Мантратов и Е. В. Царенко. Исследование термодинамических свойств жидких металлческих растворов. Система калий — таллий. . . . .	1792
М. Голутвин. Теплосодержания и теплоемкости в системе титан — кремний. . . . .	1798
Н. Герасимов, А. П. Пурмаль и А. Б. Ценципер. Фотолит $\text{H}_2\text{O}_2$ в щелочных средах. . . . .	1806
Ф. Пальгуйев. О природе проводимости твердого углекислого натрия. . . . .	1803
Е. Хазанова и Л. Р. Линшиц. Критические явления в системе гексаметиленмин—вода. II. . . . .	1811
С. Соловьева. Гомогенно-гетерогенное горение окиси углерода в узких каналах. . . . .	1813
Н. Шейнкер и Ю. И. Померанцев. О таутомерии некоторых производных гетероциклических соединений. IX. . . . .	1819
А. Каковский, Б. А. Степанов, О. Ф. Рязанцева и Н. В. Серебрякова. Окислительно-восстановительные потенциалы диэтилофосфатов. . . . .	1830
С. Лисняк и Г. И. Чуфаров. Влияние добавок $\text{K}_2\text{CO}_3$ , $\text{Na}_2\text{CO}_3$ , $\text{Al}_2\text{O}_3$ и $\text{SiO}_2$ на кинетику восстановления магнитной окиси железа углем. . . . .	1840

Г. В. Сакович. Влияние добавок твердого продукта реакции на скорость дегидратации некоторых кристаллогидратов . . . . .	1847
В. К. Прохоренко и П. З. Фишер. Микроструктура простых жидкостей. . . . .	1852
Л. С. Палатник и В. С. Зорин. К теории превращений метастабильных фаз. . . . .	1859
Ф. Н. Козленко. О водородной функции стеклянного электрода в неводных средах основного характера . . . . .	1866
А. Б. Гагарина и Н. М. Эмануэль. Кинетика и химизм реакции взаимодействия метана с двуокисью азота . . . . .	1872

#### Методы и техника физико-химического исследования

П. П. Пугачевич. Комбинированный прибор для измерения поверхностного натяжения сплавов легкоплавких металлов . . . . .	1880
Н. Г. Вострокнутов, А. Н. Корнилов, Г. Л. Гальченко, С. М. Скуратов и Б. И. Тимофеев. Установка для измерения работы переменного тока в калориметрии . . . . .	1883

#### Дискуссия

О. А. Есин, Г. А. Тетерин и И. Н. Захаров. О числах переноса в однокомпонентных расплавленных электролитах. . . . .	1887
---	------

#### Письма в редакцию

Н. Н. Бубнов и В. М. Чибрикин. О зависимости ширины компонент сверхтонкой структуры от температуры в спектрах электронного парамагнитного резонанса . . . . .	1891
Е. Е. Никитин. О вычислении константы скорости термического бимолекулярного распада молекул . . . . .	1893

#### Хроника

Л. А. Николаев. Работа физико-химической секции VIII Менделеевского съезда по общей и прикладной химии. . . . .	1895
---	------

## CONTENTS

I. Fedoseev. Retardation of Gas Bubble Motion by Surface Active Substances at Moderate Reynolds Numbers. . . . .	1681
G. Maslov and Yu. P. Maslov. Thermodynamic Characteristics of Crystalline Compounds Containing Lithium. . . . .	1687
A. Alchudzhani and M. A. Mantikyan. Studies on Mixed Adsorption Catalysts of Hydrogenation. II. . . . .	1691
A. Anisovyan, S. Ya. Beider, A. M. Markevich and A. B. Nalbandyan. A Study of the High Temperature Oxidation and Decomposition of Formaldehyde. . . . .	1695
V. Yastrebov and N. I. Kobozev. The Physical Chemistry of Concentrated Ozone. VIII. . . . .	1701
B. Sandomirskii and Sh. M. Kogan. Calculation of the adsorption isotherm in the electronic theory of chemisorption. . . . .	1709
I. Krishtalik. The Rate of the Elementary Stages and the Mechanism of the Cathodic Evolution of Hydrogen. I. . . . .	1715
Ya. Kuznetsov. Change in Electroconductivity of Glasses on Crystallization. . . . .	1726
S. Lashko. X-Ray Analysis of Some Liquid Metallic Systems. . . . .	1730
M. Sukhotin and Z. N. Timofeeva. On Ionic Dissociation in Solutions. III. . . . .	1739
E. Flis, K. P. Mischenko and N. V. Troitskaya. The Chlorine Electrode Potential at Various Temperatures. . . . .	1744
I. Chernenko and M. A. Loshkarev. Concurrent Discharge of Lead and Tin during Electrolytic Refining of Lead. . . . .	1750
G. Manzheliy and B. I. Verkin. Investigation into the Phenomenon of Diffusion in Liquified Gases. . . . .	1758
N. Stesik and L. N. Akimova. Indirect Method of Evaluating the Width of the Reaction Zone in a Detonation Wave. . . . .	1762
A. Bogdanovskii and A. I. Shlygin. Mechanism of Electrooxidation of Alcohols on Platinum. II. . . . .	1769
V. Sarayeva and N. S. Kolosova. Radiation Induced Reactions of Isopropyl Ether in Aqueous Solution. . . . .	1774
V. Fillipov and Yu. M. Emelyanov. Electrical Theory of Ozonizers. V. . . . .	1780
S. Vozdvizhenskii, V. A. Dmitriev and O. A. Avdeeva. Anodic Behavior of Aluminum in an Electropolishing Electrolyte at Small Polarizing Current Densities. . . . .	1788
V. Mnyukh. Amorphous Phase of n-Paraffins. . . . .	1791
F. Langratov and E. V. Tsarenko. Studies on the Thermodynamic Properties of Liquid Metallic Solutions. The System Potassium—Thallium. . . . .	1792
M. Golutvin. Enthalpies and Heat Capacities in the System Titanium—Silicon. . . . .	1798
N. Gerasimov, A. P. Purmal' and A. B. Tsentsiler. Photolysis of $H_2O_2$ in Alkaline Media. . . . .	1806
F. Pal'guev. On the Nature of the Electroconductivity of Solid Sodium Carbonate. . . . .	1808
E. Khazanova and L. P. Linshitz. Critical Phenomena in the System Hexamethylenimine—Water. II. . . . .	1811
S. Solov'eva. Homogeneous-Heterogeneous Burning of Carbon Monoxide in Narrow Ducts. . . . .	1813
N. Sheinker and Yu. I. Pomerantsev. Tautomerism of Some Heterocyclic Derivatives. IX. . . . .	1819
A. Kakhovskii, B. A. Stepanov, O. F. Ryazantsev and N. V. Serebryakova. Redox Potentials of Dithiophosphates. . . . .	1830
S. Lisnyak and G. I. Chufarov. The Effect of $K_2CO_3$ , $Al_2O_3$ and $SiO_2$ Additions on the Kinetics of Magnetic Iron Oxide Reduction by Graphite and Wood Charcoal. . . . .	1840



G. V. Sakovich. Effect of the Addition of Solid Reaction Products on the Dehydration Rate of Some Crystal Hydrates. . . . .	1847
V. K. Prokhorenko and I. Z. Fisher. The Microstructure of Simple Liquids. . . . .	1851
I. S. Palatnik and V. S. Zorin. Contribution to the Theory of Metastable Phase Transformations. . . . .	1854
F. N. Kozlenko. On the Hydrogen Function of the Glass Electrode in Non-Aqueous Solutions of Basic Nature. . . . .	1860
A. B. Gagarina and N. M. Emanuel'. Kinetics and Mechanism of the Reaction between Methane and Nitrogen Dioxide. . . . .	1871

### Experimental Methods and Techniques

P. P. Pugachevich. Combination Apparatus for Surface Tension Measurements of Alloys of Low Melting Metals. . . . .	1880
N. G. Vostroknutov, A. N. Kornilov, G. L. Gal'chenko S. M. Skuratov and B. I. Timofeev Arrangement for Measuring the Work of Alternating Current in Calorimetry. . . . .	1883

### Discussion

O. A. Esin, G. A. Teterin and I. N. Zakharov. On Transference Numbers in One-Component Melten Electrolytes. . . . .	1887
---	------

### Communications to the Editor

N. N. Bubnov and V. M. Chibrikin. Temperature Dependence of the Width of the Superfine Structure Component in Electron Resonance Spectra. . . . .	1890
E. E. Nikitin. Calculation of the Rate Constant of Bimolecular Thermal Decomposition of Molecules. . . . .	1893

### Miscellany

L. A. Nikolaev. The Work of the Physico-Chemical Section at the VIII Mendeleev Congress on General and Applied Chemistry. . . . .	1897
---	------



21

Технический редактор *Н. А. Колгурина*

---

Т-09168	Подписано к печати 19/VIII-1959 г.	Печ. л. 19,18+1 вкл.	Уч.-изд. л. 21.6
Формат бумаги 70×108 <sup>1</sup> / <sub>16</sub>	Бум. л. 7	Зак. 1979	Тираж 3600 экз.

---

2-я типография Издательства Академии наук СССР. Москва, Шубинский пер., 10

**ИЗДАТЕЛЬСТВО АКАДЕМИИ НАУК СССР**

**Контора «АКАДЕМКНИГА»**

**Академик А. Н. НЕСМЕЯНОВ**

**ИЗБРАННЫЕ ТРУДЫ**

**В четырех томах**

Издательство Академии наук СССР выпускает Избранные труды президента Академии наук СССР академика Александра Николаевича Несмеянова.

Избранные труды А. Н. Несмеянова содержат около 300 научных статей, посвященных различным исследованиям в области химии элементоорганических, металлоорганических и других органических соединений, имеющим большое теоретическое и практическое значение. Отдельные статьи посвящены общим вопросам организации науки и образования в Советском Союзе.

Все четыре тома трудов будут выпущены в 1959 году.

Объем каждого тома в среднем 40 авторских листов.

Цена за комплект в 4 тома — 120 руб. Книги можно приобрести и отдельными томами.

**СОДЕРЖАНИЕ ТОМОВ**

Том I. Предисловие, в котором характеризуются научные труды А. Н. Несмеянова; работы по методам синтеза металлоорганических соединений, опубликованные в 1929—1955 гг.

Том II. Работы, посвященные исследованиям в области металлоорганических соединений за 1955—1958 гг. и элементоорганических соединений за период 1929—1958 гг.

Том III. В том включены работы на следующие темы: синтеза на основе  $\beta$ -хлорвинилкетонов; реакция теломеризации и химическое превращение теломеров; общие вопросы органической химии.

Том IV. В том вошли избранные статьи, доклады и выступления, посвященные обширному кругу общественно-политических вопросов: организации науки и образования в СССР, борьбе за мир, роли науки в строительстве коммунизма; статьи и выступления, посвященные строительству нового здания Московского университета, несколько статей, обращенных к молодежи.

В этом томе дана полная библиография трудов А. Н. Несмеянова.

Заказы на Избранные труды академика А. Н. Несмеянова принимаются магазинами книготоргов и «Академкнига» и конторой «Академкнига» по адресу: Москва. В-12, ул. Куйбышева, 8.